

INSTITUTUL POLITEHNIC "TRAIAN VUIA"

T I M I S O A R A

FACULTATEA DE MECANICA

Ing. MONICA VICTORIA GHEORGHIU

STUDIUL TEORETIC SI EXPERIMENTAL AL CARACTERISTICILOR
ENERGETICE ALE BETELIILOR CIRCULARE DE PROFIL PENTRU
APARATE DIRECTOARE DE TURBINA.

TEZA PENTRU OBTINEREA TITLULUI DE DOCTOR INGINER

BIBLIOTECA CENTRALĂ
UNIVERSITATEA "POLITEHNICA"
TIMIȘOARA

CONDUCATOR ȘTIINȚIFIC:

ACADEMICIAN IOAN ANIOK

- 1976 -

INSTITUTUL POLITEHNIC TIMIȘOARA	
BIBLIC	
CENTRALĂ	
Volumul Nr.	314.196
Dulap	269 Lit. G

CUVINT ÎNAINTE

În lumina sarcinilor de majoră importanță trasate de conducerea Partidului pentru asigurarea unui înalt potențial energetic, condiție inevitabilă a realizării revoluției tehnico-științifice în patria noastră, se impune construirea unor agregate capabile de a realiza transformările energetice la randamentele cele mai ridicate, competitive pe plan mondial. Acest obiectiv este indisolubil legat de cunoașterea în intimitate a tuturor fenomenelor hidrodinamice care însoțesc procesul transformărilor energetice din elementele mașinii, de eliminarea arbitrarului și empirismului din metodele de proiectare și de o judicioasă exploatare a agregatelor.

În colectivul de mașini hidraulice din Timișoara, condus de Academician Ioan Anton, au fost abordate și rezolvate cu succes o multitudine de probleme privind proiectarea și construcția mașinilor hidraulice. Încă de la înființarea sa de către elementul om de știință care a fost Prof.dr.ing. Aurel Bărgăzan, s-au definit principalele direcții de cercetare științifică: fenomenul de cavitație în mașinile hidraulice, hidrodinamica rețelelor de profile utilizate în construcția mașinilor hidraulice și alte probleme ale teoriei, proiectării și construcției mașinilor hidraulice.

În domeniul rețelelor de profile, unde se încadrează și prezenta lucrare, au fost aduse de-a lungul anilor importante contribuții teoretice și experimentale prin seriile de lucrări elaborate de Prof.dr.ing. Aurel Bărgăzan, Acad. Ioan Anton, Prof.dr.ing. Octavian Popa, Prof.dr.ing. Viorica Anton, Dr.ing. Ernest Siskak. Au fost astfel introduse noi metode analitice de calcul al câmpului de viteze pe conturul profilului funcționând izolat sau în rețea, s-au definit și determinat noi parametri hidrodinamici, ca "sensibilitatea la cavitație" a unei rețele de profile, s-au construit primele tuneluri din țara noastră pentru efectuarea măsurătorilor experimentale în apă și aer, asupra rețelelor rectilinii de profile, au fost elaborate noi metode de lucru, de prelucrare a cărților primare de sistematizare a rezultatelor în forme utile procesului de proiectare.

Aparatul director, cu funcția sa triplă: de reglare a debitului, de dirijare a curentului și de organ de închidere, este subansamblul turbinei care determină condițiile intrării curentului în rotor, condiții de care depinde în mare măsură buna funcționare a hidroagregatului.

Lucrarea de față și-a propus drept scop studiul și determinarea caracteristicilor energetice ale rețelelor circulare de profile utilizate în construcția aparatelor directoare, domeniu în care literatura de specialitate dispune de un bagaj destul de redus de date experimentale și teoretice. Studiul analitic al caracteristicilor energetice ale rețelei s-a bazat pe metoda ecuațiilor integrale singulare aplicată rețelelor rectilini de Acad. I. Anton și Prof. dr. ing. O. Popa. Metoda numerică elaborată a permis întocmirea programului de calcul și pe baza acestuia a obținerii rezultatelor la calculatorul M15-50 al Centrului Teritorial de Calcul Electronic din Timișoara.

Pentru verificarea experimentală a rezultatelor analitice s-a proiectat o stațiune de rețele circulare, funcționând în aer, care oferă largă posibilități de studiere a influenței parametrilor geometrici și cinematici asupra performanțelor rețelei.

Lucrarea nu epuizează problematica rețelelor circulare de profile, ci caută să aducă o modestă contribuție la studiul lor teoretic și experimental, oferind o metodă expeditivă de determinare a caracteristicilor rețelei, în pas cu metodele actuale de utilizare a mașinilor electronice în tehnica de calcul. În urma analizării problemelor de proiectare și funcționare ale aparatelor directoare, la care rețelele circulare au o directă aplicație, s-au desprins principalele direcții în care trebuie dirijată cercetarea în acest domeniu. S-a încercat o sistematizare a rezultatelor într-o formă utilă procesului de proiectare.

De-a lungul întregii perioade de pregătire a lucrării am beneficiat de îndrumarea conducătorului meu, Acad. Ioan Anton, care prin înalta competență a Domniei Sale, prin valoroasele indicații științifice, a constituit pentru mine un permanent și inestimabil sprijin. Încerc să-i exprim pe această cale profundă mea recunoștință.

Mulțumesc conducerii Catedrei și Laboratorului de cercetări mașini hidraulice pentru bunăvoința și sprijinul pe care l-au acordat tuturor solicitărilor mele.

Mulțumesc pentru asistența tehnică oferită de către personalul atelierului mecanic al Laboratorului de mașini hidraulice al Institutului Politehnic "Traian Vuia" din Timișoara.

Sper ca rezultatele muncii mele să fie de folos colegilor din domeniul proiectării mașinilor hidraulice.

INSTITUTUL POLITEHNIC
TIMIȘOARA
BIBLIOTECA CENTRALĂ

CAPITOLUL I.

PROBLEMATICA RETELOR CIRCUITARE DE APARAT DIRECTOR DE TURBINA.

1.1. Problemele de bază ale aparatelor directoare de turbină.

Elementele constitutive ale circuitului hidraulic în cazul turbinelor reactive moderne mari și mijlocii sînt: camera spirală, aparatul director, rotorul și tubul de aspirație. Sediul transformării energetice este rotorul, restul părților servind la conducerea, în condiții hidraulice optime, a apei pînă la rotor, respectiv de la rotor în bieful aval. Optimal hidraulic privește asigurarea pierderilor minime în părțile de conducere și a uniformității curentului în zona intrării în rotor.

Aparatul director are un triplu rol în funcționarea turbinei:

1. conduce apa spre rotor asigurîndu-i, în condițiile unei distribuții uniforme la intrarea în rotor, o valoare bine determinată a circulației;
2. realizează pierderi hidraulice minime;
3. asigură variația continuă a debitului, respectiv a puterii turbinei, în funcție de necesitățile energetice ale rețelei, constituind în același timp un organ de închidere etanșă a turbinei;

În accepțiunea valabilității legii arilor în spațiul de trecere dintre aparatul director și rotor și a distribuției uniforme a componentelor meridionale ale vitezelor la ieșirea din aceste părți ale turbinei, ecuația fundamentală permite determinarea expresiei debitului sub forma:

$$Q = \frac{r_2^2 \omega + \frac{\eta g H}{\omega}}{\frac{1}{2\pi b} \operatorname{ctg} \alpha_0 + \frac{r_2}{S_2} \operatorname{ctg} \beta_2} \quad (1.1)$$

unde r_2 este raza rotorului în secțiunea de ieșire, β_2 unghiul dintre direcția vitezei relative și opusul vitezei tangențiale în secțiunea de ieșire din rotor, de mărime S_2 , b este înălțimea paletelor aparatului director, α_0 unghiul dintre viteza de la ieșire din aparatul director și direcția tangențială, ω viteza unghiulară, iar H sarcina nominală a turbinei.

La viteză unghiulară ω constantă, rezultă din relația (1.1) că debitul poate fi modificat prin intermediul a trei mărimi: 1) înălțimea aparatului director b , 2) unghiul de ieșire al curentului din aparatul director α_0 , 3) unghiul de ieșire al curentului din rotor β_2 .

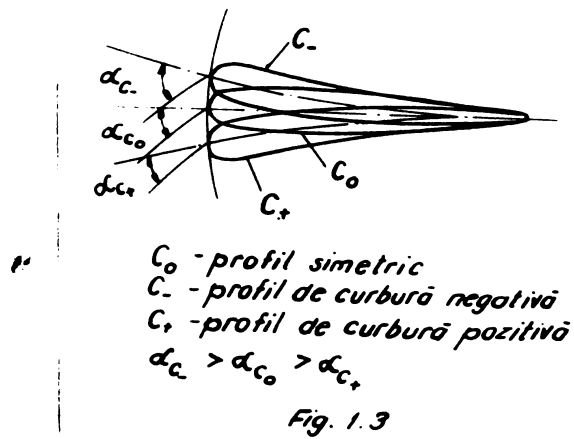
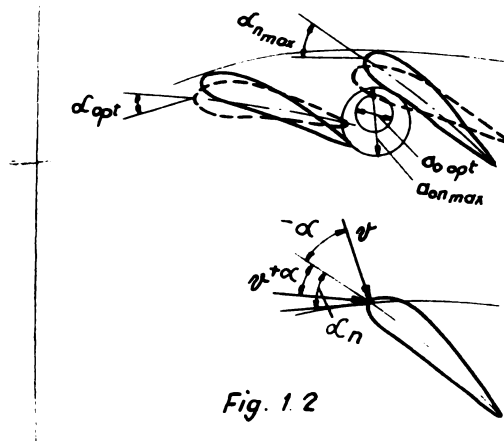
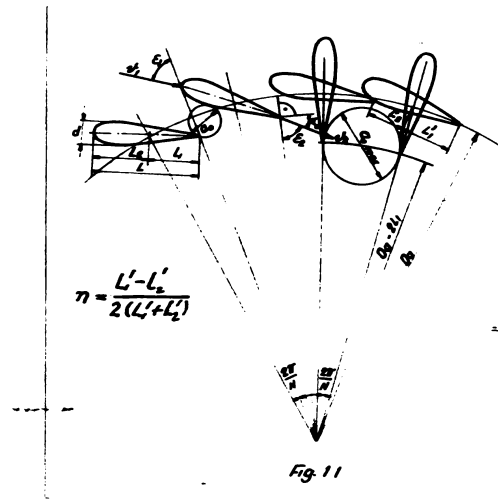
Varianta optimă pentru reglarea debitului turbinelor mari de tip radial-axial și axial o oferă aparatul director cu palete reglabile. Acesta reprezintă un sistem de palete uniforme distribuite pe periferie, având posibilitatea de a se roti în jurul axului lor, paralel cu axul turbinei, de la poziția corespunzătoare deschiderii complete până la închiderea completă (fig.1.1.). Prin reglarea paletelor se modifică direcția curentului de la ieșirea din aparatul director (unghiul α_0) și corespunzător expresiei (1.1) rezultă variația lui Q . Intersectarea aparatului director cu un plan normal pe axul turbinei reproduce în plan rețeaua circulară de profile corespunzătoare aparatului director.

Parametrii geometrice de bază ai aparatului director radial sînt: înălțimea paletelor b , numărul paletelor N , diametrul de așezare al axelor de rotire ale paletelor D_{pa} , lungimea cozii profilului L , grosimea maximă a paletelor d , forma profilului și excentricitatea relativă e_0 caracteristică poziției axului paletelor în raport cu coarda.

Parametrul caracteristic poziției paletelor în procesul de reglare este deschiderea a_0 (fig.1.1) sau parametrul adimensional corespunzător $\bar{a}_0 = a_0/a_{omax}$.

Problemele de bază care privesc hidrodinamica aparatului director în scopul realizării optime a rolurilor sale funcționale sînt:

- 1) Structura curentului determinat de aparatul director la intrarea în rotorul turbinei.
- 2) Forma paletelor aparatului director și pierderile de energie pe care le determină.
- 3) Caracteristicile sale energetice în diferite condiții de funcționare.



Cunoașterea cimpului hidrodinamic la ieșirea din aparatul director este o condiție inevitabilă în proiectarea paletelor rotorului, a căror geometrie trebuie să corespundă distribuției vitezelor la intrare, în scopul realizării caracteristicilor energetice și cavitaționale optime.

În accepțiunea valabilității legii ariilor în spațiul de trecere aparat director-rotor și a distribuției uniforme a componentelor radiale, respectiv meridionale ale vitezelor de la ieșirea din rotor rezultă:

$$tg \alpha_1 = \frac{2\pi r_1 b}{F_1} tg \alpha_0 \tag{1.2}$$

Se observă din (1.2) că odată cu mărirea deschiderii aparatului director unghiul curentului de la intrarea în rotor α_1 crește. Relația își menține valabilitatea de-a lungul întregii înălțimi a paletelor în cazul rotorilor radial-axiali de turație specifică joasă.

Înălțimea aparatului director este de asemenea un parametru cu efect important asupra structurii curentului, a circulației create și a pierderilor energetice. Din ecuația fundamentală a turbinelor:

$$r_1 v_{u1} - r_2 v_{u2} = \frac{\eta g H}{\omega} \tag{1.3}$$

rezultă că odată cu creșterea turației, circulația de la intrarea în rotor se micșorează. Pe de altă parte, la aceeași înălțime b și deschidere a_0 , circulația se mărește odată cu debitul

$$\Gamma_1 = 2\pi r_1 v_{u1} = \frac{Q}{2\pi r_1 b} ctg \alpha_0 \tag{1.4}$$

Pentru asigurarea circulației necesare, aparatele director ale turbinelor de diferite turații, trebuie să difere ca înălțime b și/sau deschideri diferite. Pentru regiile optime, la $v_{u2} = 0$, din ecuația fundamentală rezultă:

$$\frac{b}{D_1} tg \alpha_0 = \frac{Q_n n_n}{60 \eta g} = f(n_s) \tag{1.5}$$

Deci b/D_1 este o funcție de turația specifică a turbinei.

Aparatul director fiind un element intermediar al turbinei, amplasat între camera spirală și rotor, depinde în funcționarea sa de caracteristicile geometrice și hidrodinamice ale camerei spirale care îl precede și de aceea trebuie studiat în strânsă legătură cu camera spirală.

Cîmpul vitezelor adimensionale din camera spirală nu depinde de regimul de funcționare al turbinei în timp ce așezarea paletelor aparatului director și deci direcția elementelor lor de la intrare se modifică odată cu variația puterii respectiv a debitului și deci a deschiderii aparatului director. Rezultă de aici că direcția curentului determinat de camera spirală de dimensiuni fixe poate corespunde direcției paletelor la intrare numai pentru o anumită deschidere a_0 . Pentru deschiderea de proiectare și într-un domeniu vecin apropiat, pierderile de energie în aparatul director trebuie să fie minime. Mărirea unghiului sub care curentul atacă paleta atrage mărirea valorii pierderilor și înrăutățirea condițiilor de funcționare ale aparatului director.

La proiectarea turbinei se cunosc condițiile principale de funcționare, plasate în general între deschiderea optimă a_{opt} - corespunzătoare punctului optim din caracteristica universală a turbinei - și deschiderea $a_{0, n, max}$ corespunzătoare puterii de calcul (fig.1.2). Direcțiile elementelor de la intrare ale paletelor aparatului director la deschiderea optimă α_{opt} și la deschiderea maximă $\alpha_{n, max}$ diferă în funcție de turația specifică a turbinei:
 $\alpha_{n, max} - \alpha_{opt} = 11^\circ + 12^\circ$ la turbinele axiale și de aprox. 6° la turbinele radiale-axiale. /K.3/. Dacă prin proiectarea camerei spirale se asigură vitezelor de la ieșire direcția tangentă elementelor de la intrare în aparatul director pentru a_{opt} , curentul la deschiderea a_{max} se va angaja sub unghiuri de atac negative: $\alpha \approx -12^\circ$ respectiv $\alpha \approx -5^\circ + -3^\circ$. Pe de altă parte, valorile absolute ale vitezelor vor fi mai mari decât în cazul proiectării la a_{max} , implicit vor crește pierderile energetice; în același timp mărirea deschiderii de calcul atrage mărirea dimensiunilor construcției și deci costul investițiilor inițiale.

Rezultă deci că alegerea deschiderii de calcul a aparatului director reprezintă una din problemele de care depinde randamentul energetic al întregii turbine, întrucât implicațiile ei nu privesc numai aspectul energetic direct, deschiderea aparatului director influențînd și ceilalți parametri hidrodinamici: deviația curentului la intrarea în rotorul turbinei, forțele și momentele hidraulice care apar pe paletele aparatului director.

Într-o desosebire de paletele rotorului, paletele aparatului director nu au rolul de a prelua energia activă a curentului, ceea ce înseamnă că în poziția de funcționare schimbul lor să fie cât mai apropiat de traiectoria curentului liber - spirala logaritmică, asigurînd în același timp circulația necesară la intrarea în rotor.

S-a văzut că din considerentul asigurării unei angajări cât mai line a curentului la intrare pe paletele aparatului director, direcția curentului determinată de camera spirală trebuie să corespundă în limite destul de restrânse (aprox. 10°) cu direcția acestor palete. Pe de altă parte din relația (1.5) rezultă că unghiul α_0 variază direct proporțional cu debitul turbinei.

În aprecierea condițiilor optime trebuie realizat compromisul dintre cele două aspecte contradictorii care intervin în construcția mașinilor hidraulice: tendința de a realiza construcții compacte, de gabarite reduse, necesitând cheltuieli de investiție scăzute, dar care conduc la viteze de curgere mari și pierderi hidraulice mari, respectiv randamente mai coborâte în funcționare și tendința de adoptare a unor gabarite mari, asigurând viteze și pierderi mai mici, dar solicitând investiții inițiale mari.

În cazul ansamblului cameră spirală - aparat director, soluția problemei o oferă alegerea unor tipuri diferite de profile pentru paleta aparatului director, având curbura negativă, pozitivă sau simetrică (fig.1.3).

Astfel, la turbinele lente, unde debitul redus Q_{11} este mic, unghiul spiralei rezultat din relația (1.5) este de asemenea mic, ceea ce atrage după sine dimensiuni reduse ale camerei spirale - favorabile din punct de vedere al investițiilor inițiale - dar și pierderi hidraulice mari determinate de vitezele mari de curgere. Se alege în această situație pentru paletele aparatului director profile de curbură negativă, care la același unghi de ieșire a curentului din aparatul director, permit angajarea lină a curentului la intrare sub un unghi mai mare, deci și construirea unei camere spirale asigurând viteze de trecere mai reduse.

La extrema opusă a domeniului de debite, pentru turbinele rapide, valorile mari ale debitului redus conduc conform relației (1.5) la unghiuri α_0 mari, respectiv la camere spirale al căror gabarit mare necesită importante cheltuieli de investiție. Se recurge în această situație la reducerea unghiului α_0 , implicit a dimensiunilor camerei spirale prin adoptarea unor profile de curbură pozitivă a căror tangentă la schelet în dreptul bordului de atac se apropie de valoarea redusă a lui α_0 .

Pentru cazurile intermediare se folosește profilul simetric. Fiind ușor realizabil tehnologic acesta se folosește uneori și pentru turbinele rapide în cameră spirală deschisă, unde paletele amplasate în zona canalului spiral ar trebui în baza raționamentelor de mai sus să aibă curbura pozitivă, iar cele din zona deschisă curbură negativă.

Aparatul director prevăzut cu profile simetrice va funcționa însă în această situație în condiții neuniforme ale curentului de la intrare.

Un parametru geometric de o deosebită importanță pentru funcționarea aparatului director îl reprezintă și excentricitatea profilului, respectiv amplasarea axului de rotație al paletelor de-a lungul corzii. Acest parametru determină mărimea momentelor hidraulice care apar pe paletă în timpul reglării debitului și deci condițiile în care este solicitat servomotorul turbinei.

Pentru rezolvarea problemelor menționate ale hidraulicii, aparatelor directoare trebuie soluționată problema mișcării în prezența rețelei cârculare de profile pe care o reprezintă aparatul director. Mișcarea în aparatul director poate fi considerată plană și axial-simetrică în cazul turbinelor Francis lente și normale. Pe măsură ce turația specifică crește curentul începe să se curbeze chiar din zona de ieșire a aparatului director, abătându-se din plan și devenind spațială.

Cantitatea redusă de date furnizate de literatura de specialitate, pe baza încercărilor efectuate în stațiuni experimentale în apă sau aer, face necesară reconsiderarea problemei hidrodinamicii aparatelor directoare atât din punct de vedere teoretic cât și experimental.

Lucrarea de față și-a propus studiarea teoretică și experimentală a mișcării în prezența unui aparat director radial, analizând următoarele aspecte ce decurg din problemele de bază ale aparatelor directoare:

1. Structura curentului format de aparatul director și deviația curentului înainte de rotor.

2. Variația pierderilor hidraulice în timpul reglării aparatului director.

3. Coeficienții de forță și moment ce acționează pe palete în diverse condiții de funcționare.

4. Influența parametrilor geometrici și cinematici - deschiderea relativă, unghiul curentului de la intrare determinat de elementele de la ieșirea din camera spirală, numărul paletelor aparatului director, forma paletelor, excentricitatea profilului - asupra caracteristicilor energetice ale aparatului director.

1.2. Problemele rețelilor de profile.

În cercetările actuale din domeniul mașinilor hidraulice se urmărește tot mai insistent elucidarea corelației dintre factorii guvernanți ai fenomenelor de transformare energetică și în măsura posibilă cuprinderea lor în relații matematice exacte.

Principiul fundamental de funcționare al turbomașinilor rezidă în schimbul dinamic de energie dintre mediul fluid și paletajul rotoric. În afara paletajului rotoric turbomașinile mai dispun de paletaje fixe (stator, aparat director) având rolul de a imprimă curentului fluid o anumită deviație. Dispunerea periodică și echidistantă a paletelor a condus la denumirea de rețea de palete. Rețeaua de palete este deci elementul constructiv de bază al turbomașinii iar mișcarea în prezența rețelei constituie fenomenul fizic esențial al funcționării mașinii.

Pentru construirea unor metode utile de calcul al tabloului mișcării în prezența rețelei de palete se impune, dată fiind complexitatea problemei, adoptarea unor ipoteze simplificatoare. În concordanță cu scopul urmărit, trebuie ca aceste idealizări să circumscrie cu suficientă precizie fenomenul real și să favorizeze un calcul rațional al tabloului mișcării.

Ca urmare a modului de funcționare, câmpul mișcării în interiorul mașinii este axial-simetric, iar dacă se consideră mișcarea individuală din rotor sau aparatul director avem de-a face cu o mișcare strict tridimensională, a cărei viteză prezintă o componentă radială, o componentă tangențială și una axială. Peste caracterul tridimensional se mai suprapune efectul dependenței de timp ceeace determină caracterul nestaționar al mișcării.

O primă ipoteză simplificatoare constă în neglijarea mișcării individuale din rotor sau aparatul director și considerarea mișcării ca strict axial-simetrică. Prin aceasta dispare dependența de coordonata tangențială precum și periodicitatea în timp. Mișcarea își menține cele trei componente ale vitezei, dar ele nu mai depind decât de coordonata radială și axială. Linile de curent se pot suprapune prin rotație în jurul axei și generează astfel suprafețe de scurgere coaxiale și axial-simetrice. Această teorie a suprafețelor de scurgere este importantă și utilă în studiul mașinilor diagonale.

O idealizare a mișcării în altă direcție se obține dacă menținem mișcarea individuală din rotor sau aparatul director, se consideră în schimb desfășurarea ei în plane paralele care inter-

INSTITUTUL POLITEHNIC
TIMIȘOARA
BIBLIOTECA CENTRALĂ

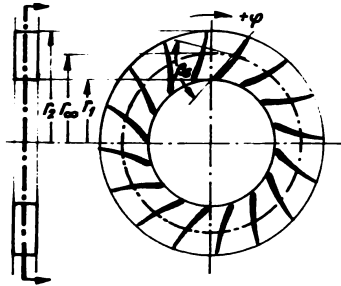


Fig. 1.4. Secțiune radială printr-un rotor radial pentru obținerea unei rețele circulare

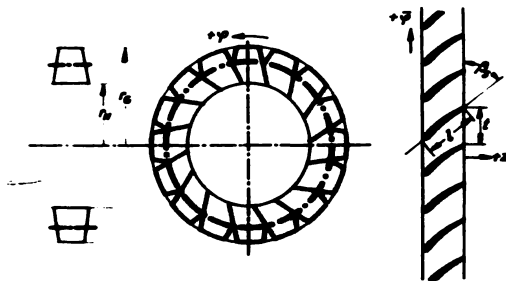


Fig. 1.5. Secțiune coaxială printr-un rotor axial și desfiurarea ei pentru obținerea unei rețele drepte

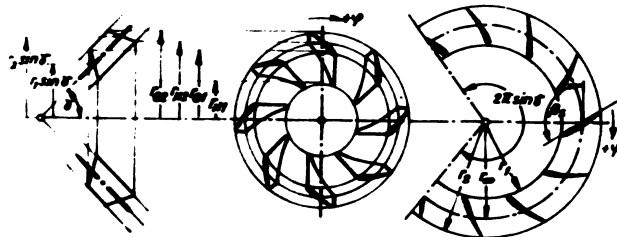


Fig. 1.6. Secțiune conică printr-un rotor diagonal și desfiurarea pentru obținerea unei rețele circulare

INSTITUTUL POLITEHNIC
TIMIȘOARA
BIBLIOTECA CENTRALĂ

sectează paletetele după un profil aerodinamic. Exemplul cel mai simplu de materializare este cazul unui rotor pur radial intersectat cu un plan normal pe ax (fig.1.4). În planul de intersecție profilele au o poziție stelată cu decalajul unghiular $\Delta\tau$ în jurul centrului. Această dispunere geometrică poartă denumirea de rețea circulară de profile. Parametrii ei geometrici caracteristici sînt:

- raportul razelor de la intrare și ieșire R_1/R_2
- numărul profilelor $N = 2\pi / \Delta\tau$
- unghiul la centru în care este cuprins profilul τ_0

Prin intersectarea unui rotor axial cu o suprafață cilindrică coaxială cu rotorul se obține după desfășurare o rețea rectilinie infinită de profile cu pasul relativ t/l și unghiul de instalare λ (fig.1.5). Rețeaua rectilinie poate fi privită ca un caz particular de rețea circulară pentru care $R_2 \rightarrow R_1$, iar Z tînde invers proporțional cu $R_2 - R_1$ la infinit pentru a obține un pas relativ finit.

Ca urmare a observării celor două cazuri limită - rețeaua circulară și rețeaua rectilinie - rezultă că și rotorul conic se poate reduce la un caz plan prin idealizare: folosind ca suprafață de intersecție o suprafață conică coaxială cu rotorul (fig.1.6). Desfășurînd această suprafață conică se obține o rețea circulară. La prima desfășurare se obține numai un segment circular cu unghiul la centru $2\pi \sin\tau$, cu τ ca semiunghi de desfășurare a conului de intersecție. Acest segment circular se poate reflecta față de una din limitele sale pentru a completa rețeaua circulară.

Rezultă din cele expuse pînă acum că punctul de pornire al cercetărilor în domeniul rețelelor de profile poate să-l constituie mișcarea plană a fluidului care în cazul rețetilor hidraulice poate fi considerat incompresibil. În primă etapă se neglijează forțele de vîscozitate și se acceptă ipoteza fluidului ideal. Rezultatele obținute din soluționarea problemei sub restricția acestor ipoteze se pot completa prin studiile corenante ale mișcării în stratul limită care permit determinarea teoretică a pierderilor hidraulice datorite prezenței rețelei.

În ultimă instanță scopul studiilor asupra mișcării în prezența rețelei este ca pentru un anumit tip de transformare energetică să se determine regimul de instalare optim. Pentru aceasta trebuie cunoscută dependența dintre parametrii geometrici și aerodinamici ai rețelei.

Parametrii geometrici ai rețelei circulare sînt cei enumerați mai sus la care se adaugă parametrii geometrici ai profilu-

lui rețelei (fig.1.7). Prin parametrii aerodinamici se înțeleg vitezele de la intrare și ieșire v_1 și v_2 , unghiurile ϵ_1 și ϵ_2 , diferența de presiune $\Delta p = p_1 - p_2$ unde p_1 și p_2 sînt presiunile statice înainte și după rețea repartiția de presiune $p(s)$ pe conturul profilului rețelei ca și pierderea de energie sub forma $\Delta p_t = p_{t1} - p_{t2}$ în cazul fluidului incompresibil, unde p_{t1} și p_{t2} sînt presiunile totale înainte și după rețea. Din distribuția de presiuni pe profil se pot determina forțele rezultante ale acțiunii fluidului asupra profilului.

Legătura dintre parametrii geometrici și aerodinamici se determină în două etape:

1. Determinarea repartiției presiunii pe conturul profilului rețelei în ipoteza mișcării potențiale plane.
2. Determinarea stratului limită pe contur și a pierderilor hidraulice corespunzătoare.

În studiul primei etape se disting două probleme principale:

- I. Cunoscînd mărimea și direcția vitezei la intrare și ieșire să se determine geometria rețelei și a profilului precum și distribuția de presiuni pe conturul profilului.
- II. Cunoscînd geometria rețelei și a profilului să se determine mărimea și direcția vitezei de la ieșire, distribuția de presiuni pe conturul profilelor și forțele ce derivă din ea, în funcție de viteza de la intrare.

Prima problemă este specifică proiectării, presupunînd dimensionarea rețelei optime pentru anumite condiții de funcționare. Cercetările sistematice asupra rețelelor, la care se modifică treptat unii dintre parametrii geometrici menținînd constant restul lor pentru descoperirea performanțelor rețelei, fac obiectul celei de a doua probleme. Aceasta mai intervine și în procesul de proiectare atunci cînd este necesară "recalcularea" unei rețele care în i s-au stabilit anterior parametrii geometrici.

1.3. Metode de rezolvare a problemelor mișcării în prezența rețelei circulare de profile.

. În ipoteza fluidului ideal ecuațiile care caracterizează mișcarea în prezența rețelei de profile sînt: ecuația de continuitate și ecuația de mișcare, la care se adaugă ipoteza incompresibilității fluidului în cazul rețelelor specifice mașinilor hidraulice. Aceste trei ecuații oferă teoretic, pentru fluidul ideal, un sistem determinat pentru soluția problemei, adică determinarea câmpului vectorial al vitezelor și a câmpurilor scalare ale presiunii și masei specifice.

La acestea se mai adaugă condițiile la limită caracterizînd comportarea fluidului perfect de-a lungul frontierelor mișcării. Din condiția de impenetrabilitate a unui solid iners apare condiția ca conturul să fie linie de curent sau condiția de anulare a componentei normale pe contur a vitezei. În cazul fluidelor reale, viteza pe contur se anulează, în vreme ce la fluidul ideal rămîne diferită de zero numai componenta tangențială a vitezei pe contur.

În cazul mișcării în prezența rețelelor circulare se evidențiază două situații funcționale:

- rețeaua circulară fixă, corespunzătoare unei rețele de stator sau aparat director,
- rețeaua circulară rotitoare, corespunzătoare unei rețele de rotor de pompă sau turbină,

Indiferent de natura fluidului și de condițiile fizice în care se desfășoară mișcarea, rețeaua de profile fiind un sistem periodic de obstacole, mișcarea în prezența ei va fi de asemenea periodică.

Tratarea matematică a problemelor rețelelor de profile permite defalcarea următoarelor metode:

a) Metoda ecuațiilor integrale, constînd în soluționarea ecuațiilor integrale ale câmpului de viteze ținîndu-se cont de condițiile la limită pe contur și la intrarea în rotor. A fost aplicată de J.J.Kramer /K.13/ pentru cazul rețelelor formate din segmente de spirală logaritmică sau din plăci. Pentru profile de o formă oarecare integrarea atrage după sine complicații matematice care fac rezolvarea prea laborioasă în calculele aplicative.

b) Metoda singularităților se bazează pe teoria lui Liouville /B.9/ elaborată pentru profilul izolat. La care efectul profilului este înlocuit cu o distribuție de surse și vîrtejuri.

INSTITUTUL DE RESEARCH
TIMIȘOARA
CENTRALĂ

Această metodă cunoaște o extinsă aplicare la rețelele rectilinii de profile și a fost aplicată pentru prima dată la rețelele circulare de către A. Betz /B.7/ și dezvoltată mai târziu de W. Isay /I.3/ și Hoffmeister /H.3/.

În centrul rețelei se consideră o sursă sau absorbție egală ca intensitate cu debitul care traversează rețeaua de lățime unitară și un vârtej de intensitate egală cu circulația de la intrare. Profilele rețelei se înlocuiesc cu distribuții de surse-absorbții și vârtejuri, repartizate pe conturul profilului. Integrala de-a lungul conturului a distribuției de surse-absorbție trebuie să se anuleze în virtutea condiției ca întreg conturul să fie linie de curent, iar integrala de-a lungul aceluiaș contur a distribuției de vârtejuri, trebuie să fie egală cu circulația realizată de profil.

Viteza pe contur rezultă din soluționarea unui sistem de ecuații integrale de tip Fredholm pentru a căror integrare se folosește o metodă numerică. Studiul lui Isay pune la dispoziție o metodă de calcul al rețelelor circulare relativ laborioasă, dar care în situația folosirii unei mașini electronice de calcul poate soluționa problema repartiției vitezelor pe conturul profilului.

c) Metoda transformării conformase bazează pe transformarea domeniului mișcării din planul rețelei circulare pe un domeniu canonic unde mișcarea are soluții cunoscute. Ca domeniu canonic s-a ales:

- exteriorul cercului unitate - metodă studiată de Mülig /M.11/, Busemann /B.11/, Sørensen /S.15/, Sparnhake /S.16/, Scholz /S.7/, Keicapar /K.1/, Solonohova /S.14/, Acosta /A.5/ și alții;

- interiorul cercului unitate - metodă studiată de Voltagovski /V.2,3/ și alții;

- domeniul exterior rețelei circulare de arce de spirală logaritmă - metodă studiată de Taugcanov /T.1/;

- domeniul exterior rețelei de plăci drepte sau curbe - metodă studiată de Dorfman /D.7/.

Studiul rețelei rotitoare se face în toate aceste cazuri suprapunând două tipuri de mișcare:

- mișcarea în prezența unei rețele fixe datorită sursei Q_0 și a circulației Γ_0 dispuse în origine,

- mișcarea generată de rețeaua rotitoare cu viteza unghiulară ω , în fluxul în repaus - așa numita "mișcare completă" de transport". Viteza corespondente acestei mișcări este nullă în centrul rețelei și la infinit.

Pentru rețelele formate din profile subțiri de formă apropiată segmentului de spirală logaritmică sau din profile cantilice, calculul distribuției de viteze nu este prea laborios, iar rezultatele sînt exacte. La profilele de formă oarecare transformarea profilului pe un domeniu canonic oarecare este foarte laborioasă, ceea ce face ca metodele să nu mai fie practice.

Transformarea conformă a domeniului mișcării din rețeaua circulară în domeniul corespunzător unei rețele rectilinii prezintă mari avantaje din punct de vedere al metodei de calcul. Problema mișcării în prezența rețelelor rectilinii de profile este practic rezolvată, ea constituind preocuparea unei întregi pleiade de cercetători din domeniul mecanicii fluidelor. Se cuvin a fi menționate aici importante studii în domeniul rețelelor rectilinii datorate lui F. Weinig /W.1/, J.E. Garrick /G.1/, și W. Traupel /T.2/ care rezolvă problema plană a mișcării în prezența șirului infinit de contururi congruente transformând conform domeniul mișcării în domeniul exterior cilindrului circular.

Rețeaua rectilinie este studiată prin metoda singularităților de către A. Betz /B.7/ și M. Schilhanal /S.3/, iar aplicațiile ulterioare se datoresc lui J. Ackeret /A.4/, E. Pistolosi /P.1/, V. Lieblein /L.3/, ca și lui R.A. Spurr și H.J. Allen /S.17/, S. Katzoff, R.S. Finn și J.C. Laurance /K.1/ care lucrează parțial prin transformări conforme și parțial prin metoda singularităților.

Rezultate importante s-au obținut prin studiile lui W. Isay /I.3,4/ care folosește metoda ecuațiilor integrale singulare în cazul rețelelor rectilinii și prelucurează o metodă numerică de calcul precum și prin lucrările lui H. Schlichting /S.4/ care pe baza aceleiași metode a singularităților pune la dispoziția cercetătorului o metodă de calcul bazată pe coeficienți tabelați în funcție de pasul relativ și unghiul de instalare reducînd astfel substanțial volumul de lucru.

H. Scholz /S.9/ elaborează o metodă de calcul bazată pe teoria singularităților care face posibilă rezolvarea atât a primei probleme a rețelelor cît și a celei de a doua.

Se remarcă deosebit de mult deosebit de mult studiile cercetătorilor sovietici în problema rețelelor rectilinii, astfel Akimov /A.6/ studiază în 1934 problema mișcării plane în prezența rețelei de arce de cerc, N.B. Kocin /K.7/, /K.8/ a adus contribuții la studiul rețelelor rectilinii de profile prin transformări conforme, G.S. Senozonov /S.11, 2/ a dezvoltat o metodă de studiu prin transformarea conturului rețelei de cercuri, iar L.A. Simonov /S.12/ aplică metoda de

În studiul profilului izolat și în rețea. I. F. Leschin /L.2/ elaborează o metodă de calcul al cîmpului vitezelor în rețeaua de profile subțiri prin metoda singularităților.

Problema rețelelor rectilinii a mai preocupat cercetătorii ca Proskura /P.10/, Scholz /S.8/, Stepanov /S.13/, Sedov /S.11/ care elaborează în acest domeniu importante tratate monografice.

Importante sînt preocupările legate de studiul caracteristicilor hidrodinamice ale profilelor izolate și funcționînd în rețea rectilinie datorite lui A. Dürglöbam, I. Anton și O. Popa /A.3, 9, 10, 12/, /B.1, 2, 3, 4, 5, 6/, /P.3, 4, 5, 6, 11/. Utilizînd metoda ecuațiilor integrale singulare formulele lui Pleniș și problemele la limită de tip Hilbert, s-au elaborat noi metode de studiu al cîmpului de viteze pe conturul profilelor rețelei. O. Popa a stabilit formula de inversiune a integralei de tip Cauchy pentru rețeaua de arce subțiri /P.13/ și a determinat de asemenea o relație generală care să permită calculul proprietăților aerodinamice ale unui profil dispus în rețea, cînd se cunosc proprietățile aerodinamice ale profilului singular /P.11/.

Prin transformarea conformă a domeniului înțegrii din rețeaua circulară în rețeaua rectilinie problema se rezolvă în domeniul rețelei rectilinii făcînd apel la oricare din metodele de calcul studiate de către autorii mai sus citați, iar rezultatele se trasează în baza transformării efectuate în rețeaua circulară.

Acest mod de punere a problemei a cîștigat interesul multor cercetători ca H. Krüger /K.15/, Helesev /H.2/, A. Vorba /V.1/, J. Polásek /P.2/, O. Fuzy /F.3/ și alții.

Metoda nu este îngrădită de particularitățile geometrice ale profilelor rețelei circulare și soluția prezentată diferă de la autor la autor doar în funcție de metoda de rezolvare utilizată în domeniul transformat.

În lucrarea de față s-a utilizat această metodă pentru calculul analitic al caracteristicilor hidrodinamice ale rețelei circulare, apelînd în planul rețelei rectilinii la metoda dezvoltată de I. Anton și O. Popa /A.10/, /P.5/.

1.4. Parametrii geometrici și cinematici ai mișcării în prezența rețelelor circulare de profile.

Scopul final al cercetărilor privind rețelele de profile îl constituie stabilirea caracteristicilor energetice și cavitaționale într-o formă adecvată procesului de proiectare, astfel încât inginerul proiectant să-și poată alege sau defini rețeaua de profile care să realizeze, fără pericolul apariției fenomenului de cavitație și cu pierderi minime, deviația curentului impusă de condițiile nominale de funcționare. Dacă în cazul profilului izolat și al rețelelor rectilinii au fost elaborate pînă în prezent studii sistematice, teoretice și experimentale în această direcție, în domeniul rețelelor circulare literatura de specialitate indică o preocupare destul de restrînsă. În lipsa unor convenții general acceptate privind notația și definirea mărimilor caracteristice s-au admis, unde a fost posibil, moduri de definire apropiate de cele utilizate la rețelele rectilinii.

1.4.1. Parametrii geometrici ai rețelei circulare sînt definiți doi:

- Geometria profilului definită prin : d/l - grosimea relativă, f/l - curbura relativă, r/l - poziția relativă a curburii maxime, R/l - raza relativă a bordului de atac, 2τ - unghiul bordului de atac (fig.1.6).

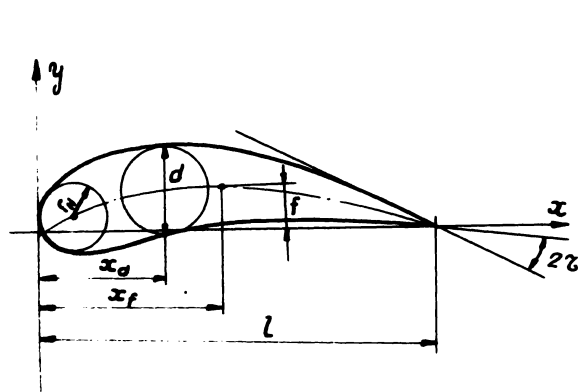
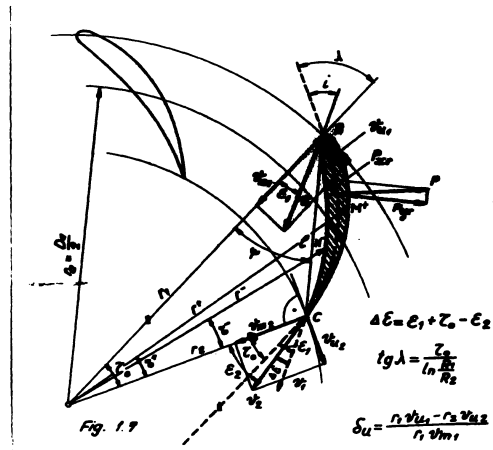
În cazul calculului analitic profilul este definit prin ecuația conturului $r^2(\tau^2)$ sau prin puncte (r^2, τ^2)

- Geometria rețelei definită prin : R_1 - raza de așezare a bordului de atac, R_2 - raza de așezare a bordului de fugă, R_a - raza de așezare a axului profilului, N - numărul profilelor rețelei, τ_0 - unghiul la centru în care se înscrie profilul (fig.1.7).

1.4.2. Parametrii hidrodinamici care caracterizează curentul pot fi rezumați la: viteza curentului, presiune, unghiul de atac, numărul Reynolds, numărul Mach și gradul de turbulență al curentului:

- Viteza curentului: în cazul rețelei circulare, spre deosebire de rețelele rectilinii, nu se poate defini viteza W_∞ . Într-ăci această nu are un sens fizic. La rețelele acceleratoare curentul are sens centripetal, iar viteza crește continuu de la intrare spre ieșire. La rețelele încârziate cum sînt cele de punte curentul are sens centrifugal, iar viteza descreește de la intrare spre ieșire.

În cazul studiilor experimentale se consideră că viteza de la intrare este aceea viteză măsurată în amonte (pentru rețelele



INSTITUTUL POLITEHNIC
TIMIȘOARA
BIBLIOTECA CENTRALĂ

acceleratoare) a cărei distribuție de-a lungul periferiei este constantă.

- Presiunea curentului p_1 din amonte de rețea diferă de presiunea p_2 din aval de rețea: pentru rețelele acceleratoare $p_1 > p_2$ iar pentru cele întirziate $p_1 < p_2$.

- Unghiul de atac sau de incidență (i) s-a convenit a fi notat unghiul pe care viteza curentului de la intrare îl face cu tangenta la spirala logaritmică ce trece prin boșul de atac și de fugă al profilului.

Pe lângă unghiul de atac curentul mai poate fi caracterizat și prin unghiul de la intrare (ϵ_1) respectiv ieșire (ϵ_2) măsurat între direcția vitezei și raza vectorilor ce trece prin punctul în care se măsoară viteza.

- Numărul Reynolds este foarte important în cazul studiilor experimentale pentru precizarea regimului de mișcare. În funcție de tipul rețelei studiate se consideră pentru rețele de pompă $R_{e1} = v_1 l / \nu$, pentru rețele de turbină $R_{e2} = v_2 l / \nu$, unde l este înălțimea cozii profilului.

- Numărul Mach al curentului e necesar în studiile experimentale întrucât caracterizează influența compresibilității. Poate fi exprimat sub forma $M_{a1} = v_1 / a$ pentru rețelele de pompă sau $M_{a2} = v_2 / a$ pentru rețelele de turbină (a fiind viteza sunetului în mediul de lucru).

- Grădul de turbulență caracterizează măsura de turbulență a curentului la intrare sau ieșire prin /S.C/ :

$$T_u = \sqrt{\frac{\frac{1}{3}(\bar{v}_x^2 + \bar{v}_y^2 + \bar{v}_z^2)}{\bar{v}}}$$

unde \bar{v}_x^2 , \bar{v}_y^2 , \bar{v}_z^2 sînt valorile medii într-un interval de timp T ale pătratelor componentelor vitezelor locale:

$$\bar{v}_x^2 = \frac{1}{T} \int_0^T v_x^2 dt \quad ; \quad \bar{v}_y^2 = \frac{1}{T} \int_0^T v_y^2 dt \quad ; \quad \bar{v}_z^2 = \frac{1}{T} \int_0^T v_z^2 dt$$

Iar \bar{v} este viteza medie a curentului în secțiunea considerată.

Concluzii la capitolul I.

Analizarea funcției mîdă a aparatului director, ca element intermediar de conducere a curentului dinsura camera spin și în rețea, determină rolul său hotărîtor în asigurarea condițiilor optime de intrare în rotorul turbinei.

Problematika ridicată de funcționarea aparatului director în condiții optime din punct de vedere energetic, insuficient studiată în literatura de specialitate, face necesară reconsiderarea teoretică și experimentală a hidrodinamicii mișcării în prezența aparatului director, în scopul stabilirii atât a caracteristicilor de funcționare, cât și a influenței parametrilor geometrici și cinematici asupra performanțelor sale.

Din analiza tabloului mișcării în prezența aparatului director și sub restricția unor ipoteze simplificatoare - fluid ideal, incompresibil, mișcare plană, axial-simetrică - rezultă posibilitatea soluționării problemei prin asimilarea cu mișcarea în prezența unei rețele circulare plane de profile. Tratarea matematică a acestei probleme permite defalcarea următoarelor metode: metoda ecuațiilor integrale, metoda singularităților, metoda transformării conforme a domeniului mișcării pe un domeniu canonic unde se cunosc soluții cunoscute. Date fiind numeroasele metode de rezolvare elaborate până în prezent de diverși cercetători și în special contribuțiile aduse de Școala timișoreană de mașini hidraulice pentru rețelele plane de profile, se dovedește deosebit de avantajoasă transformarea conformă a mișcării din planul rețelei circulare în planul unei rețele plane echivalente în care se poate soluționa tabloul mișcării și transpune apoi rezultatele în planul fizic.

CAPITOLUL II.

METODA ANALITICA APLICATA PENTRU CALCULUL CARACTERIS- TICILOR HIDRODINAMICE ALE REȚELEI CIRCULARE.

2.1. Funcția de transformare și parametrii geometrici și cinematici ai rețelei de calcul.

Funcția care transformă domeniul mișcării din planul rețelei circulare pe un domeniu canonic în care rețeaua de profile este rectilinie, este funcția logaritmică, cu expresia generală:

$$Z = (a + ib) \ln z + (c + id) \quad (2.1)$$

unde $Z = x + iy$ este un punct curent al domeniului rețelei rectilinii; $z = re^{it}$ este un punct curent al domeniului rețelei circulare; a, b, c, d sînt constantele transformării a căror valoare se determină în funcție de configurația geometrică a rețelei.

În cele ce urmează se vor stabili constantele funcției de transformare în cele două cazuri caracteristice de rețea circulară: - rețeaua parcursă de curent în sens centripetal (rețea de rotor, aparat director sau stator de turbină); - rețeaua parcursă de curent în sens centrifugal (rețeaua de rotor și aparat director de pompă).

Pentru primul caz considerăm o rețea de aparat director de turbină care primește curentul de la ieșirea din camera spiralată cu circulația Γ_2 iar la ieșirea din aparatul director curentul are circulația Γ_1 . Fie R_1 raza de agerare a bordului de atac și R_2 raza de agerare a bordului de fugă pentru rețeaua formată din n profile. Efectuăm transformarea conformă astfel ca punctului de la $+\infty$ din planul z să-i corespundă punctul de la $-\infty$ din planul Z , iar originii planului z să-i corespundă punctul de la $+\infty$ din planul Z , bordul de atac al profilului să fie plasat în originea sistemului din planul Z , bordul de fugă pe axa absciselor în punctul de cîscăie 1 (fig. 2.1). Notăm cu λ unghiul pe care tangenta la spiră la ieșirea din rețea face cu bordul de atac și de fugă îl face cu ramurii curent. Vom avea următoarea corespondență de puncte :

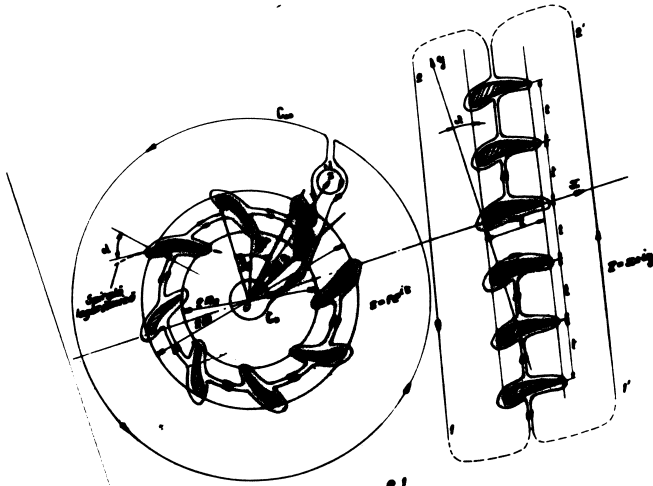


Fig. 2.1

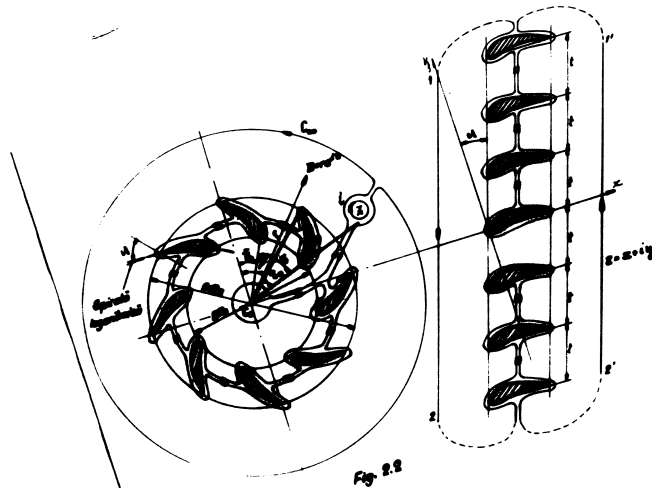


Fig. 2.2

$$\begin{cases} r = R_2 \\ \tau = 0 \end{cases} \rightarrow \begin{cases} x = l \\ y = 0 \end{cases} \quad (2.2)$$

$$\begin{cases} r = R_1 \\ \tau = \tau_0 \end{cases} \rightarrow \begin{cases} x = 0 \\ y = 0 \end{cases} \quad (2.3)$$

$$\begin{cases} r = R_1 \\ \tau = \tau_0 + \frac{2\pi}{N} \end{cases} \rightarrow \begin{cases} x = -t \sin \lambda \\ y = -t \cos \lambda \end{cases} \quad (2.4)$$

unde τ_0 este unghiul la centru în care este prins profilul în planul z iar t este pasul rețelei în planul Z . Cu aceste condiții se determină constantele funcției de transformare:

$$Z = l - \frac{Nt}{2\pi} e^{-i\lambda} \ln \frac{z}{R_2} \quad (2.5)$$

și parametrii geometrici ai rețelei rectilinii: unghiul de instalare λ și pasul relativ:

$$\lambda = \arctg \frac{\tau_0}{l \ln \frac{R_1}{R_2}} \quad (2.6)$$

$$t/l = \frac{2\pi}{N} \frac{\cos \lambda}{\ln \frac{R_1}{R_2}} \quad (2.7)$$

Relația între coordonatele punctelor omoloage se poate scrie sub forma:

$$\begin{cases} x = l - \frac{Nt}{2\pi} \left(\cos \lambda \ln \frac{r}{R_2} + \tau \sin \lambda \right) \end{cases} \quad (2.8)$$

$$\begin{cases} y = \frac{Nt}{2\pi} \left(\sin \lambda \ln \frac{r}{R_2} - \tau \cos \lambda \right) \end{cases} \quad (2.9)$$

sau

$$\begin{cases} \frac{r}{R_1} = \left(\frac{R_2}{R_1} \right)^{\left(\frac{x}{l} - \frac{y}{l} \operatorname{tg} \lambda \right)} \end{cases} \quad (2.10)$$

$$\begin{cases} \tau = \left[\left(1 - \frac{x}{l} \right) \operatorname{tg} \lambda + \frac{y}{l} \right] \ln \frac{R_1}{R_2} \end{cases} \quad (2.11)$$

Relațiile (2.6), (2.7), (2.8), (2.9) permit determinarea punct cu punct a conturului profilului, a pasului relativ și unghiului de instalare al rețelei rectilinii.

Pentru determinarea parametrilor cinematici ai mișcării în domeniul rețelei rectilinii se ține cont că în virtutea unei formări conforme efectuate, vitezele complexe satisfac relații

$$W(z) dz = W(Z) dZ \quad (2.12)$$

sau

$$|W(z)| = |W(Z)| \left| \frac{dZ}{dz} \right| = |W(Z)| \frac{Nt}{2\pi} \quad (2.13)$$

Impunând condiția de egalitate a circulațiilor pe con-
turul de la $+\infty$ în planul z și pe conturul dela $-\infty$ din planul Z
- contururi omoloage prin transformare - avem:

$$\oint_{C_\infty} W(z) dz = - \int_1^2 W(-\infty) dZ \quad (2.14)$$

Viteza asimptotică $W(-\infty)$ din planul rețelei rectilini
este conform /A.10/ :

$$W(-\infty) = W_\infty + \frac{\Gamma}{2t} e^{-i(\frac{\pi}{2}-\lambda)} = V_\infty e^{-i\alpha_\infty} + \frac{\Gamma}{2t} e^{-i(\frac{\pi}{2}-\lambda)} \quad (2.15)$$

unde Γ este circulația în jurul profilului iar V_∞ și α_∞ modulul
respectiv incidența curentului de la infinit din planul rețelei
rectilini. Integrând de-a lungul conturului L' (fig.2.1)

$$- \int_1^2 W(-\infty) dZ = -V_\infty i N t e^{-i(\lambda+\alpha_\infty)} - \frac{N\Gamma}{2} \quad (2.16)$$

Primul membru al relației (2.14) se mai poate scrie:

$$\oint_{C_\infty} W(z) dz = \oint_{C_\infty} v_t ds + i \oint_{C_\infty} v_n ds = -\Gamma_\infty - i Q_\infty \quad (2.17)$$

unde s-a operat descompunerea

$$W(z) dz = W(z) e^{iz} ds = (v_t + i v_n) ds$$

iar Γ_∞ respectiv Q_∞ sînt circulația respectiv debitul de la $+\infty$
raportat la înălțimea paletei dispuse în rețeaua circulară.

Înlocuind (2.16) și (2.17) în (2.14) obținem după câteva
operații simple parametrii cinematici ai mișcării în rețeaua rec-
tilinie :

$$V_\infty = \frac{1}{Nt} \sqrt{Q_\infty^2 + \left(\Gamma_\infty - \frac{N\Gamma}{2}\right)^2} \quad \text{cu } v_\infty \text{ și } \lambda \quad (2.18)$$

$$\tan(\alpha_\infty + \lambda) = \frac{2\Gamma_\infty - N\Gamma}{2Q_\infty} \quad (2.19)$$

În urma stabilirii parametrilor geometrice și cinematici
ai mișcării în domeniul rețelei rectilini, se dispune de toate ele-
mentele necesare rezolvării problemei în acest plan.

Este analizat în continuare cazul rețelei circulare spe-
cifice rotorului sau aparatului director de pană. Pentru acest
tip de rețea circulară transformarea domeniului mișcării în planul
rețelei rectilini învane următoarea corelație care se poate scrie
gîndu-ne sistemului de axe din planul z este transformat în planul
la $-\infty$ din planul Z , iar punctul de la $+\infty$ din planul z în punctul
de la $+\infty$ din planul Z , cercul de atac al profilului situat pe
cîr de atac A_1 și înălțimea la centru $\tau = 0$ se transformă în

sistemului de axe din planul Z iar bordul de fugă al aceluiaș profil în punctul de abscisă $x = 1$, pe axa absciselor din planul Z (fig.2.2). Avem deci:

$$\begin{cases} r = R_1 \\ \tau = 0 \end{cases} \longrightarrow \begin{cases} x = 0 \\ y = 0 \end{cases} \quad (2.20)$$

$$\begin{cases} r = R_2 \\ \tau = \tau_0 \end{cases} \longrightarrow \begin{cases} x = 1 \\ y = 0 \end{cases} \quad (2.21)$$

$$\begin{cases} r = R_1 \\ \tau = 2\pi/N \end{cases} \longrightarrow \begin{cases} x = t \sin \lambda \\ y = t \cos \lambda \end{cases} \quad (2.22)$$

Funcția de transformare corespunzătoare va fi:

$$Z = \frac{Nt}{2\pi} e^{-i\lambda} \ln \frac{z}{R_1} \quad (2.23)$$

iar parametrii geometrici ai rețelei rectilinii:

$$\lambda = \arctg \frac{\tau_0}{\ln \frac{R_2}{R_1}} \quad (2.24)$$

$$\frac{t}{l} = \frac{2\pi}{N} \frac{\cos \lambda}{\ln \frac{R_2}{R_1}} \quad (2.25)$$

Funcția de transformare (2.23) se mai poate scrie sub forma:

$$\begin{cases} x = \frac{Nt}{2\pi} \left(\cos \lambda \ln \frac{r}{R_1} + \tau \sin \lambda \right) \end{cases} \quad (2.26)$$

$$\begin{cases} y = \frac{Nt}{2\pi} \left(\tau \cos \lambda - \sin \lambda \cdot \ln \frac{r}{R_1} \right) \end{cases} \quad (2.27)$$

sau

$$\begin{cases} \frac{r}{R_1} = \left(\frac{R_2}{R_1} \right)^{\left(\frac{x}{t} - \frac{y}{l} \operatorname{tg} \lambda \right)} \end{cases} \quad (2.28)$$

$$\begin{cases} \tau = \left(\frac{x}{l} \operatorname{tg} \lambda - \frac{y}{l} \right) \ln \frac{R_2}{R_1} \end{cases} \quad (2.29)$$

Relația (2.26) și (2.27) permit transformarea punct cu punct a conturului profilului din planul rețelei circulare în planul rețelei rectilinii.

Aplicând ca și în cazul precedent condiția egalității circulațiilor: pe conturul din jurul originii în planul rețelei circulare și în jurul punctului omolog din rețeaua rectilinie obținem:

$$\oint_{C_0} W(z) dz = \int_2^1 W(-\infty) dZ \quad (2.30)$$

și efectuând integralele din membrul stâng și drept al relației (2.30) se obține în cele din urmă:



$$\Gamma_0 + iQ_0 = -iV_\infty Nt e^{-i(\alpha_\infty + \lambda)} - \frac{N\Gamma}{2}$$

de unde rezultă parametrii cinematici ai rețelei rectilinii:

$$V_\infty = \frac{1}{Nt} \sqrt{Q_0^2 + \left(\Gamma_0 + \frac{N\Gamma}{2}\right)^2} \quad (2.31)$$

$$\operatorname{tg}(\alpha_\infty + \lambda) = \frac{2\Gamma_0 + N\Gamma}{2Q_0} \quad (2.32)$$

Cunoscând parametrii geometrici și cinematici ai rețelei rectilinii se poate rezolva problema mișcării în acest plan, iar rezultatele se transpun în planul rețelei circulare cu ajutorul relațiilor (2.10), (2.11) și (2.13) pentru rețeaua de turbină, respectiv (2.26), (2.29) și (2.13) pentru rețeaua de pompă.

2.2. Prezentarea metodei analitice utilizate pentru calculul caracteristicilor hidrodinamice ale rețelei.

Problema mișcării aduse în planul rețelei rectilinii este rezolvabilă prin oricare dintre metodele bine stabilite pentru acest tip de rețea. S-a ales metoda ecuațiilor integrale singulare, elaborată de Acad. I. Anton și Prof. dr. ing. O. Popa în lucrările /A.10/, /P.3/, /P.4/, la care efectul profilului în rețea este înlocuit prin repartiții de surse-absorbții și vîrtejuri de-a lungul scheletului profilului, funcțiile lor de distribuție stabilindu-se în prima fază a calculului. În a doua fază se determină distribuția de viteză pe conturul profilului rețelei. Metoda analitică este competată cu o metodă numerică care face posibilă integrarea sistemelor de ecuații integrale de tip Fredholm de speța II-a ce rezultă din calculul analitic. Această metodă numerică, rezolvă problema în etape și se pretează la programare în limbaj FORTRAN.

Considerăm o rețea de profile de formă oarecare, avînd pasul t și unghiul de instalare λ . Fie C conturul profilului și L coarda lui, suprapusă peste axa Ox (fig. 2.3). Domeniul exterior rețelei de profile se notează cu D^- , iar domeniul interior profilului de contur C cu D^+ . Sensul pozitiv de parcurs al conturului este cel care lasă domeniul interior la stînga.

Mișcarea în prezența rețelei de profile este potențială prin ipoteză, plană și periodică prin configurația geometrică a rețelei. Funcția de viteză, derivată a potențialului complex al mișcării este o funcție omonormă și periodică și poate fi definită în orice punct aparținînd domeniului exterior D^- prin formula integrală Cauchy:

$$W(Z) = \frac{1}{2\pi i} \int \frac{W(\zeta)}{\zeta - Z} d\zeta \quad (2.33)$$

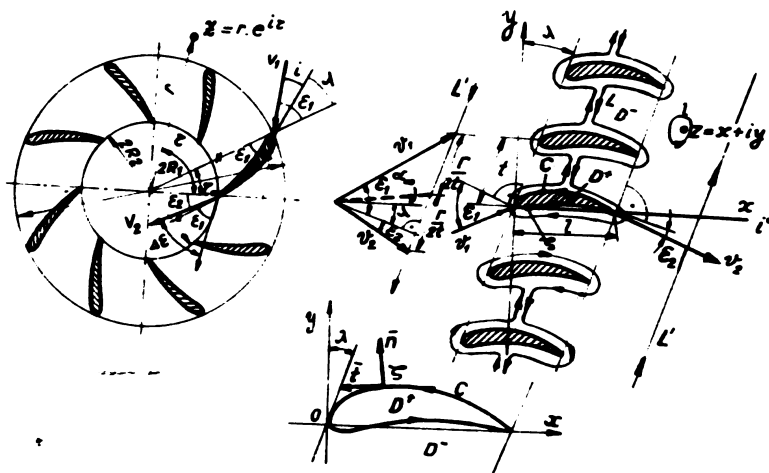


Fig. 2.3

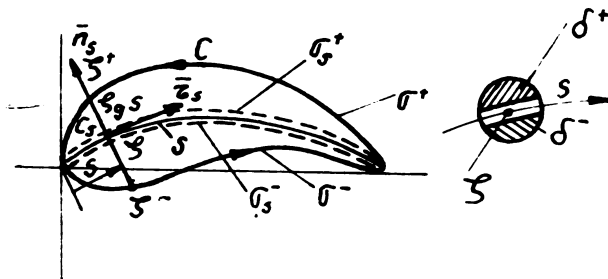


Fig. 2.4.

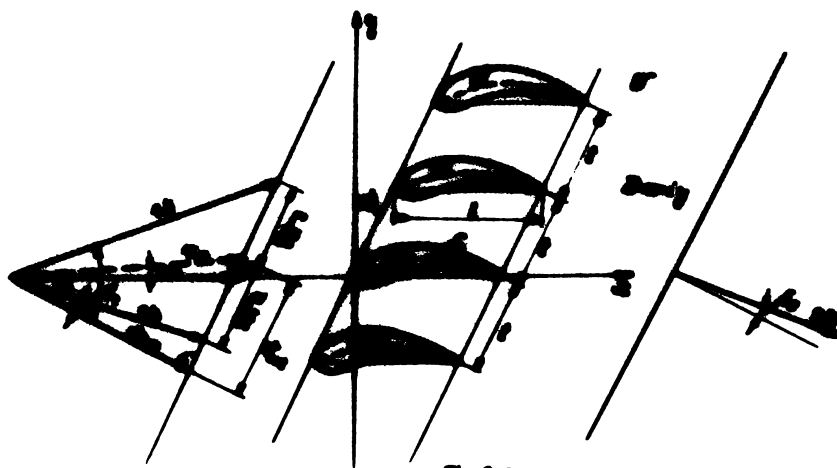


Fig. 2.5

unde $\zeta \in \ell$ este variabila de integrare iar Γ este un contur arbitrar închis în domeniul D^+ .

Prin deformare succesivă conturul Γ se va transforma în L și C_n iar integrala va lua forma:

$$W(Z) = \frac{1}{2\pi i} \int_L \frac{W(\zeta)}{\zeta - Z} d\zeta + \sum_{n=-\infty}^{+\infty} \frac{1}{2\pi i} \oint_{C_n} \frac{W(\zeta_n)}{\zeta_n - Z} d\zeta_n$$

sau ținând cont de sensul pozitiv de integrare:

$$W(Z) = \frac{1}{2\pi i} \int_L \frac{W(\zeta)}{\zeta - Z} d\zeta - \sum_{n=-\infty}^{+\infty} \frac{1}{2\pi i} \oint_{C_n} \frac{W(\zeta_n)}{\zeta_n - Z} d\zeta_n \quad (2.34)$$

Funcția de viteze fiind periodică satisface relațiile:

$$W(Z) = W(Z + te^{i(\frac{\pi}{2} - \lambda)})$$

$$W(\zeta_n) = W(\zeta) \quad \text{pentru} \quad \zeta_n = \zeta + nte^{i(\frac{\pi}{2} - \lambda)}$$

deci

$$\sum_{n=-\infty}^{+\infty} \frac{1}{2\pi i} \oint_{C_n} \frac{W(\zeta_n) d\zeta_n}{\zeta_n - Z} = \sum_{n=-\infty}^{+\infty} \frac{1}{2\pi i} \int_C \frac{W(\zeta)}{\zeta - Z + nte^{i(\frac{\pi}{2} - \lambda)}} d\zeta$$

seria integralelor fiind convergentă, se poate scrie:

$$\sum_{n=-\infty}^{+\infty} \frac{1}{2\pi i} \int_C \frac{W(\zeta)}{\zeta - Z + nte^{-i\lambda}} d\zeta = \frac{1}{2\pi i} \int_C W(\zeta) \left(\sum_{n=-\infty}^{+\infty} \frac{1}{\zeta - Z + nte^{-i\lambda}} \right) d\zeta$$

seria din paranteză reprezintă dezvoltarea cotangentă hiperbolice:

$$\sum_{n=-\infty}^{+\infty} \frac{1}{\zeta - Z + nte^{-i\lambda}} = \frac{\pi}{t} e^{i\lambda} \operatorname{cth} \left[\frac{\pi}{t} e^{i\lambda} (\zeta - Z) \right] \quad (2.35)$$

Prin (2.35) și (2.34) obținem:

$$W(Z) = \frac{1}{2\pi i} \int_L \frac{W(\zeta)}{\zeta - Z} d\zeta - \frac{1}{2\pi i} \int_C W(\zeta) \left\{ \frac{\pi}{t} e^{i\lambda} \operatorname{cth} \left[\frac{\pi}{t} e^{i\lambda} (\zeta - Z) \right] \right\} d\zeta \quad (2.36)$$

Prin (2.36) și relația (2.35) se poate scrie integrala de pe dreapta în funcție de integrala de pe stânga și invers. Astfel, dacă Γ este un contur închis în domeniul D^+ , atunci integrala de pe stânga este egală cu integrala de pe dreapta plus o constantă care depinde de valoarea lui λ . Notând $\zeta - Z = te^{i\varphi}$, avem:

$$\frac{1}{2\pi i} \int_L \frac{W(\zeta)}{\zeta - Z} d\zeta = \frac{1}{2\pi i} \int_{-\pi}^{+\pi} \frac{W(te^{i\varphi})}{te^{i\varphi}} i Re^{i\varphi} d\varphi = \frac{1}{2\pi i} \int_{-\pi}^{+\pi} W(\zeta) i d\varphi = W_0 \quad (2.37)$$

nuoului celui de a doua integral din (2.36) se notează

$$\frac{\pi}{t} e^{i\lambda} \operatorname{th} \left[\frac{\pi}{t} e^{i\lambda} (\zeta - Z) \right] = K(\zeta, Z; t, \lambda) \quad (2.38)$$

$K(\zeta, Z; t, \lambda)$ este o funcție meromorfă, cu o infinitate de poli simpli și avind următoarele proprietăți:

$$\lim_{x \rightarrow +\infty} K(\zeta, Z; t, \lambda) = \frac{\pi}{t} e^{i\lambda} \quad (2.39)$$

$$\frac{1}{2\pi i} \int_C K(\zeta, Z; t, \lambda) d\zeta = \begin{cases} 1 & , Z \in D^+ \\ \frac{1}{2} & , Z = \zeta_0 \in C \\ 0 & , Z \in D^- \end{cases} \quad (2.40)$$

Ținând cont de cele stabilite prin (2.37) și (2.38) viteza complexă într-un punct aparținind domeniului D^- se poate scrie:

$$W(Z) = W_\infty - \frac{1}{2\pi i} \int_C W(\zeta) K(\zeta, Z; t, \lambda) d\zeta \quad (2.41)$$

Pentru determinarea limitei de contur, relația (2.41) se mai poate scrie sub forma:

$$W(Z) = W_\infty - \frac{1}{2\pi i} \int_C K(\zeta, Z; t, \lambda) [W(\zeta) - W(\zeta_0)] d\zeta - \frac{W(\zeta_0)}{2\pi i} \int_C K(\zeta, Z; t, \lambda) d\zeta \quad (2.42)$$

Atât timp cât este verificată condiția Hölder

$$|W(\zeta) - W(\zeta_0)| \leq A |\zeta - \zeta_0|^\mu \quad (2.43)$$

unde A este o constantă arbitrară iar exponentul μ satisface condiția $0 \leq \mu \leq 1$, există și limita funcției (2.41) în sensul valorii ei principale. Limitele laterale ale funcției $W(Z)$ se notează:

$$\lim_{\substack{Z \rightarrow \zeta_0 \in C \\ Z \in D^+}} W(Z) = W^+(\zeta_0) \text{ limita la dreapta și } \lim_{\substack{Z \rightarrow \zeta_0 \in C \\ Z \in D^-}} W(Z) = W^-(\zeta_0) \text{ limita la stînga}$$

Aplicând trecerea la limită relației (2.42) și folosind relațiile (2.40) limitele la stînga și la dreapta ale funcției de viteză de-a lungul conturului C , vor avea expresia:

$$W^+(\zeta_0) = W_\infty - \frac{1}{2\pi i} \int_C K(\zeta, \zeta_0; t, \lambda) [W(\zeta) - W(\zeta_0)] d\zeta - W(\zeta_0) \quad (2.44)$$

$$W^-(\zeta_0) = W_\infty - \frac{1}{2\pi i} \int_C K(\zeta, \zeta_0; t, \lambda) [W(\zeta) - W(\zeta_0)] d\zeta \quad (2.45)$$

Apelînd din nou la formulele (2.40), limitele (2.44) și (2.45) se pot pune sub o formă asemănătoare formulelor lui Flemelj:

$$W^+(\zeta_0) = W_\infty - \frac{1}{2} W(\zeta_0) - \frac{1}{2\pi i} \int_c K(\zeta, \zeta_0; t, \lambda) W(\zeta) d\zeta \quad (2.46)$$

$$W^-(\zeta_0) = W_\infty + \frac{1}{2} W(\zeta_0) - \frac{1}{2\pi i} \int_c K(\zeta, \zeta_0; t, \lambda) W(\zeta) d\zeta \quad (2.47)$$

Sumând și scăzând cele două limite laterale se obțin următoarele ecuații funcționale:

$$W^+(\zeta_0) + W^-(\zeta_0) = 2W_\infty + \frac{1}{\pi i} \int_c K(\zeta, \zeta_0; t, \lambda) W(\zeta) d\zeta \quad (2.48)$$

$$W^+(\zeta_0) - W^-(\zeta_0) = -W(\zeta_0) \quad (2.49)$$

Intrucît pentru $Z \in D^+$, $W(Z) = 0$, limita la stînga respectă aceeași relație, deci $W^+(\zeta_0) = 0$. Din (2.49) rezultă că avem:

$$W^-(\zeta_0) = W(\zeta_0) \quad (2.50)$$

Prin înlocuirea acestui rezultat în (2.47) se obține:

$$W(\zeta_0) = 2W_\infty - \frac{1}{\pi i} \int_c K(\zeta, \zeta_0; t, \lambda) W(\zeta) d\zeta \quad (2.51)$$

integrala de tip Cauchy a cîmpului de viteze $W(\zeta_0)$ pe conturul profilului, integrală ce se consideră în sensul valorii ei principale. Din relația (2.41) și (2.39) se pot determina vitezele asimptotice $W_1 = \lim_{x \rightarrow -\infty} W(Z)$ în amontele rețelei și $W_2 = \lim_{x \rightarrow +\infty} W(Z)$ în avalul rețelei.

Circulația în jurul profilului este prin definiție

$$\Gamma = - \int_c W(\zeta) d\zeta \quad (2.52)$$

și deci cele două limite ale funcției de viteze devin:

$$W_1 = W_\infty + \frac{\Gamma}{2t} e^{-i(\frac{\pi}{2} - \lambda)} \quad (2.53)$$

$$W_2 = W_\infty - \frac{\Gamma}{2t} e^{-i(\frac{\pi}{2} - \lambda)} \quad (2.54)$$

care sînt constante complexe. Din sumarea lor rezultă expresia constantei complexe din ecuația (2.41)

$$W_\infty = \frac{1}{2} (W_1 + W_2) \quad (2.55)$$

Prin definiție, viteza indusă sau viteza de perturbație are expresia

$$w(Z) = W(Z) - W_\infty \quad (2.56)$$

Din relațiile (2.41) și (2.40) rezultă, pe baza relației de definiție, formula integrală a vitezelor induse:

$$w(Z) = - \frac{1}{2\pi i} \int_c K(\zeta, Z; t, \lambda) w(\zeta) d\zeta \quad (2.57)$$

unde nucleul $K(\zeta, Z; t, \lambda)$ are expresia (2.38):

În scopul soluționării cîmpului de viteze s-a recurs la prelungirea analitică a funcției vitezelor induse în interiorul

conturului C pînă la schelet. Se obține astfel o nouă funcție a vitezelor induse notată prin $w_s(Z)$ definită în domeniul D_s^- (anterior rețelei formate din schelletele profilurilor de contur C) și coincidind cu $w(Z)$ pe intersecția domeniilor D^- și D_s^- . Scheletul S al profilului separă conturul C în două arce deschise σ^+ și σ^- . Notînd ζ^+ punctul curent aparținînd arcului σ^+ și ζ^- punctul curent aparținînd arcului σ^- (fig. 2.4) formula integrală (2.57) devine:

$$w(Z) = -\frac{1}{2\pi i} \int_{\sigma^+} K(\zeta^+, Z; t, \lambda) w(\zeta^+) d\zeta^+ - \frac{1}{2\pi i} \int_{\sigma^-} K(\zeta^-, Z; t, \lambda) w(\zeta^-) d\zeta^- \quad (2.58)$$

Punctele ζ^\pm se pot defini cu ajutorul punctelor l conștințurilor de pe schelet și a funcției de grosime respective prin relația:

$$\zeta^\pm = \zeta \pm \zeta_g \quad (2.59)$$

Cu schimbarea de variabilă (2.59), formula (2.58) devine:

$$w_s(Z) = -\frac{1}{2\pi i} \int_0^l \left\{ K^+(\zeta, Z; t, \lambda) w^+(\zeta) \frac{d\zeta^+}{d\zeta} + K^-(\zeta, Z; t, \lambda) w^-(\zeta) \frac{d\zeta^-}{d\zeta} \right\} d\zeta \quad (2.60)$$

unde s-a notat

$$\begin{aligned} w(\zeta^\pm) &= w^\pm(\zeta) \\ K(\zeta^\pm, Z; t, \lambda) &= K^\pm(\zeta, Z; t, \lambda) \\ d\zeta^\pm &= \frac{d\zeta^\pm}{d\zeta} d\zeta \end{aligned}$$

Explicitînd nucleele $K(\zeta^\pm, Z; t, \lambda)$, dezvoltînd în serie funcția cotangentă hiperbolică și dezvoltînd apoi în serie geometrică în raport cu ζ_g se obține:

$$K^\pm(\zeta, Z; t, \lambda) = K_s(\zeta, Z; t, \lambda) + K_{g_1}(\zeta, Z; t, \lambda) \mp K_{g_2}(\zeta, Z; t, \lambda) \quad (2.61)$$

unde

$$\begin{aligned} K_s(\zeta, Z; t, \lambda) &= \sum_{n=-\infty}^{+\infty} \frac{1}{\zeta - Z + i n t e^{-\lambda}} = \frac{\pi}{t} e^{i\lambda} \operatorname{cth} \left[\frac{\pi}{t} e^{i\lambda} (\zeta - Z) \right] \\ K_{g_1}(\zeta, Z; t, \lambda) &= \sum_{n=-\infty}^{+\infty} \sum_{j=0}^{+\infty} \frac{\zeta_g^{2j}}{(\zeta - Z + i n t e^{-\lambda})^{2j+1}} \\ K_{g_2}(\zeta, Z; t, \lambda) &= \sum_{n=-\infty}^{+\infty} \sum_{j=1}^{+\infty} \frac{\zeta_g^{2j-1}}{(\zeta - Z + i n t e^{-\lambda})^{2j}} \end{aligned}$$

Ecuția (2.60) în care se înlocuiește (2.61) a nucleului devine:

$$\begin{aligned} w_s(Z) &= -\frac{1}{2\pi i} \int_0^l \left[K_s(\zeta, Z; t, \lambda) + K_{g_1}(\zeta, Z; t, \lambda) - K_{g_2}(\zeta, Z; t, \lambda) \right] w^+(\zeta) \frac{d\zeta^+}{d\zeta} d\zeta - \\ &\quad - \frac{1}{2\pi i} \int_0^l \left[K_s(\zeta, Z; t, \lambda) + K_{g_1}(\zeta, Z; t, \lambda) + K_{g_2}(\zeta, Z; t, \lambda) \right] w^-(\zeta) \frac{d\zeta^-}{d\zeta} d\zeta \end{aligned}$$

După ordonare relația ia forma:

$$w_s(Z) = -\frac{1}{2\pi i} \int_0^t K_s(\zeta, Z; t, \lambda) S(\zeta) d\zeta - \frac{1}{2\pi i} \int_0^t K_{g_1}(\zeta, Z; t, \lambda) S(\zeta) d\zeta + \frac{1}{2\pi i} \int_0^t K_{g_2}(\zeta, Z; t, \lambda) D(\zeta) d\zeta \quad (2.62)$$

unde s-a notat:

$$S(\zeta) = w^+(\zeta) \frac{d\zeta^+}{d\zeta} + w^-(\zeta) \frac{d\zeta^-}{d\zeta} \quad (2.63)$$

$$D(\zeta) = w^+(\zeta) \frac{d\zeta^+}{d\zeta} - w^-(\zeta) \frac{d\zeta^-}{d\zeta} \quad (2.64)$$

Conform celor demonstrate în /P.3/ se poate aduce integrala (2.62) în forma unei integrale de tip Cauchy avînd nucleul

$K_s(\zeta, Z; t, \lambda)$ a cărei densitate notată $F(\zeta)$ are expresia:

$$F(\zeta) = S(\zeta) + \sum_{n=1}^{\infty} \frac{1}{2n!} \frac{d^{2n}}{d\zeta^{2n}} [S(\zeta) \zeta_g^{2n}] - \sum_{n=1}^{\infty} \frac{1}{(2n-1)!} \frac{d^{2n-1}}{d\zeta^{2n-1}} [D(\zeta) \zeta_g^{2n-1}] \quad (2.65)$$

Astfel

$$w_s(Z) = -\frac{1}{2\pi i} \int_0^t K_s(\zeta, Z; t, \lambda) F(\zeta) d\zeta \quad (2.66)$$

Funcția de viteze $w_s(Z)$ exprimată în (2.66) reprezintă prelungirea analitică a funcției de viteze $w(Z)$ definită în domeniul D^+ , în interiorul domeniilor D_n^+ ($n = 0, \pm 1, \pm 2, \dots$) pînă în dreptul mulțimii scheletelor S_n ($n = 0, \pm 1, \pm 2, \dots$)

Pentru calculul limitei ei pe schelet se notează linițele laterale $w_s^+(\zeta_0) = \lim_{\substack{Z \rightarrow \zeta_0 \\ Z \in d^+}} w_s(Z)$ limita la dreapta și $w_s^-(\zeta_0) = \lim_{\substack{Z \rightarrow \zeta_0 \\ Z \in d^-}} w_s(Z)$ limita la stînga, d^+ și d^- fiind vecinătatea stîngă respectiv dreaptă a scheletului. (Fig. 2.4)

Aplicînd formulele lui Poincaré pentru determinarea linițelor laterale obținem:

$$w_s^+(\zeta_0) = \mp \frac{1}{2} F(\zeta_0) - \frac{1}{2\pi i} \int_0^t K_s(\zeta, \zeta_0; t, \lambda) F(\zeta) d\zeta \quad (2.67)$$

și de aici ecuațiile funcționale:

$$w_s^+(\zeta_0) + w_s^-(\zeta_0) = 2 w_s(\zeta_0) \quad (2.68)$$

$$w_s^+(\zeta_0) - w_s^-(\zeta_0) = -F(\zeta_0) \quad (2.69)$$

unde s-a notat

$$w_s(\zeta_0) = -\frac{1}{2\pi i} \int_0^t K_s(\zeta, \zeta_0, t, \lambda) F(\zeta) d\zeta \quad (2.70)$$

Circulația în jurul profilului dispus în rețea este prin definiție :

$$\Gamma = - \int_C W(\zeta) d\zeta = - \int_C [w(\zeta) + W_\infty] d\zeta = - \int_C w(\zeta) d\zeta \quad (2.71)$$

Notând cu C_s conturul corespunzător vînturii după scheletul S , contururile C_s și C sînt reductibile, deci:

$$\Gamma = - \int_C w(\zeta) d\zeta = - \int_C w_s(\zeta) d\zeta = - \int_{C_s} w_s(\zeta) d\zeta$$

sau

$$\Gamma = - \int_{\sigma^+} w_s(\zeta) d\zeta - \int_{\sigma^-} w_s(\zeta) d\zeta = \int_0^{\ell} [w_s^+(\zeta) - w_s^-(\zeta)] d\zeta$$

unde s-a luat contul de sens pozitiv de parcurs al celor două arce σ^+ și σ^- . Conform relației (2.69), avem:

$$\Gamma = - \int_C F(\zeta) d\zeta \quad (2.72)$$

Rezultă de aici, că circulația totală în jurul profilului C se obține din integrarea în lungul scheletului a densității $F(\zeta)$. Densitatea $F(\zeta)$ este conform /P.5/ o funcție continuă, deci și circulația va reprezenta suma unei distribuții continue de vîntajuri în lungul scheletului S . $F(\zeta)$ este însă o funcție complexă de variabilă complexă ζ , deci în expresia ei trebuie să intervină și un termen imaginar - distribuția de surse și absorții, a cărei integrală de-a lungul scheletului trebuie însă să fie nulă (deoarece rezultatul integrării este conform relației (2.72) o constantă reală Γ). În lucrarea /P.5/ 0.50p se discutază prin procedeul de trecere la limita a circulației de-a lungul unui tronson de profil de contur ΔC raportate la elementul de segment dublu corespunzător arcului ΔC - alături de tronsonul de profil de-a lungul scheletului S și pe baza ecuației funcționale (2.69), că:

$$-\gamma(\zeta) + iq(\zeta) = F(\zeta) e^{i\theta} \quad (2.73)$$

În rezultatul demonstrației exprimat în (2.73) se observă că proiecția densității $F(\zeta)$ după tangenta la scheletul S este -tranzitivă și negativă reprezentînd intensitatea distribuției de vîntajuri $\gamma(\zeta)$ luată cu semn contrar, iar proiecția densității $F(\zeta)$ după normala la schelet în punctul respectiv, reprezintă intensitatea distribuției de surse, $q(\zeta)$, luată tot cu semn opus.

În final scara de (2.72), obținem:

$$\int_0^{\ell} [\gamma(\zeta) - iq(\zeta)] e^{-i\theta} d\zeta = \Gamma \quad (2.74)$$

sau

$$\int_0^{\ell} \gamma(s) ds = \Gamma \quad (2.75)$$

$$\int_0^{\ell} q(s) ds = 0 \quad (2.76)$$

Deoarece $\gamma(\zeta)$ și $q(\zeta)$ reprezintă componentele tangențiale și normale la scheletul S ale densității $F(\zeta)$, rezultă în

conformitate cu (2.69) că distribuția de vitezuri realizează discontinuitatea componentelor tangențiale ale câmpului vitezelor induse de-a lungul scheletului S , iar distribuția de surse realizează discontinuitatea componentelor normale.

Înlocuind (2.75) în (2.66), expresia vitezei induse $w_s(Z)$ devine:

$$w_s(Z) = \frac{1}{2\pi i} \int_0^l K(\zeta, Z; t, \lambda) [\gamma(\zeta) - iq(\zeta)] e^{i\theta} d\zeta \quad (2.77)$$

iar media vitezelor induse pe extradadosul și intradosul scheletului, din (2.76):

$$w_s(\zeta_0) = \frac{1}{2\pi i} \int_0^l K(\zeta, \zeta_0; t, \lambda) [\gamma(\zeta) - iq(\zeta)] e^{i\theta} d\zeta \quad (2.78)$$

Înlocuind în (2.67) densitatea prin expresia (2.75) și descompunând vitezele induse pe schelet în componente normale și tangențiale:

$$w_s^\pm(\zeta_0) e^{i\theta_0} = v_{st}^\pm(\zeta_0) - i v_{sn}^\pm(\zeta_0) \quad (2.79)$$

$$w_s(\zeta_0) e^{i\theta_0} = v_{st}(\zeta_0) - i v_{sn}(\zeta_0) \quad (2.80)$$

se obțin componentele normale și tangențiale ale limitelor laterale ale vitezei induse pe schelet:

$$v_{st}^\pm(\zeta_0) = \pm \frac{1}{2} \gamma(\zeta_0) + v_{st}(\zeta_0) \quad (2.81)$$

$$v_{sn}^\pm(\zeta_0) = \pm \frac{1}{2} q(\zeta_0) + v_{sn}(\zeta_0) \quad (2.82)$$

Dacă în expresia mediei vitezei induse $w_s(\zeta_0)$ se operează descompunerea (2.80) și se descompune și nucleul $K(\zeta, \zeta_0; t, \lambda)$

$$K(\zeta, \zeta_0; t, \lambda) e^{i\theta_0} = K_t(s, s_0; t, \lambda) - i K_n(s, s_0; t, \lambda) \quad (2.83)$$

unde s, s_0 sînt abscisele curbilini ale scheletului corespunzătoare punctelor ζ, ζ_0 , se obțin componentele tangențiale și normale ale mediei vitezei induse în lungul scheletului, sub forma unor ecuații integrale de tip Fredholm de speța I-a:

$$v_{st}(s_0) = - \frac{1}{2\pi} \int_{s_0}^s [\gamma(s) K_n(s, s_0; t, \lambda) + q(s) K_t(s, s_0; t, \lambda)] ds \quad (2.84)$$

$$v_{sn}(s_0) = \frac{1}{2\pi} \int_s^{s_0} [\gamma(s) K_t(s, s_0; t, \lambda) - q(s) K_n(s, s_0; t, \lambda)] ds \quad (2.85)$$

Introducînd condiția la limită pe conturul C impune ca componenta normală a vitezei totale să se anuleze

$$\int_m \left\{ [w^\pm(\zeta) + V_\infty e^{-i\alpha_\infty}] e^{-i\theta^\pm} \right\} =$$

rezultă posibilitatea exprimării componentei normale v_{sn} sub forma



$$\frac{v_{sn}(s_0)}{V_\infty} = v_{sn}^0(s_0) \cos \alpha_\infty + v_{s,1}^1(s_0) \sin \alpha_\infty \quad (2.87)$$

rezultă din (2.85) și (2.37) că și funcțiile $\gamma(x)$ și $q(x)$ trebuie să admită descompuneri de forma:

$$\frac{\gamma(s)}{V_\infty} \frac{ds}{dx} = \gamma^0(x) \cos \alpha_\infty + \gamma^1(x) \sin \alpha_\infty \quad (2.88)$$

$$\frac{q(s)}{V_\infty} \frac{ds}{dx} = q^0(x) \cos \alpha_\infty + q^1(x) \sin \alpha_\infty \quad (2.89)$$

Cu aceste descompuneri din ecuația integrală (2.84), rezultă:

$$\frac{v_{st}^k(s)}{V_\infty} = v_{st}^0(s) \cos \alpha_\infty + v_{st}^1(s) \sin \alpha_\infty \quad (2.90)$$

Pe baza acestor descompuneri ecuațiile integrale (2.84) și (2.85) se descompun într-un sistem de patru ecuații integrale:

$$v_{st}^k(x_0) = -\frac{1}{2\pi} \int_0^l \left[\gamma^k(x) K_n^k(x, x_0; t, \lambda) + q^k(x) K_t^k(x, x_0; t, \lambda) \right] dx \quad (2.91)$$

$$v_{sn}^k(x_0) = \frac{1}{2\pi} \int_0^l \left[\gamma^k(x) K_t^k(x, x_0; t, \lambda) + q^k(x) K_n^k(x, x_0; t, \lambda) \right] dx \quad (2.92)$$

Determinarea cîmpului de viteze pe conturul profilului impune determinarea a încă două ecuații integrale, care împreună cu ecuațiile (2.92) să constituie la două sisteme de ecuații de tip Fredholm de speța I-a cu cîte două funcții necunoscute. În acest scop trebuie admise următoarele ipoteze simplificatoare :

- Se acceptă dezvoltarea densității limitată la primii doi termeni:

$$F(\zeta) \cong S(\zeta) - \frac{d}{d\zeta} [D(\zeta) \zeta_g(\zeta)] \quad (2.93)$$

- Cel de-al doilea termen al relației (2.93) se limitează la :

$$\frac{d}{d\zeta} [D(\zeta) \zeta_g(\zeta)] = e^{-i\theta} \frac{d}{ds} [D(\zeta) i y_g e^{i\theta}] \cong i D(\zeta) \frac{dy_g}{ds} \quad (2.94)$$

ceace face ca relația (2.93) să se poată scrie sub forma:

$$e^{-i\theta} [\gamma(\zeta) - i q(\zeta)] = -S(\zeta) + i D(\zeta) \frac{dy_g}{ds} \quad (2.95)$$

- În a treia aproximație se acceptă că media vitezelor induse satisface relația :

$$2w_s(\zeta) = -D(\zeta) \quad (2.96)$$

Această aproximație se bazează pe următoarele considerații: din relația (2.64)

$$D(\zeta) = w^+(\zeta) \frac{d\zeta^+}{d\zeta} - w^-(\zeta) \frac{d\zeta^-}{d\zeta} \quad (2.64)$$

(într) conform convenției făcute pentru semnalele pe parcurs se

poate accepta că : $\frac{d\zeta^+}{d\zeta} \cong -1$ și $\frac{d\zeta^-}{d\zeta} \cong 1$

Relația (2.64) devine:

$$D(\zeta) = -w^+(\zeta) - w^-(\zeta)$$

și ținând cont de (2.68) rezultă (2.96)

Din (2.95) și (2.96) rezultă următoarele egalități:

$$S(\zeta) \mp D(\zeta) = -e^{i\theta} [\gamma(\zeta) - i q(\zeta)] - 2 w_{\pm}^{\pm}(\zeta) \left[\pm 1 + i \frac{dy_3}{ds} \right] \quad (2.97)$$

Efectuând sumările din membrul întâi se obține:

$$2 w^{\pm}(\zeta) \frac{d\zeta^{\pm}}{d\zeta} = -e^{i\theta} [\gamma(\zeta) - i q(\zeta)] - 2 w_{\pm}^{\pm}(\zeta) \left[\pm 1 + i \frac{dy_3}{ds} \right]$$

și descompunând vitezele în componentele lor tangențiale și normale se obține în urma separării părților reale și imaginare:

$$v_t^{\pm} \frac{d\sigma^{\pm}}{ds} = - \left(\frac{\gamma}{2} + v_{sn}^{\pm} \frac{dy_3}{ds} \right) \mp v_{st}^{\pm} \quad (2.98)$$

$$v_n^{\pm} \frac{d\sigma^{\pm}}{ds} = - \left(\frac{q}{2} - v_{st}^{\pm} \frac{dy_3}{ds} \right) \pm v_{sn}^{\pm} \quad (2.99)$$

Din (2.98) rezultă relația de conversie a vitezelor de pe schelet pe conturi:

$$v_t^{\pm} = \frac{\mp v_{st}^{\pm} - \left(\frac{\gamma}{2} + v_{sn}^{\pm} \frac{dy_3}{ds} \right)}{\frac{d\sigma^{\pm}}{ds}} \quad (2.100)$$

Relația (2.99) definește distribuția de surse pe schelet:

$$q = \left(v_n^+ \frac{d\sigma^+}{ds} + v_n^- \frac{d\sigma^-}{ds} \right) + 2 v_{st}^{\pm} \frac{dy_3}{ds} \quad (2.101)$$

Nucleul $K(\zeta, \zeta_0; t, \lambda)$ a cărui expresie intră în ecuațiile integrale (2.91) și (2.92) este singular în punctul de afixă $\zeta = \zeta_0$, dar poate fi descompus sub forma unor funcții continue din care s-a izolat singularitatea:

$$K_t(\zeta, \zeta_0; t, \lambda) - i K_n(\zeta, \zeta_0; t, \lambda) = \frac{\cos \theta_0}{x - x_0} + H_0(\zeta, \zeta_0) + H_1(\zeta, \zeta_0; t, \lambda) \quad (2.102)$$

Se demonstrează în /A.10/ că cele două funcții $H_0(\zeta, \zeta_0)$, $H_1(\zeta, \zeta_0; t, \lambda)$ sînt continue și finite pentru $x \rightarrow x_0$, separîndu-le în parte reală și imaginară relația (2.102) conduce la :

$$K_t(x, x_0; t, \lambda) = \frac{\cos \theta_0}{x - x_0} + H_t(x, x_0; t, \lambda) \quad (2.103)$$

$$K_n(x, x_0; t, \lambda) = H_n(x, x_0; t, \lambda) \quad (2.104)$$

Funcțiile de distribuție a singularităților $\gamma(\zeta)$ și $q(\zeta)$ se determină pe baza ecuațiilor integrale (2.91) și (2.92), a ecuației de definiție a distribuției de surse pe schelet ținînd cont de descompunerile (2.97), (2.98) și de condiția la limită a vitezei pe conturi:

$$\sum_m \left\{ \left[w^{\pm}(\zeta) + \sqrt{v_{\infty}^{\pm}} e^{-i\alpha_{\infty}^{\pm}} \right] e^{i\theta^{\pm}} \right\} = 0 \quad (2.105)$$

de unde rezultă în urma descompunerii în componentă normală și tangențială expresia componentei normale a vitezei induse:

$$v_n^{\pm} = \sqrt{v_{\infty}^{\pm}} \left[\cos \theta^{\pm} \sin \alpha_{\infty}^{\pm} - \sin \theta^{\pm} \cos \alpha_{\infty}^{\pm} \right] \quad (2.106)$$

Înlocuind (2.106) în (2.101) obținem:

$$\frac{q'}{V_\infty} = \left[(\cos\theta^+ \sin\alpha_\infty - \sin\theta^+ \cos\alpha_\infty) \frac{d\theta^+}{ds} + (\cos\theta^- \sin\alpha_\infty - \sin\theta^- \cos\alpha_\infty) \frac{d\theta^-}{ds} \right] + 2 \frac{v_{st}}{V_\infty} \frac{dy_g}{ds}$$

sau

$$\frac{q}{V_\infty} \frac{dy}{dx} = (\sin\theta^+ \frac{d\theta^+}{dx} + \sin\theta^- \frac{d\theta^-}{dx}) \cos\alpha_\infty + (\cos\theta^+ \frac{d\theta^+}{dx} + \cos\theta^- \frac{d\theta^-}{dx}) \sin\alpha_\infty + 2 \frac{v_{st}}{V_\infty} \frac{dy_g}{dx}$$

Cu urmărirea:

$$f_{sn}^0(x) = -(\sin\theta^+ \frac{d\theta^+}{dx} + \sin\theta^- \frac{d\theta^-}{dx}) \quad (2.107)$$

$$f_{sn}^1(x) = (\cos\theta^+ \frac{d\theta^+}{dx} + \cos\theta^- \frac{d\theta^-}{dx}) \quad (2.108)$$

Printr-un schimb în (2.107) și (2.108) se obține:

$$\frac{k}{q} - 2 \frac{dy_g}{dx} \frac{k}{v_{st}} = f_{sn}^k \quad k=0,1 \quad (2.109)$$

Dacă în (2.109) se înlocuiește v_{st} din (2.91) în care s-au operat deosebiri (2.103) și (2.104) se obține:

$$\frac{k}{q} + 2 \frac{dy_g}{dx} \frac{1}{2\pi} \int_0^l (\delta H_n + q H_t) dx + 2 \frac{\cos\theta_0}{2\pi} \frac{dy_g}{dx} \int_0^l \frac{q}{x-x_0} dx = f_{sn}^k \quad k=0,1 \quad (2.110)$$

Operațiunile de descompuneri (2.103), (2.104) în (2.110) se obține:

$$\frac{1}{2\pi} \int_0^l (\delta H_t - q H_n) dx + \frac{\cos\theta_0}{2\pi} \int_0^l \frac{\delta}{x-x_0} dx = v_{sn}^k \quad k=0,1 \quad (2.111)$$

Pentru determinarea componentelor v_{sn}^k se revine la (2.96) care se descompune în componentele tangențiale și normale:

$$v_{st} - i v_{sn} = -\frac{1}{2} \left[(v_t^+ + i v_n^+) \frac{d\theta^+}{ds} - (v_t^- + i v_n^-) \frac{d\theta^-}{ds} \right]$$

de unde rezultă prin separarea părților reale și imaginare:

$$v_{st} = -\frac{1}{2} \left(v_t^+ \frac{d\theta^+}{ds} - v_t^- \frac{d\theta^-}{ds} \right) \quad (2.112)$$

$$v_{sn} = \frac{1}{2} \left(v_n^+ \frac{d\theta^+}{ds} - v_n^- \frac{d\theta^-}{ds} \right) \quad (2.113)$$

Înlocuind pe v_n^\pm din (2.105) rezultă din (2.113)

$$\frac{v_{sn}}{V_\infty} = \frac{1}{2} \left[(\cos\theta^+ \sin\alpha_\infty - \sin\theta^+ \cos\alpha_\infty) \frac{d\theta^+}{ds} - (\cos\theta^- \sin\alpha_\infty - \sin\theta^- \cos\alpha_\infty) \frac{d\theta^-}{ds} \right]$$

de unde rezultă totodată descompunerea arătată în (2.37)

$$\frac{v_{sn}}{V_\infty} = v_{sn}^0 \cos\alpha_\infty + v_{sn}^1 \sin\alpha_\infty \quad (2.114)$$

unde

$$v_{sn}^0 = -\frac{1}{2} \left[\sin\theta^+ \frac{d\theta^+}{ds} - \sin\theta^- \frac{d\theta^-}{ds} \right] \quad (2.115)$$

$$v_{sn}^1 = \frac{1}{2} \left[\cos\theta^+ \frac{d\theta^+}{ds} - \cos\theta^- \frac{d\theta^-}{ds} \right] \quad (2.116)$$

Cu această precizare, sistemul de ecuații integrale (2.110) și (2.111) este determinat și permite calcularea funcțiilor $\delta(x)$ și $q(x)$

Viteza indusă pe scheletul profilului v_{st}^k rezultă din ecuația (2.91) în care se operează substituțiile (2.105), (2.104) și în care din rezolvarea sistemului (2.110) și (2.111) se cunosc $\gamma^k(x)$ și $q^k(x)$:

$$v_{st}^k(x_0) = -\frac{1}{2\pi} \int_0^l (\gamma^k H_n + q^k H_t) dz - \frac{\cos\theta_0}{2\pi} \int_0^l \frac{q^k}{z-x_0} dz \quad k=0,1 \quad (2.116)$$

Cunoscând pe $v_{st}^k(x_0)$ se poate determina prin relația (2.100) viteza indusă pe conturul profilului. Ținând cont de decomunerile (2.87), (2.89) și (2.90) relația devine:

$$v_t^\pm = \frac{\mp v_{st}^k - \left(\frac{1}{2} \gamma^k + v_{sn}^k \frac{dy_0}{dx}\right) \frac{dz}{ds}}{\frac{d\theta^\pm}{ds}} \quad k=0,1 \quad (2.117)$$

Viteza totală pe contur rezultă conform relației de definiție a vitezei induse (2.56) și a condiției la limită pe contur:

$$V_t^\pm = \operatorname{Re} \left\{ (w^\pm(\zeta) + V_\infty e^{-i\alpha_\infty}) e^{i\theta^\pm} \right\} \quad (2.118)$$

din care rezultă:

$$V_t^\pm = v_t^\pm + V_\infty \cos(\alpha_\infty + \theta^\pm) \quad (2.119)$$

sau

$$\frac{V_t^\pm}{V_\infty} = \frac{v_t^\pm}{V_\infty} + \cos\alpha_\infty \cos\theta^\pm - \sin\alpha_\infty \sin\theta^\pm$$

Viteza V_t^\pm se poate descompune :

$$\textcircled{43} \quad \frac{V_t^\pm}{V_\infty} = V_t^{\circ\pm} \cos\alpha_\infty + V_t^{1\pm} \sin\alpha_\infty \quad (2.120)$$

unde

$$V_t^{\circ\pm} = v_t^{\circ\pm} + \cos\theta^\pm \quad (2.121)$$

$$V_t^{1\pm} = v_t^{1\pm} - \sin\theta^\pm \quad (2.122)$$

Ca acest rezultat problema în planul rețelei rectilini este rezolvată; pentru transpunerea vitezei în planul rețelei circulare trebuie determinate valorile V_∞ și α_∞ . Astăzi în virtutea celor stabilite la deducerea funcției de transformare conformă

$$V_\infty = \frac{1}{Nt} \sqrt{\Delta Q^2 + \left(\Gamma_i - \frac{N\Gamma}{2}\right)^2} \quad \frac{1}{Nt} \Gamma_i = \frac{\Gamma}{\Delta Q} \quad (2.123)$$

unde $\Delta Q = \frac{Q}{b}$ este debitul raportat la înălțimea paletelor rețelei circulare, iar Γ_i este circulația la intrarea în rețeaua circulară, Γ este numărul de profile, iar t pasul rețelei rectilini rezultă din transformarea conformă. Γ este circulația de-a lungul conturului, egală în planul rețelei rectilini și al rețelei circulare; valoarea ei rezultă din integrarea în lungul scheletului a

distribuției de viteză și cunoscuta relației (2.75). Din (2.19) se determină α_∞ în funcție de coordonatele nărilor $\Delta\theta$, Γ_i , Γ și λ , determinat din (1.6). Cunoscută V_∞ , α_∞ și componentele $V_{\Gamma_i}^*$ și V_{Γ}^* , rezultă din (2.120) viteza totală pe conturul profilului V_{Γ}^* , care se transformă în planul rețelei circulare cu relația (2.13).

2.3. Metoda numerică pentru soluționarea sistemului de ecuații integrale.

Soluționarea numerică a sistemului de ecuații integrale (2.110) și (2.111) oferă o realitate practică și suficient de exactă pentru determinarea funcțiilor $\delta(\zeta)$ și $q(\zeta)$.

Se introduce schimbarea de variabilă:

$$x = \frac{l}{2}(1 - \cos\varphi) \quad 0 \leq \varphi \leq \pi \quad (2.123)$$

Funcțiile de distribuție δ și q se aproximează prin polinoame trigonometrice de formă:

$$\delta(\varphi) \sin\varphi = \sum_{n=0}^k \alpha_n^k \cos(n\varphi) \quad (2.124)$$

$$q(\varphi) \sin\varphi = \sum_{n=1}^k \beta_n^k \cos(n\varphi) \quad (2.125)$$

Funcțiile H_t și H_n se dezvoltă în sume trigonometrice duble:

$$\frac{l}{2} \sin\varphi_j H_\alpha(\varphi, \varphi_j) = \sum_{\mu=1}^N \sum_{\nu=0}^N h_{\mu\nu}^\alpha \sin(\mu\varphi_j) \cos(\nu\varphi) \quad \alpha=t, n \quad (2.126)$$

unde coeficienții $h_{\mu\nu}^\alpha$ se obțin prin metodele cunoscute ale analizei armonice. Considerînd intervalul de integrare $(0, \pi)$ divizat în N intervale echidistante și evaluînd integralele cu formula trapezilor rezultă:

$$\textcircled{5} \quad h_{\mu\nu}^\alpha = \frac{4}{N^2} \sum_{j=1}^{N-1} \left\{ \sum_{k=1}^{N-1} \frac{l}{2} \sin\varphi_j H_\alpha(\varphi_k, \varphi_j) \cos(\nu\varphi_k) + \right. \\ \left. + \frac{l}{4} \sin\varphi_j [H_\alpha(0, \varphi_j) + (-1)^\nu H_\alpha(\pi, \varphi_j)] \right\} \sin \mu\varphi_j \quad (2.127)$$

$$\alpha = t, n$$

$$\nu = 1, 2, \dots, N-1.$$

$$\mu = 1, 2, \dots, N-1, N.$$

Pentru simplificarea relațiilor se notează în sistemul de ecuații integrale (2.110) și (2.111):

$$\begin{aligned} \frac{1}{2\pi} \int_0^l H_t(x, x_j) \delta^k(x) dx &= \int_{yt}^k(x_j) \\ \frac{1}{2\pi} \int_0^l H_n(x, x_j) q^k(x) dx &= \int_{qn}^k(x_j) \\ \frac{1}{2\pi} \int_0^l H_n(x, x_j) \delta^k(x) dx &= \int_{\delta n}^k(x_j) \\ \frac{1}{2\pi} \int_0^l H_t(x, x_j) q^k(x) dx &= \int_{qt}^k(x_j) \end{aligned} \quad k=0, 1$$

$$\frac{1}{2\pi} \int_0^{\ell} \frac{q^k(x)}{x-x_j} dx = I_r^k(x_j)$$

$$\frac{1}{2\pi} \int_0^{\ell} \frac{q^k(x)}{x-x_j} dx = I_q^k(x_j) \quad k=0,1$$

Cu aceste notații sistemul devine:

$$I_{st}^k(x_j) - I_{qn}^k(x_j) + I_r^k(x_j) \cos \theta_0 = v_{sn}^k(x_j) \quad (2.126)$$

$$q^k(x_j) + 2 \left(\frac{dy_g}{dx} \right)_{x=x_j} \left[I_{rn}^k(x_j) + I_{qt}^k(x_j) + I_q^k(x_j) \cos \theta_j \right] = f_{sn}^k(x_j) \quad (2.127)$$

Introducînd schimbarea de variabilă (2.123), dezvoltările (2.124), (2.125), (2.126), (2.127), cu rotațiile :

$$I_{ab}^k(\varphi_j) \sin \varphi_j = F_{ab}^k(\varphi_j) \quad ; \quad I_a^k(\varphi_j) \sin \varphi_j = F_a^k(\varphi_j) \quad (2.130)$$

sistemul devine:

$$\left[F_{st}^k(\varphi_j) + F_r^k(\varphi_j) \cos \theta_j \right] - F_{qn}^k(\varphi_j) = v_{sn}^k(\varphi_j) \sin(\varphi_j) \quad (2.131)$$

$$4 \left[\frac{d}{d\varphi} \left(\frac{y_g}{\ell} \right) \right] F_{rn}^k(\varphi_j) + \left\{ q^k(\varphi_j) \sin^2 \varphi_j + 4 \left[\frac{d}{d\varphi} \left(\frac{y_g}{\ell} \right) \right] \left[F_{qt}^k(\varphi_j) + F_q^k(\varphi_j) \cos \theta_j \right] \right\} = f_{sn}^k(\varphi_j) \sin^2 \varphi_j \quad (2.132)$$

Dacă în expresiile funcțiilor $F_{st}^k(\varphi_j)$, $F_{qn}^k(\varphi_j)$, $F_{rn}^k(\varphi_j)$, $F_{qt}^k(\varphi_j)$, $F_q^k(\varphi_j)$, $F_r^k(\varphi_j)$ inversează ordinea operațiilor de sumare și de integrare se obțin în final produse de forma:

$$\int_0^{\pi} \cos(n\varphi) \cos(v\varphi) d\varphi = \begin{cases} 0 & \text{pentru } v \neq n \\ \frac{\pi}{2} & v = n \neq 0 \\ \pi & v = n = 0 \end{cases}$$

cu care rezultă:

$$F_{st}^k(\varphi_j) = \frac{a_0}{2} \sum_{\mu=1}^N h_{\mu 0}^t \sin(\mu \varphi_j) + \sum_{v=1}^p a_v^k \left[\frac{1}{4} \sum_{\mu=1}^N h_{\mu v}^t \sin(\mu \varphi_j) \right] \quad (2.133)$$

$$F_{rn}^k(\varphi_j) = \frac{a_0}{2} \sum_{\mu=1}^N h_{\mu 0}^n \sin(\mu \varphi_j) + \sum_{v=1}^p a_v^k \left[\frac{1}{4} \sum_{\mu=1}^N h_{\mu v}^n \sin(\mu \varphi_j) \right] \quad (2.134)$$

$$F_{qt}^k(\varphi_j) = \sum_{v=1}^p b_v^k \left[\frac{1}{4} \sum_{\mu=1}^N h_{\mu v}^t \sin(\mu \varphi_j) \right] \quad (2.135)$$

$$F_{qn}^k(\varphi_j) = \sum_{v=1}^p b_v^k \left[\frac{1}{4} \sum_{\mu=1}^N h_{\mu v}^n \sin(\mu \varphi_j) \right] \quad (2.136)$$

$$F_r^k(\varphi_j) = -\frac{1}{2} \sum_{v=1}^p a_v \sin(v \varphi_j) \quad (2.137)$$

$$F_q^k(\varphi_j) = -\frac{1}{2} \sum_{v=1}^p b_v \sin(v \varphi_j) \quad (2.138)$$

Expresile (2.133) - (2.138) înlocuite în ecuațiile (2.131) și (2.132) transformă acest sistem de ecuații integrale în două sisteme liniare de 2p ecuații cu 2p necunoscute: a_v^k ,

b_ν^k , ($\nu = 1, 2 \dots p$) pentru $k = 0$ și $k = 1$.

$$\textcircled{9} \quad \begin{cases} \sum_{\nu=1}^p P^\nu(\varphi_j) a_\nu^k + \sum_{\nu=1}^p Q^\nu(\varphi_j) b_\nu^k = \tilde{v}_{sn}^k(\varphi_j) \sin \varphi_j & (2.139) \\ \sum_{\nu=1}^p R^\nu(\varphi_j) a_\nu^k + \sum_{\nu=1}^p S^\nu(\varphi_j) b_\nu^k = \tilde{f}_{sn}^k(\varphi_j) \sin^2 \varphi_j & (2.140) \end{cases} \quad k=0,1$$

în care funcțiile P^ν , Q^ν , R^ν , S^ν au expresiile:

$$P^\nu(\varphi_j) = C_t^\nu(\varphi_j) + C_t^\nu(\varphi_j) \cos \theta_j - (-1)^\nu C_t^\circ(\varphi_j) \quad (2.141)$$

$$Q^\nu(\varphi_j) = -C_n^\nu(\varphi_j) \quad (2.142)$$

$$\textcircled{7} \quad R^\nu(\varphi_j) = 4 \frac{dy_g}{d\varphi_j} [C_n^\nu(\varphi_j) - (-1)^\nu C_n^\circ(\varphi_j)] \quad (2.143)$$

$$S^\nu(\varphi_j) = \cos(\nu \varphi_j) \sin \varphi_j + 4 \frac{dy_g}{d\varphi_j} [C_t^\nu(\varphi_j) + C_t^\nu(\varphi_j) \cos \theta_j] \quad (2.144)$$

Pentru simplificarea scrierii s-a notat:

$$C_\alpha^\nu(\varphi_j) = \frac{1}{4} \sum_{\mu=1}^N h_{\mu\nu}^\alpha \sin(\mu \varphi_j) \quad (2.145)$$

$$\textcircled{6} \quad C_\alpha^\circ(\varphi_j) = \frac{1}{2} \sum_{\mu=1}^N h_{\mu 0}^\alpha \sin(\mu \varphi_j) \quad (2.146)$$

$$C_\nu^\nu(\varphi_j) = -\frac{1}{2} \sin(\nu \varphi_j) \quad \begin{matrix} \alpha = t, n \\ \nu = 1, 2, \dots, p \end{matrix} \quad (2.147)$$

Termenii liberi ai sistemelor de ecuații liniare definiți cu ajutorul relațiilor (2.114), (2.115), (2.147), (2.148) pot fi aduși în formă mai simple. Conform relației (2.113) și (2.141) avem:

$$\tilde{v}_{sn}^+ \cos \alpha_\infty + \tilde{v}_{sn}^- \sin \alpha_\infty = \left[\frac{v_n^+}{V_\infty} \frac{d\theta^+}{ds} - \frac{v_n^-}{V_\infty} \frac{d\theta^-}{ds} \right] \quad (2.148)$$

$$\tilde{f}_{sn}^+ \cos \alpha_\infty + \tilde{f}_{sn}^- \sin \alpha_\infty = \frac{v_n^+}{V_\infty} \frac{d\theta^+}{dx} + \frac{v_n^-}{V_\infty} \frac{d\theta^-}{dx} \quad (2.149)$$

Din ecuația de definiție a funcției de grosime rezultă:

$$\frac{d\zeta^\pm}{d\zeta} = \mp 1 - \frac{dy_g}{dy_g} = \mp 1 + y_g \frac{d\theta}{ds} - i \frac{dy_g}{ds} \quad (2.148)$$

$$\frac{d\zeta^\pm}{d\zeta} = \frac{e^{i\theta^\pm} d\theta^\pm}{e^{i\theta} d\theta} \quad (2.149)$$

Egalarea celor două expresii dă:

$$\left[\cos(\theta^\pm - \theta) + i \sin(\theta^\pm - \theta) \right] \frac{d\theta^\pm}{ds} = \mp 1 + y_g \frac{d\theta}{ds} - i \frac{dy_g}{ds}$$

sau

$$\cos(\theta^\pm - \theta) \frac{d\theta^\pm}{ds} = \mp 1 + y_g \frac{d\theta}{ds} \quad (2.150)$$

$$\sin(\theta^\pm - \theta) \frac{d\theta^\pm}{ds} = - \frac{dy_g}{ds} \quad (2.151)$$

Din (2.106) rezultă:

$$\begin{aligned} \frac{v_n^\pm}{V_\infty} &= -\sin(\theta^\pm - \alpha_\infty) = -\sin[(\theta^\pm - \theta) + (\theta - \alpha_\infty)] \\ \text{sau} \quad \frac{v_n^\pm}{V_\infty} &= -[\sin(\theta^\pm - \theta)\cos(\theta - \alpha_\infty) + \cos(\theta^\pm - \theta)\sin(\theta - \alpha_\infty)] \end{aligned}$$

Înlocuind expresiile din (2.150) și (2.151) se obține:

$$\frac{v_n^\pm}{V_\infty} \frac{d\theta^\pm}{ds} = \frac{dy_g}{ds} \cos(\theta - \alpha_\infty) - y_g \frac{d\theta}{ds} \sin(\theta - \alpha_\infty) \pm \sin(\theta - \alpha_\infty)$$

de unde rezultă:

$$\overset{0}{f}_{sn}(x) = 2 \left[\frac{dy_g}{dx} \cos \theta - y_g \frac{d\theta}{dx} \sin \theta \right] \quad (2.153)$$

$$\overset{1}{f}_{sn}(x) = 2 \left[-\frac{dy_g}{dx} \sin \theta + y_g \frac{d\theta}{dx} \cos \theta \right] \quad (2.154)$$

$$\overset{0}{v}_{sn}(x) = \sin \theta \quad (2.155)$$

$$\overset{1}{v}_{sn}(x) = -\cos \theta \quad (2.156)$$

Rezolvând sistemele liniare (2.139) și (2.140) se obțin coeficienții polinoamelor trigonometrice (2.124) și (2.125); coeficientul b_0 rezultă din relația:

$$\overset{0}{a}_0 = \sum_{n=1}^{p/2} a_{2n-1} - \sum_{n=1}^{p/2} a_{2n} \quad (2.157)$$

Amosând funcțiile de distribuție a singularităților se determină viteza indusă pe schelet. În acest scop în ecuația integrală (2.91) se înlocuiesc relațiile (2.103), (2.104), (2.123), (2.124), (2.125), (2.126). Cu notațiile (2.133), (2.135) și (2.138) ecuația integrală ia forma:

$$\overset{k}{v}_{st}(\varphi_j) \sin \varphi_j = -F_{sr}(\varphi_j) - F_{qt}(\varphi_j) - F_q(\varphi_j) \cos \theta_j \quad (2.158)$$

Procedând în mod identic ca și pentru sistemul de ecuații integrale obținem:

$$\overset{k}{v}_{st}(\varphi_j) \sin \varphi_j = -\frac{1}{4} \sum_{\mu=1}^{N-1} \left[2a_{\mu 0}^k h_{\mu 0}^n - 2b_{\mu}^k \cos \theta_{\mu} + \sum_{\nu=1}^p (a_{\nu}^k h_{\mu \nu}^n + b_{\nu}^k h_{\mu \nu}^t) \right] \sin(\mu \varphi_j) \quad (2.159)$$

Viteza tangențială pe conturul C se obține din (2.117) după ce s-a efectuat schimbarea de variabilă (2.123):

$$\overset{k}{v}_t^\pm(\varphi_j) = \frac{F \overset{k}{v}_{st} \sin \varphi_j - \left[\frac{1}{2} \overset{k}{v}(\varphi_j) \sin \varphi_j + 2 \overset{k}{v}_n \frac{dy_g}{d\varphi} \right] \frac{dx}{d\varphi}}{\frac{d\theta^\pm}{ds} \sin \varphi_j} \quad (2.160)$$

În continuare rezultă din (2.121), (2.122) și (2.120) viteza totală pe conturul C al profilului, raportată la viteza V_∞ . Pentru determinarea vitezei V_∞ în funcție de parametrii mișcării din planul rețelei circulare conform relației (2.18) și (2.19) trebuie determinată circulația Γ realizată de profil:

$$\Gamma = \int_0^l \gamma(s) ds = V_{\infty} \int_0^{2\pi} \frac{\gamma(s(\varphi))}{V_{\infty}} \frac{ds}{dx} \frac{dx}{d\varphi} d\varphi$$

Ținând cont de descompunerea (2.18) și integrând se obține:

$$\Gamma = V_{\infty} \frac{\pi l}{2} (\bar{a}_0 \cos \alpha_{\infty} + \hat{a}_0 \sin \alpha_{\infty}) \quad (2.151)$$

Cu relațiile (2.18) și (2.19) se obține după efectuarea calculului

$$\Gamma = \frac{2\pi}{N} \frac{(\bar{a}_0 \cos \lambda - \hat{a}_0 \sin \lambda) \Delta Q + (\bar{a}_0 \sin \lambda + \hat{a}_0 \cos \lambda) \Gamma_i}{4t/\ell + \pi(\bar{a}_0 \sin \lambda + \hat{a}_0 \cos \lambda)} \quad (2.162)$$

Cu acest rezultat se obține în continuare:

$$\frac{V_{\infty}}{\Delta Q} = \frac{1}{Nt} \sqrt{1 + \left[\frac{\Gamma_i}{\Delta Q} - \frac{(\bar{a}_0 \cos \lambda - \hat{a}_0 \sin \lambda) + (\bar{a}_0 \sin \lambda + \hat{a}_0 \cos \lambda) \frac{\Gamma_i}{\Delta Q}}{4t/\pi + (\bar{a}_0 \sin \lambda + \hat{a}_0 \cos \lambda)} \right]^2} \quad (2.163)$$

$$t_{\theta}(\alpha_{\infty} + \lambda) = \frac{4 \frac{t}{\ell} \frac{\Gamma_i}{\Delta Q} - \pi(\bar{a}_0 \cos \lambda - \hat{a}_0 \sin \lambda)}{4t/\ell + \pi(\bar{a}_0 \sin \lambda + \hat{a}_0 \cos \lambda)} \quad (2.164)$$

Viteza pe conturul profilului roței circulare se determină cu relația (2.13). În formă adimensională prin raportare la componenta meridională a vitezei de la intrare: $v_{im} = \frac{\Delta Q}{2\pi r}$, se obține:

$$\textcircled{14} \quad \frac{V^{\pm}}{v_{im}} = Nt \left(\frac{V_t^{\pm}}{\Delta Q} \right) \left(\frac{R_1}{R_2} \right)^{\left(\frac{x^{\pm}}{\ell} - \frac{y^{\pm}}{\ell} t_{\theta} \lambda \right)} \quad \Delta Q = \frac{2}{b} \quad (2.165)$$

Coefficientul de presiune, rezultat din aplicarea teoremei lui Bernoulli între un punct din amonte caracterizat prin viteza v_1 și presiunea p_1 și un punct de pe conturul C al profilului caracterizat prin viteza v_1 și presiunea p_1 , rezultă:

$$\textcircled{15} \quad c_{p1} = \frac{p_i - p_1}{\frac{\rho}{2} v_1^2} = 1 - \left(\frac{v_i}{v_1} \right)^2 \quad (2.166)$$

În calculul numeric a fost convenabilă calcularea coeficientului:

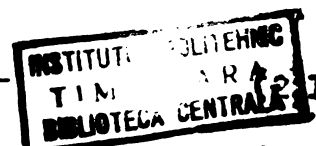
$$c_{pm1} = \left(\frac{\Gamma_i}{\Delta Q} \right)^2 - \left(\frac{v_i}{v_{im}} \right)^2 + 1 \quad (2.167)$$

Între c_{p1} și c_{pm1} există relația simplă

$$c_{p1} = c_{pm1} \frac{1}{1 + (\Gamma_i/\Delta Q)^2} \quad (2.167')$$

Din observarea triunghiurilor de viteze de la intrare și ieșire din roțeaua rectilinie /S.4/ se obține direcția curentului la intrare și ieșire (fig. 2.5)

$$\begin{aligned} \epsilon_1 &= \arctg \frac{V_{\infty} \sin(\lambda + \alpha_{\infty}) + \frac{\Gamma}{2t}}{V_{\infty} \cos(\lambda + \alpha_{\infty})} \\ \epsilon_2 &= \arctg \frac{V_{\infty} \sin(\lambda + \alpha_{\infty}) - \frac{\Gamma}{2t}}{V_{\infty} \cos(\lambda + \alpha_{\infty})} \end{aligned} \quad (2.168)$$



Deviația unghiulară a curentului în planul rețelei circulare va fi (fig.2.5)

$$\Delta \varepsilon = \varepsilon_1 - \varepsilon_2 + \tau_0 \quad (2.165)$$

sau

$$\Delta \varepsilon = \tau_0 + \operatorname{arctg} \frac{4tV_\infty \Gamma \cos(\lambda + \alpha_\infty)}{4t^2 V_\infty^2 - \Gamma^2} \quad (2.171)$$

unde τ_0 este cunoscut din parametrii geometrici ai rețelei circulare date, t este pasul rețelei rectilinii (2.7), V_∞ are expresia (2.163), Γ are expresia (2.162), iar din (2.164) rezultă:

$$\cos(\lambda + \alpha_\infty) = [1 + t^2 g^2(\lambda + \alpha_\infty)]^{-\frac{1}{2}}$$

Coefficientul de deviație a curentului în prezența rețelei circulare are expresia :

$$\delta_u = \frac{R_1 v_{u1} - R_2 v_{u2}}{R_1 v_{m1}} = \frac{\Gamma_i - \Gamma_e}{\Delta Q} = \frac{N\Gamma}{\Delta Q} \quad (2.172)$$

unde Γ_i este circulația de la intrare, Γ_e este cea de la ieșire din rețea, și înlocuind pe Γ din relația (2.161) se obține :

$$\delta_u = 2\pi \frac{(\hat{a}_0 \cos \lambda - \hat{a}_0 \sin \lambda) + (\hat{a}_0 \sin \lambda + \hat{a}_0 \cos \lambda) \frac{\Gamma_i}{\Delta Q}}{4t/e + \pi(\hat{z}_0 \sin \lambda + \hat{a}_0 \cos \lambda)} \quad (2.173)$$

Pe baza coeficienților c_{p1} , $\Delta \varepsilon$, δ_u se pot calcula curbele caracteristice energetice ale rețelei circulare la diferite valori ale parametrilor geometrici și cinematici.

2.4. Programarea metodei de calcul în limbaj FORTRAN.

Iupă cum reiese din metoda analitică expusă, calculul caracteristicilor hidrodinamice ale rețelei circulare decurge în două etape:

2.4.1. Determinarea parametrilor geometrici ai rețelei rectilinii rezultate din transformarea conformă a rețelei circulare.

2.4.2. Calculul caracteristicilor energetice ale rețelei rectilinii și transpunerea rezultatelor în planul rețelei circulare.

2.4.1. Pornind de la conturul profilului din rețeaua circulară definit prin puncte (r, τ) și de la parametrii geometrici cunoscuți în acest plan: R_1 - raza bordului de atac, R_2 - raza bordului de fugă, τ_0 - unghiul la centru în care este cuprins profilul, N - numărul profilelor, se determină cu relațiile (2.6) și (2.7) unghiul de instalare și pasul relativ al rețelei rectilinii, iar cu relațiile (2.8) și (2.9) conturul profilului echivalent în

acest plan. Conturul acestei obținut se reprezintă grafic la o scară avută joasă (10:1, 20:1) și se intersectează cu un fascicul de dreptele paralele cu axa ordonatelor. Cunoștința pentru fiecare valoare a abscisei x : ordonata corespunzătoare a extradosului y^+ și a intradosului y^- se determină ordonata scheletului și valoarea grosimii :

$$y^s = 0,5 (y^+ + y^-) \quad (2.173)$$

$$y^g = 0,5 (y^+ - y^-) \quad (2.174)$$

Intrucât în calculele analitice este necesară cunoașterea funcției scheletului și a grosimii în funcție de abscisa x sau a variabilei φ , (2.123) se determină ecuațiile acestor funcții.

Ordonata unui profil de grosime și curbură redusă este reprezentabilă în serie Fourier :

$$y(\varphi) = \sum_{n=0}^{N-1} [A_n \cos(n\varphi) + B_n \sin(n\varphi)] \quad (2.175)$$

Partea pară a funcției (2.175) definește funcția scheletului $y_s(\varphi)$ iar partea impară funcția de grosime $y_g(\varphi)$, deci:

$$y^s(\varphi) = \sum_{n=0}^{N-1} A_n \cos(n\varphi) \quad (2.176)$$

$$y^g(\varphi) = \sum_{n=0}^{N-1} B_n \sin(n\varphi) \quad (2.177)$$

Coefficienții A_n și B_n se determină cu ușurință prin metodele analizei armonice când se cunosc valorile lui $y(\varphi)$ pentru valori echidistante ale argumentului φ . Considerând intervalul $[0, 2\pi]$ împărțit în k părți egale și dacă se notează ordonatele $y_0, y_1, y_2, \dots, y_{k-1}, y_k = y_0$ corespunzătoare valorilor $\varphi = 0, \frac{2\pi}{k}, 2\frac{2\pi}{k}, \dots, (k-1)\frac{2\pi}{k}, 2\pi$ se poate considera cu suficientă precizie că integrala ce definește valoarea A_0 :

$$A_0 = \frac{1}{2\pi} \int_0^{2\pi} y(\varphi) d\varphi$$

se poate integra numeric prin metoda trapezelor obținând :

$$A_0 = \frac{1}{2\pi} \cdot \frac{2\pi}{k} \left[\frac{y_0}{2} + y_1 + y_2 + \dots + y_{k-1} + \frac{y_k}{2} \right]$$

Analog se poate considera că

$$A_n = \frac{1}{\pi} \int_0^{2\pi} y(\varphi) \cos n\varphi d\varphi = \frac{1}{\pi} \frac{2\pi}{k} \left[y_0 \cos n \frac{2\pi}{k} + y_1 \cos n \frac{4\pi}{k} + \dots + y_{k-1} \cos n \frac{2(k-1)\pi}{k} \right]$$

sau $\frac{k}{2} A_n = y_0 \cos n \frac{2\pi}{k} + y_1 \cos n \frac{4\pi}{k} + \dots + y_{k-1} \cos n \frac{2(k-1)\pi}{k}$

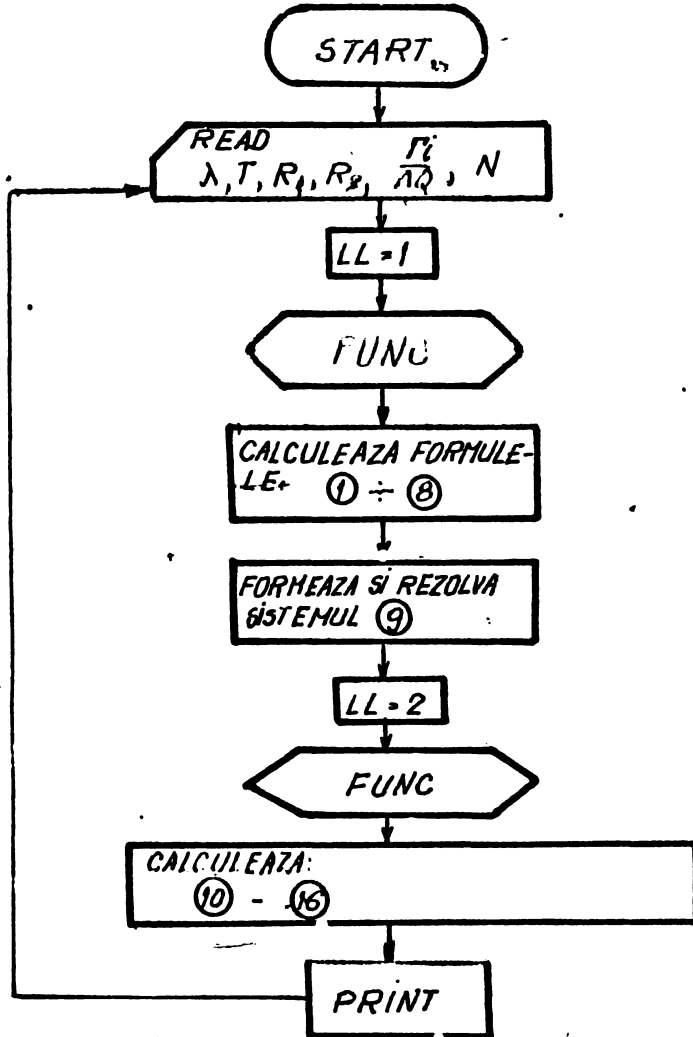
iar $\frac{k}{2} B_n = y_1 \sin n \frac{2\pi}{k} + y_2 \sin n \frac{4\pi}{k} + \dots + y_{k-1} \sin n \frac{2(k-1)\pi}{k}$

Alogând $k = 12$ se obține pentru valorile argumentului

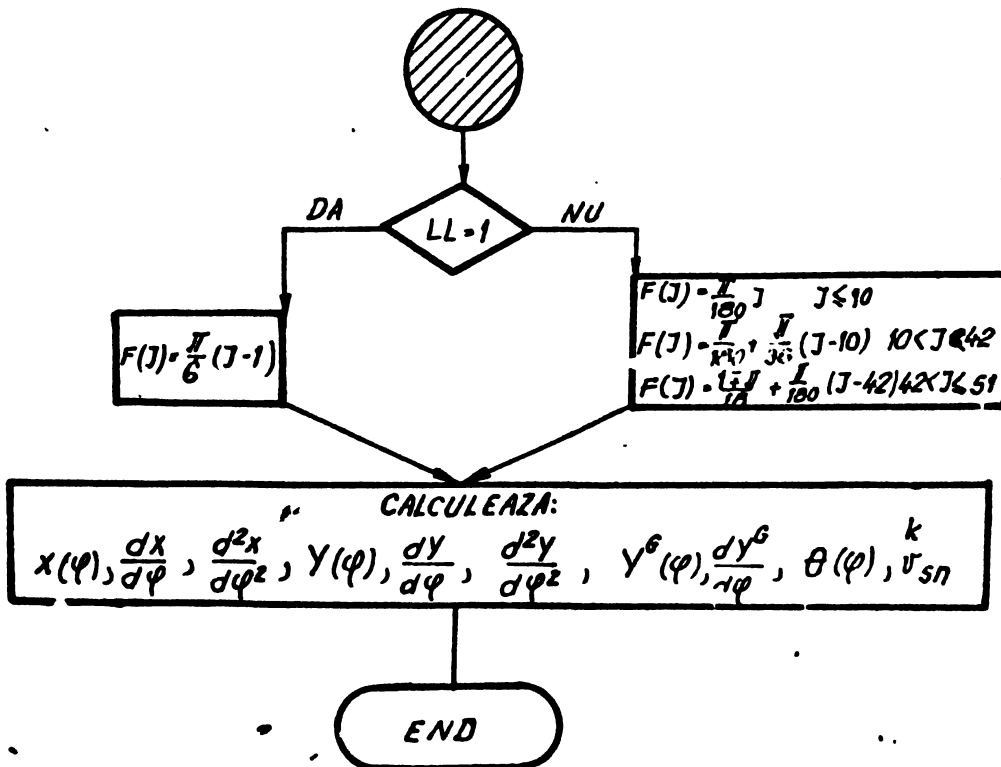
$$0, \frac{\pi}{6}, \frac{\pi}{3}, \frac{\pi}{2}, \frac{2\pi}{3}, \frac{5\pi}{6}, \pi, \frac{7\pi}{6}, \frac{4\pi}{3}, \frac{3\pi}{2}, \frac{5\pi}{3}, \frac{11\pi}{6}$$

și în virtutea periodicității funcțiilor trigonometrice:

PROGRAM PRINCIPAL:



SUBROUTINE FUNC:



$$\begin{aligned}
 2A_0 &= y_0 + y_1 + y_2 + \dots + y_n \\
 6A_1 &= (y_2 + y_{10} - y_4 - y_8) \sin 30^\circ + (y_1 + y_{11} - y_5 - y_7) \sin 60^\circ + (y_0 - y_6) \\
 6A_2 &= (y_1 + y_5 + y_7 + y_{11} - y_2 - y_4 - y_8 - y_{10}) \sin 30^\circ + (y_0 + y_6 - y_3 - y_9) \\
 6A_3 &= y_0 + y_4 + y_8 - y_2 - y_6 - y_{10} \\
 6B_1 &= (y_1 + y_5 - y_7 - y_{11}) \sin 30^\circ + (y_2 + y_4 - y_8 - y_{10}) \sin 60^\circ + (y_3 - y_9) \\
 6B_2 &= (y_1 + y_2 + y_7 + y_8 - y_4 - y_5 - y_{10} - y_{11}) \sin 60^\circ \\
 6B_3 &= y_1 + y_5 + y_9 - y_3 - y_7 - y_{11}
 \end{aligned}$$

În cazul cînd se efectuează studiul analitic al influenței unghiului de instalare al rețelei circulare asupra performanțelor hidrodinamice, se impun cunoașterea funcțiilor școlotului și grosimii pentru fiecare poziție a profilului. Pornind de la o poziție cunoscută a profilului (r^\pm, τ^\pm) se determină coordonatele (r_1^\pm, τ_1^\pm) ale profilului rotit în noua poziție. Pentru aceasta se trece de la sistemul de definire a coordonatelor utilizat la un sistem polar cu centrul în axul de rotație al profilului, pe baza relațiilor (fig.2.6)

$$d = \sqrt{r^2 + r_A^2 - 2rr_A \cos(\tau - \tau_F)} \quad (2.178)$$

unde r_A este raza de așezare a axului de rotație al profilului, iar τ_F este unghiul polar al punctului corespunzător bordului de fugă al profilului.

Din figură rezultă că unghiul A are expresia :

$$\hat{A} = \frac{\pi}{2} - |\tau - \tau_F| + \arctg \frac{r - r_A \cos(\tau - \tau_F)}{r_A \sin|\tau - \tau_F|} \quad (2.179)$$

Cunoscînd (d, \hat{A}) rezultă noile coordonate ale profilului obținute în urma rotirii cu unghiul α în jurul centrului său.

$$r_1 = \sqrt{r_A^2 + d^2 - 2r_A d \cos(\hat{A} + \alpha)} \quad (2.180)$$

$$\tau_1 = \tau_F + \arcsin \left[\frac{d}{r_1} \sin(\hat{A} + \alpha) \right] \quad (2.181)$$

pentru $\tau < \tau_F$.

$$r_1 = \sqrt{r_A^2 + d^2 - 2r_A d \cos(\hat{A} - \alpha)} \quad (2.182)$$

$$\tau_1 = \tau_F + \arcsin \left[\frac{d}{r_1} \sin(\hat{A} - \alpha) \right] \quad (2.183)$$

2.4.2. Calculul caracteristicilor energetice ale rețelei rectilinii.

Programul acestei etape de calcul a fost astfel conceput ca să permită determinarea caracteristicilor energetice pentru una și aceeași rețea la diferite valori ale direcției curentului de la intrare, caracterizate prin raportul $\frac{r_i}{\Delta Q}$.

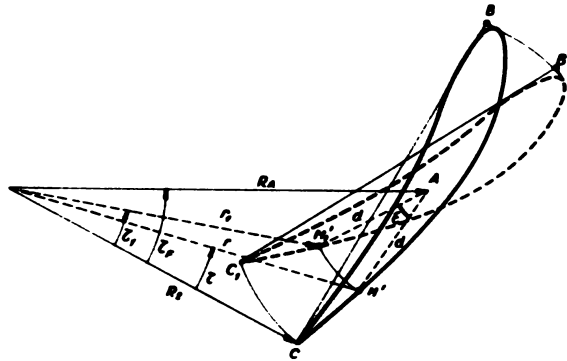
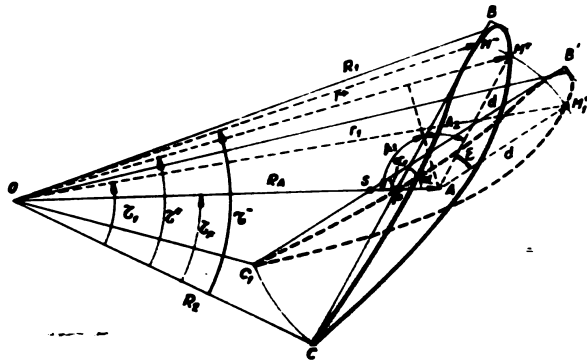


Fig. 2.6

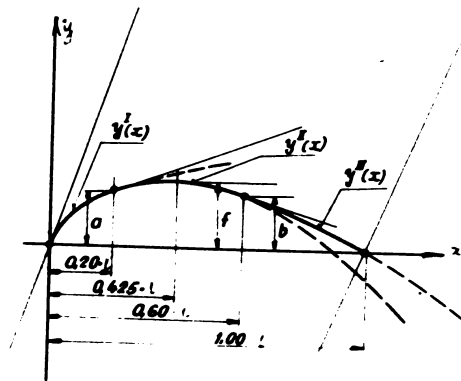


Fig 2.7

Programul se compune dintr-un program principal și două subprograme de tip SUBROUTINE. În cadrul subprogramului de tip SUBROUTINE se apelează și la biblioteca matematică a calculatorului pentru rezolvarea sistemului de ecuații liniare prin intermediul subprogramului RESOL /D.G/.

Prima declarație din programul principal stabilește datele care urmează a fi înregistrate în zona comună a memoriei operative. Urmază o declarație de alocare de tip DIMENSION prin care se reține în memorie spațiul necesar tablourilor de variabile ce urmează a fi înregistrate sau calculate.

Datele inițiale ale problemei: unghiul de instalare λ , pasul relativ t/l , raza de așezare a bordului de atac R_1 și a bordului de fugă R_2 precum și numărul de palate N se citesc de pe cartela de date. Deoarece programul privește atât calculul coeficienților funcțiilor de distribuție a singularităților pentru care variabila parcurge intervalul $[0, \pi]$ cu treapta $\pi/3$, cât și valorile funcțiilor de viteze pe conturul profilului cu treapta $\Delta\varphi = 5^\circ$ în porțiunea mediană, și $\Delta\varphi = 1^\circ$ în zona bordului de atac și de fugă, valorile funcției scheletului și a grosimii, prima și a doua derivată a acestora, trebuie calculate în ambele situații. În acest scop se introduce variabila LL care pentru $LL = 1$ alocă pasul de calcul $\Delta\varphi = 30^\circ$ iar pentru $LL = 2$ pasul $\Delta\varphi = 5^\circ$.

Se apelează la subrutina FUNC în care se calculează valorile funcțiilor: $x(\varphi_j)$, $\frac{dx}{d\varphi_j}$, $\frac{d^2x}{d\varphi_j^2}$, $y(\varphi_j)$, $\frac{dy}{d\varphi_j}$, $\frac{d^2y}{d\varphi_j^2}$, $y^G(\varphi_j)$, $\frac{dy^G}{d\varphi_j}$, $\theta(\varphi_j)$, $\sin \theta(\varphi_j)$, $\cos \theta(\varphi_j)$,

pentru fiecare valoare a variabilei φ_j în cele două situații menționate. Cu ajutorul acestor valori se calculează prin cicluri 10 componentele continue ale nucleului:

$$\textcircled{1} \begin{cases} \xi_{kj} = \frac{\pi}{t} [(X_k - X_j) \cos \lambda - (Y_k - Y_j) \sin \lambda] & (2.134) \\ \eta_{kj} = \frac{\pi}{t} [(Y_k - Y_j) \cos \lambda + (X_k - X_j) \sin \lambda] & (2.135) \end{cases}$$

$$\textcircled{2} \begin{cases} A_{kj} = \frac{\sinh 2\xi_{kj}}{\cosh 2\xi_{kj} - \cos 2\eta_{kj}} & (2.136) \\ B_{kj} = -\frac{\sin 2\eta_{kj}}{\cosh 2\xi_{kj} - \cos 2\eta_{kj}} & (2.137) \end{cases}$$

$$\textcircled{3} \begin{cases} \chi_{kj}^t = \frac{\pi}{2t} \sin \varphi_j [A_{kj} \cos(\lambda + \theta_j) - B_{kj} \sin(\lambda + \theta_j)] - \frac{\cos \theta_j}{X_k - X_j} \frac{\sin \varphi_j}{2} & (2.138) \\ \chi_{kj}^n = -\frac{\pi}{2t} \sin \varphi_j [A_{kj} \sin(\lambda + \theta_j) + B_{kj} \cos(\lambda + \theta_j)] & (2.139) \end{cases}$$

$$\textcircled{4} \quad \begin{cases} \chi_{jj}^t = \frac{\sin \varphi_j}{2} \frac{d(\cos \theta_j)}{dX} \\ \chi_{jj}^n = \frac{\sin \varphi_j}{2} \frac{d(\sin \theta_j)}{dX} \end{cases} \quad (2.190)$$

$$(2.191)$$

Cu relațiile (2.127) se calculează în ciclu DO coeficienții dezvoltărilor în serii trigonometrice duble $h_{\mu\nu}^t$ și $h_{\mu\nu}^n$

Tot ciclic se calculează coeficienții c_α^j (2.145), (2.146), (2.147) necesari determinării coeficienților P, Q, R, S (2.141), (2.142), (2.143), (2.144) din sistemele liniare (2.139) (2.140) și termenilor lor liberi. Se apelează su rutina FORM în cadrul căreia se ordonează matricile sistemelor în forma necesară utilizării în subprogramul RESOL, pentru $k = 0$ și $k = 1$.

Se optia astfel coeficienții funcțiilor de distribuție ale singularităților pe schelet:

Programul principal cuprinde în continuare calculul distribuțiilor de viteză pe contur. Se apelează subrutina FUNC și se determină valorile funcțiilor scheletului și grosimii și derivatele lor pentru $LL = 2$, adică pasul $\Delta\varphi = 5^\circ$, respectiv $\Delta\varphi = 1^\circ$ în vecinătatea bordului de atac și de fugă; Valorile vitezelor induse pe schelet se calculează ciclic de la bordul de atac la bordul de fugă cu ajutorul relației (2.159). Pentru calculul vitezelor induse pe contur se calculează din (2.160) valorile funcțiilor $\bar{\sigma}^k \sin \varphi_j$ cu (2.124) și

$$\frac{d\sigma^\pm}{d\varphi} = \left[\left(\frac{dX^\pm}{d\varphi} \right)^2 + \left(\frac{dY^\pm}{d\varphi} \right)^2 \right]^{1/2} \quad (2.192)$$

unde

$$\frac{dX^\pm}{d\varphi} = \frac{dX}{d\varphi} \pm \left\{ \frac{\frac{dY^6}{d\varphi} \frac{dY}{d\varphi} + Y^6 \frac{d^2Y}{d\varphi^2}}{\left[\left(\frac{dX}{d\varphi} \right)^2 + \left(\frac{dY}{d\varphi} \right)^2 \right]^{1/2}} - \frac{Y^6 \frac{dY}{d\varphi} \left(\frac{dX}{d\varphi} \frac{d^2X}{d\varphi^2} + \frac{dY}{d\varphi} \frac{d^2Y}{d\varphi^2} \right)}{\left[\left(\frac{dX}{d\varphi} \right)^2 + \left(\frac{dY}{d\varphi} \right)^2 \right]^{3/2}} \right\} \quad (2.193)$$

$$\frac{dY^\pm}{d\varphi} = \frac{dY}{d\varphi} \pm \left\{ \frac{\frac{dY^6}{d\varphi} \frac{dX}{d\varphi} + Y^6 \frac{d^2X}{d\varphi^2}}{\left[\left(\frac{dX}{d\varphi} \right)^2 + \left(\frac{dY}{d\varphi} \right)^2 \right]^{1/2}} - \frac{Y^6 \frac{dX}{d\varphi} \left(\frac{dX}{d\varphi} \frac{d^2X}{d\varphi^2} + \frac{dY}{d\varphi} \frac{d^2Y}{d\varphi^2} \right)}{\left[\left(\frac{dX}{d\varphi} \right)^2 + \left(\frac{dY}{d\varphi} \right)^2 \right]^{3/2}} \right\} \quad (2.194)$$

Un nou ciclu DO calculează componentele vitezei totale pe conturul C raportată la V_∞ .

În funcție de coeficienții distribuției de viteză determinați din sistemul liniar și de datele inițiale $\Gamma/\Delta Q$, t , N , și λ se calculează circulația totală Γ apoi raportul $V_\infty/\Delta Q$ și unghiul α_∞

conform relațiilor (2.162) (2.163) (2.164).

Ciclic se determină viteza totală pe conturul profilului din planul rețelei circulare, raportată la componenta meridională de la intrare din relația (2.165), valoarea coeficientului de presiune c_{plm} și coordonatele punctului de calcul din planul rețelei circulare r^{\pm} și τ^{\pm} .

La transcrierea în limbaj FORTRAN a programului s-au efectuat următoarele notații convenționale.

$X = \frac{x}{l} \dots X(J)$	$\lambda \dots AL$	$x_{k,j}^{t,n} \dots HI(K,J,I)$	$v_{st}^k \sin \varphi_j \dots VS(J,K)$
$\frac{dX}{d\varphi} \dots DX(J)$	$R_1 \dots R1$	$h_{\mu\nu}^{t,n} \dots H(M,N,I)$	$v_{\pm}^k(\varphi_j) \dots VT(J,K,L)$
$\frac{d^2X}{d\varphi^2} \dots D2X(J)$	$R_2 \dots R2$	$C_{t,n}^v \dots C(N,J,I)$	$v^k \sin \varphi_j \dots G(J,K)$
$Y = \frac{y^s}{l} \dots Y(J)$	$N \dots NR$	$P^v(\varphi_j) \dots P(N,J)$	$X^{\pm} \dots XL(J,K)$
$\frac{dY}{d\varphi} \dots DY(J)$	$t \dots T$	$Q^v(\varphi_j) \dots Q(N,J)$	$Y^{\pm} \dots YL(J,K)$
$\frac{d^2Y}{d\varphi^2} \dots D2Y(J)$	$\varphi \dots F(J)$	$R^v(\varphi_j) \dots R(N,J)$	$\frac{dX^{\pm}}{d\varphi} \dots DXL(J,K)$
$Y^G = \frac{y^G}{l} \dots YG(J)$	$\xi_{kj} \dots CS(K,J)$	$S^v(\varphi_j) \dots S(N,J)$	$\frac{dY^{\pm}}{d\varphi} \dots DYL(J,K)$
$\frac{dY^G}{d\varphi} \dots DYG(J)$	$\eta_{kj} \dots ET(K,J)$	$v_{sn}^k \dots V(J,K)$	$\cos \theta^{\pm} \dots CL(J,L)$
$\frac{dY}{dX} \dots DYX(J)$	$A_{kj} \dots A(K,J)$	$f_{sn}^p \dots FS(J,K)$	$\sin \theta^{\pm} \dots SL(J,L)$
$\frac{d^2Y}{dX^2} \dots D2YX(J)$	$B_{kj} \dots B(K,J)$	$\frac{d\theta}{dX} \dots DT(J)$	$\frac{v_{\pm}^k}{v_0} \dots VF(J,K,L)$
$\frac{dY^G}{dX} \dots DYGX(J)$	$\theta_j \dots TE(J)$	$a_{\nu}^k \dots AN(N,K)$	$\frac{N\Gamma}{2\Delta Q} \dots GQ$
	$\mu \dots M$	$b_{\nu}^k \dots BN(N,K)$	$\frac{V_{\infty}}{\Delta Q} \dots VQ$
	$v \dots N$	$\frac{V_{\pm}}{\Delta Q} \dots VTQ(J,L)$	
	$\frac{\Gamma_i}{\Delta Q} \dots GAMA$	$\frac{V^{\pm}}{v_{1m}} \dots VC(J,L)$	$\sin \alpha_{\infty} \dots SINA$
	$\tau^{\pm} \dots R\phi(J,L)$	$C^v \dots CF(N,J)$	$\cos \alpha_{\infty} \dots C\phi SA$
	$\tau^{\pm} \dots TAU(J,L)$		$c_{plm}(\varphi_j) \dots CC(J)$

Listinul afișat de calculatorul IRIS-50 este redat în original în anexa 2.

2.5. Aplicarea metodei de calcul la cazuri concrete.

Metoda analitică expusă în 2.2. și prelucrată până în forma de program transcris în limbaj FORTRAN expus în 2.4. a fost utilizată la calculul caracteristicilor hidrodinamice ale rețelei de aparat director de turbină formată din profile Clark Y8. Conturul profilului în rețea circulară este definit prin următoarele coordonate (Tab.1)

Tabela 1.

Poz.	1	2	3	4	5	6
R ⁺	345,6	345,5	345,4	345,3	344,4	343,5
τ ⁺	0,2682	0,2627	0,2582	0,2499	0,2421	0,2345
R ⁻	345,6	343,4	342,4	340,6	339,2	337,7
τ ⁻	0,2682	0,2655	0,2636	0,2574	0,2509	0,2443

Poz.	7	8	9	10	11	12
R ⁺	341,6	339,3	334,1	328,8	323,1	317,3
τ ⁺	0,2197	0,2054	0,1778	0,1509	0,1247	0,990
R ⁻	334,9	332,2	327,0	321,9	316,9	311,9
τ ⁻	0,2308	0,2175	0,1904	0,1632	0,1360	0,1088

Poz.	13	14	15	16	17	
R ⁺	311,3	305,2	299,1	296,1	293,1	mm
τ ⁺	0,0737	0,0488	0,0242	0,0120	0	rad.
R ⁻	307,3	302,3	297,6	295,2	293,1	mm
τ ⁻	0,0316	0,0544	0,0272	0,0136	0	rad.

Formulă de la această poziție a profilului corespunzătoare unghiului $\lambda = 60^\circ$, s-au determinat coordonatele conturului în pozițiile următoare:

Tabela 2.

λ	20°	30°	40°	50°	60°	grad
R ₁	365,5	361,3	355,3	350,3	345,6	mm
R ₂	271,1	275,6	280,6	287,1	293,1	mm
τ ₀	0,2024	0,1613	0,2054	0,1750	0,2698	rad

Tabela 2 (continuare)

λ	$-18^{\circ}31'$	$-20^{\circ}41'$	$-23^{\circ}30'$	$-27^{\circ}27'$	$-35^{\circ}20'$
R_1	300,7	367,6	354,4	359,1	352,2
R_2	275,2	220,9	227,5	296,8	307,4
ζ_0	-0,0939	-0,1533	-0,1962	-0,2389	-0,2713

Coordonatele centrului în pozițiile rotite și punctele osciloge din planul rețelei rectilinie s-au calculat conform celor indicate în 2.4.1. (p. 47-50)

Scheletul profilului din rețeaua rectilinie a fost aproximat prin trei arce de parabolă, racordate între ele, rezultând funcția de definiție de formă:

$$y^S = A_0^* + A_1^* x + A_2^* x^2$$

cu punctele de racordare $x = 0,2$ și $x = 0,6$ ca abscisă.

Coefficienții A_0^* , A_1^* , A_2^* pentru cele trei arce s-au determinat din condițiile (fig. 2.7) :

$$\left\{ \begin{array}{l} x=0 \\ y=0 \end{array} \right. \quad \left\{ \begin{array}{l} x=0,2 \\ y^I = a \end{array} \right. \quad \left\{ \begin{array}{l} x=0,2 \\ \frac{dy^I}{dx} = \frac{dy^{II}}{dx} \end{array} \right. \quad \left\{ \begin{array}{l} x=0,2 \\ y^{II} = a \end{array} \right. \quad \left\{ \begin{array}{l} x=0,425 \\ y^{II} = f \end{array} \right.$$

$$\left\{ \begin{array}{l} x=0,425 \\ \frac{dy^{II}}{dx} = 0 \end{array} \right. \quad \left\{ \begin{array}{l} x=0,6 \\ y^{II} = b \end{array} \right. \quad \left\{ \begin{array}{l} x=0,6 \\ \frac{dy^{II}}{dx} = \frac{dy^{III}}{dx} \end{array} \right. \quad \left\{ \begin{array}{l} x=1 \\ y^{III} = 0 \end{array} \right.$$

Din înlocuirea celor două perechi de valori a rezultat un sistem linear de nouă ecuații cu nouă necunoscute: $A_0^{*I}, A_1^{*I}, A_2^{*I}, A_0^{*II}, A_1^{*II}, A_2^{*II}, A_0^{*III}, A_1^{*III}, A_2^{*III}$ de formă:

$$\left\{ \begin{array}{l} A_0^{*I} = 0 \\ A_0^{*I} + 0,2A_1^{*I} + 0,04A_2^{*I} = a \\ A_1^{*I} + 0,4A_2^{*I} - A_1^{*II} - 0,4A_2^{*II} = 0 \\ A_0^{*II} + 0,2A_1^{*II} + 0,04A_2^{*II} = a \\ A_0^{*II} + 0,425A_1^{*II} + 0,425^2A_2^{*II} = f \\ A_1^{*II} + 0,850A_2^{*II} = 0 \\ A_0^{*III} + 0,6A_1^{*III} + 0,06A_2^{*III} = b \\ A_1^{*III} + 1,2A_2^{*III} - A_1^{*III} - 1,2A_2^{*III} = 0 \\ A_0^{*III} + A_1^{*III} + A_2^{*III} = 0 \end{array} \right.$$

Pentru unghiurile de instalare stabilite ordonăm la a, b, f au următoarele valori:

Tabla 3.

	20	30	40	50	60
$a/1$	0,0125	0,0203	0,0251	0,0215	0,0193
$b/1$	0,0107	0,0340	0,0207	0,0245	0,0217
$f/1$	0,0436	0,0371	0,0320	0,0285	0,0247
	$-18^{\circ}31'$	$-29^{\circ}41'$	$-39^{\circ}39'$	$-51^{\circ}27'$	$-63^{\circ}29'$
$a/1$	0,0495	0,0550	0,0580	0,0621	0,0648
$b/1$	0,0658	0,0728	0,0773	0,0834	0,0875
$f/1$	0,0693	0,0773	0,0822	0,0878	0,0923

Rezolvând sistemul s-au obținut valorile coeficienților A_0^*, A_1^*, A_2^* și aplicând schimbarea de variabilă $x = 1/2 (1 - \cos \varphi)$ se obține funcția scheletului de formă:

$$y^2 = A_0 + A_1 \cos \varphi + A_2 \cos^2 \varphi.$$

Tabla 4.

λ	20	30	40	50	60
A_0'	0,00791	0,01129	0,01442	0,01715	0,02095
A_1'	0,06139	0,05501	0,05521	0,05725	0,04786
A_2'	-0,06951	-0,06909	-0,06054	-0,06012	-0,08081
A_0''	0,01415	0,02672	0,03123	0,03615	0,02459
A_1''	0,00726	0,00870	0,01018	0,01206	0,01657
A_2''	-0,02419	-0,02901	-0,03395	-0,04321	-0,05456
A_0'''	0,02457	0,02804	0,03289	0,03943	0,04775
A_1'''	0,01184	0,01515	0,01768	0,02412	0,03183
A_2'''	-0,01273	-0,01289	-0,01521	-0,01541	-0,01592

λ	$-18^{\circ}31'$	$-29^{\circ}41'$	$-39^{\circ}39'$	$-51^{\circ}27'$	$-63^{\circ}29'$
A_0'	0,04746	0,05233	0,05499	0,06255	0,06900
A_1'	0,07084	0,08013	0,08500	0,09193	0,08600
A_2'	-0,12551	-0,14102	-0,14250	-0,15449	-0,15500
A_0''	0,05013	0,07717	0,08159	0,08758	0,09207
A_1''	0,00011	0,00737	0,00759	0,00549	0,00909
A_2''	-0,05611	-0,07372	-0,07999	-0,08495	-0,09090
A_0'''	0,05995	0,07746	0,08294	0,08830	0,09339
A_1'''	0,00046	0,00979	0,01137	0,01159	0,01349
A_2'''	-0,06149	-0,06767	-0,07156	-0,07721	-0,07990

INSTITUTUL POLITEHNIC
TIMIȘOARA
BIBLIOTECA GENERALĂ

Funcția de grosime este de forma:

$$y^G/\lambda = \sum_1^3 B_n \cos n\varphi \quad (2.190)$$

unde coeficienții B_n au fost stabiliți prin metoda menționată în 2.4.1 - valorile lor sînt:

Tabela 5.

	λ_1	λ_2	λ_3	λ_4	λ_5
B_1	0,03531	0,03603	0,03622	0,03651	0,03746
B_2	0,01104	0,01147	0,01123	0,01238	0,01163
B_3	-0,00020	-0,00018	-0,00012	0,00052	0,00003

La acești parametrii geometrici, se adaugă pasul relativ

Tabela 6.

λ	20	30	40	50	60
t/l	0,9967	0,9963	0,9973	0,9983	1,0008
λ	-18°31'	-29°41'	-39°39'	-51°27'	-63°29'
t/l	1,0033	1,0151	1,0211	1,0283	1,0348

Cu aceste date au fost calculate conform programului menționat la 2.4.2 caracteristicile energetice ale rețelei pentru următoarele condiții:

- pentru rețeaua formată din $n = 20$ profile s-au considerat unghiurile de instalare $\lambda = 20^\circ, 30^\circ, 40^\circ, 50^\circ, 60^\circ, -18^\circ 31', -29^\circ 41', -39^\circ 39', -51^\circ 27', -63^\circ 29'$, fiecare unghi de instalare la direcțiile curentului de la intrare:

- $\varepsilon_1 = 20,2^\circ; 23,4^\circ; 24,4^\circ; 26,5^\circ; 30,5^\circ; 31,5^\circ; \text{pt. } \lambda = 20^\circ$
- $\varepsilon_1 = 24,2^\circ; 27,5^\circ; 32^\circ; 34^\circ; 36^\circ; 38^\circ; 41^\circ; 43^\circ, \text{pt. } \lambda = 30$
- $\varepsilon_1 = 36,1^\circ; 40,2^\circ; 42^\circ; 44^\circ; 45,3^\circ; 51,4^\circ \text{ pt } \lambda = 40$
- $\varepsilon_1 = 42,2^\circ; 44,5^\circ; 51,9^\circ; 52,9^\circ; 57,4^\circ \text{ pt. } \lambda = 50$
- $\varepsilon_1 = 52^\circ; 57^\circ; 60,4^\circ; 63,5^\circ; 67,7^\circ; 71^\circ; \text{pt. } \lambda = 60$
- $\varepsilon_1 = 5^\circ; 10^\circ; 15^\circ; 18^\circ; 27^\circ 28'; 31^\circ 30'; 40^\circ 40' \text{ pt } \lambda = -18^\circ 31'$
- $\varepsilon_2 = -22^\circ; -10^\circ; 0^\circ; 10^\circ; 20^\circ; 30^\circ 45'; 40^\circ \text{ pt } \lambda = -29^\circ 41'$
- $\varepsilon_1 = -31^\circ 40'; -25^\circ; -22^\circ 30'; -19^\circ 57'; -10^\circ; 0^\circ; 10^\circ; 21^\circ 28' \text{ pt } \lambda = -39^\circ 39'$
- $\varepsilon_1 = -25^\circ; -20^\circ 47'; -10^\circ; 10^\circ; 21^\circ 28'; 22^\circ 53' \text{ pt } \lambda = -51^\circ 27'$
- $\varepsilon_1 = -43,5^\circ; -40^\circ; -36,5^\circ; -30^\circ; -26,5^\circ; -24,7^\circ; 21,5^\circ 23,5^\circ \text{ pt } \lambda = -63^\circ 29'$

- pentru unghiul de instalare $\lambda = 60^\circ$ s-au considerat rețelele formate din $N = 20, 13, 15, 14, 10$ palote, direcția curentului de la intrare avînd valorile: $\varepsilon_1 = 52^\circ, 57^\circ, 60,4^\circ, 63,5^\circ, 67,6^\circ$

2.6. Curbele caracteristice energetice ale ratei circulare stabilite pe cale analitică.

Ca rezultat al metodei analitice se obține distribuția coeficienților de presiune c_{pm} pe conturul profilului, deviația unghiulară a curențului $\Delta\epsilon$ și coeficientul de deviație δ_u . Din distribuția coeficienților de presiune se obține valoarea coeficienților de acțiune a curențului asupra profilului - componenta normală la conturul profilului C_{yp} și componenta paralelă cu bordul C_{xp} (vezi 3.5.3).

Curbele de variație a coeficienților C_{yp} , C_{xp} , $\Delta\epsilon$ și δ_u în funcție de direcția curențului de la intrare sau în funcție de incidența curențului, constituie curbele caracteristice energetice ale rețelei.

În fig. 2.8 - 2.15 sînt redată curbele de distribuție a coeficienților c_{pm} de-a lungul conturul profilului la diferite valori ale unghiului de incidență și instalare. Pentru incidențe negative și pozitive mici se remarcă în zona bordului de atac pe intrados un vîrf de depresiune, care se atenuează pe măsură ce incidența crește. De la valoarea maximă, curba descevește realizînd un minim în porțiunea (0,35 - 0,4) l, după care curba crește din nou spre bordul de fugă. Cu cît unghiul de instalare este mai mare creșterea este mai puțin pronunțată. Ramurile corespunzătoare intradosului pentru diferite incidențe la același unghi de instalare rămîn aproape paralele între ele. Ramura corespunzătoare extradosului crește continuu de la bordul de atac spre bordul de fugă, pentru incidențe negative și pozitive mici. La incidențe pozitive mari, în zona bordului de atac, se produce un maxim de depresiune a cărui valoare crește odată cu unghiul de instalare. Curbele corespunzătoare extradosului aferente diferitelor unghiuri de incidență, se intersectează într-un punct situat la aproximativ 0,55 l, pentru toate unghiurile de instalare studiate.

Cu cît unghiul de incidență este mai mare, cu atît aria închisă de cele două ramuri ale distribuției de presiune pe contur, crește.

La unghiuri de instalare și incidență constante, micșorarea numărului profililor rețelei mărește aria cuprinsă între cele două ramuri ale curbei de distribuție a coeficienților de presiune. Maximalul din zona bordului de atac al ramurii aferente intradosului, la incidențe mici, se accentuează cu scăderea numărului profililor, la fel ca și maximalul ramurii aferente extradosului la la incidențe pozitive mari (fig. 2.16 - 2.19).

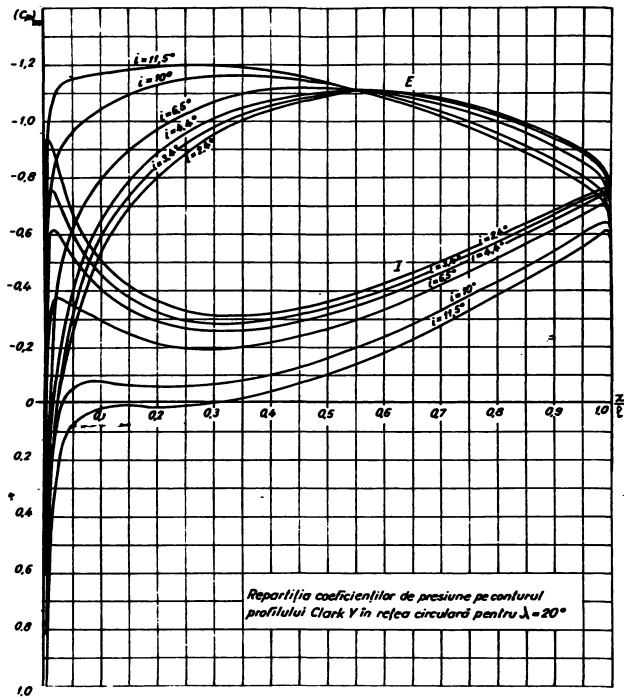
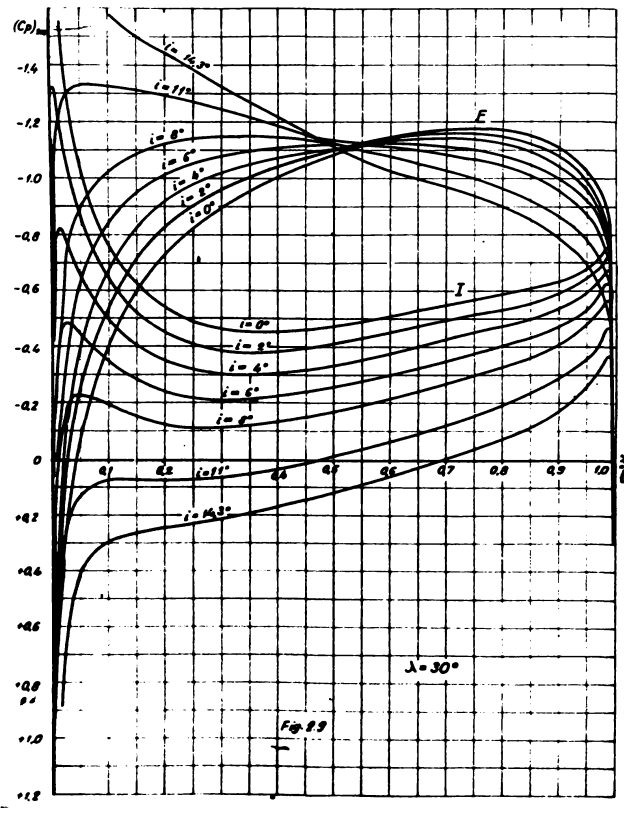
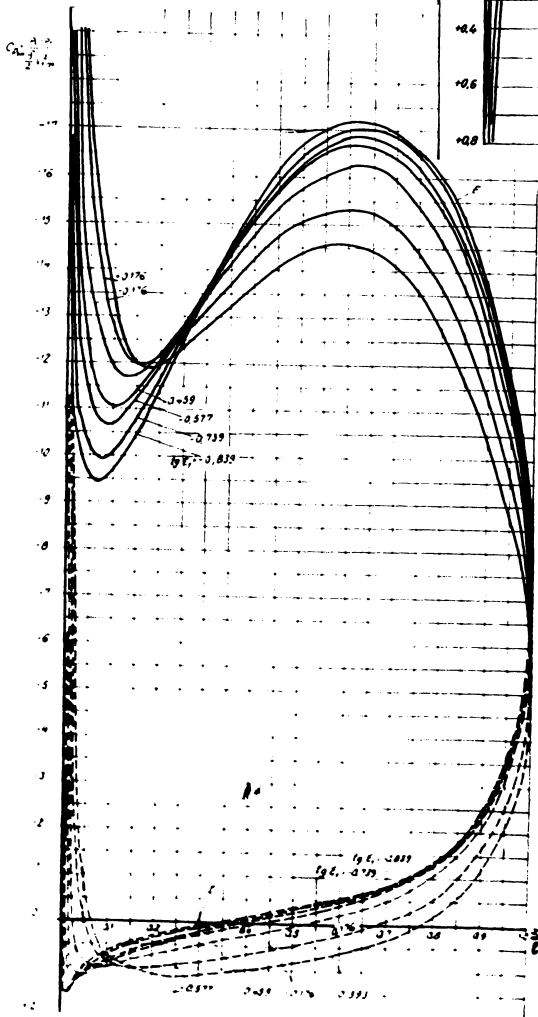
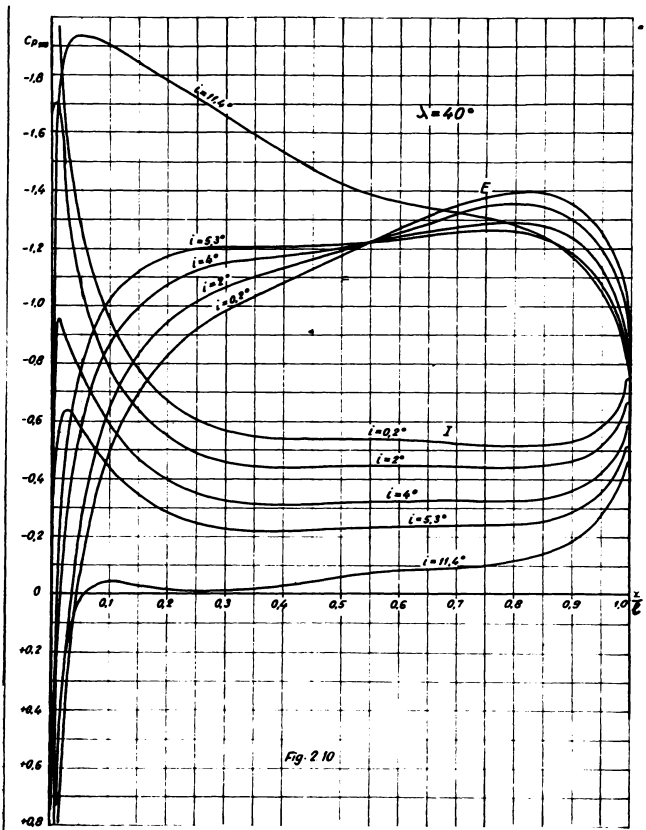


Fig. 2.8





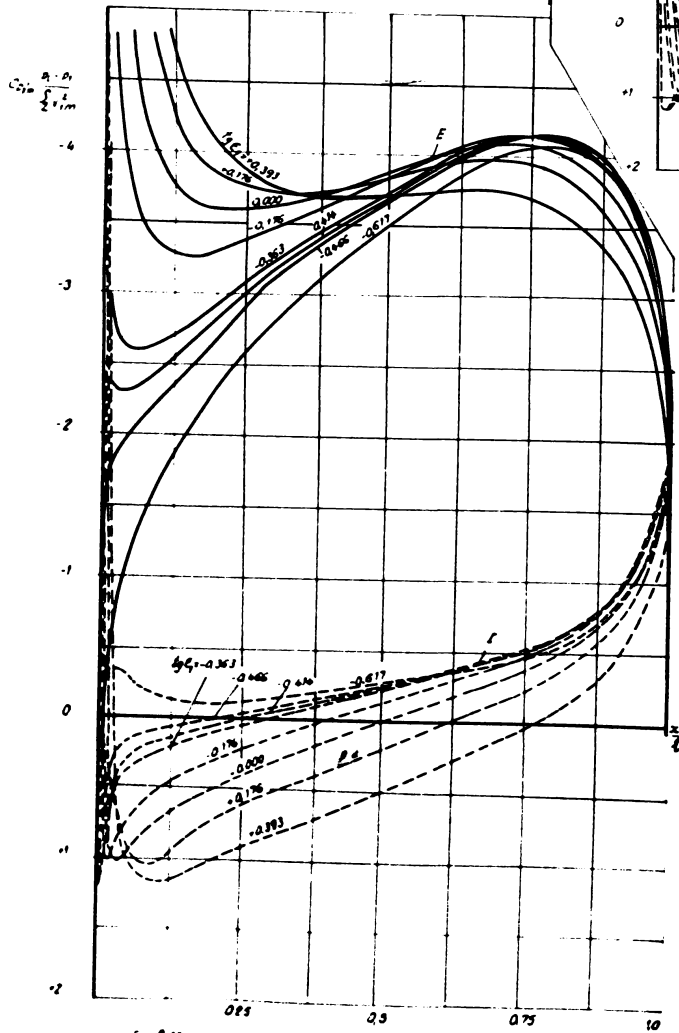


Fig. 2.13 Variația coeficienților de presiune pe conturul profilului și al $\lambda = 0.897$ rad. Curbe teoretice

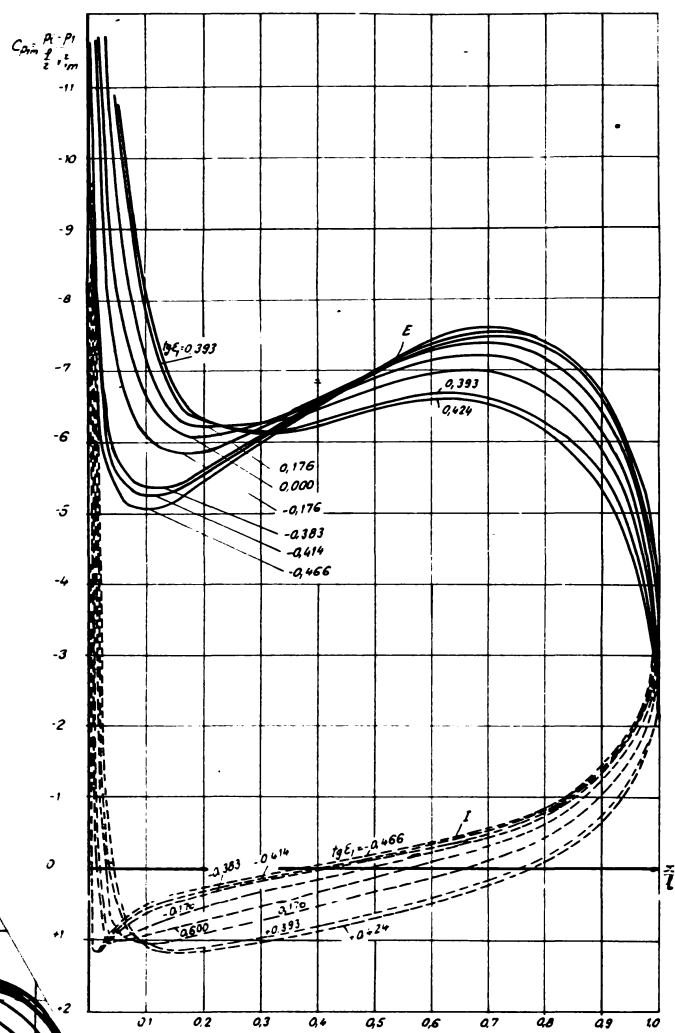


Fig. 2.12 Variația coeficienților de presiune pe conturul profilului rețelei circulare și unghiul de instalare $\lambda = 0.897$ rad. Curbe teoretice

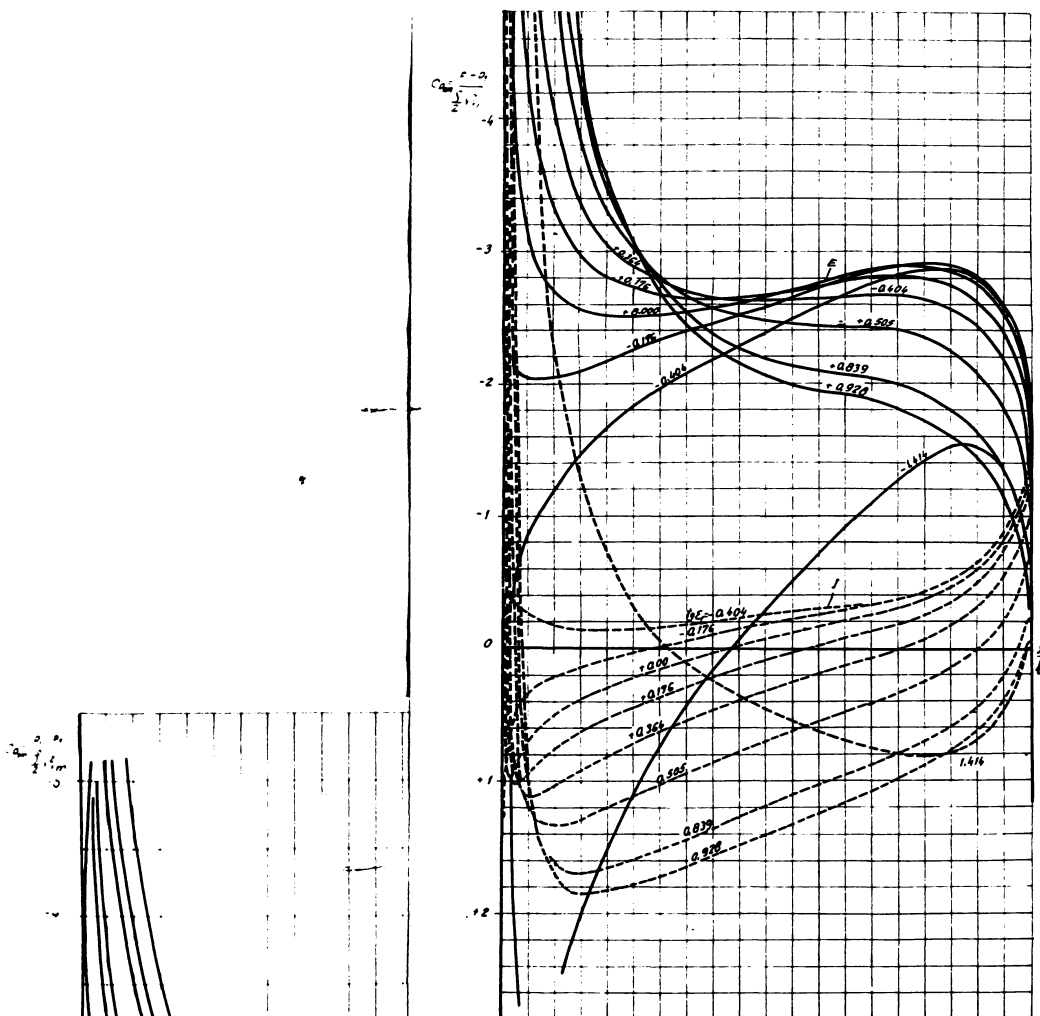


Fig. 2.14. Distributia coeficientilor de presiune pe conturul profilului la unghiul de instalare $\lambda = -0.518$ rad. Curbe teoretice

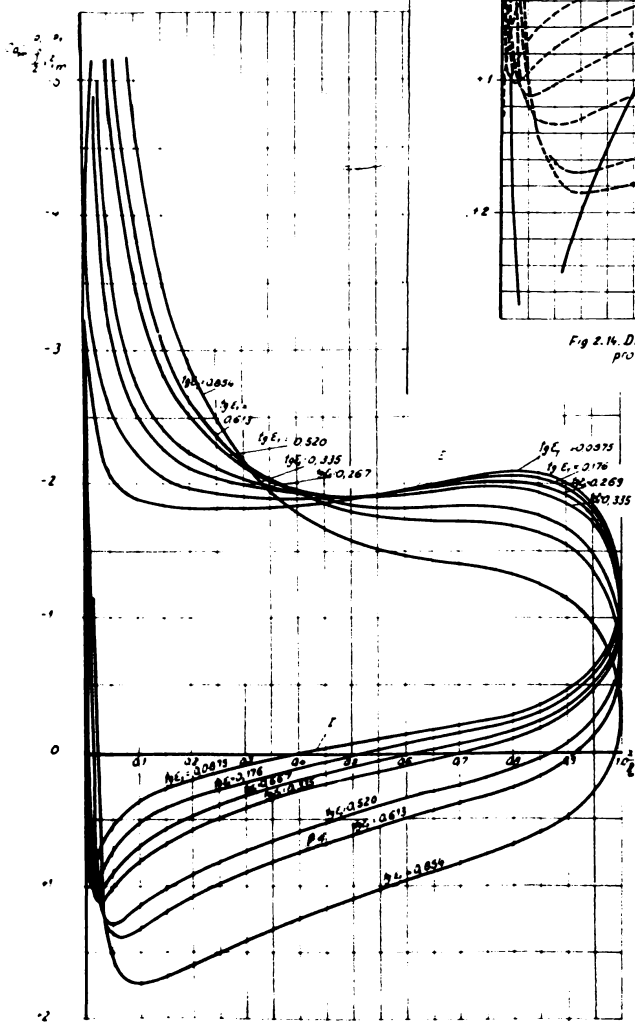


Fig. 2.15. Variatia coeficientilor de presiune pe conturul profilului la unghiul de instalare $\lambda = -0.518$ rad. Curbe teoretice

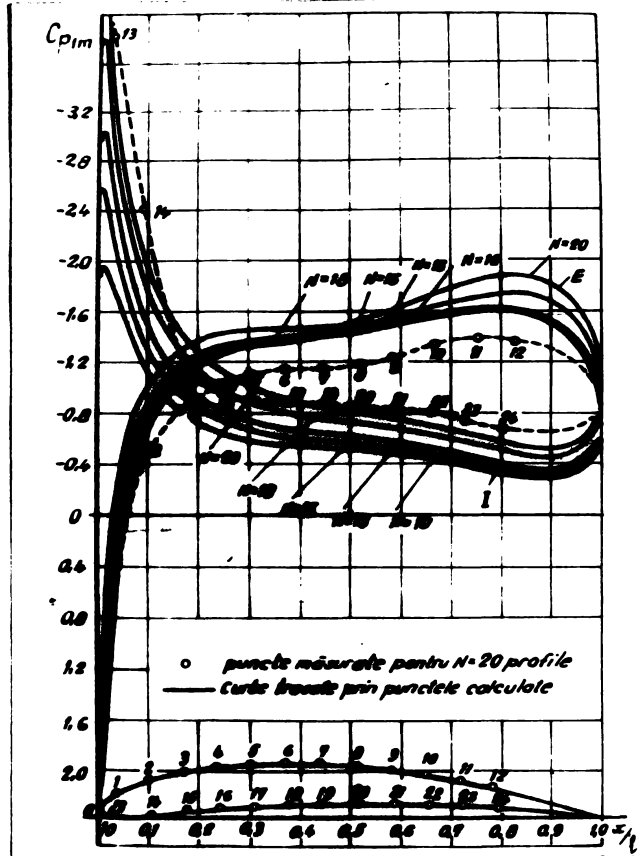


Fig. 2.16. Variația curbelor de distribuție a coeficientului C_{p1m} pentru $\alpha = 1.0009$ la rețeaua formată din $N=20; 10; 15; 12; 10$ profile pentru incidența $i = -3^\circ$.

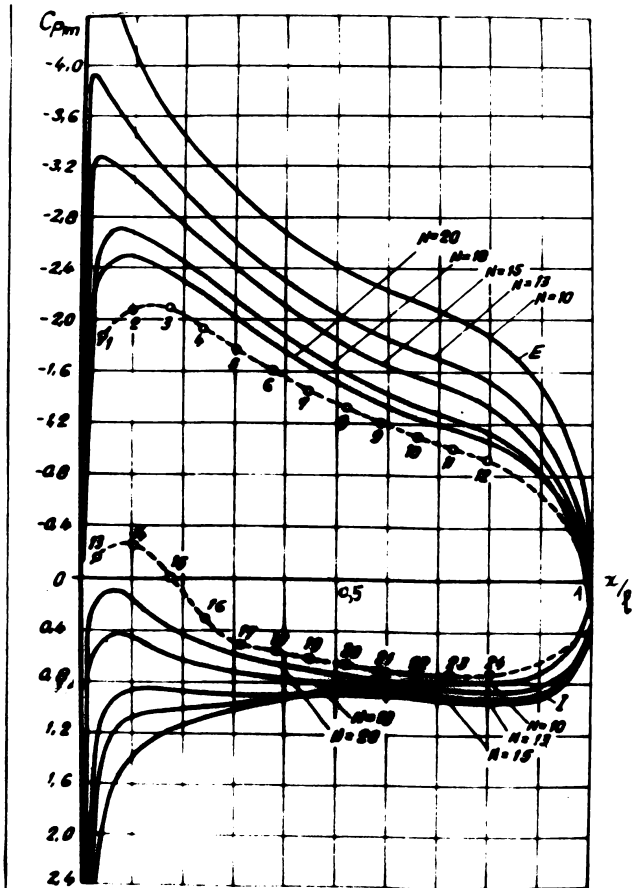


Fig. 2.17

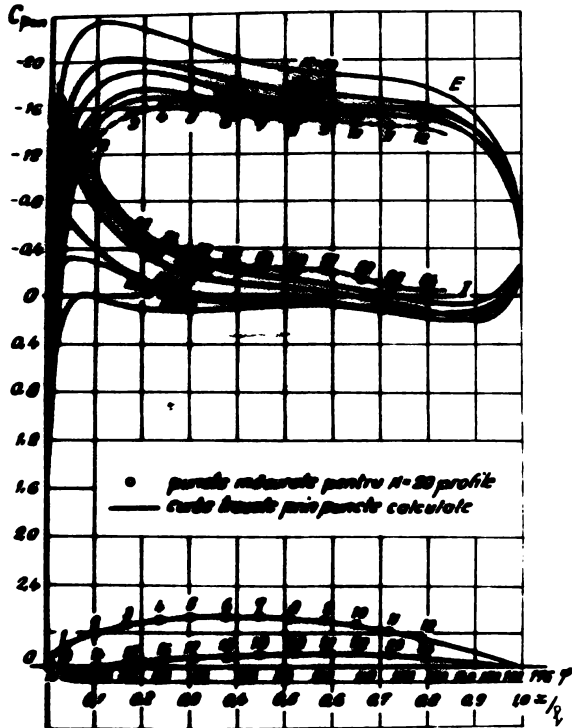


Fig. 2.10. Variația curbelor de distribuție a coeficientului C_{pm} pentru $\lambda = 1.0007$ la rețeaua formată din $N = 20, 10, 15, 13, 10$ profile pentru incidența $i = 0,6^\circ$

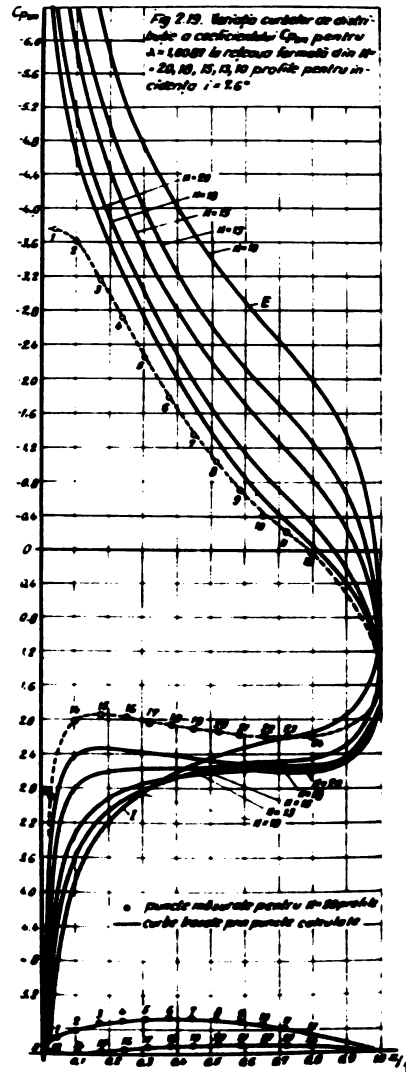


Fig. 2.11. Variația curbelor de distribuție a coeficientului C_{pm} pentru $\lambda = 1.0007$ la rețeaua formată din profile $N = 20, 10, 15, 13, 10$ profile pentru incidența $i = 1,6^\circ$

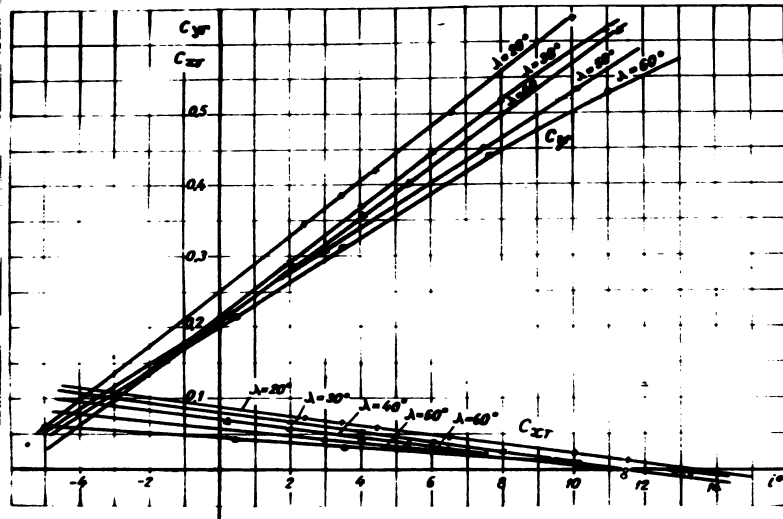


Fig. 2.0 Variația coeficientului de acțiune a curenților asupra profilului rețelei circulare. Curbe teoretice

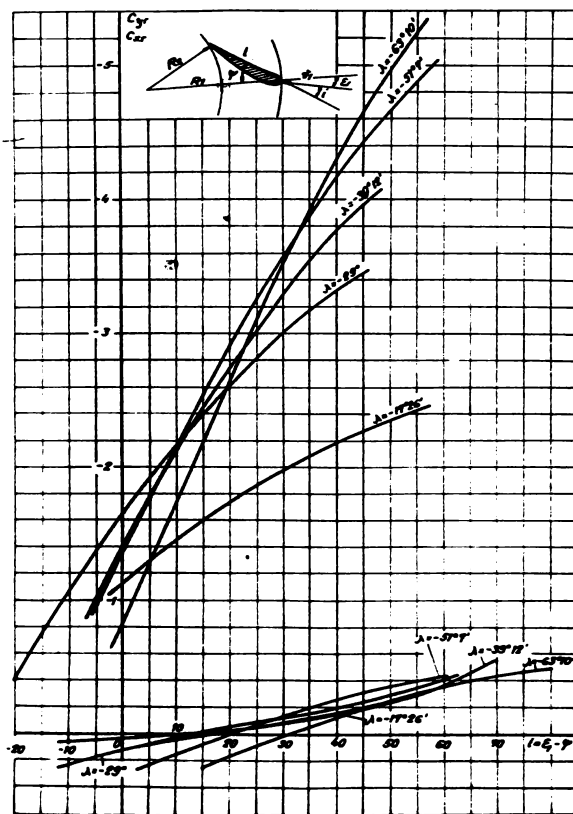


Fig. 2.21 Variația coeficientului de acțiune a curenților asupra profilului de rețea în funcție de înclinarea curenților. Curbe Teoretice

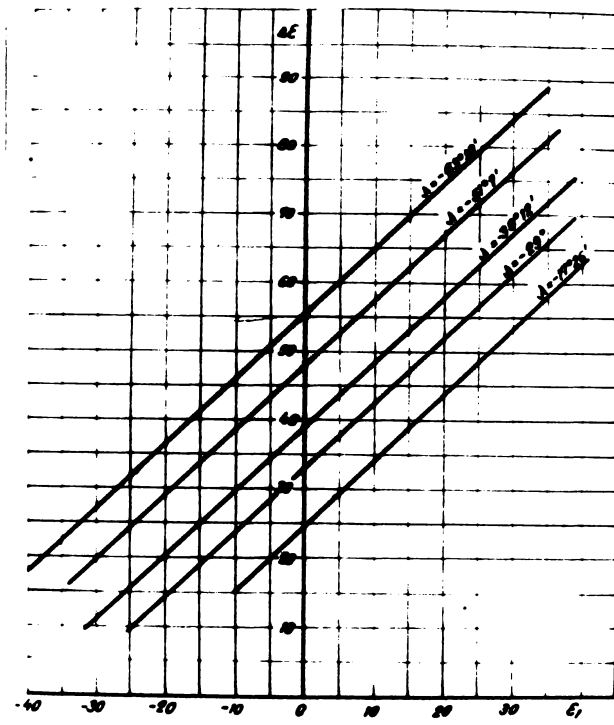
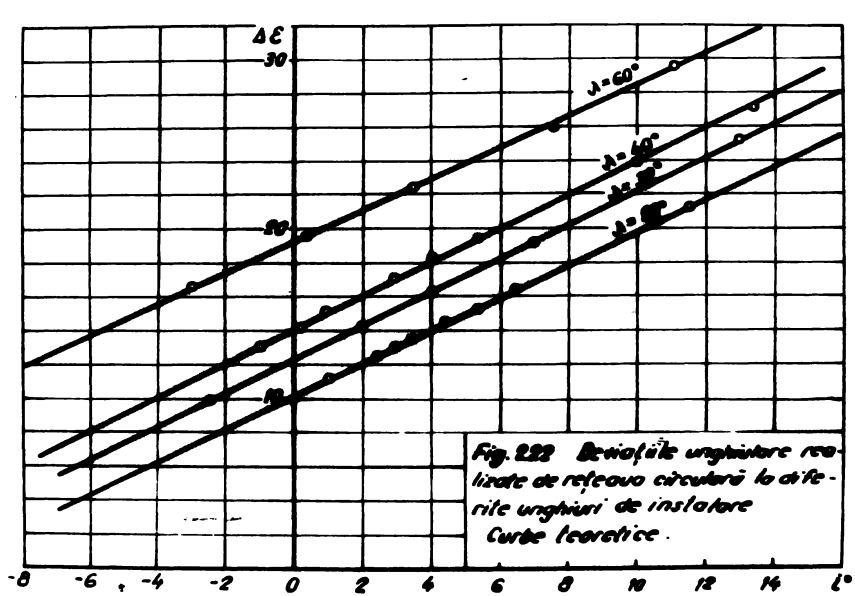
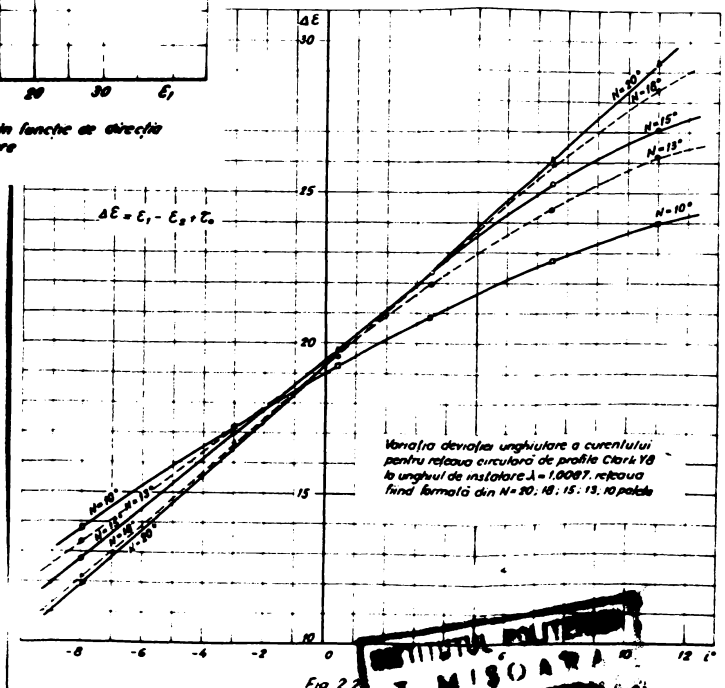


Fig. 23. Variația direcției unghiulare în funcție de direcția curentului de la intrare. Curbe teoretice.



**UNIVERSITATEA POLITEHNICĂ
T. MIȘOARA
BIBLIOTECA**

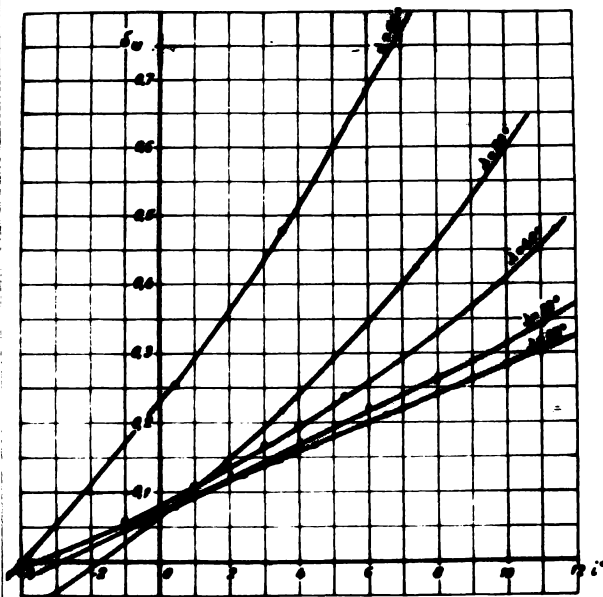


Fig. 2.25 Curbele izvoite de variație a coeficientului de deviație a curentului cu incidența la diferite valori ale unghiului de instalare

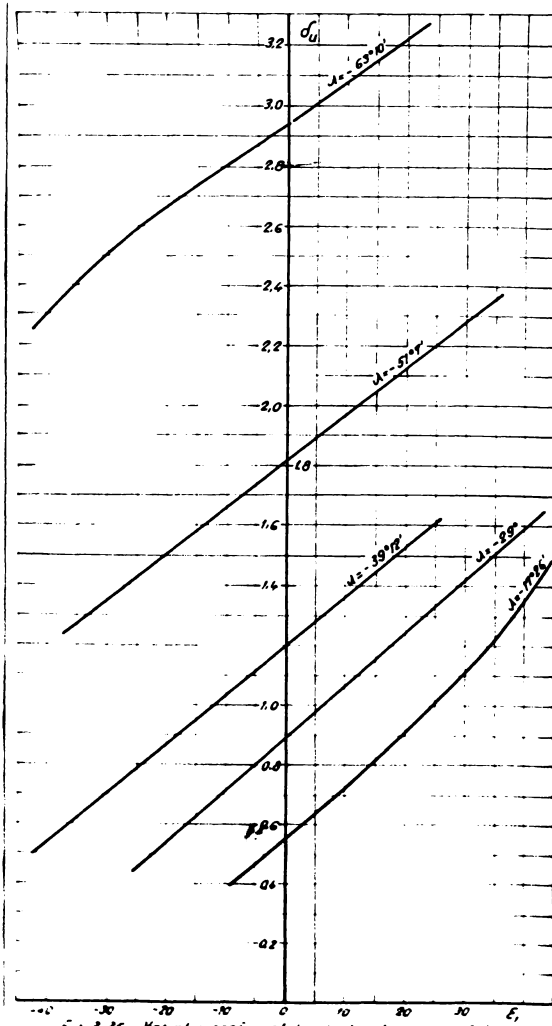
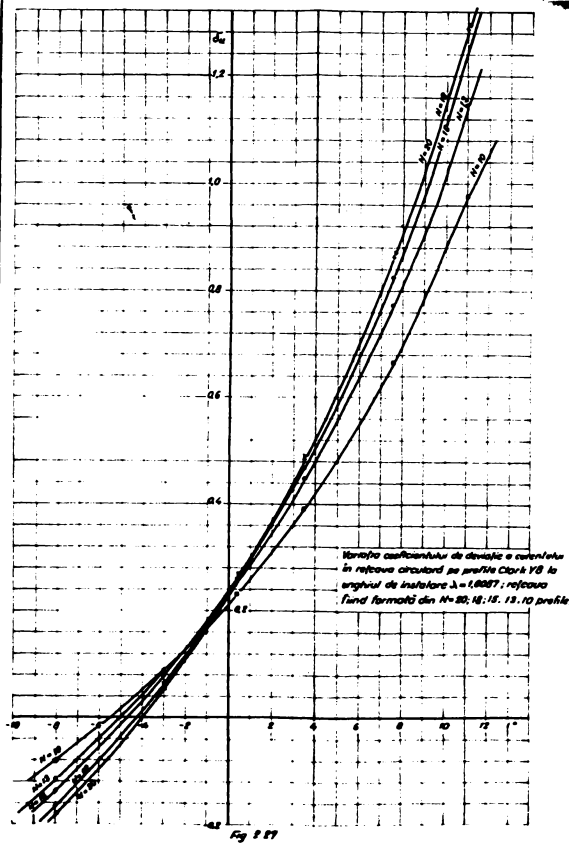


Fig. 2.26 Variația coeficientului de deviație a curentului în funcție de direcția curentului de avarie Curbă teoretică



Variația coeficientului de deviație a curentului în rețeaua circuitată pe puntea Clark YB la unghiul de instalare $\lambda = 1.0087$; rețeaua fund formată din $N = 30; 18; 15; 13; 10$ profile

Fig. 2.27

Atît mărirea unghiului de instalare, cît și mărirea numărului de profile an rețea are ca urmare o ugoară tendință de deplasare de la bordul de fugi spre bordul de atac a maximalului răsării corespunzătoare extradosei profilului.

Pe baza acestor curbe de distribuție a coeficientului de presiune pe conturul profilului s-au determinat coeficienții acțiunii curentului asupra profilului la diferite valori ale unghiului de incidență. Din diagramele reprezentate în fig.2.20, 2.21 se observă creșterea liniară cu unghiul de incidență a coeficientului C_{Σ} corespunzător componentei normale la coardă a acțiunii curentului și concomitentă micșorare a coeficientului $C_{\Sigma r}$ corespunzător componentei paralele cu coarda. Prin creșterea incidenței rezultanta acțiunii curentului își modifică direcția avînd tendința de a se orienta normal la coarda profilului. La creșterea unghiului de instalare panta dreptelor se micșorează.

Deviația unghiulară $\Delta \xi$ (fig.2.22, 2.23, 2.24) crește liniar cu incidența. La creșterea unghiului de instalare, curbile se translatează în domeniul coeficienților $\Delta \xi$ mai mari. Dacă se micșorează numărul profilelor rețelei, panta curbelor de variație a lui $\Delta \xi$ cu i se micșorează și cu cît rețeaua este mai rară, curbile se abat de la direcția liniară prin valori mai mici.

Coeficienții deviației unghiulare δ_u variază cu incidența după curbe de curbură foarte mică. Pe măsură ce unghiul de instalare se micșorează, aceste curbe se rotesc în jurul axei ordonatelor, atîngînd valori mai mici. Acelaș fenomen se produce și la micșorarea numărului de palete (fig.2.25, 2.26, 2.27).

Concluzii la Cap.II.

În rezolvarea analitică a tabloului mișcării s-a aplicat metoda ecuațiilor integrale singulare elaborată pentru rețele plane de profile de către Acad.I.Anton și Prof.dr.ing.O.Popu. Prin aplicarea unei transformări logaritmice ale cărei constante au stabilitate în funcție de condițiile transformării se transpune domeniul mișcării din prezența rețelei circulare de profile într-un domeniu echivalent în care rețeaua este însă rectilinie. Considerînd mișcarea în prezența rețelei rectilinii de profile ca permanentă, plană și permanentă prof.dr.ing.O.Popu găsește soluția problemei mișcării: determină câmpul de viteze pe conturul profilului dispus în rețea pornind de la exprimarea vitezei sub forma unei integrale de tip Cauchy pe conturul închis.

Proiectarea ei în lungul tangentei și normalei la contur conduce la o ecuație integrală de tip Fredholm de speța a doua și una de speța întâia. Prin prelungirea analitică se determină funcția de viteze pe scheletul profilului unde aplicarea unor ipoteze simplificatoare permite transformarea sistemului de ecuații integrale ale funcțiilor de distribuție a singularităților de pe schelet, într-un sistem de ecuații liniare;

Cunoscând funcțiile de distribuție a singularităților se poate calcula viteza inclusă pe schelet și în baza prelungirii analitice efectuate, valoarea corespunzătoare pe contur.

Pentru soluționarea practică a problemei a fost elaborată o metodă numerică de determinare a distribuțiilor de viteze pe conturul profilului. Prin transformarea logaritmică efectuată aceste rezultate se transpun în planul rețelei circulare.

Metoda numerică, transcrisă în limbaj FORTRAN, a permis soluționarea unui mare număr de variante de parametri inițiali cu ajutorul calculatoarelor electronice IRI-50.

Rezolvarea efectivă a problemei numerice în cazul rețelei circulare cuprinde etapele: 1) determinarea parametrilor geometrici și cinematici ai rețelei echivalente celei circulare; 2) calculul distribuției de viteze pe conturul profilului rețelei rectilinii echivalente; 3) transpunerea rezultatelor în planul fizic al mișcării.

Cunoscând distribuția de viteze respectiv distribuția coeficienților de presiune pe contur la valorile cunoscute ale parametrilor geometrici ai rețelei circulare, s-au determinat: deviația unghiulară a curentului, coeficientul deviației unghiulare și coeficienții de acțiune ai curentului asupra profilului rețelei pentru o anumită direcția a curentului de la intrare.

Metoda analitică propusă permite determinarea prin calcul, în cazul fluidului ideal, a caracteristicilor energetice ale rețelei de aparat director și studiarea influenței parametrilor geometrici ai rețelei: forma profilului, numărul paletelor, diametrul de așezare al axului de rotație al paletei, deschiderea relativă (respectiv unghiul de instalare al rețelei) și a parametrului cinematic: unghiul curentului de la intrare, asupra performanțelor rețelei.

CAPITOLUL III

VERIFICAREA EXPERIMENTALA A REZULTATELOR ANALITICE.

Idelizarea fenomenului condiție inevitabilă pentru simplificarea calculului analitic al mișcării în prezența rețelei, impune verificarea experimentală a rezultatelor atât pentru studierea justetei metodei teoretice, cât și pentru observarea unor noi ipoteze de studiu.

3.1.1. Câteva probleme ale încercării experimentale a rețelelor circulare de apart director de turbină.

Aparatul director reprezintă o rețea circulară de profile de suprafață cilindrică, fiecare dintre ele având posibilitatea de a se roti în jurul axei sale. Această rețea servește la reglarea debitului prin modificarea deviației curentului respectiv prin modificarea circulației vitezei la intrarea în rotor, având în același timp rolul de organ de închidere.

Din principiul de funcționare al aparatelor directoare decurg trei probleme hidrodinamice de bază, a căror rezolvare prezintă un deosebit interes practic:

1. Studiul structurii curentului creat de aparatul director, a cărei cunoaștere este inevitabilă pentru alegerea repartiției vitezelor la intrarea în rotor.

2. Studiul pierderilor în rețeaua paletelor de aparat director, pentru obținerea de randamente cât mai ridicate.

3. Studiul acțiunii dinamice a curentului asupra paletelor, pentru determinarea forțelor necesare reglării acestora.

Printre lucrările destul de puține din acest domeniu, trebuie menționate cele efectuate la IMZ Leningrad de S.A. Granovski /G.S/ și la MEI Moscova de Iansina /I.I/ și de Iu.I. Fedulov la NIM Ilarkov /F.I/.

Lucrarea lui Granovski, a cărui scop de bază a fost studiul construcției aparatelor directoare ca și a caracteristicilor lor dinamice consideră deasemenea problema influenței formei

profilului asupra randamentului turbinii și a mărimii momentului hidraulic ce acționează pe paletă. Ca rezultat al unor repetate încercări experimentale s-a creat la IMZ o metodă de determinare a forțelor pe baza repartiției presiunilor pe conturul paletelor.

P.N. Nikolschi /N.1/ a propus primul metoda calculării forțelor hidrodinamice ce acționează pe paletă, dir. repartiția presiunilor pe contur și a introdus graficele, obținute experimental, pentru coeficienții de forță și moment ai rețelei. Un rezultat important al lucrării lui Nikolschi îl constituie concluzia privind independența curentului din aparatul director de regimul rotorului, ceea ce a permis analiza funcționării aparatului director în diverse regimuri, fără a ține cont de regimul de funcționare al rotorului.

Studiile lui I.Ia. Ianșina /I.1/ au stabilit că mișcarea în prezența unui aparat director, datorită unui curent care nu este axial simetric pe periferie și nu este uniform pe înălțimea paletelor, poate fi asimilată cu mișcarea axial simetrică datorită unui curent plan, echivalent ca debit și moment al cantității de mișcare. Aceasta s-a demonstrat și prin experiențele lui A.I. Klimov /K.5/ care a propus ca parametru caracteristic al echivalenței mișcărilor, unghiul mediu dintre componenta periferică și direcția curentului la intrarea în rețeaua de aparat director. În cadrul aceluiași lucrări s-a studiat și cinematica curentului în prezența aparatului director, urmărindu-se efectul de deviere a curentului în condițiile unui curent real spațial.

Din corectările lui Klimov mai reiese că în cazul considerării parametrilor medii ai curentului la intrarea și ieșirea din aparatul director, caracteristicile cinematice și hidrodinamice nu sînt influențate de neuniformitățile introduse prin prezența camerei spirale.

În scopul acumulării de material experimental privind modul în care influențează deviația curentului, forma profilului, grosimea și curbura relativă, desimea rețelei, diametrul de așezare al axului paletelor, asupra caracteristicilor cinematice și hidrodinamice ale paletelor directoare, la Institutul Politehnic din Mărkov a fost proiectată și realizată de către Iu.I. Fedulov /F.1/ o instalație hidraulică pentru încercarea rețelelor de aparat director de turbină. Pentru modelarea condițiilor de la intrare specifice diverselor tipuri de camere spirale, instalația este prevăzută cu un aparat director ajutat amplasat în amonte de aparatul director de studiu. O rețea specială de măsură, cu ieșirea

curentului axială, plasată după aparatul director studiat, determină caracteristicile globale ale curentului de la ieșire. Momentul de rotire, produs de curentul care trece prin rețeaua de măsură, mobilă pe ax, se determină prin echilibrarea cu greutatea a rețelei.

Pe lângă aceste studii experimentale, tipice pentru aparatele directoare, ce mai cuvin a fi menționate preocupările legate de problema rețelelor circulare rotitoare datorită lui W. Fister /F.2/, continuate pe o instalație perfecționată de H. Dettmaring /D.1/ și apoi de K. Leist /L.1/ la Universitatea Tehnică din Aachen. Instalația a permis studierea distribuțiilor de presiuni pe conturul paletelor rotitoare de turbine axiale, radiale și de rețele de compresor.

3.1.2. Prezentarea stațiunii de rețele circulare din Laboratorul de cercetări mașini hidraulice al Institutului Politehnic "Traian Vuia" Timișoara.

Stațiunea proiectată și construită în LMH-T, modelează în aer fenomenul mișcării în prezența unei rețele circulare de aparat director de turbină. Modelarea în aer a fenomenului real are o serie de avantaje față de modelarea în apă. Dintre acestea trebuie menționate:

1. Posibilitatea studierii mai aprofundate a esenței fenomenului - dacă în apă din cauza dificultăților legate de efectuarea măsurătorilor se recurge doar la determinarea caracteristicilor globale ale fenomenului, în aer se poate studia cu ușurință distribuția de viteze și presiuni în toate punctele mișcării, iar vizualizarea curentului nu ridică dificultăți deosebite.

2. Reducerea substanțială a dificultăților legate de realizarea instalației experimentale, întrucât majoritatea reperelor instalației se pot confecționa din materiale ușoare sau lemn.

Stațiunea permite studierea cimpului vitezelor și presiunilor în amonte și aval de rețea, distribuția presiunilor pe conturul profilului rețelei, gradul de turbulență al curentului la intrare și ieșire. Din prelucrarea acestor mărimi primare rezultă forțele aerodinamice ce acționează asupra profilului, deviația curentului realizată de rețea și pierderile hidraulice. Modificând în mod corespunzător unghiul de instalare și numărul paletelor rețelei, se poate studia influența acestor parametri geometrici asupra performanțelor rețelei circulare, iar modificarea profilului rețelei face posibilă studierea influenței geometriei profilului asupra caracteristicilor rețelei.

Pentru a asigura un curent uniform și neperturbat la intrarea în rețeaua de studiu și pentru a reduce la minim desprinderile, s-a ales funcționarea prin aspirație, în circuit deschis. La acest tip de funcționare presiunea statică pe traseul instalației este în permanență mai mică decât presiunea atmosferică.

Aerul aspirat direct din atmosferă trece printr-o rețea de dirijare formată din 84 palete subțiri, rotunjite la vîrf, care impun incidența dorită curentului, la angajarea pe profilele rețelei de studiu. Numărul mare al paletelor asigură o bună dirijare a mișcării, realizînd un curent axial-simetric la intrarea în rețeaua de studiu. După traversarea rețelei de studiu, aerul parcurge un cot prevăzut cu suprafețe de ghidare, menite să evite distribuția neuniformă pe înălțimea paletelor. Un difuzor conic conduce aerul la grupul ventilator care-l refulcă în atmosferă. Circuitul hidraulic astfel ales, permite experimentarea rețelei circulare în condițiile unei mișcări plane axial simetrice.

În zona de lucru, instalația este echipată cu un capac circular, transparent, ce permite observarea vizuală a rețelei. Rotindu-se în jurul axului său, prin intermediul unui angrenaj dințat, capacul prevăzut cu două orificii în amonte și două orificii în aval de rețea, permite sondarea cimpului de viteze și presiuni la diferite raze pe periferia unor cercuri concentrice.

Canalul dintre două palete este drenat în 24 de puncte, situate în planul median al rețelei, 12 pe extradosul unei palete și 12 pe intradosul paletelor consecutive. Pentru a permite rotirea capacului, paletelor rețelei de studiu sînt prevăzute cu un singur fus.

La dimensionarea stațiunii s-a ținut cont de următoarele:

- asigurarea rapoartelor dimensionale caracteristice aparatelor directoare de turbină,

- obținerea unor dimensiuni a căror uzinare să nu ridice dificultăți tehnologice,

- încadrarea în indicațiile din literatură privind parametrii rețelelor încercate pînă în prezent.

Din relațiile de dimensionare ale aparatelor directoare /A.7/ /K.10/ rezulta (Fig.3.1):

$$b \cong 0,25 D_a \quad (3.1)$$

$$D_a \cong 1,25 D_1 \quad (3.2)$$

$$D_a \cong 5b \quad (3.3)$$

Prin comparație cu încercările efectuate de Numachi /N.2/ pentru rețele rectilinii, s-a ales:

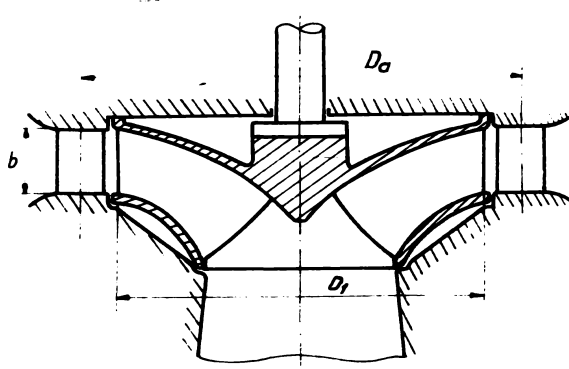


Fig. 3.1

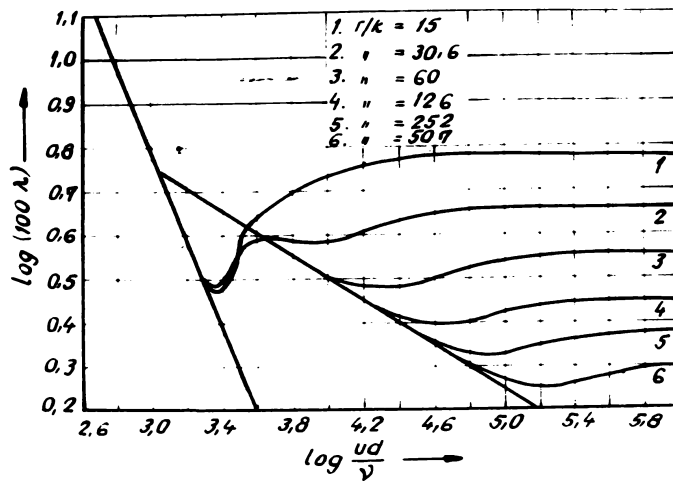
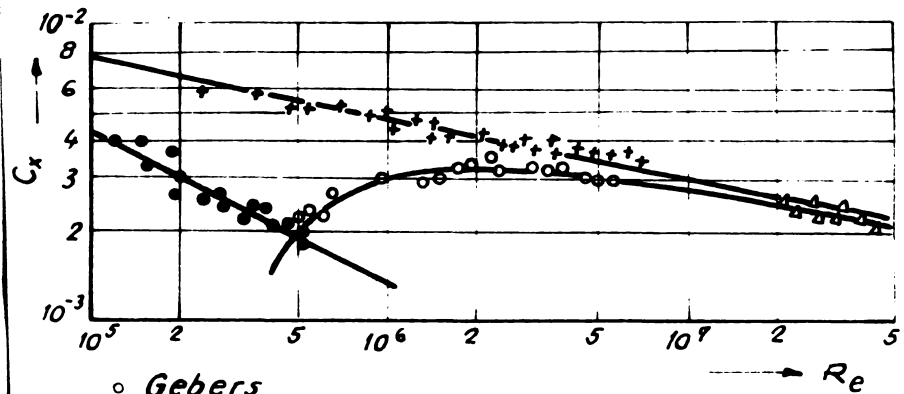


Fig. 3.2



- Gebers
- Blasius
- + Wieselberger
- Δ Kempf

Fig. 3.3

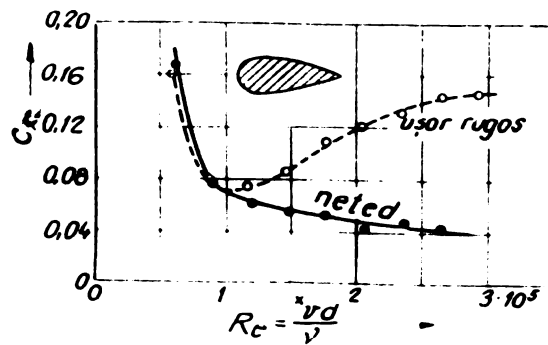
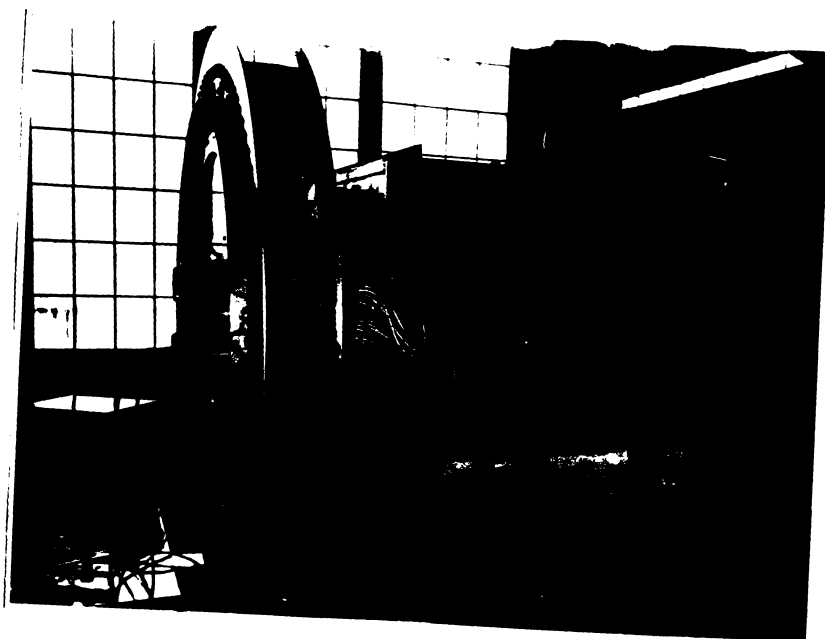
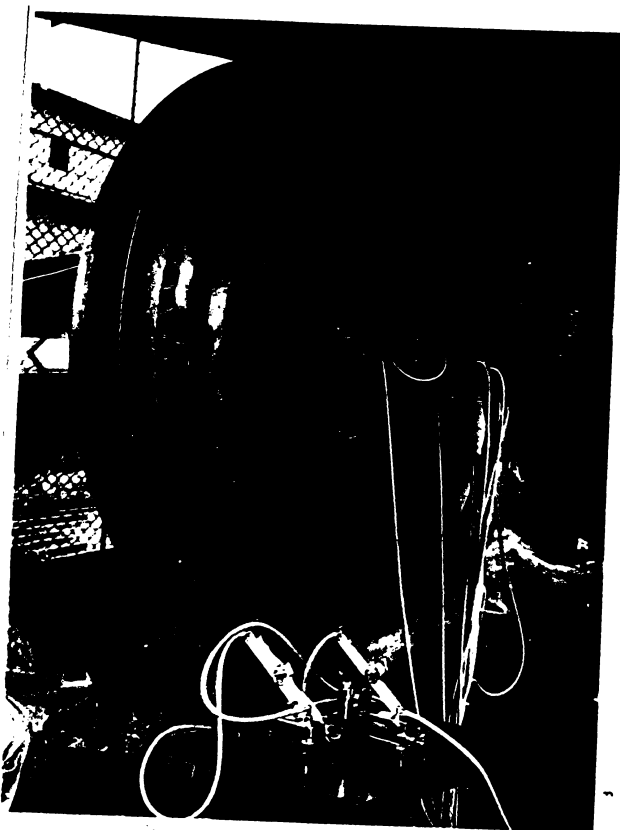


Fig. 3.4



Stația de rețea circulară din Laboratorul
de mașini hidraulice al Institutului Politeh-
nic "Petru Poni" Timișoara

$$b/l = 1,25; \quad t/l = 1 \quad (3.4)$$

Grosimea maximă a profilului s-a ales din condiția realizării drenării: $d_{\max} = 8 \text{ mm}$.

Ca tip de profil s-a ales Clark Y, care este studiat în amănunțime în literatură, atât pentru funcționarea în apă ca și în aer /R.3/, ceea ce face posibilă comparația comportării profilului dispus în rețea circulară, rectilinie și izolat.

Din condiția $d_{\max}/l = 8\%$, cu respectarea grosimii maxime stabilite mai sus, a rezultat lungimea corzii $l = 100 \text{ mm}$ și pe baza relațiilor de dimensionare, pentru $b = 125 \text{ mm}$, $D_a = 5b = 625 \text{ mm}$. Cu această valoare a diametrului de așezare, rezultă numărul paletelor:

$$N = \frac{\pi D_a}{t} = 19,6 = 20 \text{ palete}$$

Recalculând diametrul de așezare astfel ca să se respecte $t/l = 1$ și $N = 20$, se obține :

$$D_a = \frac{t N}{\pi} = 636 \text{ mm}$$

Diametrul de așezare efectiv, s-a ales din considerente de gabarit $D_a = 645 \text{ mm}$. Coordonatele profilului în rețea sînt date în tabela 1.

Diverselor unghiuri de instalare (λ), obținute prin rotirea paletelor în jurul axului său, le corespund valorile parametrilor geometrici R_1, R_2, τ_0 date în tabela 2.

Pentru a asigura un câmp de viteze și presiuni axial-simetri; la intrarea în rețeaua de studiu și a evita interacțiunea cu rețeaua de dirijare, diametrul de așezare al fusurilor paletelor de dirijare s-a ales:

$$D_{ad} = D_a + 7 l = 1336 \text{ mm}$$

și lungimea paletelor de dirijare : $l_d = 125 \text{ mm}$; la pasul relativ $t_d/l_d = 0,4$ a rezultat $t_d = 50 \text{ mm}$ și $N_d = 84$ palete.

Paletelor confecționate din tablă subțire ($S = 3 \text{ mm}$), rotunjite la bordul de atac și ascuțite la bordul de fugă sînt prevăzute cu două fusuri fixate în două coroane circulare, turnate din silumin, care împreună cu placa de bază a rețelei de studiu formează elementele de susținere ale stațiunii.

3.2. Parametrii de funcționare și stațiunii.

3.2.1. Modelarea cinematică a roții circulare.

Criteriile principale de modelare a rășinilor hidraulice sînt /A.7/ :

$$\pi_1 = \frac{Q}{(gH)^{1/2} D^2} \quad ; \quad \pi_2 = \frac{nD}{(gH)^{1/2}} \quad ; \quad \pi_3 = \frac{\eta}{(gH)^{1/2} S D} = \frac{1}{Re} \quad (3.5)$$

In cazul in care $\Pi_{1i} = \Pi_{1m}$, $\Pi_{2i} = \Pi_{2m}$, $\Pi_{3i} = \Pi_{3m}$ (unde indicile i se referă la turbina industrială și m la model) similitudinea este perfectă, dar modelul trebuie să fie identic prototipului, deci practic nu mai are loc nici o modelare. In consecință se admite o similitudine parțială, prin identitatea criteriilor Π_1 și Π_2 în condiții Π_3 diferite. Relațiile de transpunere de la model la prototip sînt :

$$\frac{Q_i}{(gH_i)^{1/2} D_i^2} = \frac{Q_m}{(gH_m)^{1/2} D_m^2} \quad \frac{n_i D_i}{(gH_i)^{1/2}} = \frac{n_m D_m}{(gH_m)^{1/2}} \quad (3.6)$$

ceea ce asigură realizarea similitudinii cinematice.

Realizarea similitudinii din punct de vedere al criteriului Re :

$$Re = \frac{Vl}{\nu} = \frac{Q}{D\nu} \quad (3.7)$$

presupunem

$$\frac{V_i}{V_m} \frac{D_i}{D_m} \frac{\nu_m}{\nu_i} = 1$$

sau

$$\frac{V_m}{V_i} = \frac{D_i}{D_m} \frac{\nu_m}{\nu_i} = L_0 \frac{\nu_m}{\nu_i} \quad (3.8)$$

unde $L_0 = \frac{D_i}{D_m}$ este raportul caracteristic al dimensiunilor liniare pentru natură și model.

La modelarea în aer a fenomenelor hidraulice, întrucît

$\frac{\nu_m}{\nu_i} = 14$ rezultă:

$$\frac{V_m}{V_i} = 14 L_0 \quad \text{sau} \quad \frac{Q_m}{Q_i} = \frac{14}{L_0} \quad (3.9)$$

Din relația $Re = \frac{Q}{D\nu}$, rezultă că la dimensiuni egale și debite egale, criteriul Re la modelarea în aer va fi de 14 ori mai mic decît în apă.

Intrucît la modelare scara geometrică se alege

$L_0 = \frac{D_i}{D_m} = 10 - 50$, pentru a realiza criterii Re egale, ar rezulta

în baza relației $\frac{V_m}{V_i} = 14 L_0$ ca vitezele pentru modelul în aer să fie extrem de mari.

Din condiția menținerii ipotezei incompresibilității aerului se impune ca viteza să nu depășească 0,2 - 0,3 din viteza sunetului; în acelaș timp viteza nu trebuie să depășească de 5-10 ori mărimea vitezelor din circuitul industrial. Astfel, la modelarea în aer, criteriul Re se va menține de 2-3 ori mai mic decît în fenomenul real.

Mărimea criteriului R_0 este hotărâtoare pentru determinarea coeficientului de frecare λ . În cazul mișcării în conducte circulare netede, atât timp cât mișcarea își menține caracterul laminar [N.2/]

$$\lambda = \frac{64}{R_0} \quad (3.10)$$

Pentru mișcări turbulente, relația cea mai simplă de dependență între λ și R_0 are forma:

$$\lambda = \frac{0,3164}{R_0^{0,25}} \quad (3.11)$$

La valori mai mari de $R_0 = 10^5$ rezultatele experimentale se suprapun peste curba lui Nikuradse

$$\lambda = 0,0032 + \frac{0,221}{R_0^{0,237}} \quad (3.12)$$

În cazul conductelor rugoase un parametru foarte important îl constituie înălțimea relativă a rugozității medii k față de grosimea stratului limită δ_L . Pe măsură ce R_0 crește, δ_L se micșorează și atât timp cât $k < \delta_L$ asperitățile sînt acoperite de stratul limită laminar și rugozitatea nu se mai resimte, rezistența fiind identică cu a conductelor netede. Dacă $k \approx \delta_L$, asperitățile se fac resimțite din loc în loc, ceea ce determină pierderi de energie prin apariția turbulențelor locale. Ca urmare a micșorării grosimii stratului limită laminar, odată cu creșterea lui R_0 pierderea de energie datorită turbulenței se accentuează. Această creștere este continuă pînă în momentul cînd rugozitățile ies complet din stratul limită laminar, iar pierderea de energie datorită turbulenței atinge o valoare ce rămîne constantă la creșterea lui R_0 .

Din diagrama lui Nikuradse (fig.3.2) se observă că pentru $R_0 > 10^5$ coeficientul de frecare rămîne constant în majoritatea cazurilor indiferent de valoarea criteriului Reynolds. Rezultă că R_0 nu mai este hotărîtor pentru modelarea fenomenului și se realizează așa numita "automodelare".

Fenomenul studiat în amănunțime de Nikuradse pentru conductele circulare se face resimțit și în cazul mișcării pe suprafața plăcilor plane sau pe profile. Astfel, studiile întreprinse de Wiselberger [N.2/], Gebora [G.2/], Kempf [K.3/] și alții asupra coeficientului de rezistență a plăcii plane definit ca $C_x = W/\frac{\rho}{2} V^3$ evidențiază curbele de dependență în raport cu criteriul R_0 date în fig.3.3: dreapta 1 corespunde cazului cînd R_0 este mic și stratul limită pe placă este laminar, curba 2 corespunde numerelor R_0 mari, cînd stratul limită este turbulent, iar curba 3 delimitază domeniul de tranziție specific numerelor R_0 mijlocii. Se observă

că în cazul stratului limită turbulent, coeficientul de rezistență este sensibil mai mare decât pentru stratul limită laminar.

Studiile întreprinse de L. Prandtl /P.9/ asupra unor profile aerodinamice netede și rugoase permit desprinderea următoarelor concluzii: la corpuri cu suprafața netedă, după atingerea valorii R_e crit, la care rezistența corpului scade brusc, rezistența se menține aproape constantă cu creșterea lui R_e . În cazul corpurilor cu suprafața ușor rugoasă, după atingerea rezistenței minime corespunzătoare lui R_e crit, rezistența profilului crește din nou (fig.3.4).

Rezultă din cele menționate pînă acum, că la modelarea cinematică a regimurilor de funcționare ale rețelei este bine să se realizeze viteze asigurînd valori ale criteriului $R_e \geq 10^5$.

Pentru stabilirea regimurilor de funcționare ale instalației, s-au efectuat antecalculul pierderilor hidraulice. Neglijînd pierderile prin frecare, întrucît în condițiile de rugozitate impuse suprafețelor de conducere, valoarea lor este foarte mică, s-au considerat următoarele pierderi: în rotoana de dirijare, în rețeaua de studiu, în cot, în difuzor.

Suprapunînd caracteristica exterioară a instalației peste curba caracteristică de funcționare a ventilatorului au rezultat la diferite grade de deschidere a rețelei aparatului director și a rețelei de dirijare:

	Q m^3/sec	P kgf/m^2	v_1 m/s	R_e	M_a
1	2,35	206	20,5	$1,44 \cdot 10^5$	0,062
2	2,52	157	21,8	$1,52 \cdot 10^5$	0,065
3	2,57	137	22,4	$1,57 \cdot 10^5$	0,066

S-a folosit un ventilator axial de medie presiune echipat cu două rotoare dispuse în serie și antrenate în sens diferit cu două motoare electrice asincrone trifazate - fabricat EMT. Parametrii hidraulici nominali ai grupului :

Debit: $Q = 2,35 m^3/sec$

Presiune totală: $\Delta p = 210 kgf/m^2$

Puterea motorului : $P = 4 KW$

Turația : $n = 3000 rot/min$

3.2.2: Verificarea zonei de lucru a stațiunii.

În zona de lucru a stațiunii, curentul trebuie să fie axial-simetric. În cazul unei rețele de profile rectilini sau circulare, prezența rețelei se manifestă prin perturbarea câmpului hidrodinamic atât în amonte cât și în aval de rețea, fenomen valabil în stațiunea de rețele circulare pentru rețeaua de studiu și pentru cea de dirijare. Întrucât stabilirea analitică a extensiunii acestei zone este practic imposibilă, a fost necesară detectarea experimentală a porțiunii din amonte de rețeaua de studiu și aval de cea de dirijare, în care să nu se manifeste nici efectul primei nici a celei din urmă. În acest scop s-au efectuat măsurători ale câmpului de viteze de-a lungul periferiei cercurilor concetrice cu rețeaua, în amonte și aval la razele $R_1 = 366, 376, 386, 396, 406, 416$ mm și $R_2 = 220, 230, 240, 250, 260$ mm. Rezultatele acestor măsurători privind mărimea și direcția vitezei de la intrare și ieșire sînt redată în figurile 3.5 - 3.8 /0.5/.

Din urmărirea acestor diagrame se observă că de-a lungul periferiei, în imediata apropiere a intrării în rețeaua de studiu, se manifestă puternic în amonte prezența rețelei, prin tendința de aspirare a curentului în zona de depresiune corespunzătoare extradosului profilului. Aceasta are ca urmare mărirea modulului vitezei peste valoarea medie, pentru ca în zona adiacentă intradosului viteza să se micșoreze sub valoarea medie. Fenomenul imprimă distribuției de viteze o alură alternantă, care se atenuază pe măsura îndepărtării de rețea, în amonte. Din fig. 3.6 se remarcă faptul că viteza își modifică și orientarea de-a lungul periferiei, în funcție de apropierea de profil. Astfel, chiar și de-a lungul unor cercuri apropiate de cercul de așezare al bordului de atac al profilului, direcția vitezei rămîne constantă pe o porțiune mediană, corespunzătoare jumătății pasului rețelei. Pe măsură de apropiere pe bordul de atac, unghiul direcției vitezei cu raza punctului curent crește, atinge un maxim și apoi descrește din nou pînă la valoarea constantă din porțiunea mediană. Cu cît periferia este mai departe de cercul de așezare al bordurilor de atac, aceste variații se atenuază,

S-a putut stabili pe baza acestor grafice zona optimă de amplasare a sondeilor pentru măsurătorile curente ale câmpului vitezelor de la intrare: $R' = 406$ mm și $R = 416$ mm.

Pentru stabilirea zonei de amplasare din aval de rețea s-au efectuat de asemenea măsurători de-a lungul unor cercuri concetrice de diverse raze. Din fig. 3.7, reprezentînd variația modu-

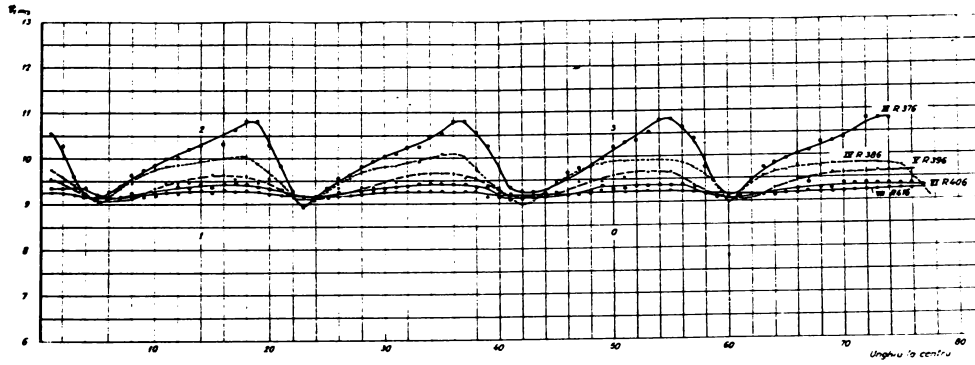


Fig 35
 Variația modului vitezei din amonte de-a lungul periferiei
 $\lambda = 20^\circ$, $\alpha = 10^\circ$; $v_{med} = 9,25 \text{ m/s}$

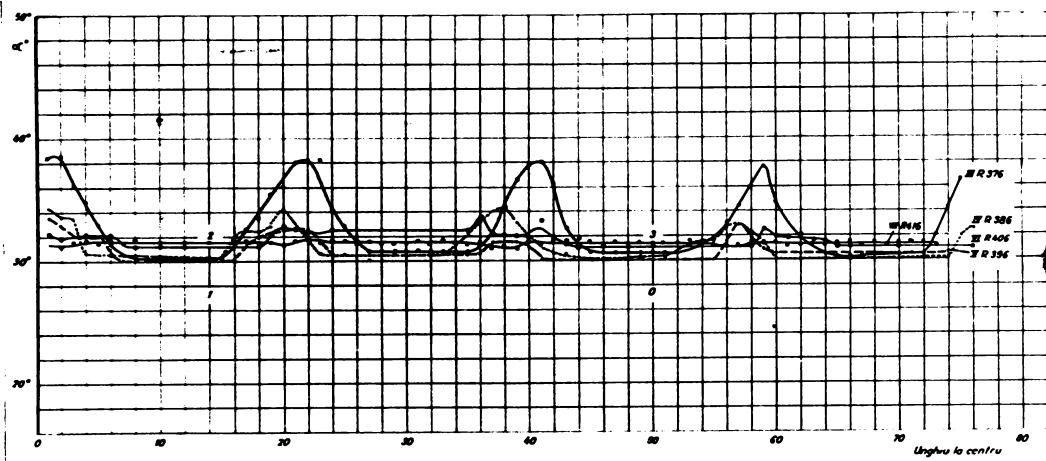


Fig 36
 Variația direcției vitezei de la intrare de-a lungul periferiei
 $\lambda = 20^\circ$, $\alpha = 10^\circ$; $\angle_{real} = 10,5^\circ$

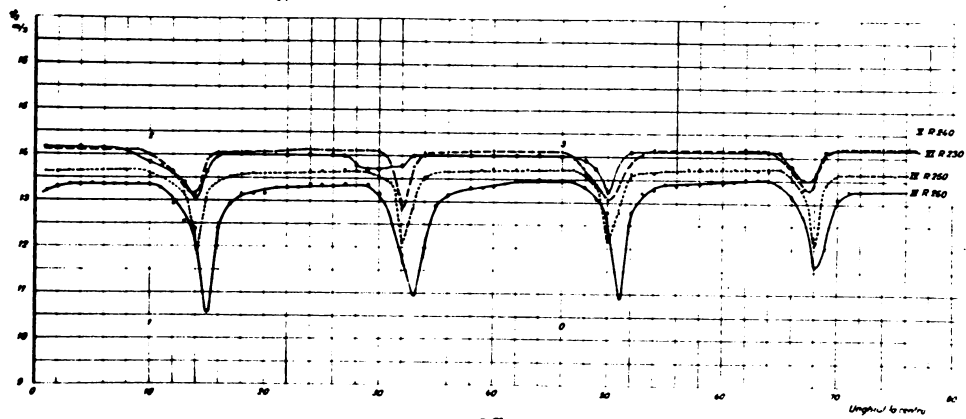


Fig 37
 Variația modului vitezei din aval de-a lungul periferiei
 $\lambda = 20^\circ$, $\alpha = 10^\circ$

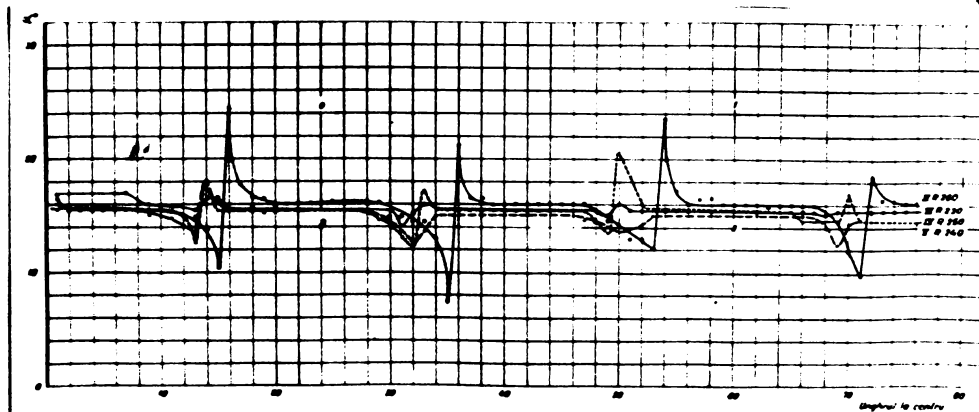


Fig 38
 Variația direcției vitezei de la iese din aval de-a lungul periferiei
 $\lambda = 20^\circ$, $\alpha = 10^\circ$

lului vitezei de la ieșire, se remarcă constanța modulului în porțiunea mediană a pasului unghiular și descreșterea sa bruscă în apropierea bordului de fugă. Scăderea vitezei este cu atât mai pronunțată cu cât periferia este mai apropiată de bordul de fugă. Direcția vitezei de la ieșire (fig.3.8) prezintă un salt finit în zona bordului de fugă; De la o valoare constantă, corespunzătoare celei mai mari porțiuni din pasul unghiular, unghiul dintre direcția vitezei și raza punctului curent descrește brusc la o valoare minimă (în apropierea extradosului), suferă un salt în dreptul bordului de fugă și apoi descrește rapid pînă la valoarea medie pe pas.

Acoste discontinuități ale graficului modulului și unghiului vitezei se manifestă în toată porțiunea din aval și se datoresc saltului de viteză de pe extradosul pe intradosul profilului. Raza optimă de amplasare a sondelor în aval s-a stabilit la $R = 250$ mm.

Pe lîngă aceste investigații privind structura cîmpului de viteză în zona de lucru, s-a studiat și turbulența liberă a curentului în plan median, la intrarea și ieșirea din rețea, din următoarele considerente:

a) Turbulența influențează sensibil asupra pierderilor hidraulice /P.7/

b) Turbulența influențează esențial asupra caracteristicilor aerodinamice ale corpurilor, în special asupra rezistenței/S_d

c) Cunoașterea gradului de turbulență prezintă o deosebită importanță la transpunerea măsurărilor efectuate pe model, din aer, la construcția reală și deci la compararea rezultatelor obținute /H.4/.

Efectuarea unui studiu complet al mișcării turbulente în aparatul director este foarte laborioasă și de altfel nici nu constituie obiectul prezentei lucrări. În planul median de la intrare și ieșire din rețeaua de studiu, zonă în care cunoașterea graficului de turbulență al curentului prezintă interes, se poate considera că turbulența este izotropă.

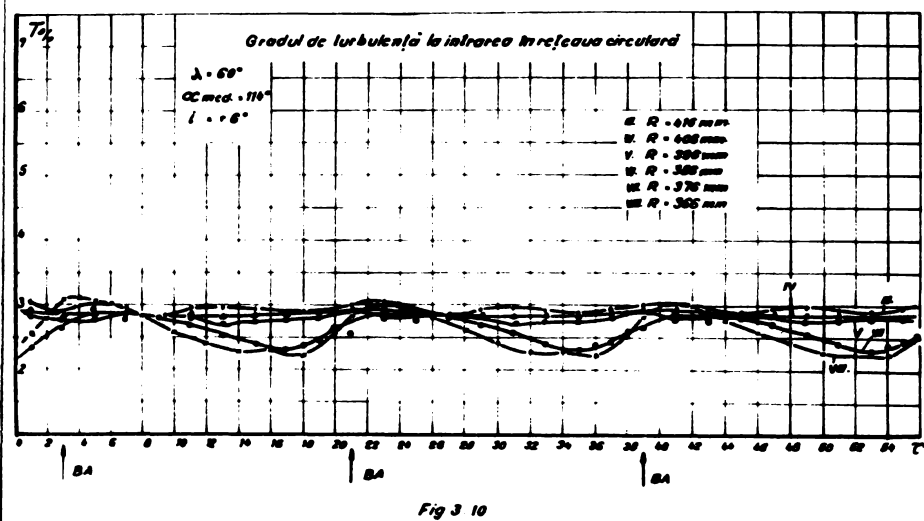
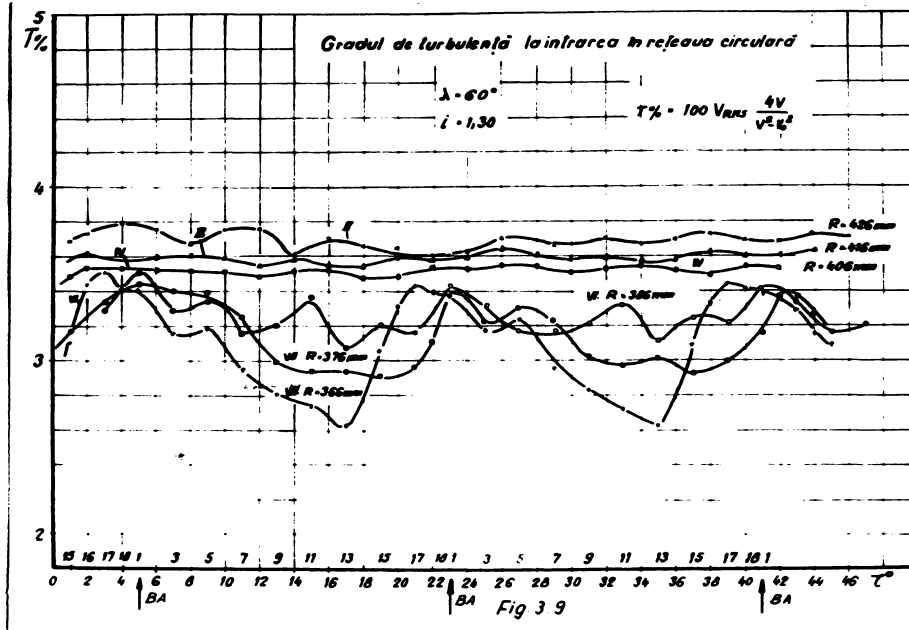
În studiul mișcării turbulente se separă mișcarea principală de mișcarea de oscilație, fiecare mărime cinematică putînd fi considerată ca sumă a două componente :

- componenta media temporală : $\bar{v}_x, \bar{v}_y, \bar{v}_z$

- componenta pulsatorie v'_x, v'_y, v'_z

Valoarea instantanee v are componentele :

$$v_x = \bar{v}_x + v'_x, \quad v_y = \bar{v}_y + v'_y, \quad v_z = \bar{v}_z + v'_z \quad (3.13)$$



Modurile temporale se definesc sub forma:

$$\bar{v}_x = \frac{1}{T} \int_0^T v_x dt, \quad \bar{v}_y = \frac{1}{T} \int_0^T v_y dt, \quad \bar{v}_z = \frac{1}{T} \int_0^T v_z dt \quad (3.14)$$

Comparându-se diferitele mișcări turbulente, se observă diferențe în privința formei și structurii, ceea ce impune introducerea unor elemente caracteristice ca: intensitatea turbulenței, scara turbulenței, frecvența turbulenței. În mod curent, elementul caracteristic se consideră intensitatea turbulenței, sub două aspecte:

- intensitatea sau violența turbulenței, cu expresia

- gradul de turbulență sau intensitatea relativă a turbulenței definită prin expresia: $T_u = \frac{\sqrt{\bar{v}'^2}}{v}$

$$(3.15)$$

sau
$$T_u = \frac{\sqrt{\frac{1}{3} (\bar{v}_x'^2 + \bar{v}_y'^2 + \bar{v}_z'^2)}}{v} \quad (3.16)$$

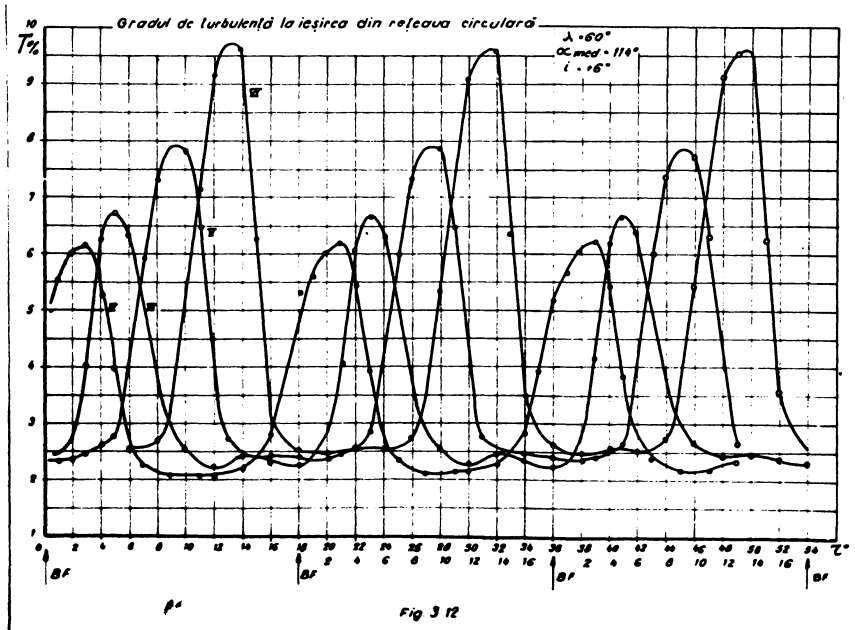
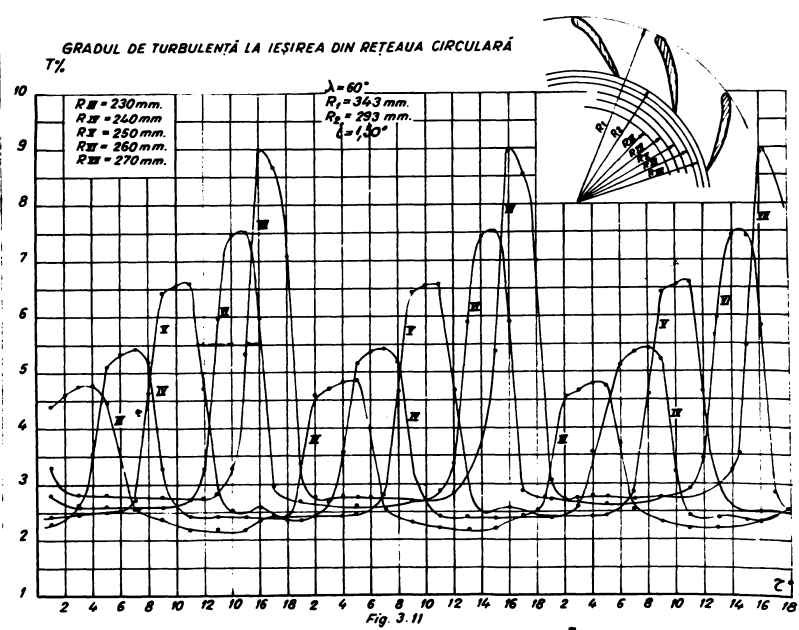
Dacă curgerea este izotropă, adică $\bar{v}_x'^2 = \bar{v}_y'^2 = \bar{v}_z'^2$,

gradul de turbulență are expresia:

$$T_u = \frac{\sqrt{\bar{v}'^2}}{v} \quad (3.17)$$

Măsurătorile de turbulență s-au efectuat cu ajutorul unui termomemoretru DISA, la diverse raze în amonte și aval de roțea. Principiul de funcționare și modul de efectuare al măsurătorilor constituind subiectul unui capitol următor, se interpretează în continuare rezultatele măsurătorilor.

La intrarea în roțea, măsurătorile s-au efectuat de-a lungul periferiilor cu razele $R_1 = 366, 376, 386, 396, 406, 416$ mm pentru diferite valori ale unghiului de incidență și de instalare. În graficele din fig. 3.9 - 3.10 s-au reprezentat variația gradului de turbulență la intrare, pentru unghiul de instalare $\lambda = 60^\circ$ și incidența curentului $i = 1,5^\circ$ respectiv $i = 6^\circ$. Se observă că în apropiere de roțeaua de dirijare, gradul de turbulență al curentului este mai mare, iar alura curbei este oscilatorie, cu perioada de oscilație mică, determinată de desimea mure a rețelei de dirijare. Amplitudinea oscilațiilor este mică și se micșorează în continuare pe măsura îndepărtării de roțeaua de dirijare, pentru că la $R = 416, 406, 396$ mm turbulența să se mențină practic constantă, în jurul valorii de $5 - 5,5 \%$. Cu îndepărtarea în continuare de roțeaua de dirijare și concomitentă apropiere de roțeaua de studiu, începe să se manifeste puternic în amonte prezența acestora din urmă.



Astfel, după o variație oscilantă, neregulată, de-a lungul periferiei cu raza $R = 386$ mm perioada de oscilație a curbei devine egală cu pasul rețelei circulare de studiu - raza $R = 376$ și 396 mm. În dreptul bordului de atac al profilului gradul de turbulență se mărește brusc, scade apoi până la o valoare minimă și își revine creșterea pe măsura apropierii de profilul următor.

Se remarcă faptul că gradul de turbulență nu depășește la intrare valoarea maximă de $3,8\%$ și că în zona de amplasare a sondelor pentru măsurătorile curente gradul de turbulență este uniform și aproape constant.

În figurile 3.11, 3.12 s-a reprezentat variația gradului de turbulență la ieșirea din rețeaua circulară. Așa cum era de așteptat, gradul de turbulență atinge aici valori mult superioare celor de la intrare, cu atât mai mari cu cât raza de măsură este mai apropiată de raza de așezare a bordurilor de fugă. Gradul de turbulență maxim - la $R = 270$ mm - nu a depășit valoarea de 10% .

Din figurile 3.11, 3.12 se observă că gradul de turbulență se menține aproape constant pe periferie până în apropierea extradadosului bordului de fugă, când gradul de turbulență crește brusc datorită desprinderii curentului de pe suprafața extradadosului și saltului de viteze între intrados și extradados.

În concluzia măsurătorilor efectuate în zona de lucru a stațiunii, rezultă că domeniul optim de amplasare al sondelor este $R = 406, 416$ mm la intrare și $R = 230, 240$ mm la ieșire, zone în care curentul de la intrare este axial simetric, cu un grad de turbulență scăzut și constant, iar la ieșire gradul de turbulență maxim nu depășește $5,5\%$.

3.3. Aparatura și tehnica măsurătorilor.

Aparatura folosită în cadrul încercărilor privește instrumentele de măsură ale câmpului de viteze și presiuni în amonte și aval de rețea, distribuția presiunilor pe conturul profilului și turbulența curentului.

Pentru măsurarea modulului și unghiului vitezei la intrare și ieșire s-au folosit sonde cilindrice de construcție proprie, etalonate în tunelul aerodinamic al Laboratorului de mașini hidraulice Timișoara, cu ajutorul unei sonde Prandtl ale cărei curbe de etalonare în aer și apă se cunosc /B.2/.

Sondele cilindrice proiectate conform indicațiilor din literatură /T.3/ se compun dintr-un tub cilindric de cupru cu dia-

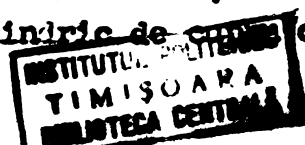




Fig. 3.14 Sonda cilindrică montată în dispozitivul port-sondă.

netrul, de 5 mm, prevăzut cu două orificii de priză pentru presiune, de diametrul 0,6 mm, decalate cu un unghi la centru $2\epsilon = 78,5^\circ$. Orificiile de priză a presiunii sînt legate la un micrometru cu diferențial prin intermediul a două tuburi de alamă cu diametrul exterior de 1,3 mm și interior de 0,8 mm, plasate în interiorul tubului de cupru. Folosirea unor tuburi de diametru mai mic, ar fi fost neconvenabilă datorită duratei mari de egalizare a presiunilor între punctul de priză și interiorul manometrului.

Dacă generatoarea noțională, determinată de planul axial bisector al unghiului 2ϵ coincide cu direcția vectorului viteză, presiunea la intrarea celor două orificii este aceeași și diferența de presiune măsurată la micrometru nulă. În această poziție sonda cilindrică permite determinarea direcției curentului față de o direcție reper, aleasă inițial. Dacă se rotește cilindrul cu unghiul ϵ , axa orificiului a_1 va coincide cu direcția vitezei v și axa orificiului a_2 va determina un unghi 2ϵ cu direcția acestei viteze (fig. 3.13).

Presiunea la intrarea în orificiul a_1 , dirijat în direcția curentului este presiunea totală și conform indicațiilor din literatură /T.3/ pentru $2\epsilon = 78,5^\circ$ în dreptul orificiului a_2 vom avea chiar presiunea statică; vom măsura deci cu ajutorul manometrului diferențial presiunea dinamică:

$$p_d = p_t - p_{st} = \frac{\rho}{2} v^2 \quad (3.13)$$

Pentru manevrarea ușoară și citirea exactă a unghiurilor de rotire a sondei, s-a proiectat și realizat pentru fiecare sondă cîte un suport, compus dintr-o piesă port-sondă, confecționată din alamă și dintr-o piesă de ghidare, fixată prin înșurubare în capacul transparent al instalației. Această piesă ghidază în partea superioară piesa port-sondă și fixează între gulerul său și capacul transparent discul gradat dispus cu originea gradajilor în dreptul rîndului radial trasat prin axa fiecărui orificiu de măsură al capacului transparent. Discul inferior al piesei port-sondă este decupat într-un sector de 50° și prevăzut cu un vernier ce glisează în dreptul gradajilor discului transparent. Cu ajutorul acestui vernier se citește cu o precizie de $0,1^\circ$ valoarea unghiului de rotire al sondei fixate rigid în port-sondă (fig. 3.14).

La etalonare s-a montat sonda cilindrică fixată în suportul ei pe o placă frontală rigidă, în secțiunea de intrare a canalului (fig. 3.15). În aceeași secțiune la capătul proximal cu sonda cilindrică s-a montat tubul frontal etalon. S-au racordat serviole

la cîte un micromanometru diferențial și s-au determinat la indicația 0 a micromanometrului poziția liniei mediane a sondei cilindrice, în dreptul căreia s-a pus originea gradațiilor vernierului port-sondei. Variind viteza în secțiunea de lucru a tunelului, s-au înregistrat indicațiile micromanometrelor. Cunoscînd curba de etalonare a sondei Prenzl, s-a determinat din sarcina dinamică valoarea vitezei curentului. Pe baza acestei valori și a diferenței de presiune citite la micromanometrul sondei cilindrice, s-a construit curba ei de etalonare.

Pentru măsurarea presiunii statice în planul median al rețelei s-au folosit atît sondele cilindrice cît și prize de perete. Intrucît diferențele pentru cele două moduri de măsurare au fost neglijabile, s-a preferat pentru măsurătorile curente utilizarea prizelor la perete.

Pentru măsurarea distribuției presiunilor statice pe conturul profilului s-au racordat capetele tuburilor de drenaj ale celor două profile la un multipiezometru cu înclinare variabilă. Presiunea statică rezultă din relația :

$$p_i = \gamma l_i \sin \alpha_i \quad (3.19)$$

unde γ este greutatea specifică a lichidului piezometric, l_i este lungimea coloanei de lichid considerată ca diferență între nivelul coloanei racordate la orificiul i și al coloanei corespunzătoare nivelului 0, iar α_i este unghiul de înclinare al tuburilor piezometrice față de planul orizontal.

Schema de amplasare a instrumentelor de măsură se dă în fig. 316:

Pentru determinarea gradului de turbulență al curentului s-a utilizat un termomanometru de temperatură constantă, de tip DIS4, care înregistrează valoarea vitezei medii și valoarea medie pătratică a fluctuațiilor vitezei curentului.

Principiul de măsură este bazat pe transferul de căldură de la un fir încălzit electric, la mediul fluid care înconjoară firul. Transferul de căldură de la fir la mediul înconjurător se produce prin conductibilitate calorică, convecție liberă sau forțată și radiație. În general efectul radiației și convecției libere este neglijabil [D.4]. Odată cu răcirea firului rezistența sa electrică scade pînă la realizarea echilibrului termic.

Cantitatea totală a transferului de căldură de la fir la curentul de aer depinde de: a) viteza curgerii; b) diferența de temperatură între fir și curentul fluid; c) de proprietățile fizice ale fluidului; d) de dimensiunile și proprietățile fizice ale firului. Cunoscînd proprietățile fizice ale firului și dimen-

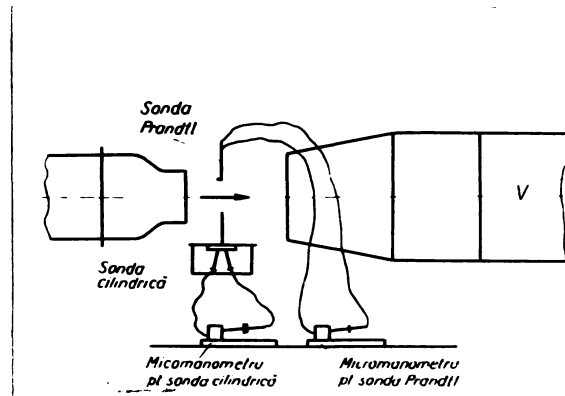


Fig 3 15

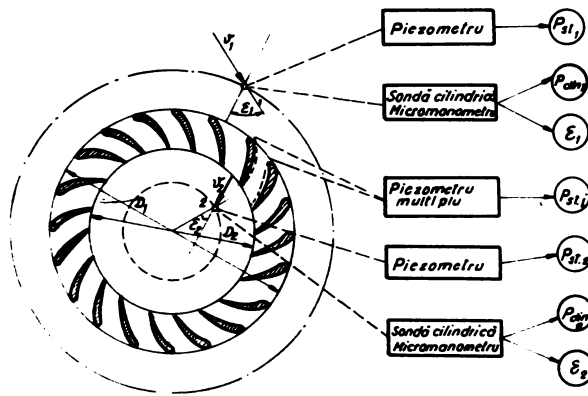


Fig.3 16

Schema de amplasare a instrumentelor de măsură

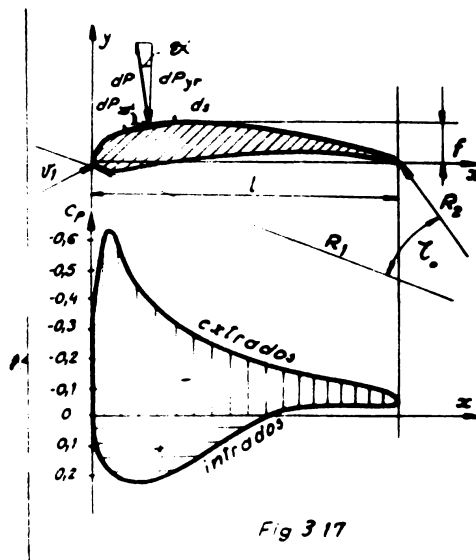


Fig 3 17

siunile sale, măsurând diferența de temperatură între fir și curentul fluid, se poate determina cu ușurință din echilibrul termic viteza de curgere a fluidului. Neglijând efectul compresibilității, Kramers /K.14/ stabilește următoarea relație empirică pentru transferul de căldură în unitatea de timp:

$$I^2 R_s = 4,2 \pi K l (\theta_s - \theta_a) [0,42 P_r^{0,20} + 0,57 P_r^{0,33} R_e^{0,5}] \quad (3.20)$$

unde:

I = intensitatea curentului electric din fir

R_s = rezistența electrică a firului

K = coeficientul de conductibilitate termică

l = lungimea firului

θ_s = temperatura firului

θ_a = temperatura aerului

$P_r = \frac{c_p \mu_a}{k_a}$ criteriul Prandtl

c_p = căldura specifică a aerului la presiune constantă

μ_a = vîscozitatea dinamică a aerului la temperatura θ_a

k_a = conductibilitatea calorică a aerului

$R_e = \frac{\rho_a v d}{\mu_a}$ criteriul Reynolds

v = viteza aerului

d = diametrul firului

ρ_a = densitatea aerului la temperatura θ_a

Dacă se ține seama că avem :

$$\theta_s - \theta_a = \frac{R_s - R_a}{\beta R_0} \quad (3.21)$$

unde R_0 = rezistența electrică la temperatura $\theta_0 = 273^\circ K$, și β_0 = coeficientul termic al rezistenței electrice a firului, avem:

$$\frac{I^2 R_0}{R_s - R_a} = A + B \sqrt{v} \quad (3.22)$$

unde

$$A = 5,54 \frac{K l}{\beta R_0} P_r^{0,2}$$

$$B = 7,52 \frac{K l}{\beta R_0} P_r^{0,33} \sqrt{\frac{\rho_a d}{\mu_a}}$$

Pentru descrierea acestui echilibru termic King /K.4/ a propus următoarea relație derivată teoretic din presupunerea cîrgerii potențiale în firul cilindric :

$$I^2 R_s = \frac{4,2 \pi K_a l}{\beta} \frac{R_s - R_a}{R_0} \left(1 + \sqrt{\frac{2 \pi \rho_a c_p d v}{K_a}} \right) \quad (3.23)$$

sau sub o formă simplificată, ca și în cazul de mai sus:

$$\frac{I^2 R_s}{R_s - R_a} = A + B \sqrt{v} \quad (3.24)$$

unde

$$A = \frac{13,2 K_a l}{\beta R_0} \quad \text{și} \quad B = \frac{13,2 K_a l}{\beta R_0} \sqrt{\frac{2\pi \rho_s c_p d}{K_a}}$$

Se observă din cele două relații că există o deosebire considerabilă între expresiile coeficienților A și B deduși teoretic și empiric. Practic acești coeficienți se determină experimental.

Termoanemetrele pot fi de următoarele tipuri funcționale:

- cu menținerea constantă a curentului din termoanemometrul
- cu menținerea constantă a temperaturii de funcționare a termoanemometrului.

Termoanemometrul utilizat în măsurători a fost de al doilea tip. Menținerea constantă a temperaturii, respectiv a rezistenței electrice sub efectul de răcire datorită curenților turbulente, se realizează cu ajutorul unui sistem electronic compensator ce permite modificarea curentului electric prin fir, la apariția unei variații a rezistenței electrice.

Traductorul este dispus într-un braț de punte Wheatstone, celălalt braț fiind format din trei decade de rezistențe. Puntea este alimentată de un amplificator de putere a cărui tensiune de ieșire este comandată de tensiunea de ieșire a punții.

Când rezistența traductorului nu corespunde cu rezistența brațului reglabil, apare o tensiune la bornele de ieșire ale punții și deci la intrarea amplificatorului. Această tensiune este amplificată foarte mult în amplificatorul de curent continuu și în aplicatorul final de curent continuu și se readuce la punte ca tensiune de alimentare. Sistemul este astfel realizat încît tensiunea de alimentare crește dacă rezistența traductorului este prea mică - prin aceasta crește curentul prin punte și deci și prin traductor. Traductorul se încălzește ca urmare a creșterii rezistenței sale odată cu temperatura și produce o scădere a tensiunii inițiale de dezechilibrare a punții. Dupa astfel formată reprezintă un sistem de echilibrare automată.

Variația vitezei curentului duce la modificarea schimbului de căldură între traductor și curentul de fluid. Sistemul

automat descris mai sus va intra în funcție și va menține practic constantă temperatura traductorului, lărgind domeniul de frecvență al instrumentului prin micșorarea inerției termice a firului cald.

Curentul continuu ce trece prin traductor este o măsură a valorii medii a vitezei curentului. De fapt se măsoară tensiunea continuă a punții, redusă cu cca. 4 %, care este funcție liniară de curentul traductorului. Valoarea vitezei medii a curentului se poate citi la BRIDGE DC VOLTAGE după ridicarea unei curbe de etalonare. O sensibilitate mai mare se obține prin folosirea unor tensiuni fixe opuse. La ieșirea punții mai este conectat prin intermediul unor filtre "trece-jos" și "trece-sus" și a unui amplificator de curent alternativ un instrument termic BRIDGE AC VOLTAGE RMS care indică valoarea medie pătratică a variațiilor în tensiunea punții, redusă cu 4 %, respectiv valoarea medie pătratică a pulsațiilor de viteză.

Măsurătorile de turbulență sînt bazate pe înclinarea curbei de variație a tensiunii continue a punții în funcție de viteza medie a curentului, înclinație care se ia în punctul corespunzător vitezei medii a curentului.

Viteza instantanee a curentului este :

$$v = \bar{v} + v' \quad (3.25)$$

unde \bar{v} este viteza medie și v' pulsația vitezei.

Vitezei medii \bar{v} îi corespunde tensiunea continuă a punții U , iar valorii instantanee a tensiunii valoarea U_p . Considerînd că în jurul punctului de viteză \bar{v} curba $U = U(\bar{v})$ se confundă cu tangenta, componentei pulsatorii a vitezei îi corespunde o tensiune pulsatorie U' :

$$U' = A^* v' \quad (3.26)$$

atunci

$$U_p = U + U' \quad (3.27)$$

Tensiunea pulsatorie U' este aplicată unui instrument termic notînd indicația instrumentului termic cu U_{RMS} , energia curentului pulsatoriu care va provoca încălzirea instrumentului sensibil al instrumentului este egală cu energia unui curent continuu, echivalent cu tensiunea U_{RMS} .

$$\int_t^{t+\Delta T} I U' dt = \int_t^{t+\Delta T} U' \frac{U'}{R} dt = U_{RMS} I_{RMS} \Delta T = \frac{V_{RMS}^2}{R} \Delta T \quad (3.28)$$

$$U_{RMS}^2 = \frac{1}{\Delta T} \int_t^{t+\Delta T} U'^2 dt = \frac{1}{\Delta T} \int_t^{t+\Delta T} A^{*2} v'^2 dt = A^{*2} \frac{1}{\Delta T} \int_t^{t+\Delta T} v'^2 dt \quad (3.29)$$

$$U_{RMS} = A^* \sqrt{\frac{1}{\Delta T} \int_t^{t+\Delta T} v'^2 dt} = A^* \sqrt{\bar{v'^2}} \quad (3.30)$$

Gradul de turbulență al curentului este :

$$T\% = 100 \frac{\sqrt{\overline{v^2}}}{\overline{v}} = 100 \frac{U_{RMS}}{A\overline{v}} \quad (3.31)$$

Considerând valabilă legea lui King /K.3/ sub forma:

$$\frac{U^2}{R} = A + B\sqrt{\overline{v}} \quad (3.32)$$

unde U este tensiunea punții, \overline{v} viteza medie a curentului, R rezistența de lucru a traductorului, obținem pentru $\overline{v} = 0$ și U_0 tensiunea punții :

$$\frac{U_0^2}{R} = A \quad (3.33)$$

și înlocuim obținem :

$$\frac{U^2}{R} = \frac{U_0^2}{R} + B\sqrt{\overline{v}} \quad (3.34)$$

Gradul de turbulență este $T\% = 100 \frac{U_{RMS}}{A\overline{v}}$, înșă $A^* = \frac{dU}{d\overline{v}}$

și derivăm avem:

$$\frac{2U}{R} \frac{dU}{d\overline{v}} = B \frac{1}{2\sqrt{\overline{v}}}$$

$$\frac{dU}{d\overline{v}} = \frac{BR}{4U\sqrt{\overline{v}}} = A^*$$

$$A^*\overline{v} = \frac{BR\overline{v}}{4U\sqrt{\overline{v}}} = \frac{BR\sqrt{\overline{v}}}{4U}$$

înșă

$$B\sqrt{\overline{v}} = \frac{U^2}{R} - \frac{U_0^2}{R}$$

de unde

$$A^*\overline{v} = \frac{BR\sqrt{\overline{v}}}{4U} = \frac{U^2 - U_0^2}{4U} \quad (3.25)$$

Înlocuim în expresia gradului de turbulență, vom avea :

$$T\% = 100 U_{RMS} \frac{4U}{U^2 - U_0^2} \quad (3.36)$$

Pentru viteze ale curentului mai mici decât 25 m/s această relație permite determinarea cu suficientă precizie a gradului de turbulență.

Etapele de lucru în efectuarea măsurătorilor de turbulență cuprind: a) determinarea rezistenței la rece a cablului de conexiune al traductorului, pentru a putea fi compensată prin instalarea corespunzătoare a butonului ZERO O.M., avînd conectat doar traductorul de scurt circuit; b) se montează traductorul cu fir și cu comutatorul basculant conectat în poziția "Resistance measurement", se reglează pentru echilibrare decadele "Probe resistance"; c) valoarea rezistenței de lucru este de 1,8 ori valoarea rezistenței la rece citite la pct.b; d) se fixează actuală valoare cu ajutorul

decadelelor "Probe resistance", se conectează comutatorul princip 1 în poziția de lucru "Operate" și se citește tensiunea U_0 indicată de voltmetrul "Bridge D.C.Voltage", pentru traductorul cu capacul pus; e) se scoate capacul traductorului și se pornește stațiunea, așteptând stabilizarea regimului; f) se notează indicațiile instrumentelor "Bridge D.C.Voltage" (U) și "Bridge A.C.Voltage RMS" (U_{RMS}) comutând pârghia comutatorului basculant în poziția "TURBULENCE MEASUREMENT"; g) se deplasează sonda pe periferia cercului de-a lungul cărui se studiază variația gradului de turbulență de la intrare respectiv de la ieșire și se repetă operațiunile de la punctul f).

Traductorul folosit a fost un traductor miniatural de tipul 55A25, caracterizat prin rezistența la rece $R_0 = 3,5 \Omega$; grosimea firului de Wolfram $5 \mu m$, lungimea 1 mm, temperatura maximă de lucru $300^\circ C$, diametrul tijei traductorului 3 mm, viteza maximă în aer 250 m/s.

S-a optat pentru acest tip miniatural, întrucât produce o perturbare minimă a câmpului hidrodinamic în secțiunea de măsură.

Tija traductorului a fost montată în suportul port-sondă, care s-a utilizat și la sondarea câmpului de viteze cu ajutorul sondelor cilindrice.

Pentru stabilirea direcției de instalare a traductorului în câmp, s-a instalat traductorul corespunzător unei direcții oarecare și s-a citit indicația voltmetrului și unghiul pe care axa traductorului o realizează cu direcția curentului.

În lângă instrumentele menționate mai sus, necesare măsurării caracteristicilor curentului, trebuie adăugate și dispozitivele utilizate pentru instalarea rețelei de studiu și de dirijare conform parametrilor geometrici aleși. Astfel, modificarea direcției curentului de la intrare s-a obținut prin instalarea corespunzătoare a rețelei de dirijare. Deoarece aceasta este compusă din foarte multe palete - menite să asigure un curent axial simetric la intrare - construirea unui sistem de pârghii pentru reglarea poziției paletelor ar fi fost înecomodă, oferind în același timp un grad redus de precizie a instalării. S-a preferat deci instalarea paletelor cu ajutorul unor șabloane de tablă fixate rigid într-o ramă ce glisează de-a lungul suprafeței frontale a inelului de bază ale instalației.

Instalarea rețelei de studiu sub unghiul dorit se realizează cu ajutorul unor șabloane de tablă modelate la suprafața de contact cu paletele conform negativului intradosului.

3.4. Programul măsurătorilor.

Rețeaua circulară formată din $M = 20$ profile a fost încercată în stațiunea de rețele circulare la următoarele unghiuri de instalare:

$$\lambda = 20^\circ, 30^\circ, 40^\circ, 50^\circ, 60^\circ; -17^\circ 26', -29^\circ, -39^\circ, -51^\circ 7', -63^\circ 10'$$

Pentru fiecare valoare a unghiului de instalare, s-a dirijat curentul la intrare sub următoarele direcții:

ϵ, λ	20°	30°	40°	60°	$-17^\circ 26'$	-29°	-39°	$-51^\circ 7'$	$-63^\circ 10'$
1	22,4	32	40,2	52	0	-31,7	-31,7	-31,6	-43,5
2	23,4	34	42	57	18,5	-22	-25	-25	-40
3	24,4	36	44	60,4	27,5	0	-22,5	-22,5	-36,5
4	26,5	38	45,3	63,5	31,5	30,78	-20	-21	-30
5	30	41	51,4	67,6	40,5	40	0	0	-26,5
6	31,5	43,2	-	71	57	42,87	21,5	21,5	-24,7
7	-	-	-	-	-	-	-	-	-21,7
8	-	-	-	-	-	-	-	-	0
9	-	-	-	-	-	-	-	-	21,5
10	-	-	-	-	-	-	-	-	23,5

Măsurătorile efectuate au constat din:

- determinarea unghiului și modulului vitezei din amonte și aval de rețea,
- determinarea distribuției de presiuni pe intradosul și extradadosul profilelor drenate,
- determinarea turbulenței curentului la intrare și ieșire din rețea,
- investigarea structurii curentului de la intrare și ieșire din rețea.

3.5. Metodica de calcul al rezultatelor.

3.5.1. Determinarea vârtimilor primare.

În urma verificării secțiunii de lucru de la intrare și ieșire din punct de vedere al structurii axiale-simetrice a curentului și al gradului de turbulență, s-a trecut la măsurătorile curente. S-a măsurat cu ajutorul sondei cilindrice în amonte de rețea de periferia de rază $R = 410 \text{ mm}$, în puncte decalate cu unghiul la centru $\Delta\tau = 2^\circ$, presiunea dinamică $p_{din1}(\tau_1)$ și unghiul pe care direcția vitezei îl face cu raza punctului curent $\varepsilon_1(\tau_1)$ și presiunea statică $p_{st1}(\tau_1)$ cu ajutorul prizei montate în perete.

În aval de rețea, s-a măsurat cu ajutorul sondei cilindrice, pe periferia cercului de rază $R = 230 \text{ mm}$, în puncte decalate cu unghiul la centru $\Delta\tau = 2^\circ$, iar în zonele cu variații mari ale modulului și unghiului vitezei la decalaj de $\Delta\tau = 1^\circ$, presiunea dinamică $p_{din2}(\tau_1)$ și unghiul pe care direcția curentului de la ieșire îl face cu raza punctului curent $\varepsilon_2(\tau_1)$. Deasemenea cu ajutorul prizei de presiune statică, la perete, s-a măsurat presiunea statică $p_{st2}(\tau_1)$.

Pentru obținerea unor valori medii pe pas s-au efectuat măsurătorile de-a lungul a patru pași unghiulari.

Cunoscând valorile presiunii dinamice în fiecare punct de măsură, s-au determinat din curbele de etalonare ale sondelor cilindrice vitezele în punctele respective. Prin integrare grafică s-au obținut valorile medii pe pas ale tuturor mărimilor măsurate:

$$p_{st1} = \frac{\sum_{i=1}^n p_{st1}(\tau_i) \Delta\tau_i}{\sum_{i=1}^n \Delta\tau_i} \quad ; \quad p_{st2} = \frac{\sum_{i=1}^n p_{st2}(\tau_i) \Delta\tau_i}{\sum_{i=1}^n \Delta\tau_i} \quad (3.37)$$

$$\varepsilon_1 = \frac{\sum_{i=1}^n \varepsilon_1(\tau_i) \Delta\tau_i}{\sum_{i=1}^n \Delta\tau_i} \quad ; \quad \varepsilon_2 = \frac{\sum_{i=1}^n \varepsilon_2(\tau_i) \Delta\tau_i}{\sum_{i=1}^n \Delta\tau_i} \quad (3.38)$$

$$v_1 = \frac{\sum_{i=1}^n v_1(\tau_i) \Delta\tau_i}{\sum_{i=1}^n \Delta\tau_i} \quad ; \quad v_2 = \frac{\sum_{i=1}^n v_2(\tau_i) \Delta\tau_i}{\sum_{i=1}^n \Delta\tau_i} \quad (3.39)$$

Măsurarea distribuției de presiuni pe concavul profilului s-a făcut cu un multiplicator înclinat, cu alcool. Schema instalației se vede în fig. 3.16. Cele 20 de orificii prin care s-au drenat cele 2 palete consecutive au fost legate la instrumentul de măsură.

Cunoscând valoarea presiunii statice din amonte precum și viteza, determinată cu ajutorul sondei cilindrice, se poate determina coeficientul de presiune în fiecare punct de drenaj :

$$C_{p1} = \frac{p_i - p_1}{\frac{\rho}{2} v_1^2} \quad C_{pm} = \frac{p_i - p_1}{\frac{\rho}{2} v_{1m}^2} \quad (3.40)$$

3.5.2. Determinarea coeficienților caracteristici ai rețelei:

Cunoscând caracteristicile cinematice ale curentului de la intrare și ieșire din rețea se pot determina:

- coeficientul de pierdere /G.5/

$$\zeta = \frac{p_{tot1} - p_{tot2}}{\frac{\rho}{2} v_1^2} \quad (3.41)$$

- coeficientul de deviație a curentului

$$\delta_u = \frac{r_1 v_{u1} - r_2 v_{u2}}{r_1 v_{m1}} = \frac{r_1 v_1 \sin \varepsilon_1 - r_2 v_2 \sin \varepsilon_2}{r_1 v_1 \cos \varepsilon_1} \quad (3.42)$$

- deviația unghiulară a curentului în prezența rețelei

$$\Delta \varepsilon = \varepsilon_1 - \varepsilon_2 + \zeta_0 \quad (3.43)$$

3.5.3. Determinarea coeficienților de acțiune ai curentului asupra profilului.

Prin integrarea distribuției presiunilor statice pe conturul profilului se poate determina rezultanta acțiunii curentului asupra profilului. Componentele acestei forțe după două direcții perpendiculare - direcția coarlei profilului și normală la ea - rezultă conform fig.3.17:

$$P_{yr} = \int_0^l \frac{\rho}{2} v_1^2 C_{p1} b dx = \frac{\rho}{2} v_1^2 b \int_0^l C_{p1} dx \quad (3.44)$$

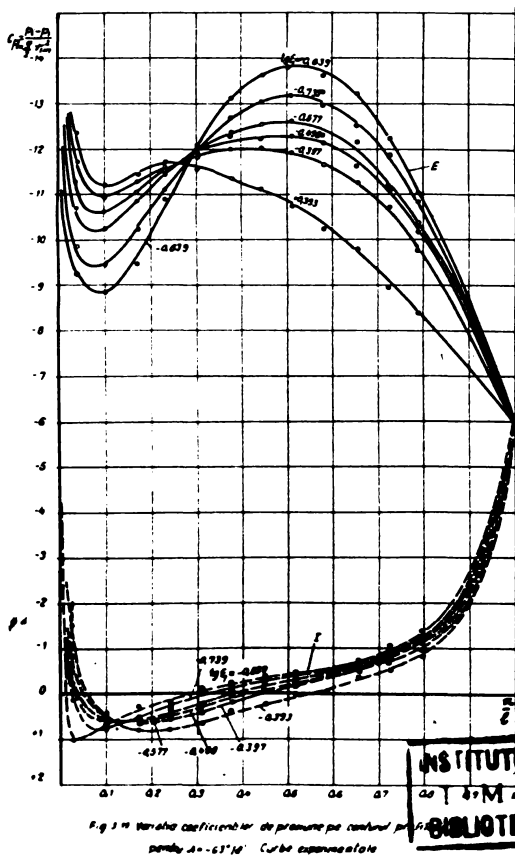
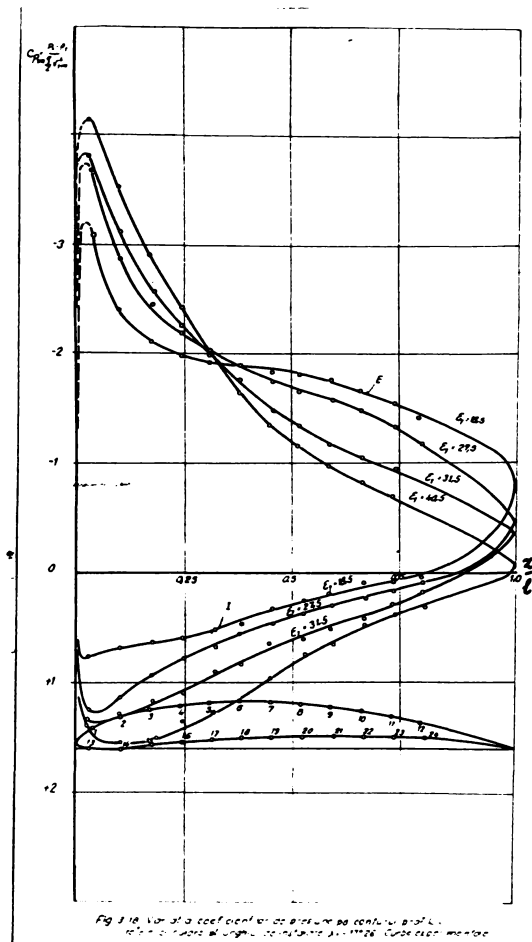
$$P_{xr} = \int_0^l \frac{\rho}{2} v_1^2 C_{p1} b dy = \frac{\rho}{2} v_1^2 b \int_0^l C_{p1} dy \quad (3.45)$$

Sub forma unor coeficienți adimensionali:

$$C_{yr} = \frac{P_{yr}}{\frac{\rho}{2} v_1^2 b l} = \frac{\int_0^l C_{p1} dx}{l} \quad (3.46)$$

$$C_{xr} = \frac{P_{xr}}{\frac{\rho}{2} v_1^2 b l} = \frac{\int_0^l C_{p1} dy}{l} \quad (3.47)$$

În fig.3.18 - 20 s-au reprezentat distribuțiile coeficienților de presiune pentru calculul coeficienților C_{yr} și C_{xr} a căror valoare se determină prin integrare grafică.



INSTITUTUL POLITEHNIC
ILIEȘI
BIBLIOTECA CENTRALĂ

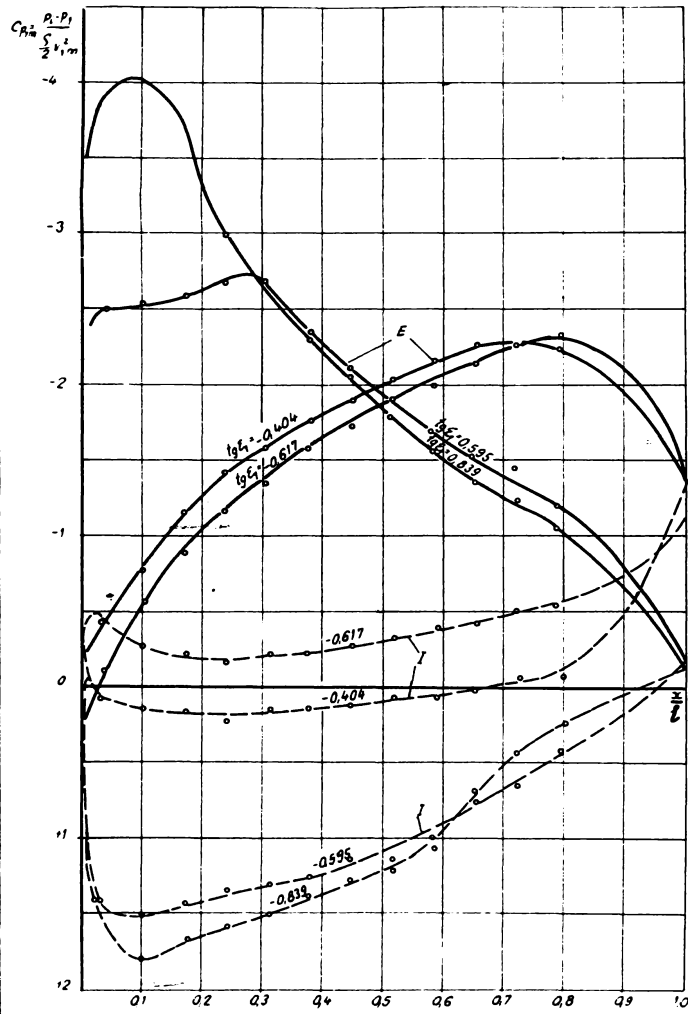


Fig 3 20 Variația coeficientului de presiune pe contul ul profilului pentru $\lambda = 29^\circ$. Curbe experimentale

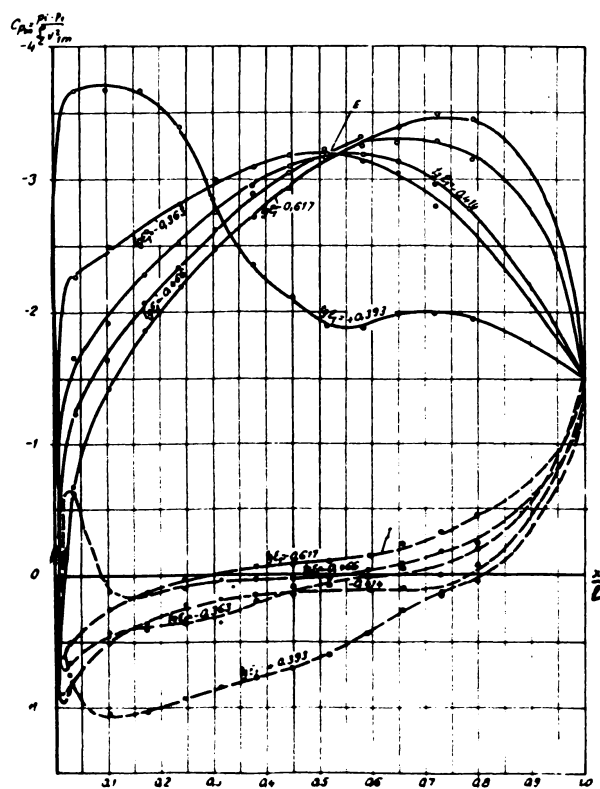


Fig 3 21 Variația coeficientului de presiune pe contul ul profilului pentru $\lambda = 38^\circ$. Curbe experimentale

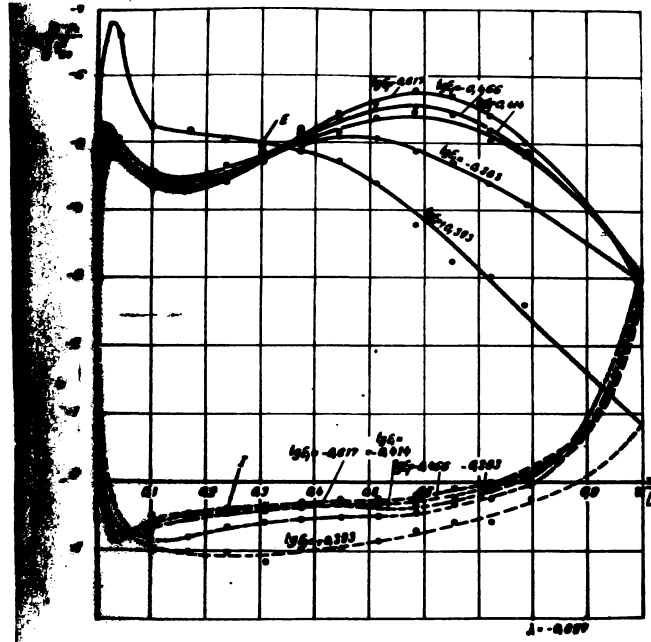


Fig. 3.22. Variația coeficienților de presiune pe conturul profilului rotit al aileronului pentru unghiul de rotație $\lambda = 0.007 \text{ rad}$. Curba experimentală

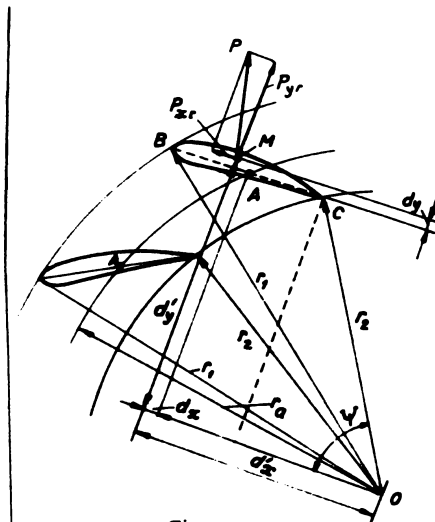


Fig. 3.23

După cum se indică și în literatura de specialitate /A.7/ /K.1c/, componentele rezultantei acțiunii fluidului asupra profilului se mai pot exprima și sub forma

$$P_{yr} = C_{pyr} \rho Q_{11}^2 D_1 H \quad (3.48)$$

$$P_{xr} = C_{pxr} \rho Q_{11}^2 D_1 H \quad (3.49)$$

unde ρ este masa specifică a fluidului, Q_{11} debitul redus dublu-unitar, D_1 diametrul de intrare în rotor și H sarcina.

Relațiile (3.48) și (3.49) dau posibilitatea transpunerii prin similitudine a rezultatelor pentru alte aparate directe. Dacă se ține cont de expresia lui $Q_{11} = \frac{Q}{D_1^2 \sqrt{H}}$ (3.48) și

(3.49) se mai pot scrie sub forma:

$$P_{yr} = C_{pyr} \rho \frac{Q^2}{D_1^2} \quad (3.48')$$

$$P_{xr} = C_{pxr} \rho \frac{Q^2}{D_1^2} \quad (3.49')$$

Între C_{pyr} , C_{pxr} și C_{yr} , C_{xr} apare următoarea relație de legătură:

$$C_{pyr} = \frac{v_1^2}{Q^2} \frac{bl}{2} D_1^2 C_{yr} \quad (3.50)$$

$$C_{pxr} = \frac{v_1^2}{Q^2} \frac{bl}{2} D_1^2 C_{xr} \quad (3.51)$$

3.5.4. Determinarea coeficienților momentului hidraulic.

Un alt coeficient ce caracterizează funcționarea profilului izolat sau în rețea, este coeficientul momentului hidraulic transmis de către fluid profilului. În cazul rețelei de aparat director cunoașterea momentului hidraulic la fiecare valoare a deschiderii paletelor este necesară pentru proiectarea servomotorului.

Momentul hidraulic pentru profilul izolat se exprimă sub forma

$$M_h = C_m \frac{\rho}{2} W_{\infty}^2 L_R l b$$

unde $\frac{\rho}{2} W_{\infty}^2$ este sarcina dinamică corespunzătoare vitezei W_{∞} , L_R este brațul forței rezultante de acțiune a curentului asupra profilului față de axul profilului, l este lungimea corzii profilului, iar b înălțimea paletelor.

În cazul rețelei circulare este utilă exprimarea momentului hidraulic în raport cu axul de rotație a profilului sub forma:

$$M_h = C_{mh} \rho \frac{Q^2}{D_1} \quad (3.52)$$

unde ρ este masa specifică a fluidului, Q este debitul iar D_1 este diametrul de intrare al rotorului pentru care se studiază aparatul director.

Din teorema momentului cantității de mișcare rezultă momentul rețelei exprimat în raport cu centrul său :

$$M_0 = \frac{\rho}{2\pi} Q (\Gamma_i - \Gamma_e) \quad (3.53)$$

Ținând cont de notațiile și convențiile din capitolele precedente:

$$d_u = \frac{\Gamma_i - \Gamma_e}{\Delta Q}$$

momentul M_0 în expresia:

$$M_0 = \frac{\rho}{2\pi} \frac{Q^2}{b} d_u \quad (3.54)$$

Prin observarea figurii 3.23, se mai poate scrie:

$$M_0 = N (P_{yr} dx' - P_{xr} dy') \quad (3.55)$$

unde N este numărul profilurilor, P_{yr} și P_{xr} componentele rezultantei după direcția normală la coarda profilului iar dx' și dy' brațul acestor componente în raport cu centrul rețelei. Distanțele dx' și dy' se mai pot scrie cu notațiile din fig. 3.23, sub forma:

$$dx' = dx + AC + t_2 \cos \psi \quad (3.56)$$

$$dy' = dy + t_2 \sin \psi \quad (3.57)$$

Din geometria figurii rezultă:

$$dx' = dx + \frac{t_a^2 + AC^2 - t_e^2}{2AC} \quad (3.58)$$

$$dy' = dy + \sqrt{t_2^2 - \left(\frac{t_a^2 - t_e^2 - AC^2}{2AC}\right)^2} \quad (3.59)$$

Înlocuind rezultatele obținute în (3.51) expresia devine:

$$M_0 = N P_{yr} \left(dx + \frac{t_a^2 + AC^2 - t_e^2}{2AC} \right) - N P_{xr} \left(dy + \sqrt{t_2^2 - \left(\frac{t_a^2 - t_e^2 - AC^2}{2AC}\right)^2} \right) \quad (3.60)$$

Momentul hidrolic se poate exprima în raport cu axul de rotație al profilului

$$M_h = P_{yr} dx - P_{xr} dy \quad (3.61)$$

sau ținând cont de (3.56)

$$M_h = \frac{M_0}{N} - P_{yr} \frac{t_a^2 + AC^2 - t_e^2}{2AC} + P_{xr} \sqrt{t_2^2 - \left(\frac{t_a^2 - t_e^2 - AC^2}{2AC}\right)^2} \quad (3.62)$$

Înlocuind expresia lui M_0 din (3.50) se obține:

$$M_k = \frac{\rho}{2\pi N} \frac{Q^2}{b} \delta_u - P_{yr} \frac{r_a^2 + AC^2 - t_2^2}{2AC} + P_{xr} \sqrt{t_2^2 - \left(\frac{r_a^2 - t_2^2 - AC^2}{2AC} \right)^2} \quad (3.63)$$

Avînd în vedere că valoarea componentei P_{xr} nu depășește în majoritatea cazurilor aproximarea $P_{xr} \approx 0,1 P_{yr}$ și evaluînd expresia de sub radical pentru cazurile studiate, rezultă

$$P_{xr} \sqrt{t_2^2 - \left(\frac{r_a^2 - t_2^2 - AC^2}{2AC} \right)^2} \approx (0,13 \div 0,30) 0,1 P_{yr} \approx (0,013 \div 0,030) P_{yr} \quad (3.64)$$

aproximarea (3.64) permite simplificarea expresiei (3.63) prin renunțarea la ultimul termen al relației:

$$M_k \approx \frac{\rho}{2\pi N} \frac{Q^2}{b} \delta_u - P_{yr} \frac{r_a^2 + AC^2 - t_2^2}{2AC} \quad (3.65)$$

Coefficientul momentului hidraulic definit conform cu (3.48^o) (3.49^o) are expresia:

$$C_{mh} = \frac{1}{2\pi N} \frac{D_1}{b} \delta_u - \frac{D_1}{\rho Q^2} \frac{\rho}{2} v_1^2 b l C_{yr} \frac{r_a^2 + AC^2 - t_2^2}{2AC}$$

sau ținînd cont de notațiile din fig. 316

$$C_{mh} = \frac{1}{2\pi N} \frac{D_1}{b} \delta_u - \frac{D_1}{b} \frac{l}{8\pi^2} \frac{1}{r_1^2 \cos^2 \varepsilon_1} \frac{r_a^2 + AC^2 - t_2^2}{2AC} C_{yr} \quad (3.66)$$

Relația (3.66) reprezintă expresia coeficientului momentului hidraulic în raport cu anul de rotație al profilului, definit în funcție de parametrii geometriei ai rețelei ($b, l, D_1, N, r_1, t_2, r_a, AC$) de unghiul curentului de la intrare (ε_1) și de coeficientul de deviație și portanță al profilului în rețea.

Avantajul acestei forme a relației constă în aceea că pune în evidență influența unui parametru geometric deosebit de important al aparatului director: diametrul de așezare al fusurilor paletelor, respectiv excentricitatea profilului.

Concluzii la Cap. III.

Necesitatea admiterii ipotezei simplificatoare a fluidului ideal, în efectuarea calculului analitic, impune verificarea experimentală a rezultatelor. Stațiunea construită în acest scop, modelează în aer condițiile mișcării în prezența aparatului director studiat analitic. Proiectată într-o concepție originală și echipată cu sonde cilindrice construite special și etalonate în tunelul aerodinamic, stațiunea permite explorarea cimpului de viteze și presiuni în amonte și aval de rețea, distribuția presiunilor pe conturul profilului, studierea efectului prezenței rețelei în amonte și aval.

Se definesc caracteristicile energetice ale rețelei circulare pentru fluidul cu frecare: coeficientul de deviație al rețelei, coeficientul acțiunii curentului asupra profilului și coeficientul momentului hidraulic.

Se propune o nouă relație de calcul a valorii coeficientului momentului hidraulic în funcție de parametrii geometrici ai rețelei, coeficientul de deviație și de acțiune, unghiul curentului de la intrare. Relația evidențiază influența unui parametru geometric important: excentricitatea profilului.

Prin prelucrarea măsurilor primare măsurate în stațiune, se determină curbele de variație a coeficienților caracteristici în funcție de direcția curentului de la intrare și de deschiderea relativă a palotelor respectiv unghiul de instalare al rețelei.

Performanțele stațiunii, comparate cu ale altor stațiuni menționate în literatura de specialitate, atestă posibilitatea efectuării cu bune rezultate a încercărilor experimentale și a studierii pe această cale a influenței formei profilului, a curburii sale, a deschiderii relative, a unghiului curentului de la intrare și a vitezei curentului asupra caracteristicilor energetice ale rețelei.

CAPITOLUL IV.

CARACTERISTICILE ENERGETICE SI DE FUNCTIONARE.

4.1. Caracteristicile energetice ale rețelelor încercate.

Caracteristicile energetice ale rețelei încercate sînt date de curbele de variație a coeficientului de pierderi (ζ), a coeficientului de deviație a curenților (δ_v), a deviației unghiulare ($\Delta\epsilon$) și a coeficientului acțiunii curenților asupra profilului C_{yr} , C_{xr} , și a coeficientului de moment C_{mh} în funcție de unghiul curenților de la intrare pentru valori parametrice ale unghiului de instalare și ale numărului de profile.

Prelucrînd mărimile primare obținute din măsurători conform celor menționate în 3.5.2 și 3.5.3 s-au obținut rezultatele din graficele fig. 4.1 - 4.24.

Pe baza acestor rezultate s-au trasat curbele caracteristice energetice. Se observă din graficele fig. 4.1 și 4.2 creșterea liniară a coeficientului de deviație în funcție de incidența curenților i . Cu cît unghiul de instalare al rețelei este mai mare panta dreptelor se mărește.

Deviația unghiulară a curenților, fig. 4.3, 4.4 crește de asemenea liniar cu incidența curenților. La unghiuri de instalare λ pozitive pentru incidențe mai mari de 10° curba se abate de la direcția inițială prin valori mai mici, întrucît prin desprinderea curenților de pe extradusul profilului deviația realizată se micșorează. În cazul unghiurilor de instalare negative curbele de variație a deviației curenților își mențin alura liniară pe un domeniu mai extins al incidențelor curenților de la intrare, caracterul accelerator al rețelei avînd ca efect întîrzierea apariției desprinderilor curenților de pe extradusul profilelor. Pentru diferite valori ale unghiului de instalare se obține un fascicol de curbe paralele, deviația curenților fiind cu atît mai mare cu cît unghiul de instalare este mai mare în valoare absolută,

S-au reprezentat în fig. 4.5 și 4.6 curbele de variație ale coeficienților de acțiune ai curenților asupra profilului C_{yr} și C_{xr} pentru λ pozitiv respectiv λ negativ. Se observă în cazul coeficienților C_{yr} că valoarea lor crește liniar cu incidența

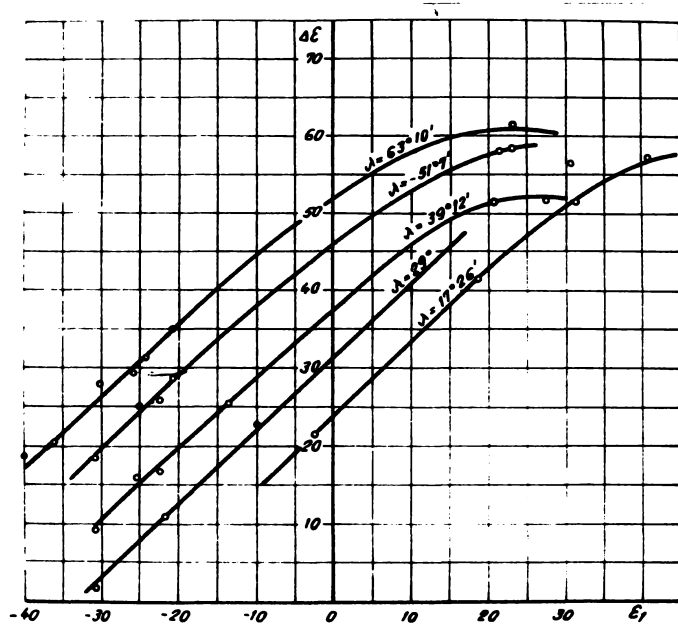
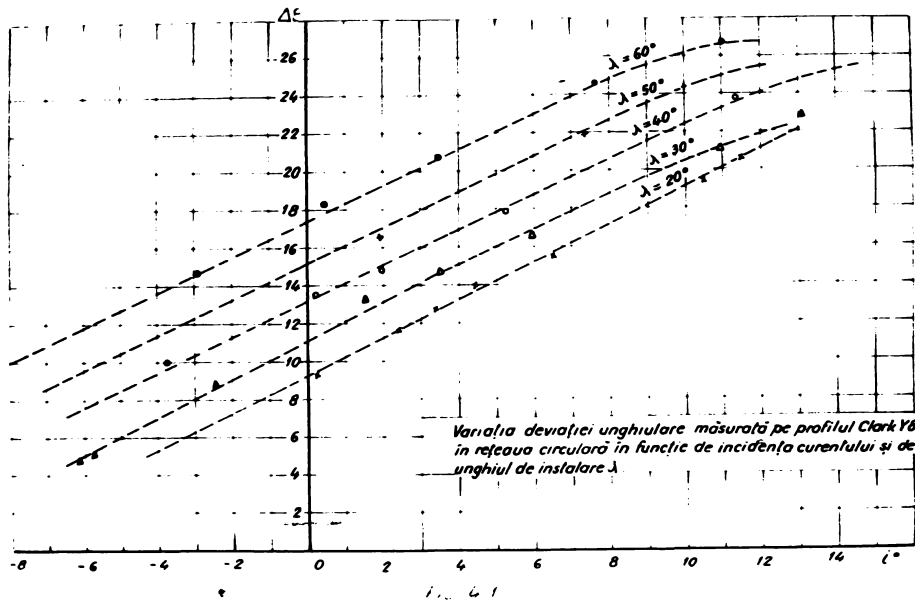


Fig. 4.2 Variația deviației unghiulare în funcție de direcția curentului de la intrare
Curbe experimentale

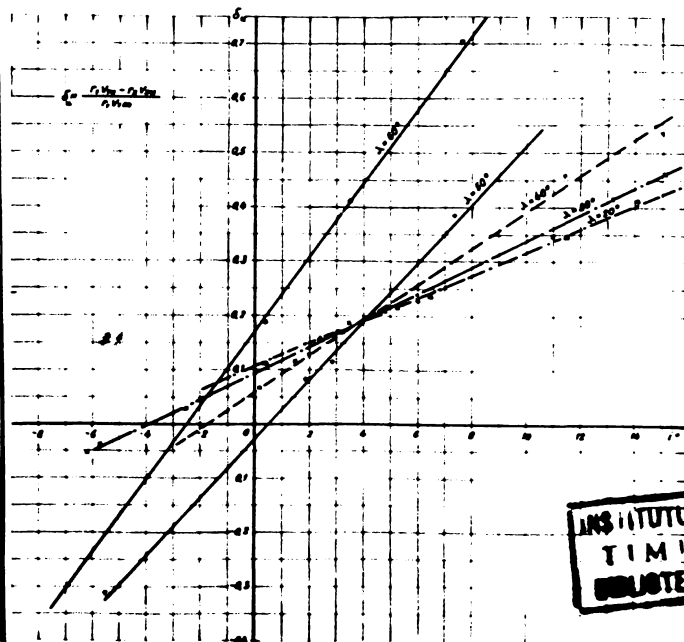
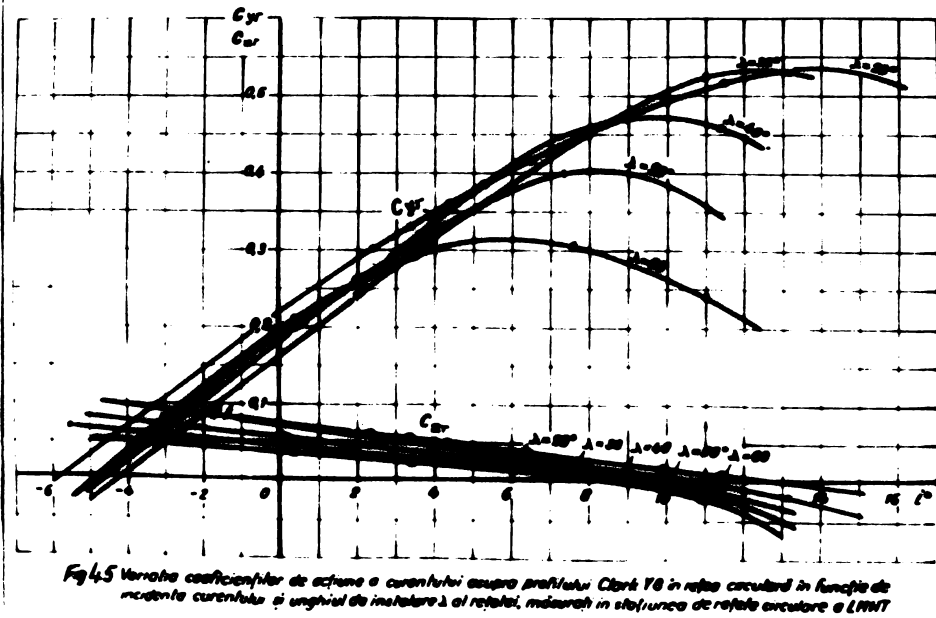
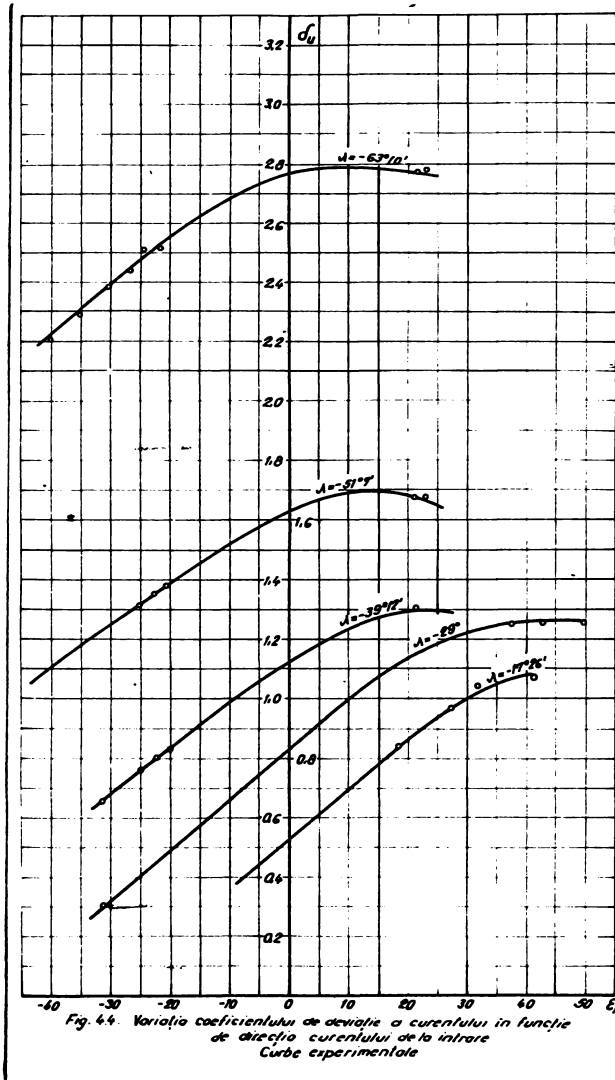


Fig. 4.3

Curbele de curbură și coeficienții de deviație și curbură în funcție de diferite valori ale unghiului de instalare

INȘTITUTUL POLITEHNIC
TIMIȘOARA
BIBLIOTECĂ CENTRALĂ



1 pînă la o valoare maximă, după care curba începe să descrească. Cu cît unghiul de instalare este mai mare, desprinderea curbei de la direcția liniară se produce mai repede. Coeficienții C_{λ} des-cresc liniar cu creșterea unghiului i .

La valori λ negative coeficienții C_{λ} sînt sensibili mai mari decît în cazul precedent și la fel ca și la deviație, abaterea curbelor de la direcția inițială se produce mult mai tîrziu, în virtutea aceluiaș fenomen al apariției întîrziate a des-prinderii curentului de pe extradusul profilului. Rezultă din fig. 4.6. ca și din tabelul de rezultate, că pe măsură ce unghiul de in-cidență crește, rezultanța acțiunii curentului asupra profilului crește în modul și se apropie ca direcție de normala la coarda profilului.

Curbele de variație a coeficientului de pierdere ζ (fig. 4.7), prezintă două ramuri în zona coeficienților ζ mari, pentru incidențe mari în valoare absolută. Aceste valori ridicate se explică prin desprinderea curentului de pe extradusul respectiv intradosul profilului, caracteristice incidentelor pozitive sau negative mari. Între aceste ramuri, pierderile sînt aproape constan-te ca valoare. La unghiul de instalare mari, curbele de trasa-tează în zona valorilor mai mari ale coeficienților de pierdere.

La valori negative ale lui λ (fig. 4.8) curbele de varia-ție a coeficienților de pierdere au alura asemănătoare cazului pozitiv, cu observația că datorită întîrzierii apariției desprin-derilor, curbele sînt mai plate în zona coeficienților mici de pierdere, ceea ce denotă extinderea pe un domeniu mai larg de in-cidențe a zonei optime de funcționare a rețelei.

S-au reprezentat în fig. 4.9 și 4.10 curbele de variație a coeficienților momentului hidraulic în funcție de unghiul curen-tului de la intrare, la valori parametrice ale unghiului de insta-lare, respectiv ale deschiderii aparatului director. Curbele au atît pentru λ pozitiv cît și pentru λ negativ caura descreșcă-toare, iar valorile lui C_{mh} pentru un anumit unghi ε_1 sînt cu atît mai mari cu cît deschiderea este mai mică. Comparînd valorile reprezentate în cele două grafice se observă că în cazul cînd λ este negativ respectiv pentru profile de curbură negativă, pentru acelaș unghi al curentului de la intrare, coeficienții de moment realizați sînt sensibil mai mari decît pentru rețeaua formată din profile de curbură pozitivă, la aceeași valoare a deschiderii apa-ratului director.

Din compararea rezultatelor teoretice și experimentale

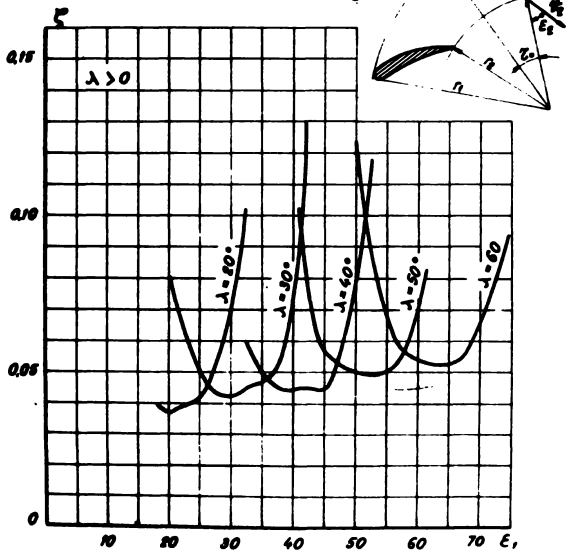


Fig. 4.7

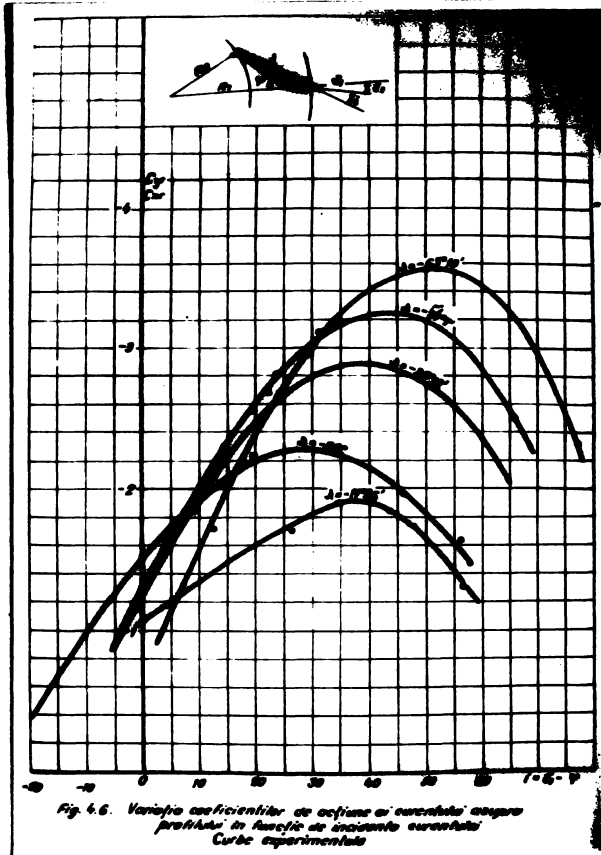


Fig. 4.6. Variația coeficienților de acțiune și rezistență asupra profilului în funcție de unghiul incidenței. Curbe experimentale

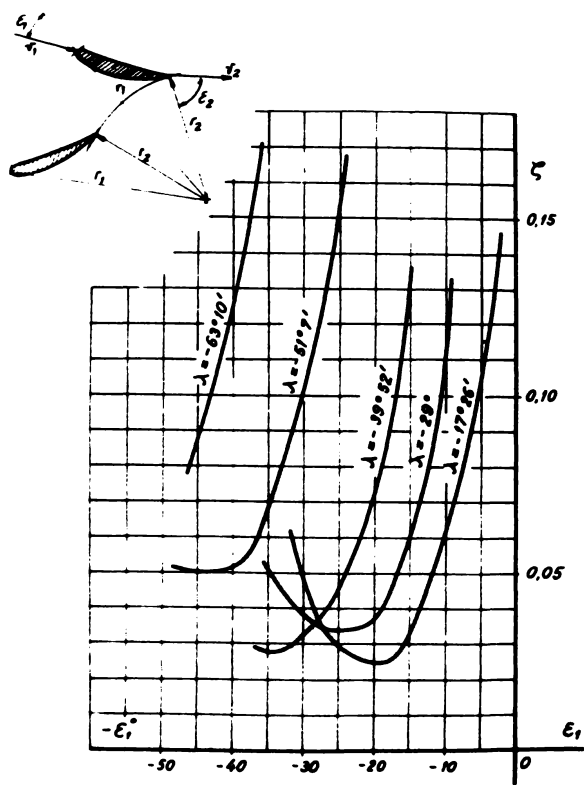


Fig. 4.8

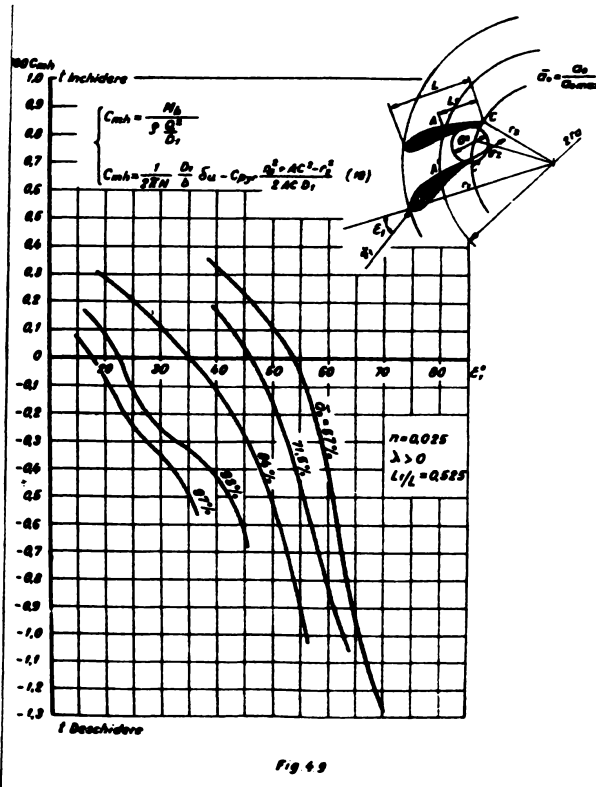


Fig. 4.9

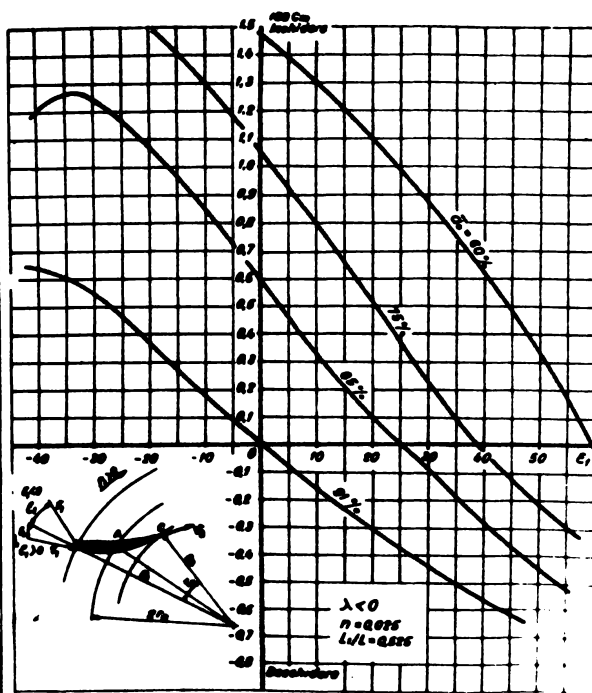
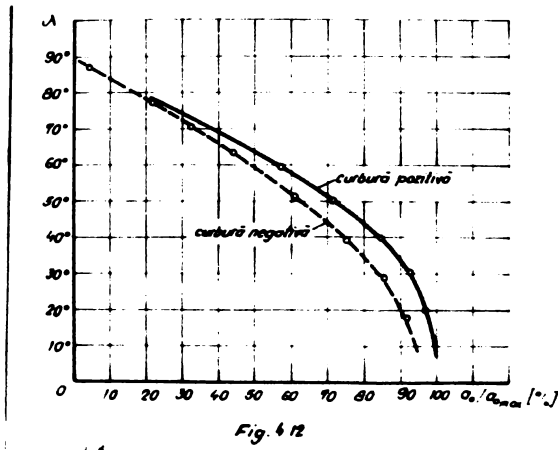
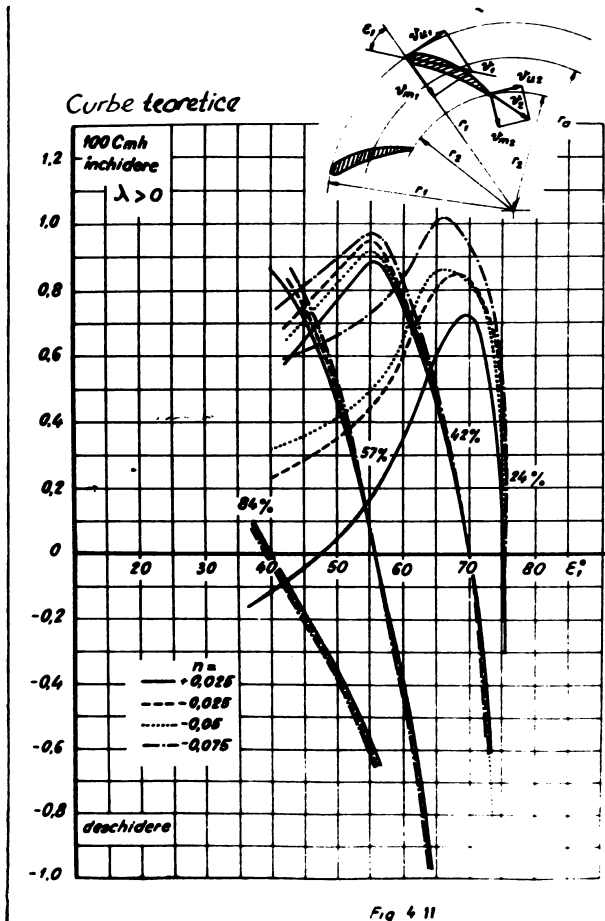


Fig. 4.10



a rezultat că există o suficient de bună concordanță între valorile obținute pe cele două căi. Acoastă observație a permis completarea rezultatelor experimentale pentru domeniul închiderilor mari, în care din cauza pierderilor foarte mari din rețea, ventilatorul stațiunii nu mai putea face față condițiilor de funcționare, cu rezultate obținute pe cale analitică. Astfel, pentru aparatul director format din profile de curbură pozitivă, s-au reprezentat în fig.4.11 curbele de variație a lui C_{mh} la valori parametriche ale deschiderii respectiv unghiului de instalare λ , în funcție de ε_1 , unghiul curentului de la intrare. Ținând cont de expresia (3.66) de definire a expresiei lui C_{mh} , s-au trasat în aceeași figură curbele de variația al lui C_{mh} atunci când excentricitatea profilului, respectiv diametrul de așezare a fusurilor paletelor ia diverse valori, pentru care excentricitatea $n = 0,025; -0,025; -0,05; -0,075$. Din aceste curbe se observă că cu cât n ia valori negative mai mari, cu atât este mai pronunțată tendința de autoînchidere a aparatului director pentru valori mici ale deschiderii \bar{a}_0 ($n = \frac{L-L'}{2(L+L')}$ fig.1)

4.2. Caracteristicile de funcționare ale aparatelor directoroare de tip radială.

Intrucât în funcționarea unui aparat director parametrul variabil este numai deschiderea paletelor, este utilă prelucrarea rezultatelor într-o formă care evidențiază efectul variației sale continue;

Variația deschiderii aparatului paletelor director atrage după sine și variația parametrului λ . S-a determinat pentru fiecare valoare cunoscută a lui λ valoarea deschiderii a_0 dintre paletele aparatului director și prin raportare la deschiderea maximă

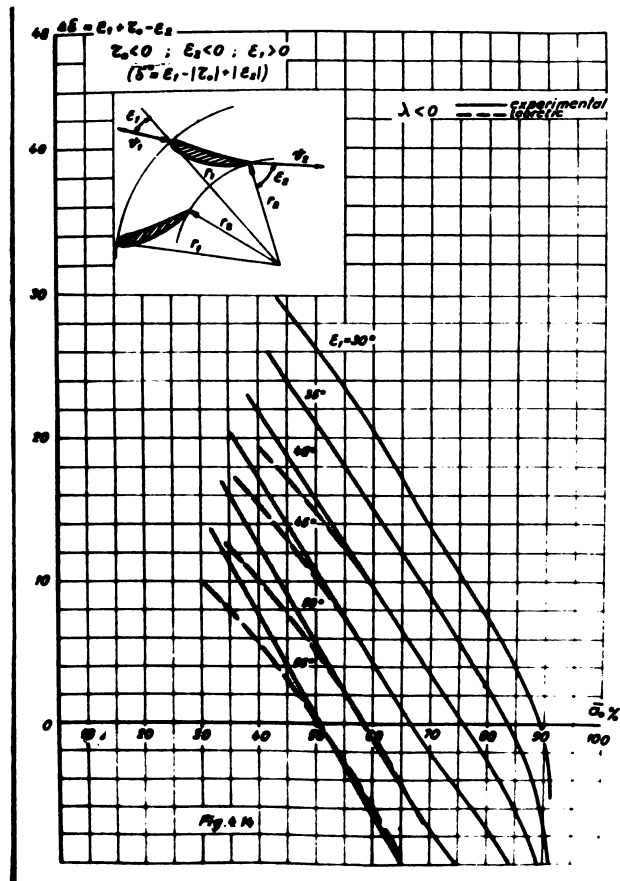
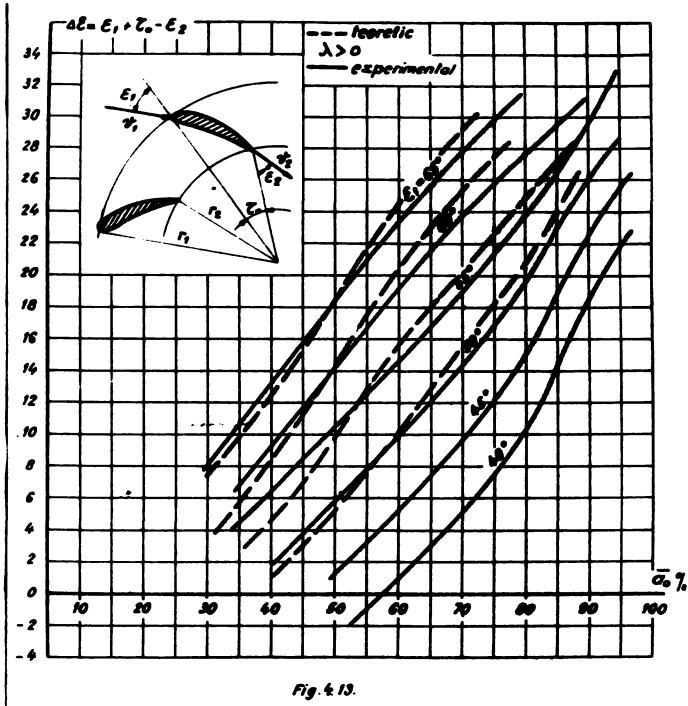
$$a_{0max} \quad Q_{0max} = \frac{\pi D_{2min}}{N} \quad (4.1)$$

s-a obținut deschiderea relativă $\bar{a}_0 = \frac{a_0}{a_{0max}}$

Curba de variație a lui λ în funcție de deschidere relativă \bar{a}_0 s-a reprezentat în fig.4.12.

Rezultatul prelucrării datelor legate de unghiul de deviație al curentului pentru profile de curbură pozitivă, în funcție de deschiderea relativă \bar{a}_0 este ilustrat în fig.4.13. Deviația unghiulară crește cu deschiderea și este α : atât mai mare cu cât unghiul ε_1 este mai mare. În cazul profilului de curbură negativă efectul este invers (fig.4.14).

Coefficientul de deviație δ_{11} în funcție de \bar{a}_0 pentru profile de curbură pozitivă este reprezentat în fig.4.15. iar pentru



profile de curbura negativă, în fig.4.16. Din ambele figuri rezultă că odată cu deschiderea progresivă a aparatului director coeficientul de deviație δ_u crește. Profilul de curbura pozitivă asigură în zona deschiderilor mici coeficienți de deviație negativi, iar pentru deschideri mari valori pozitive pentru δ_u . Creșterea unghiului ε_1 deplasează curbele în zona coeficienților δ_u pozitivi, fig.4.15.

În cazul profilelor de curbura negativă, la aceeași tendință crescătoare a curbelor δ_u , valorile realizate sînt de semn negativ pe aproape întreg domeniul deschiderilor pînă în jurul valorilor $\bar{\alpha}_0 = 80 - 90\%$ de unde curbele intră în domeniul valorilor pozitive (fig.4.16).

În ansamblul lor, valorile δ_u pentru profile de curbura negativă sînt sensibil mai mari decît cele realizate de profilul de curbura pozitivă:

Coeficientul de pierdere ζ (fig.4.17) variază în funcție de deschiderea $\bar{\alpha}_0$ după curbe apropiate de o parabolă, deschiderea celor două ramuri sporind odată cu mărirea unghiului ε_1 . Zona optimă a pierderilor minime se deplasează spre deschiderile mai mari atunci cînd ε_1 se micșorează.

Pentru compararea rezultatelor cu datele din literatura de specialitate, se va analiza în continuare forma sub care se definesc alți autori, coeficienții de pierdere. Rauchmann /R.1/, Gutovski /G.7/ și alții stabilesc pierderile din aparatul director asimilînd cazul rețelei circulare, pe care acesta o reprezintă, cu o rețea plană de plăci, avînd pasul relativ egal cu pasul rețelei de aparat director măsurat de-a lungul diametrului de așezare al fusurilor D_a , raportat la lungimea profilului și considerînd mișcarea rețea paralelă în prezența rețelei de plăci. Se consideră componenta axială a vitezei în rețeaua de plăci v_z egală cu componenta radială a vitezei din planul rețelei circulare v_m :

$$v_z = v_m = \frac{Q}{\pi D_a b} \quad (4.2)$$

trecînd la mărimi dimensionale, se obține.

$$v_m = \frac{Q_{11} \sqrt{H}}{\pi \frac{b}{D_1} \frac{D_a}{D_1}} \quad (4.3)$$

Introducînd viteza de la infinit, ca medie a vitezelor asimptotice din rețeaua de plăci, v_∞

$$v_\infty = \frac{v_z}{\sin \beta_\infty} = \frac{Q_{11} \sqrt{H}}{\pi \frac{b}{D_1} \frac{D_a}{D_1} \sin \beta_\infty} \quad (4.4)$$

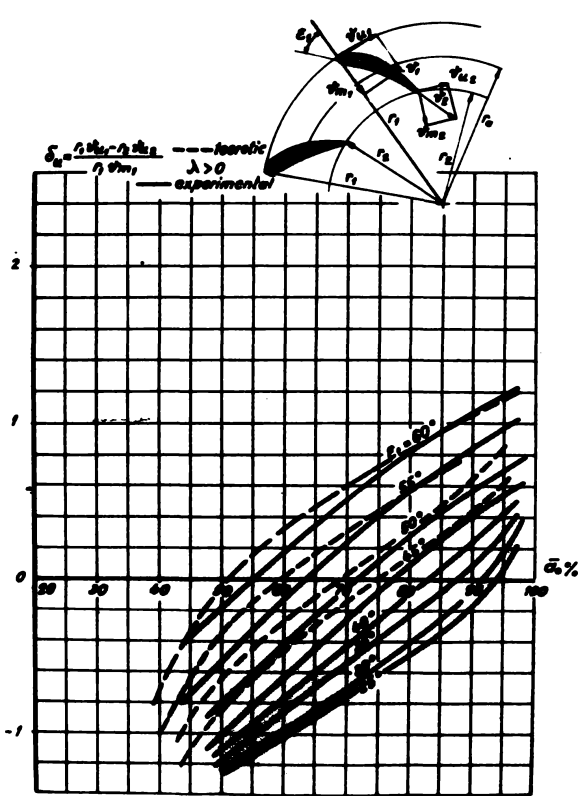


Fig. 4.18

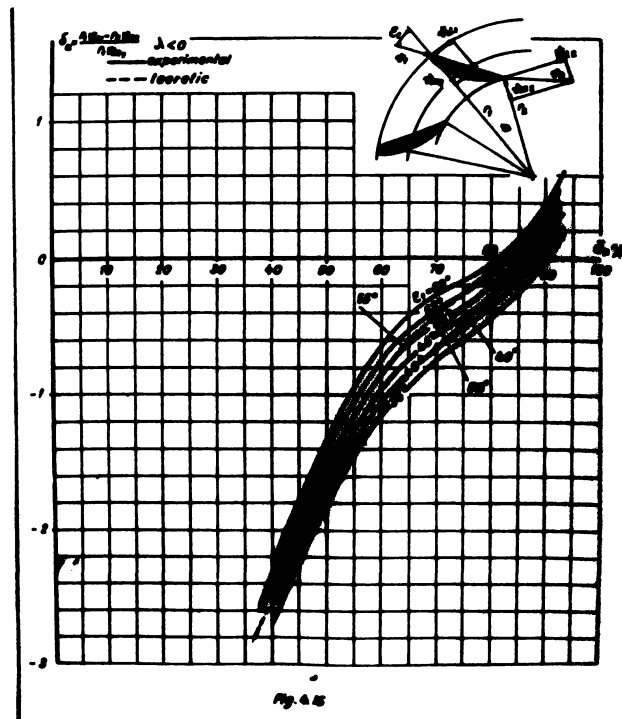


Fig. 4.19

se înlocuiește această expresie în formula care dă forța de rezis-

tență $R_x = C_x \rho \frac{W_{\infty}^2}{2}$ bl. Pe de altă parte, această forță poate fi exprimată prin intermediul pierderii de sarcină care apare $R_x = \zeta \Delta h \cdot t \cdot b \cdot \sin \beta_{\infty}$ și se obține

$$\frac{\Delta h}{H} = \frac{1}{2\pi^2 g} C_x \frac{L}{t} \frac{Q_{11}^2}{\left(\frac{b}{D_1}\right)^2 \left(\frac{D_a}{D_1}\right)^2 \sin^3 \beta_{\infty}} \quad (4.5)$$

ceea ce se mai poate scrie:

$$\frac{\Delta h}{H} = \zeta_R \frac{Q_{11}^2}{\left(\frac{b}{D_1}\right)^2 \left(\frac{D_a}{D_1}\right)^2} \quad (4.6)$$

sau

$$\zeta_R = \frac{\Delta h}{H} \frac{Q_{11}^2}{\left(\frac{b}{D_1}\right)^2 \left(\frac{D_a}{D_1}\right)^2} \quad (4.7)$$

Relația de legătură între acest coeficient (cu dimensiune) și coeficientul de pierdere ζ propus în relația (3.41) este:

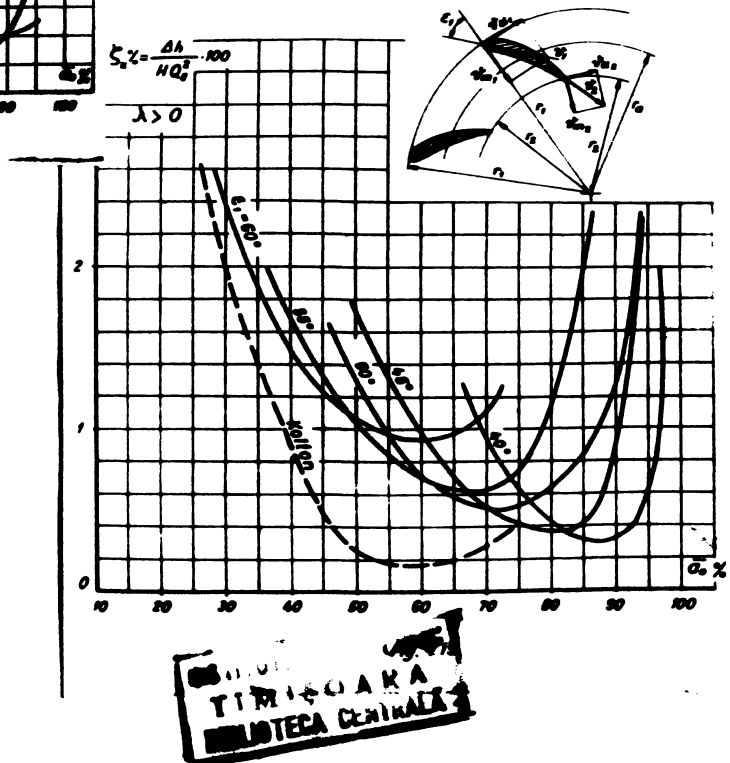
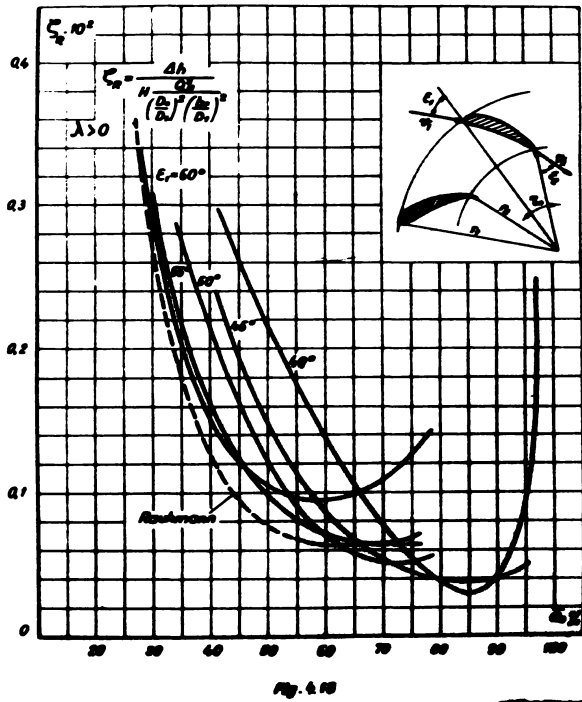
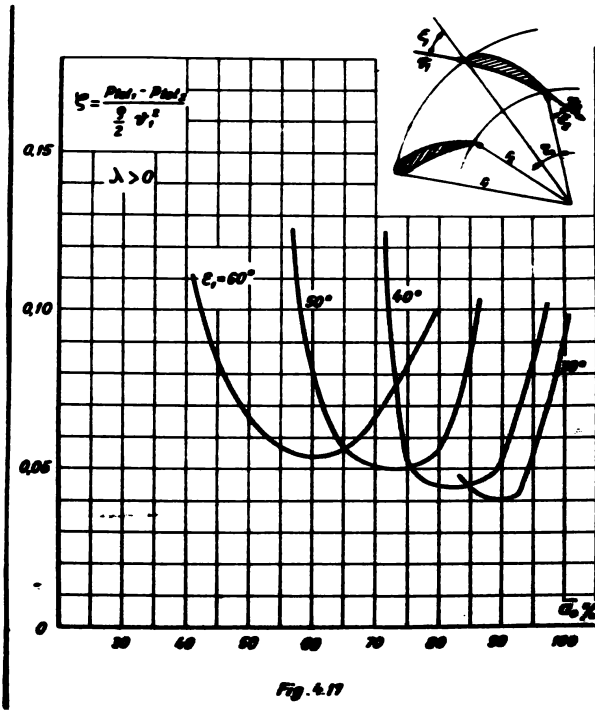
$$\zeta_R = \frac{1}{8\pi^2 g} \frac{D_a^2}{r_1^2 \cos^2 \epsilon_1} \zeta \quad (4.8)$$

Pe baza acestei relații de legătură au fost prelucrate rezultatele măsurătorilor din stațiunea de rețea LMH-I și comparate în fig. 4.18 cu curbe indicate de Rauchmann /R.1/.

Coeficienții de acțiune C_{pyr} și C_{pyr} definiți prin relațiile (3.48) și (3.49) s-au reprezentat în fig. 4.20 și 4.21 în funcție de deschiderea aparatului director. Pentru profilele de curbură pozitivă, valorile acestor coeficienți sînt inferioare celor care apar în condiții similare în cazuri profilelor de curbură negativă și descrește în ambele cazuri odată cu mărirea valorii unghiului ϵ_1 . În fig. 4.20 s-a trasat pentru compararea rezultatelor și curba de variație indicată de Kolten și Etinberg /R.9/.

Din ambele grafice rezultă că odată cu creșterea unghiului ϵ_1 , deschiderea pentru care se realizează valoarea $C_{pyr} = 0$ se deplasează spre deschiderile mici.

Variația, cu deschiderea a coeficientului momentului hidraulic C_{Mh} pentru $\epsilon_2 = 60^\circ, 50^\circ, 40^\circ$ este reprezentată în fig. 4.22, 4.23, 4.24. S-au suprapus în aceste grafice rezultatele obținute la $n = 0,025$ și $n = 0,05$. Se observă că acest parametru geometric are o influență directă asupra valorii C_{Mh} , în special în zona deschiderilor mici. La valori negative ale lui n , se asigură o pronunțată tendință de închidere a paletelor aparatului director în poziția închisă complet. Această tendință este atenuată de micșo-



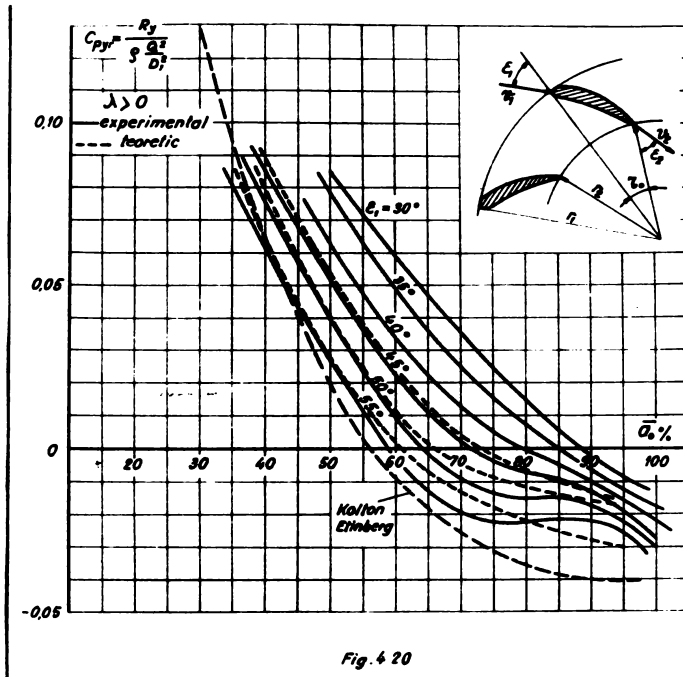


Fig. 4.20

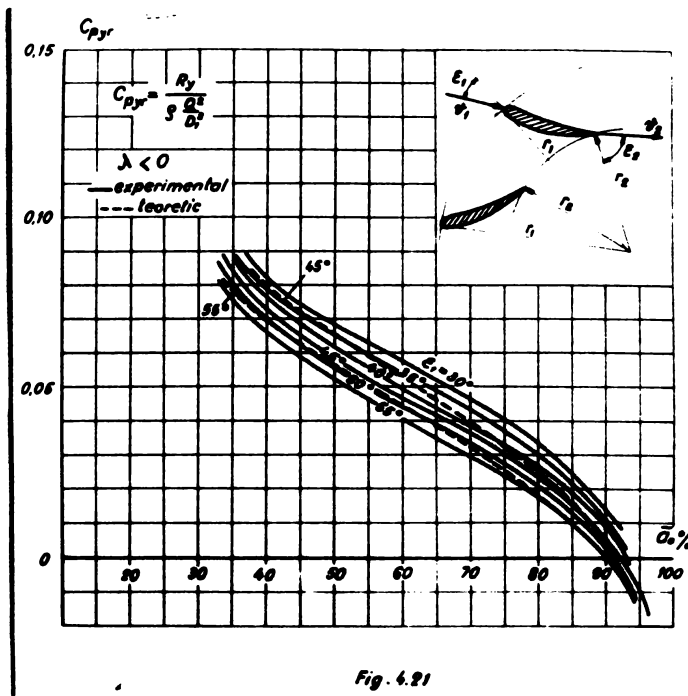


Fig. 4.21

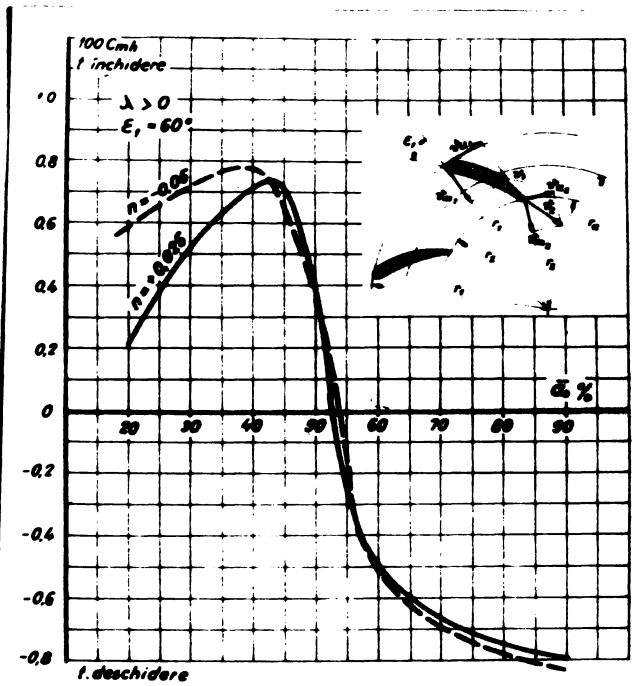


Fig. 4.22

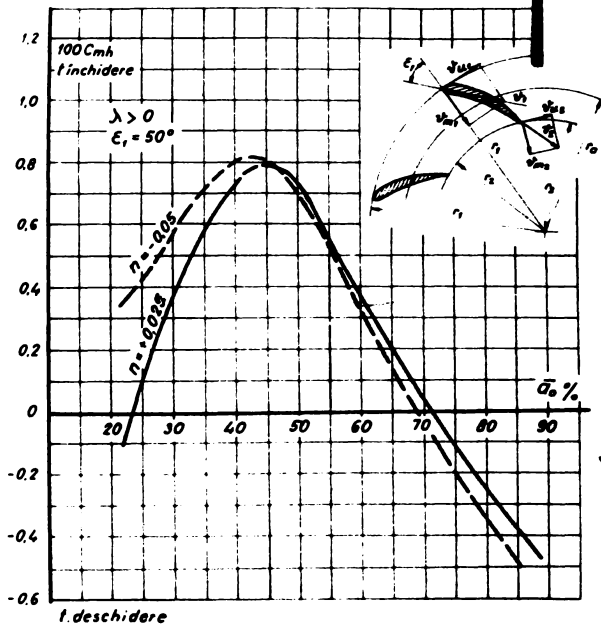


Fig. 4.23

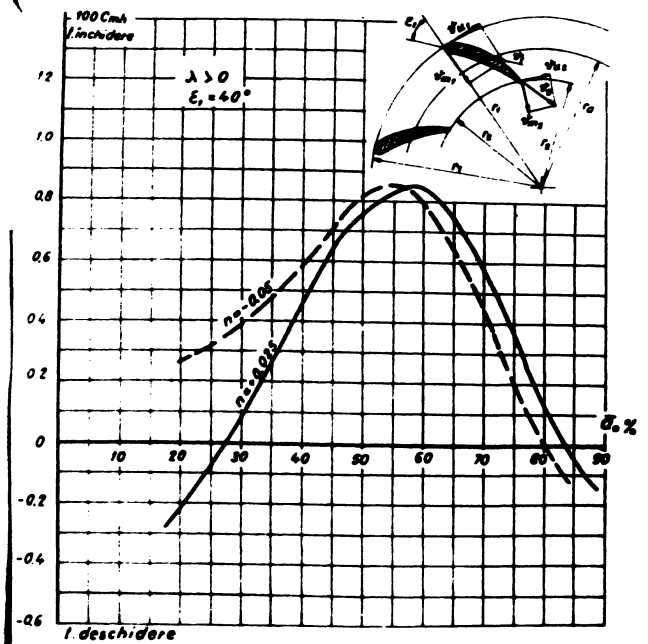


Fig. 4.24

rarea valorii lui ϵ_1 . Pentru valori ale lui $\epsilon_1 = 40^\circ$ la $n = 0,05$ în poziția închis complet, paletetele prezintă tendință de închidere, iar la $n = 0,025$ au la poziția închis complet, tendință de închidere. Avantajul relației (3.66) este că permite determinarea prin calcul a acestei curbe importante pentru funcționarea aparatului director, la orice valori ale parametrilor geometrice, dând astfel posibilitatea alegerii din câteva variante a parametrilor optimi atât din punct de vedere energetic cât și al condițiilor de reglare.

4.3. Diagrama universală a rețelei circulare.

Determinarea caracteristicilor energetice ale unei rețele de profile are drept scop, în ultimă instanță, cunoașterea compoziției rețelei în diverse regimuri de funcționare, ceea ce este necesar în proiectarea aparatului director sau a rotorului mașinii hidraulice. Cunoscând performanțele rețelei la diferiți parametri geometrice și cinematiți, se pot alege în proiectare rețele optime din punct de vedere hidrodinamic, adică acele rețele care realizează deviația necesară a curentului, la pierderi hidrodinamice minime.

Pornind de la acest deziderat, s-a căutat o formă de prezentare a ansamblului caracteristicilor energetice într-o formă sintetică, asemănătoare reprezentării curbelor de funcționare ale unei turbine sau pompe, sub forma diagramelor universale.

V. Anton propune în teza de doctorat a Domniei Sale /A.11/ o reprezentare complexă a curbelor caracteristice pentru rețelele rectilinii: într-un sistem de coordonate având în abscisă unghiul curentului de la intrare și în ordonată coeficientul de deviație al curentului, s-au reprezentat curbele de egal coeficient de pierdere de egal coeficient de portanță și de egal coeficient de forță tangențială, peste care s-au suprapus și curbele de egal coeficient de cavitație.

Acest mod de reprezentare oferă pentru valori parametrice ale pasului relativ al rețelei, valoarea coeficientului pierderilor hidraulice corespunzătoare unui anumit coeficient de deviație a curentului, pentru condiții date ale unghiului de instalare și ale unghiului curentului de la intrare. În același timp diagrama oferă o informație rapidă asupra condițiilor optime de funcționare ale rețelei.

Preluând pentru rețelele circulare acest tip de reprezentare, s-a obținut "diagrama universală" a rețelei circulare studiate (fig.4.25).

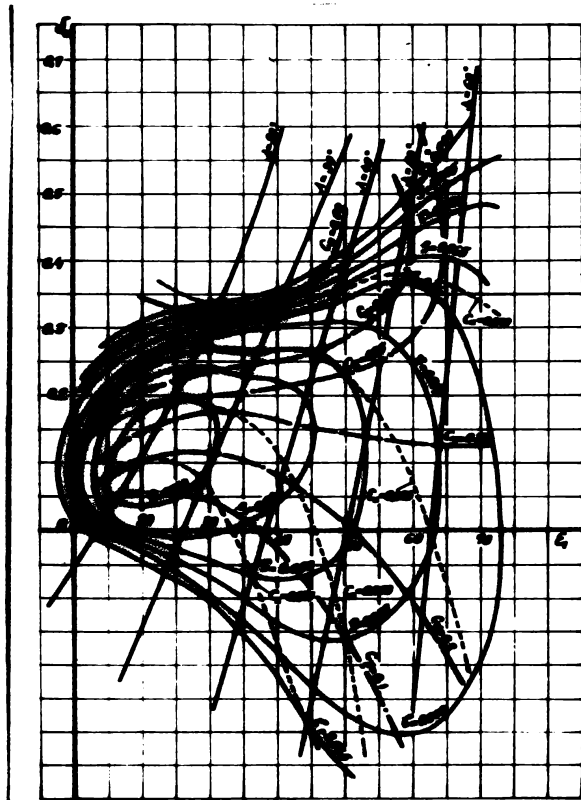


Diagrama unificată a rețelei circulare făcând din profile
Clasă 38 cu pasul $t_2 = 4,800$

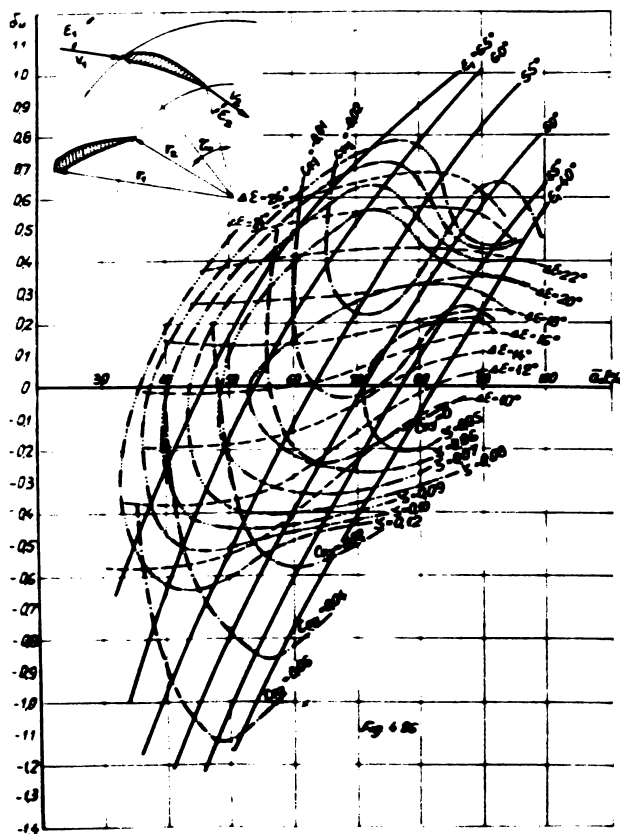


Fig. 6.26

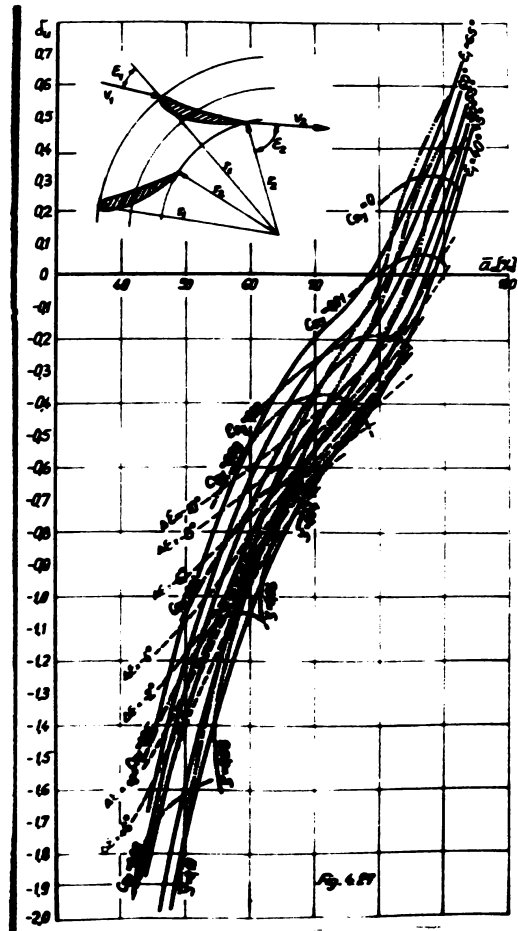


Fig. 6.27

Caracteristica universală a aparatului director format din profile de curbură pozitivă și negativă, s-a reprezentat în fig. 4.26 și 4.27. Obținute prin același procedeu de suprapunere a curbelor de egal ζ , C_{xy} și ΔE peste curbele de variație a lui δ_u ca și în cazul diagramei universale ale rețelelor prezentate anterior, curbele caracteristice universale au în abscisă deschiderea relativă a aparatului director.

Aceste diagrame au avantajul de a furniza informații complete privind performanțele aparatului director, de-a lungul întregii sale deschideri, de la valori foarte mici până la deschiderea completă.

Se observă că în cazul profilelor de curbură pozitivă, domeniul optim de funcționare se plasează în zona deschiderilor cuprinse între 75 - 85 %, domeniu în care pentru valori ale lui $\varepsilon_1 = 40^\circ - 55^\circ$ pierderile hidraulice rămân inferioare valorii $\zeta = 0,056$ iar coeficienții de acțiune C_{xy} au valori mici, ceea ce este convenabil din punct de vedere al reglării. Coeficienții de deviație au în această zonă valori pozitive, justificate de faptul că rețeaua formată din profile de curbură pozitivă are un efect de frinare asupra curentului din aparatul director, asigurând însă o bună conducere a curentului, cu pierderi hidraulice mici.

Pentru aparatul director format din profile de curbură negativă, domeniul optim de funcționare se amplasează în zona coeficienților de deviație negativi, acest tip de aparat director avind un puternic efect de accelerare a curentului, circulația curentului de la ieșire din rețea atinge valori superioare celei de la intrare. Această caracteristică face ca tipul de aparat director cu profile de curbură negativă să fie utilizat în special în cazul turbinelor în cameră deschisă;

Concluzii la Cap. IV.

Caracteristicile energetice ale rețelei circulare sînt date de curbele de variație a coeficienților de deviație, de pierdere, de acțiune a fluidului asupra rețelei, a deviației unghiulare a curentului, în funcție de direcția curentului de la intrare, la valori parametrice ale unghiului de instalare respectiv ale deschiderii.

Se remarcă faptul că atât pentru profilele de curbură pozitivă cît și pentru cele de curbură negativă, curbele de variație a coeficientului deviației unghiulare au o alură crescătoare atît timp cît unghiul curentului de la intrare crește. Curbele de varia-

ție a pierderilor prezintă două ramuri în zona coeficienților de pierdere mari, racordate printr-o zonă de minim, corespunzătoare curgerii în jurul profilului, fără desprinderi ale curentului. Coeficienții de acțiune cresc proporțional cu unghiul curentului de la intrare pînă la o valoare maximă, după care datorită apariției desprinderii de pe extradadosul profilului, curba începe să descrească.

Apariția desprinderilor duce și la scăderea coeficientului de deviație a curentului.

Coeficienții de moment variază după o curbă crescătoare pînă la o valoare maximă, după care încep să descrească. Valorile coeficienților de acțiune și de moment realizați de rețeaua cu profile de curbură pozitivă sînt inferioare celor obținute pentru curbura negativă.

Caracteristicile de funcționare ale rețelelor circulare de aparat director sînt date de variația coeficienților caracteristici în funcție de deschiderea aparatului director, la valori parametrice ale unghiului curentului de la intrare.

Pentru profilul de curbură pozitivă deviațiile unghiulare și coeficientul de deviație cresc continuu odată cu închiderea aparatului director, în timp ce coeficienții de acțiune descreșc. Curba coeficienților de pierdere prezintă cele două ramuri specifice desprinderii curentului de pe extradados respectiv intrados, pentru care pierderile sînt foarte mari și o zonă mediană în care pierderile sînt minime.

Pentru profile de curbură negativă, coeficienții de deviație au semn negativ și sînt sensibil mai mari în valoare absolută decît la profilul de curbură pozitivă, la fel ca și coeficienții de acțiune.

Pierderile la ambele cazuri de profile sînt de același ordin de mărime, ceva mai mici în cazul curburii negative și variază după curbe asemănătoare.

Coeficienții momentului hidraulic variază odată cu deschiderea progresivă a aparatului director, de la valori pozitive determinînd o tendință de închidere la deschiderile mici, descreșc și schimbă de semn prezentînd în continuare tendința de deschidere. Valoarea absolută a coeficienților de moment poate fi modificată prin variația corespunzătoare a unghiului curentului de la intrare și a excentricității profilului.

Organizarea rezultatelor obținute sub forma diagramelor universale furnizează informații complete privind performanțele de funcționare ale aparatului director în situația deschiderii lui progresive, atunci cînd curentul este orientat sub diverse unghiuri

la intrare:

Diagrama universală a rețelei formate din profile de curbă negativă justifică utilizarea lor pentru aparate directoare ale turbinelor de turajie specifică mică - turbine Francis de cădere mare și debit mic. Acest tip de rețea asigură deviații mari ale curentului și componente tangențiale mari ale vitezei la intrarea în rotor, introducând însă desavantajul valorilor mari ale coeficientului momentului hidraulic, ceea ce îngustează domeniul lor de utilizare în cazul turbinelor de putere mare. Domeniul optim al deschiderii paletelor se situează între 65 și 75 % din deschiderea maximă, domeniu care asigură coeficienți de pierdere reduși și componente tangențiale mari ale vitezelor la ieșire din aparatul director. Condițiile cele mai avantajoase de funcționare sunt atinse pentru viteze de intrare orientate sub unghiuri între 30° și 40° față de direcția radială.

Diagrama universală a rețelei formate din profile de curbă pozitivă indică domeniul optim de deschideri între 75 și 85 % din deschiderea maximă. Valori ale unghiului vitezei de la intrare chiar mai mari de 50° asigură în acest caz coeficienți de deviație pozitivi și coeficienți reduși ai forțelor ce apar pe paletă. Cu cât camera spirală orientează curentul la intrare sub un unghi mai mare cu atât domeniul optim se deplasează spre zona deschiderilor mai mici.

CAPITOLUL V.

CARACTERISTICILE CAVITATIONALE ALE REȚELOR

CIRCULARE.

Tendința actuală de creștere a turațiilor în scopul realizării unor construcții compacte, de gabarite reduse și puteri mari, impune măsuri de siguranță din punct de vedere al pericolului apariției cavității în funcționarea mașinii hidraulice.

În discutarea problemelor legate de fenomenul de cavitație este necesară elaborarea unor indici care să constituie mărimi cantitative ale condițiilor dinamice ale mișcării. Condițiile pe care trebuie să le satisfacă un asemenea parametru sînt /K.6/:

- asigurarea unei valori unice pentru fiecare set de condiții de cavitație similare din punct de vedere dinamic;

- descrierea condițiilor de mișcare în raport cu cele în care cavitația este absentă, incipientă sau de stadiu avansat.

Variabilele principale care afectează incipiența și caracterul cavității în lichidele în mișcare sînt: geometria conturului, presiunea absolută, viteza mișcării și presiunea critică, la care se poate forma sau menține bula cavitațională. Pe lângă acestea, un rol important îl dețin proprietățile lichidului, substanțele lichide sau gazease conținute în lichid, condițiile suprafeței, dimensiunea fizică a geometriei conturului, etc. Evident, toate aceste efecte nu pot fi cuprinse în definiția parametrului de cavitație. S-a convenit de aceea utilizarea unui parametru de bază, format pentru condiții de similitudine elementară, apreciindu-se efectul celorlalți parametri ca abateri de la parametrul de bază. Pentru mișcarea în prezența unui corp imers, se poate scrie expresia coeficientului de depresiune într-un punct de pe conturul corpului, în funcție de presiunea p_1 și viteza v_1 a curentului neporturbat :

$$-C_p = \frac{p_1 - p_M}{\frac{\rho}{2} v_1^2} \quad (5.1)$$

unde ρ este masa specifică a lichidului. Într-un anumit punct de pe contur presiunea va fi minimă, astfel încît:

$$(-C_p)_{\min} = \frac{p_1 - p_{\min}}{\rho/2 v_1^2} \quad (5.2)$$

În absența cavitației, această valoare va depinde numai de forma corpului. Prin creșterea continuă a lui v_1 sau scăderea lui p_1 , presiunea minimă poate ajunge la presiunea din interiorul bulei cavitaționale. Dacă se notează p_b această presiune, se poate obține parametrul de cavitație sub forma:

$$K_b = \frac{p_1 - p_b}{\rho/2 v_1^2} \quad (5.3)$$

Dacă se admite că fenomenul de cavitație apare atunci cînd tensiunile normale într-un punct din lichid se reduc la zero, p_b va fi egal cu presiunea de vaporizare și se obține :

$$K = \frac{p_1 - p_v}{\rho/2 v_1^2} \quad (5.4)$$

Trebuie accentuat că acest parametru K este un parametru limitat și nu o măsură a similitudinii dinamice complete. Parametrul K poate fi utilizat pentru a lega condițiile mișcării de posibilitatea apariției cavitației, ca și de gradul stadiilor de cavitație. Pentru orice sistem, presiunea bulelor potențiale sau existente este fixă (p_b sau p_v), parametrul K_b sau K putînd fi calculat în întreg domeniul valorilor vitezelor v_1 și al presiunilor de referință p_1 . Pe de altă parte, pentru orice grad de cavitație de la incipientă pînă la stadiile avansate, parametrul are o valoare caracteristică. Ajustînd condițiile de curgere astfel ca valoarea lui K să fie egală, mai mică sau mai mare decît cea corespunzătoare incipientei, se poate stabili întregul domeniu de posibilități; de la mișcarea fără cavitație pînă la cavitația avansată:

Expresia (5.4) a coeficientului de cavitație este valabilă pentru orice corp imers, în speță și pentru profilul izolat:

În cazul rețelilor plane de profile, coeficientul de cavitație se definește cu ajutorul parametrilor de la infinit al mișcării: p_∞ respectiv w_∞ . Exprîmînd presiunea minimă pe profil sub forma:

$$\frac{p_{\min} - p_v}{\rho/2 w_\infty^2} = \frac{p_\infty - p_v}{\rho/2 w_\infty^2} - \frac{p_\infty - p_{\min}}{\rho/2 w_\infty^2} \quad (5.5)$$

se separă coeficientul de cavitație caracteristic instalației în care este dispusă rețeaua, depinzând de presiunea dinainte de rețea:

$$\lambda = \frac{p_{ac} - p_{av}}{\rho/2 \cdot w_{av}^2} \quad (5.6)$$

și coeficientul caracteristic al rețelei de profile, depinzând de distribuția de presiuni pe conturul profilului:

$$k_{pmax} = \frac{p_{ac} - p_{min}}{\rho/2 \cdot w_{av}^2} \quad (5.7)$$

În momentul apariției fenomenului de cavitație $p_{min} = p_v$ de unde rezultă egalitatea coeficienților de cavitație λ și k_{pmax} în cazul incipienței cavitației. Funcționarea fără cavitație presupune $p_{min} > p_v$ deci și $\lambda > k_{pmax}$, iar cavitația avansată $\lambda < k_{pmax}$.

Pentru una și aceeași rețea k_{pmax} noi poate fi definit în funcție de elementele de la intrarea în rețea sau ieșirea din rețea, luând valori diferite.

Coeficientul k_{pmax} depinde de geometria rețelei, a profilului în rețea, de unghiul curentului de la intrare și de natura fluidului.

Pentru determinarea coeficientului de cavitație k_{pmax} se pot aplica diferite metode teoretice sau experimentale.

Școala tinigrocă de mașini hidraulice a adus o importantă contribuție în determinarea analitică a coeficientului de cavitație, la profilul izolat și la rețele de profile, prin seria de lucrări /B.1/, /B.3/, /B.4/, /A.10/, /P.3/ și /P.4/. Pornind de la accepțiunea că în momentul incipienței fenomenului de cavitație punctelor de minim ale distribuției de presiuni pe conturul profilului le vor corespunde maxime ale distribuției de viteze, s-a determinat valorile acestor maxime, respectiv coeficientul k_{pmax} în funcție de abscisa relativă a punctului curent de pe contur și de unghiul curentului de la intrare. Rezultatele obținute s-au comparat cu cele determinate în tunele hidrodinamice. Din studiile întreprinse asupra unor rețele de turbini formate din profile NACA 8410 /A.9/ s-a determinat analitic influența unghiului de instalare asupra caracteristicilor de cavitație ale rețelei (fig.5.1).

Studiile experimentale pentru stabilirea caracteristicilor de cavitație ale rețelelor de profile, au fost întreprinse abia după cel de-al doilea război mondial, un rol de seamă deținându-l școala japoneză a Universității Tohoku, de sub conducerea Prof. F. Nunachi.

În tunelul hidrodinamic, în care este montată rețeaua de profile, se scade treptat presiunea pînă la apariția fenomenului

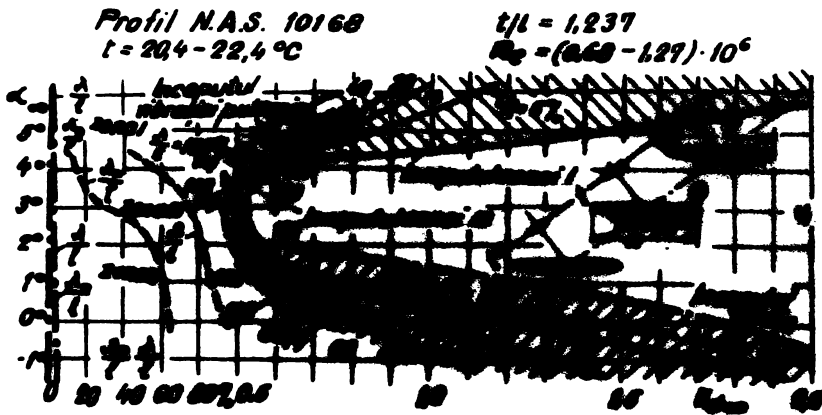
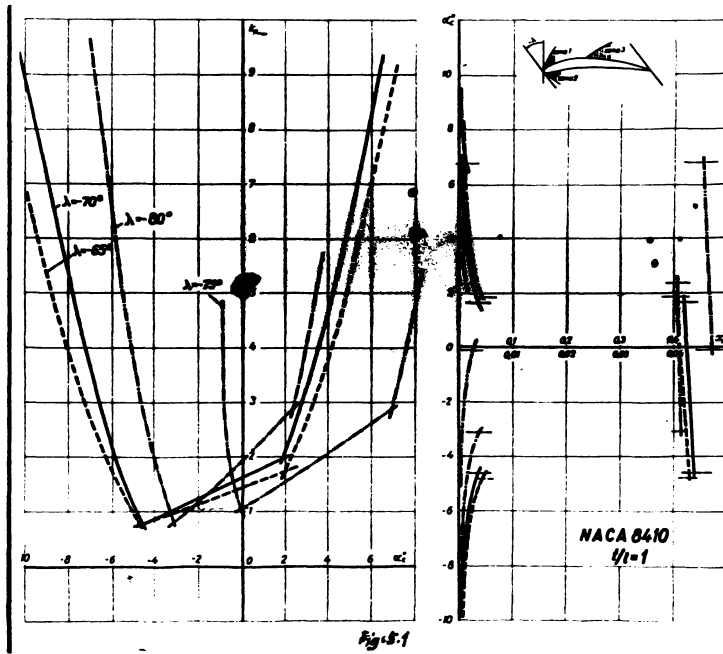
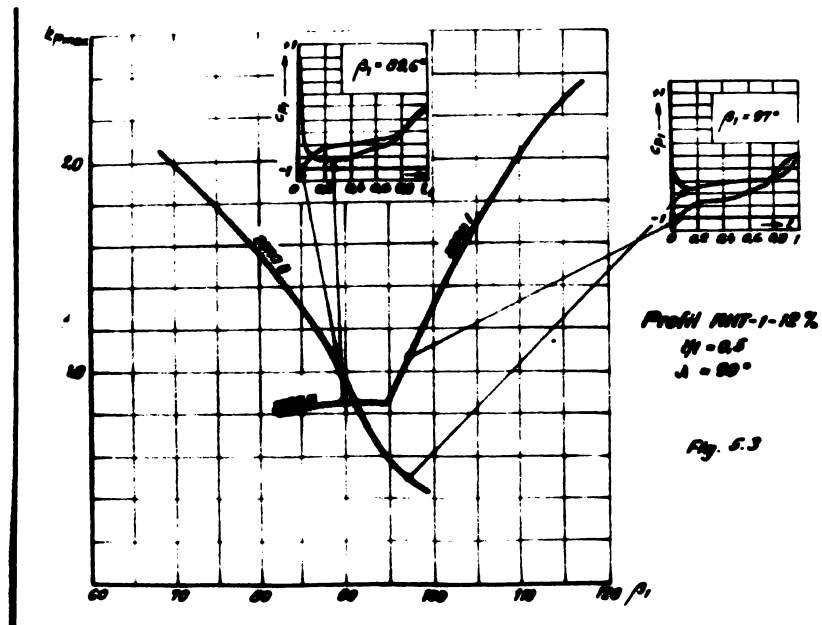


Fig. 5.2.



de cavitație pe profil, evidențiată prin vizualizare, al cărei efect constă în scăderea masei a coeficientului de portanță. Utilizând ca măsură a fenomenului coeficientul de cavitație al curentului (instalației) notat

$$K_{d\infty} = \frac{p_{\infty} - p_v}{\rho/2 W_{\infty}^2} \quad (5.8)$$

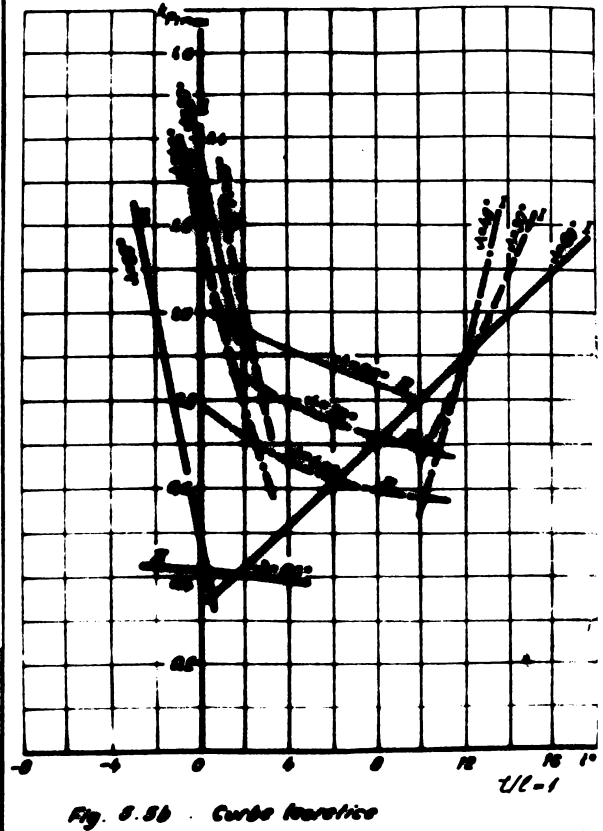
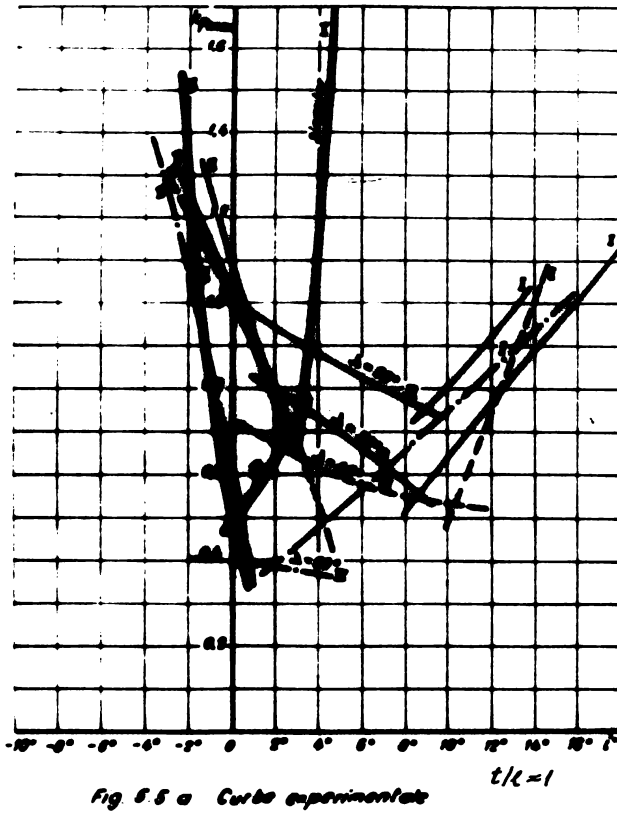
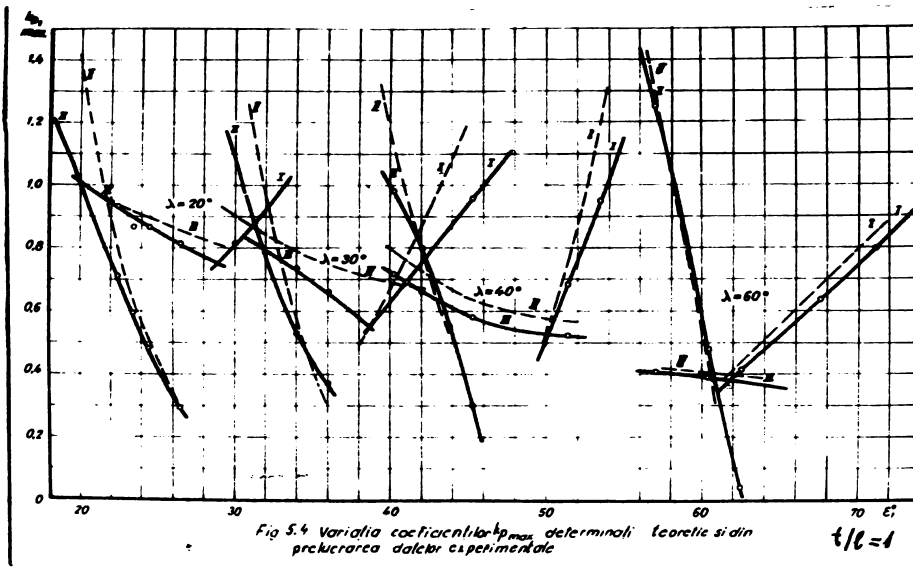
care corespunde coeficientului λ dat în (5.6) și care în momentul incipienței este egal cu K_{pmax} (5.7) s-au putut reprezenta curbile de sensibilitate la cavitație, având în abscisă coeficientul $K_{d\infty}$ iar în ordonată unghiul de incidență al curentului (fig. 5.2).

Din analiza graficului de variație al acestui coeficient, se remarcă următoarele zone caracteristice din punct de vedere al apariției fenomenului de cavitație, zone care apar și în cazul profilului izolat:

- ramura I a curbei, specifică incidențelor pozitive mari, pentru care cavitația apare pe extradusul bordului de atac;
- ramura II, specifică incidențelor negative, pentru care cavitația apare pe intradosul bordului de atac;
- ramura III, specifică incidențelor mici pozitive și negative pentru care cavitația apare în treimea mijlocie a extradosului.

Studiile experimentale desfășurate în tunelul hidrodinamic al laboratorului de mașini hidraulice, au permis determinarea curbelor caracteristice de cavitație pentru o nouă rețea de profile elaborată în cadrul laboratorului, rețeaua HII-1-12%, pentru care se regăsesc zonele specifice menționate.

În ultimul timp s-a dovedit că determinarea curbelor de sensibilitate la cavitație se poate face și pe baza rezultatelor obținute în încercarea rețelelor de profile în tunele aerodinamice. Astăzi, V. Anton în teza sa de doctorat /A.11/ propune o nouă metodă, mult mai avantajoasă din punct de vedere experimental, cunoscută fiind dificultatea efectuării încercărilor în tunel hidrodinamic: pornind de la distribuția coeficienților de presiune pe conturul profilului la diferite valori ale unghiului curentului de la intrare, se selecționează valorile de minim ale coeficientului de presiune și locul apariției lor pe profil, obținând astfel curbile $K_{pmax} = f(i)$ corespunzătoare incipienței fenomenului de cavitație. (fig. 5.3).



Preluând acest mod de prelucrare a rezultatelor și în cazul rețelei circulare studiate în aer, s-au obținut în lucrarea de față pentru diferite valori ale unghiului de instalare al rețelei, curbele $k_{pmax} = f(\xi_1)$ reprezentate în graficul din fig.5.4.

Pentru evidențierea influenței unghiului de instalare asupra curbelor de sensibilitate la cavitație s-au reprezentat în fig.5.5 curbele $k_{pmax} = f(i)$. Din analiza fig.(5.4) și (5.5) se observă că în cazul rețelelor circulare curbele de sensibilitate la cavitație evidențiază cele trei ramuri caracteristice locului incipienței cavitației în funcție de valoarea unghiului de incidență a curentului. Modificarea alurii curbelor în funcție de unghiul de instalare, respectiv de deschiderea relativă, duce la următoarele concluzii privind influența acestui parametru geometric al rețelei:

- La creșterea unghiului de instalare, ramura I și II a curbei suferă o tendință de rotire în sens orar, mai accentuată pentru ramura I, ceea ce duce la lărgirea domeniului de funcționare fără cavitație.

- Ramura III suferă o rotire în sens trigonometric la creșterea lui λ și coboară la valori mai mici înbuștățind caracteristica de funcționare necavitațională.

- Odată cu creșterea unghiului de instalare, ramura I are tendința de a acoperi ramura III, maximele coeficientului de presiune rămânând în zona bordului de atac. Rezultă deci că punctul de incipiență al fenomenului de cavitație avansează de-a lungul extradosului din porțiunea mediană spre bordul de atac, odată cu creșterea lui λ .

- Pe măsură ce unghiul de instalare crește - deci la închiderea aparatului director, curbele de sensibilitate la cavitație se deplasează spre dreapta sistemului de reprezentare în zona incidentelor mari.

Comparând rezultatele obținute pentru profilul funcționând în rețea circulară pe aparat director de turbină cu cele obținute pentru profilul izolat, se remarcă lărgirea domeniului de funcționare necavitațională prin dispunerea profilului în rețea, prin deplasarea ramurii I a curbelor în zona incidentelor pozitive mari, panta lor fiind în același timp sensibil mai mică decât în cazul profilului izolat.

Concluzii la Cap.V.

Si în cazul rețelei circulare se poate aplica în studierea fenomenului de cavitație principiul separării efectului factorilor caracteristici instalației în care este dispusă rețeaua, de factorii caracteristici rețelei de profile, determinați de distribuția de presiuni pe conturul profilului.

La determinarea coeficientului de cavitație k_{pmax} al rețelei, se pot aplica metode teoretice și experimentale. Rezultatele experimentale se pot obține prin încercarea rețelei în tunelul special hidrodynamic, sau prin prelucrarea corespunzătoare a rezultatelor măsurate în tunelul aerodinamic.

Aplicând această ultimă cale, s-au putut determina curbele de sensibilitate la cavitație ale rețelei, care la fel ca și în cazul profilului izolat sau în rețeaua dreaptă, prezintă cele trei ramuri caracteristice.

Comparând rezultatele obținute cu cele ale profilului izolat, se remarcă lărgirea domeniului de funcționare fără cavitație prin dispunerea în rețeaua circulară. Deasemenea, din considerarea rezultatelor obținute pentru diverse grade de deschidere, rezultă că la deschiderea aparatului director curbele de sensibilitate la cavitație se deplasează spre zona incidentelor mari, lărgind în același timp domeniul de funcționare necavitațional.

CAPITOLUL VI.

INFLUENȚA PARAMETRIILOR GEOMETRICI AI REȚELEI CIRCULARE ASUPRA CARACTERISTICILOR ENERGETICE.

Parametrii geometrici care au fost luați în considerare sînt: unghiul de instalare al rețelei și numărul profilelor rețelei adică pasul unghiular.

Primul parametru care s-a studiat atât analitic cît și experimental, este unghiul de instalare în timp ce numărul profilelor a fost studiat numai analitic, neputîndu-se la momentul respectiv, realiza modificarea pasului unghiular în stațiunea experimentală.

6.1. Influența unghiului de instalare.

Unghiul de instalare al rețelei este un parametru a cărui modificare rezultă din însuși principiul de funcționare al aparatului director, care pe lângă rolul de orientare al curentului sub o anumită direcție la intrarea în rotor, mai reprezintă și un organ de variație a debitului.

Unghiurile de instalare studiate au fost: $\lambda = 20^\circ, 30^\circ, 40^\circ, 50^\circ, 60^\circ, -17^\circ 26', -29^\circ, -39^\circ 39', -51^\circ 7', -63^\circ 10'$; λ reprezintă, așa cum s-a definit în cap. III, unghiul pe care spirala logaritmică, ce trece prin bordul de atac și de fugă al profilului, îl face cu raza punctului curent.

Pentru a analiza influența unghiului de instalare, se consideră felul în care creșterea sa acționează asupra curbelor de variație a deviației unghiulare a curentului, ΔE , a coeficientului de deviație δ_u , a coeficienților de acțiune a curentului asupra profilului C_{yr} și C_{xr} și asupra coeficienților de pierdere ζ .

Din fig. 4.1 și 4.2 se observă că mărirea unghiului de instalare duce la creșterea unghiului de deviere a curentului, curbele corespunzătoare diferitelor valori ale lui λ ordonîndu-se

sub forma unui fascicol de drepte, care răsfr paralele stit timp cît se menține mișcarea fără desprinderi pe extradosul profilului.

În cazul coeficientului de deviație al curentului, se observă din fig. 4.3, 4.4, că mărirea unghiului de instalare sporește panta curbelor de dependență a coeficientului de deviație a curentului în funcție de incidența curentului.

Unghiul de instalare influențează și asupra pierderilor din rețeaua circulară. Curbele își mențin alura pentru diferite valori ale lui λ , dar se deplasează în zona valorilor ζ cu atât mai mari cu cît creșterea lui λ este mai mare (fig. 4.7, 4.8).

Creșterea unghiului de instalare influențează nefavorabil alura curbelor de variație a coeficienților de acțiune a curentului asupra profilului (fig. 4.5) pentru cazul cînd λ este pozitiv, ducînd la creșterea valorilor, cînd λ este negativ (fig. 4.6).

Comparînd rezultatele obținute în cazurile λ pozitiv și λ negativ, se observă că funcționarea rețelei la unghiuri de instalare negative îmbunătățește performanțele rețelei.

Caracterul accelerat al mișcării în prezența aparatului director poate fi accentuat sau atenuat în funcție de tipul de rețea utilizată în construcția sa: funcționarea unei rețele circulare la unghiuri de instalare pozitive, respectiv cu profile de curbură pozitivă, are ca urmare un efect de frînare exercitată de către rețea asupra curentului. Această frînare suprapusă peste curentul accelerat care parcurge aparatul director, favorizează apariția desprinderilor de pe extradosul profilului, ceea ce duce la alăturarea performanțelor energetice ale rețelei. În același timp, deviațiile realizate sînt mici chiar înaintea apariției desprinderilor.

În cazul în care rețeaua este instalată la unghiuri negative, adică este formată din profile de curbură negativă, rețeaua însăși exercită un efect de accelerare asupra curentului fluid și drept urmare desprinderile sînt întîrziate. Performanțele realizate de rețeaua acceleratoare sînt superioare cazului precedent.

În condițiile optime de funcționare pentru ambele cazuri pierderile hidraulice la trecerea prin rețea sînt comparabile.

6.2. Influența pasului unghiular al rețelei.

Al doilea parametru geometric mobilizat - pasul unghiular sau numărul profilelor rețelei - a permis următoarele concluzii relative la efectul său asupra performanțelor energetice ale rețelei:
Curbele de distribuție a coeficientului de presiune

(figura 2.16 - 2.17) prezintă pe raza corespunzătoare intradosului, un maxim în apropierea bordului de atac, cu atât mai pronunțat cu cât numărul de profile este mai mare. Pe raza de pe extradós apare de asemenea un maxim, care se atenuează însă cu creșterea numărului de profile. Aria închisă de cele două ramuri ale curbei se micșorează cu creșterea numărului de profile, ceea ce duce la micșorarea valorii coeficientului de acțiune a curentului asupra profilului la rețeaua mai deasă.

Deviația unghiulară a curentului își menține dependența aproape liniară de incidența curentului, panta curbei micșorându-se odată cu mărirea profilelor (fig. 2.24). La fel se comportă curbele de variație a coeficientului de deviație (fig. 2.27) în concordanță cu faptul că o rețea deasă conduce mai bine curentul decât o rețea rară.

În concluzie, rezultă că mărirea numărului de profile al rețelei sporește deviația curentului în prezența rețelei și micșorează coeficientul de acțiune a curentului asupra profilului.

6.3. Influența unghiului ε_1 al vitezei curentului de la intrare.

Prelucrarea rezultatelor sub forma caracteristicilor universale ale aparatului director, permite și depistarea influenței pe care direcția curentului de la intrare, determinată de orientarea elementelor de la ieșirea din camera spicală o are asupra performanțelor de funcționare ale aparatului director.

În cazul aparatului director format din profile de curbura pozitivă, în zona deschiderilor aferente domeniului uzual de funcționare, menținerea unghiului ε_1 între 35° și 57° asigură pierderi minime, deviațiile unghiulare sînt cuprinse între 12° și 24° iar coeficienții C_{xy} rămîn inferiori în modul valorii 0,02.

Coefficienții de deviație variază în funcție de gradul de deschidere între $\delta_u = -0,4$ pînă la 0,6 fiind cu atât mai mari cu cât ε_1 este mai mare (fig. 4.26).

Unghiurile $\varepsilon_1 = 40^\circ$ asigură momente hidraulice care tind să închidă paletele aparatului director la valori $\bar{a}_0 = 60 - 80\%$. Atunci cînd ε_1 se mărește la valori apropiate de $\varepsilon_1 = 60^\circ$, la celelalte valori ale lui \bar{a}_0 momentele radiale determinate pe palete o tendință de deschidere a aparatului director. Creșterea lui ε_1 are ca efect atât mărirea momentului hidraulic cu tendință de deschidere din domeniul deschiderilor de funcționare ale aparatului director, cât și mărirea momentelor radiale cu tendință de închidere în zona locului pilonului.

Ansamblul valorilor realizate în acest domeniu de deschideri corespunde condițiilor de la intrarea în rotorii de tip Francis de turaj specific mijlocie, unde turbina fiind echipată cu cameră spirală, curentul intră în aparatul director sub un unghi cuprins între 55° și 58° /M.3/, ceea ce asigură pe paletele aparatului director la deschiderea nominală, forțe de acțiune mici și momente hidraulice mici.

În cazul aparatului director format din profile de curbură negativă, a cărui zonă optimă de funcționare se găsește în domeniul coeficienților de deviație δ_u negativi, intervalul de valori avantajoase ale lui ϵ_1 se mențin sub valoarea de 55° . Creșterea lui ϵ_1 peste această valoare, atrage după sine mărirea considerabilă a pierderilor hidraulice și scăderea coeficienților δ_u realizați la deschidere constantă. (fig. 4.27)

La deschidere constantă micșorarea lui ϵ_1 are ca urmare sporirea coeficienților C_{Hy} și a celor de moment C_{Mh} (fig. 4.27).

Această tendință explică folosirea aparatului director format din profile de curbură negativă pentru rotor de tip Francis în cameră deschisă, unde rolul său este în special acela de a crea componenta rotațională a curentului la intrarea în rotor, scop pentru care acest tip de aparat director este mult mai potrivit decât cel format din profile de curbură pozitivă. Coeficienții relativ mari de moment și de acțiune a curentului, specifici aparatului director cu profile de curbură negativă, nu duc totuși la momente hidraulice și forțe prea mari dat fiind că puterile aferente turbinelor în cameră deschisă sînt scăzute.

La turbinele Francis de turaj specific joasă, pentru care se mai utilizează aceste aparate director, unghiul ϵ_1 la intrarea în aparatul director se plasează în jurul valorilor apropiate de 60° . La acest unghi se realizează în bune condiții devierea curentului la deschiderea nominală de 60 - 80 %, cu pierderi hidraulice mici și coeficienți de deviație cuprinși între $\delta_u = -0,6$ - $-0,2$.

6.3. Influența unghiului de intrare în rotorul Francis asupra pierderilor hidraulice și a coeficienților de deviație.

În scopul de a determina valoarea optimă a unghiului de intrare în rotorul Francis, s-a considerat că cel mai bun caz este ideal - incompresibil și fără vîscozitate -. În aceste condiții acceptarea acestor ipoteze se poate face numai atunci la cele mai mici valori de deschidere

reală, dar atunci cînd trebuie calculate forțele de rezistență la înaintare, luarea în considerare a forțelor de frecare devine inevitabilă. Spre deosebire de fluidul ideal, în fluidele reale apar forțe de frecare între diferitele straturi ale fluidului, precum și de-a lungul suprafețelor de contact cu pereții solizi, ceea ce face ca pe lângă forțele normale să apară și forțe de frecare sau tangențiale, care se datoresc viscozității fluidului.

În cazul fluidului ideal, vitezele sînt tangente la suprafața de contact dintre fluid și un corp imers, rezultînd un efect de "conducere" a fluidului de-a lungul peretelui. În cazul real apar de-a lungul suprafețelor de contact forțe tangențiale, care fac ca fluidul să "adere" la suprafața solidă /S.6/.

Din condiția respectării similitudinii dinamice pentru două mișcări cinematice asemenea, rezultă că în puncte oarecace, trebuie ca în fiecare moment forțele ce acționează asupra elementelor de volum să se găsească în același raport. Forțele preponderante în desfășurarea fenomenului mișcării în prezența rețelei circulare, în cazul fluidului incompresibil în mișcare staționară, sînt forțele de inerție și cele de frecare.

Pentru a stabili criteriul dominant al fenomenului, se poate apela la considerente dimensionale. Conform principiilor analizei dimensionale, orice lege fizică trebuie astfel exprimată încît să fie independentă de sistemul de unități ales; pentru mișcarea determinată de mărimile caracteristice: viteza V , lungimea caracteristică l , masa specifică ρ și viscozitatea μ , trebuie să existe deci o combinație dimensională a acestor mărimi, de forma:

$$V^\alpha l^\beta \rho^\gamma \mu^\delta$$

Mărimea rezultantă generalitatea a rezultatului se poate considera $\alpha = 1$ și încă relația de forma: $V l^\beta \rho^\gamma \mu^\delta$.

Dacă F este simbolul forței, L simbolul lunginii și T al timpului condiția de nul sus, deci există, satisface relația:

$$V l^\beta \rho^\gamma \mu^\delta = F^0 L^0 T^0$$

sau

$$V l^\beta \rho^\gamma \mu^\delta = \frac{L}{T} L^\beta \left(\frac{FT^2}{L^4} \right)^\gamma \left(\frac{FT}{L^2} \right)^\delta = F^0 L^0 T^0$$

Din egalarea exponenților și rezolvarea sistemului omogen rezultă soluția $\beta = 1$, $\gamma = 1$, $\delta = -1$. Deci unica combinație dimensională a mărimilor V, l, ρ, μ , este:

$$\frac{\rho V l}{\mu} = Re$$

Aceste considerații se pot extinde în continuare, dacă se analizează câmpul de viteză și forțele ce apar în cazul mișcării

în condițiile similitudinii geometrice, dar la diferite valori ale criteriului R_e .

Fie punctul determinat prin coordonatele x, y, z sau α -dimensional $x/l, y/l, z/l$ iar componentele de viteză v_x, v_y, v_z în formă adimensională $v_x/V, v_y/V, v_z/V$. Componentele normale și tangențiale ale tensiunii se exprimă adimensional prin raportarea lor la sarcina dinamică: $p/\rho V^2, \tau/\rho V^2$. Condiția similitudinii dinamice se poate pune și sub forma ca în cele două sisteme asemenea, pentru numere R_e egale, mărimile adimensionale $v_x/V, v_y/V, v_z/V$ să depindă numai de coordonatele adimensionale $x/l, y/l, z/l$. Dacă cele două sisteme respectă numai similitudinea geometrică, dar nu și cea dinamică, deci dacă criteriile lor R_e sînt diferite, atunci mărimile de mai sus depind și de mărimile caracteristice V, l, ρ, μ , ale ambelor sisteme. Conform principiului analizei dimensionale, care cere ca o lege fizică să fie independentă de sistemul de unități ales, rezultă că mărimile adimensionale $v_x/V, v_y/V, v_z/V, p/\rho V^2, \tau/\rho V^2$, pot depinde numai de combinația adimensională a mărimilor V, l, ρ, μ . Singura lor combinație adimensională este însă criteriul R_e . Rezultă deci, pentru cele două sisteme analizate, geometric asemenea, ale căror numere R_e diferă, că mărimile adimensionale ale mișcării depind numai de coordonatele adimensionale $x/l, y/l, z/l$ și de numărul R_e .

Pe baza acestei observații se poate trage o importantă concluzie privind acțiunea fluidului asupra unui corp imers. Această forță este rezultanta acțiunii unor componente normale și tangențiale la contur. Dacă se notează cu R această rezultantă, sau în formă adimensională $R/\rho l^2 V^2$, respectiv dacă A este aria secțiunii caracteristice, $P/\rho g V^2$, conform celor stabilite, acest coeficient adimensional, care reprezintă integrala lui $p/\rho V^2$ și $\tau/\rho V^2$ de-a lungul suprafeței corpului, depinde pentru sistemul geometric asemenea numai de R_e . Coeficienții pentru portanță C_y și de rezistență C_x vor avea deci expresia:

$$C_y = \frac{P_y}{\frac{\rho}{2} V^2 A} \quad C_x = \frac{P_x}{\frac{\rho}{2} V^2 A}$$

Cele de mai sus duc la concluzia că C_y și C_x la sisteme geometric asemenea, în condițiile unor viteze orientate identic, depind numai de mărimea criteriului Reynolds:

$$C_y = f_1(R_e) \quad C_x = f_2(R_e)$$

Această concluzie rămîne valabilă atîcî timp cît fluidul este incompresibil, în caz contrar intervin alți criterii Froude și Mach.

Stabilirea pe cale teoretică a acestor funcții este aproape imposibilă /3.6/.

În cazul contactelor, problema mișcării în condițiile lui R_0 variabil a fost foarte bine studiată pentru diferite condiții de rugozitate relativă, elucidându-se în cea mai mare măsură fenomenul și stabilindu-se relațiile matematice care-l descriu.

Studiul influenței criteriului R_0 asupra performanțelor rețelei rectilinii de profile este de dată mai recentă. Aici se înscriu lucrările mai multor cercetători ca K.Gersten /G.3, G.4/, E. Bahr /B.12/, K.Kraemer /K.12/ și alții, precum și sistematizarea rezultatelor efectuată de H.Schlichting /S.5/.

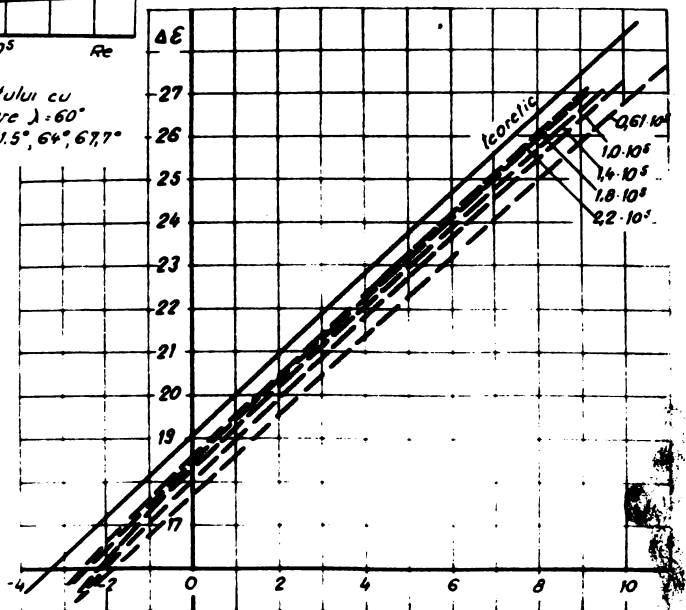
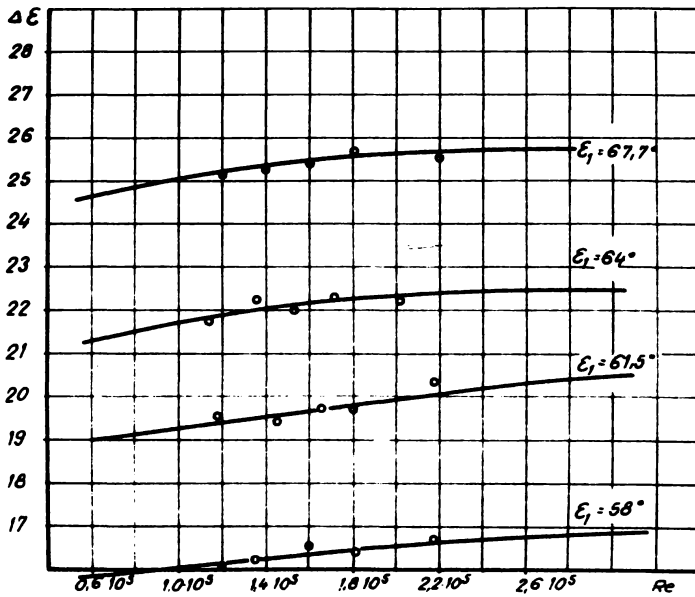
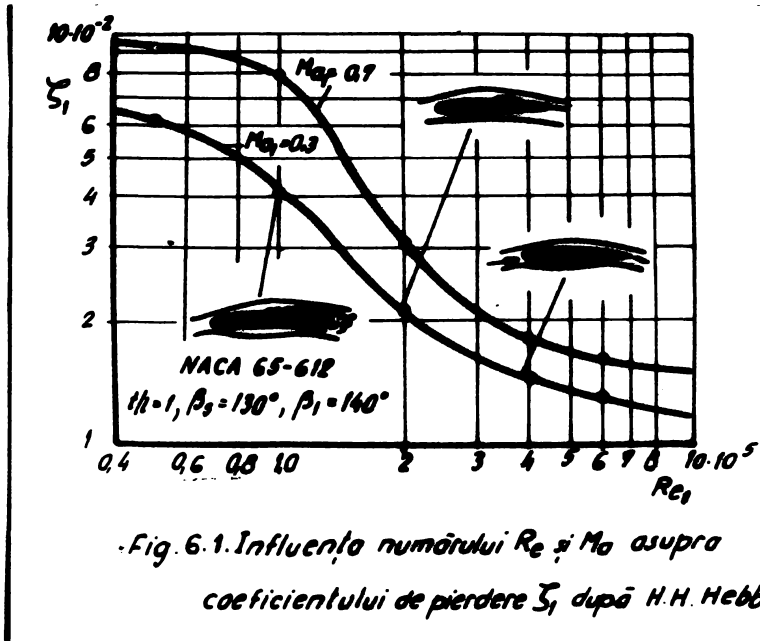
Studiile întreprinse de Gersten /G.3/ /G.4/ și Hebbel /H.1/ /H.2/ pe rețele de pompe, arată că influența relativ mare a numerelor R_0 și R_0' asupra curgerii prin rețeaua de profile se datorează modificărilor structurii mișcării în stratul limită. La numere R_0 mici, stratul limită laminar se desprinde din apropierea bordului de atac, ceea ce produce pierderi hidraulice mari (fig.6.1). În domeniul acestor desprinderi, în stratul limită laminar, la scăderea numărului R_0 punctul de desprindere se deplasează spre bordul de fugă. Explicația constă în aceea că datorită creșterii grosimii stratului limită laminar, odată cu micșorarea lui R_0 , se micșorează canalul dintre palete, iar prin aceasta mișcarea este accelerată avînd ca urmare întîrzierea desprinderii. Pierderile din acest domeniu sînt proporționale cu $R_0^{-1/2}$.

La creșterea numărului R_0 ($0,6 \cdot 10^5$) are loc în continuare desprinderea stratului limită laminar, care însă se reatașează iar mișcarea devine turbulentă.

La R_0 critic apare în apropierea bordului de fugă trecerea din strat limită laminar în turbulent. Pe măsură ce R_0 se mărește, punctul de reatașare avansează spre bordul de atac. Deși în general la creșterea lui R_0 pierderile se micșorează, poate apare în această zonă o creștere a pierderilor, întrucît odată cu apropierea punctului de trecere din strat limită laminar în strat limită turbulent de bordul de atac, stratul limită laminar se micșorează în favoarea celui turbulent, în care pierderile sînt sensibil mai mari.

La numere R_0 foarte mari ($\sim 4 \cdot 10^5$) regiuni turbulente se instalează în stratul limită imediat după bordul de atac, iar pierderile sînt proporționale cu $R_0^{-1/5}$.

Desprinderile curentului de pe extremitatea profilului influențază și deviația curentului $\Delta\theta$, care abia la valori ale numărului $R_0 > 2 \cdot 10^5$ devine independent de aceasta.



În scopul cercetării modului în care criteriul R_e influențează asupra caracteristicilor aerodinamice ale profilului în rețeaua circulară pe aparat director de turbină, s-au efectuat măsurători experimentale pentru rețeaua funcționând în aer la unghiul de instalare $\lambda = 60^\circ$. În stațiunea de rețele circulare I.I.I.I s-au realizat regimuri de încercare la R_e variabil, pentru diferite valori ale unghiului curențului de la intrare. Numerele R_e au fost cuprinse între $0,61 \cdot 10^5$ și $3,03 \cdot 10^5$.

Pe baza măsurilor primare s-au determinat deviațiile unghiulare ale curențului, coeficienții deviațiilor unghiulare, coeficienții de pierdere și coeficienții de presiune. S-au reprezentat în fig. 6.2 curbele de variație a deviației unghiulare $\Delta \varepsilon$ în funcție de mărimea criteriului R_e , la unghiuri de instalare și unghiuri ale curențului de la intrare constante. Curbele sînt ușor crescătoare, cu o tendință mai accentuată în domeniul valorilor $R_e < 2 \cdot 10^5$.

În fig. 6.3 s-au reprezentat curbele de variație în funcție de incidență a deviației unghiulare la valori parametrice ale numărului R_e , precum și valoarea teoretică a lui $\Delta \varepsilon$ determinată din calculele analitice prezentate în Cap. II. Pe măsură ce R_e crește, curbele deviației unghiulare determinate experimental tind să se apropie de valorile teoretice.

Concluzii asemănătoare se desprind și din analiza graficelor de variație a coeficienților deviației unghiulare reprezentate în fig. 6.4 și 6.5.

Curbele de variație a coeficienților de pierdere, reprezentate în fig. 6.6 pentru valori parametrice ale unghiului de instalare și ale unghiului vitezei de la intrare, descreșc odată cu creșterea valorii numărului R_e . În domeniul cuprins între $R_e = 0,6 \cdot 10^5$ și pînă la valoarea $1,9 \cdot 10^5$, tendința de descreștere este mai puțin accentuată iar peste $R_e = 2,8 \cdot 10^5$ pierderile rămîn mici și aproape constante.

Curbele de variație a coeficientului de pierdere în funcție de direcția curențului de la intrare, pentru valori parametrice ale lui R_e (fig. 6.7) se deplasează aproape paralel cu ele însele spre zona coeficienților mici de pierdere.

Verificarea schimbărilor din structura mișcării în stratul limită, la creșterea numărului R_e , se realizează și din observarea distribuției coeficienților de presiune pe conturul profilului.

Intrucît așa cum se menționează în literatura de specialitate [3.5, 3.6] depistarea analitică a influenței lui R_e este aproape imposibil de realizat, singura cale utilă în rezolvarea problemei rămîne efectuarea de încercări experimentale care să stabilească concret influența acestui criteriu al mișcării.

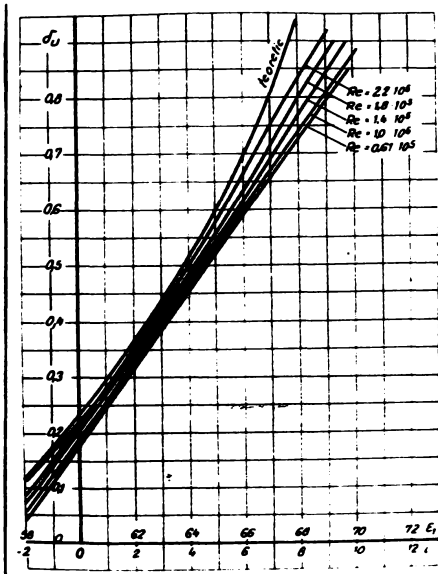


Fig. 6.4. Variația cu incidența a coeficientului de deviație a curentului pentru valori parametrice ale numărului Re .

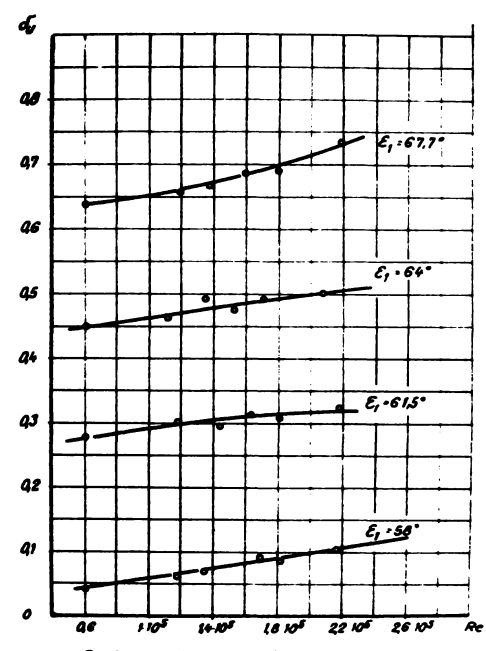


Fig. 6.5. Variația coeficientului de deviație a curentului în funcție de mărimea numărului Re la unghiul de instalare $\lambda = 60^\circ$ și direcția curentului de la intrare $E_1 = 58^\circ, 61.5^\circ, 64^\circ, 67.7^\circ$.

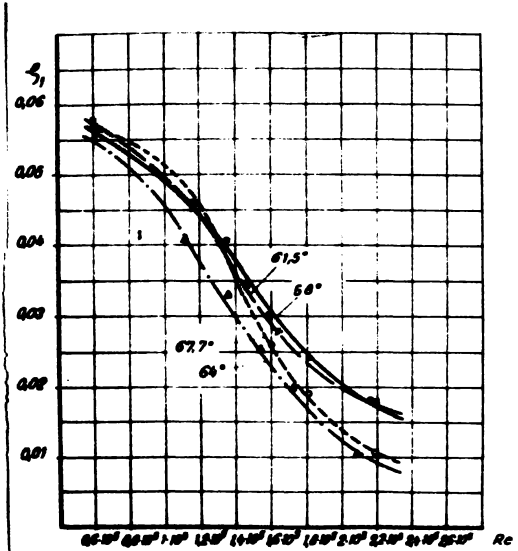


Fig. 6.6. Variația coeficientului de pierdere la trecerea prin rețea, în funcție de mărimea numărului Re , pentru $\lambda = 60^\circ$ și $E_1 = 58^\circ, 61.5^\circ, 64^\circ, 67.7^\circ$.

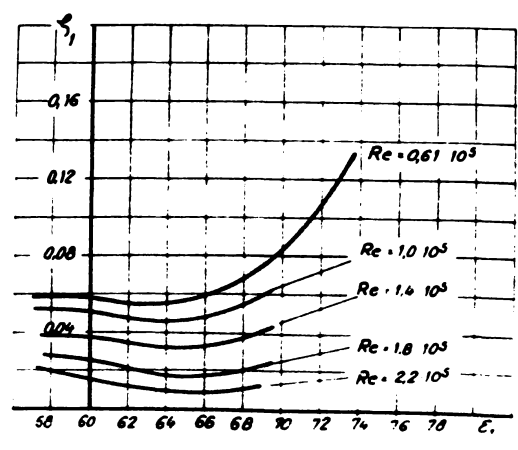


Fig. 6.7. Variația coeficientului de pierdere în funcție de direcția curentului de la intrare pentru valori parametrice ale numărului Re .

Concluzii la Cap.VI.

Cunoașterea influenței parametrilor geometrici și cinematici asupra caracteristicilor de funcționare ale aparatului director prezintă o deosebită importanță pentru proiectarea turbinei la randamente optime.

Micșorarea unghiului de instalare al rețelei respectiv mărirea deschiderii aparatului director duce la micșorarea pierderilor și creșterea coeficienților de acțiune dar și la micșorarea deviației unghiulare și a coeficientului de deviație al profilului în rețea.

Funcționarea rețelei la unghiuri de instalare negative, respectiv cu profile de curbură negativă duce la o scădere a pierderilor și la creșterea coeficientului de deviație, de acțiune și de moment, în comparație cu performanțele rețelei formate din profile de curbură pozitivă.

Micșorarea pasului unghiular, influențează în mod favorabil valorile deviației unghiulare și a coeficientului de deviație micșorând în același timp forțele ce acționează asupra profilului.

Unghiul curentului de la intrare, parametrul de legătură între camera spirală și aparatul director, are un rol hotărâtor pentru funcționarea aparatului director. Alegerea corectă a acestei valori condiționează variația în limitele necesare ale coeficienților caracteristici ai aparatului director în timpul procesului de reglare și asigurarea parametrilor necesari funcționării la randament optim, a întregii turbine în punctul de proiectare. Valorile optime ale acestui unghi diferă în funcție de curbura profilului: pentru profile de curbură pozitivă între 35° și 57° față de direcția radială iar pentru profile de curbură negativă între 40° și 55° .

Momentele hidraulice care apar pe paletă în timpul procesului de reglare și la deschiderea nominală depind deasemenea de unghiul vitezei de la intrare. Menținerea acestui unghi în jurul valorii de 40° față de direcția radială în cazul profilurilor de curbură pozitivă asigură extinderea tendinței de închidere a paletelor aparatului director, pe aproape întreg domeniul deschiderilor de funcționare.

Studiile întreprinse asupra influenței criteriului R_0 au arătat că pentru realizarea condițiilor de autoameliorare a fenomenului - condiții în care criteriul R_0 nu mai influențează rezultatele măsurate - este necesară asigurarea valorii $R_0 = 2,5 \cdot 10^5$.

CAPITOLUL VII

COMPARAREA REZULTATELOR TEORETICE ȘI EXPERIMENTALE.

Metoda analitică expusă în Cap. II permite calculul caracteristicilor aerodinamice ale rețelei circulare de profile în ipoteza fluidului ideal și a mișcării potențial-teoretice. Pentru stabilirea limitelor de aplicabilitate a metodei în cazul fluidului real, se impune compararea rezultatelor teoretice și experimentale.

S-au suprapus în fig. 7.1 curbele de variație a deviațiilor unghiulare ale curentului $\Delta \varepsilon$, determinate pe cale analitică și experimentală, pentru rețeaua formată din profile de curbură pozitivă. Se observă că există o bună concordanță a rezultatelor, iar curbele experimentale încep să se depărteze în mod simțitor de cele teoretice peste valori ale lui $i = 10^\circ$, când curentul se desprinde de pe extradosul profilului și prin aceasta nu mai îndeplinește una din ipotezele de bază ale calculului analitic - conturul profilului să fie linie de curent.

Urmările ac stui fenomen se manifestă și în cazul coeficientului de deviație a curentului d'_l (fig. 7.2) și al celui de portanță C_{yr} (fig. 7.3) când desprinderea curentului de pe extradosul profilului determină alterarea performanțelor rețelei.

^ confirmare a efectului deravantajos al desprinderilor. El constituie creșterea foarte accentuată a pierderilor în zona de desprindere evidențiată în fig. 4.7, 4.8.

Compararea rezultatelor obținute pe cale analitică și experimentală în cazul rețelei formate din profile de curbură negativă, duce la concluzia că în acest caz concordanța se menține pe un domeniu mai extins de valori ale unghiului curentului de la intrare. Astfel pentru toate deschiderile studiate deviația $\Delta \varepsilon$ a curentului, măsurată în aer, se menține apropiată de valoarea de calcul într-un interval al unghiurilor de la intrare de aproximativ 30° (fig. 7.4). Acelaș lucru se repetă și la curbele de variație a coeficienților d'_u și C_{yr} (fig. 7.5, 7.6).

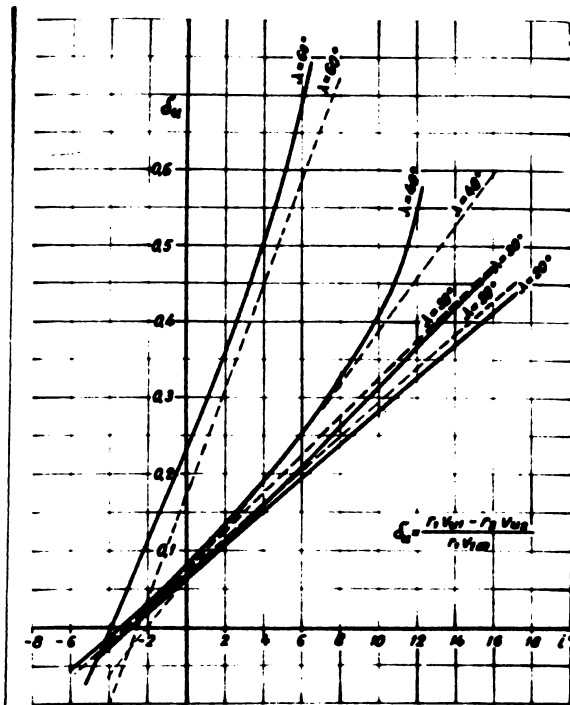
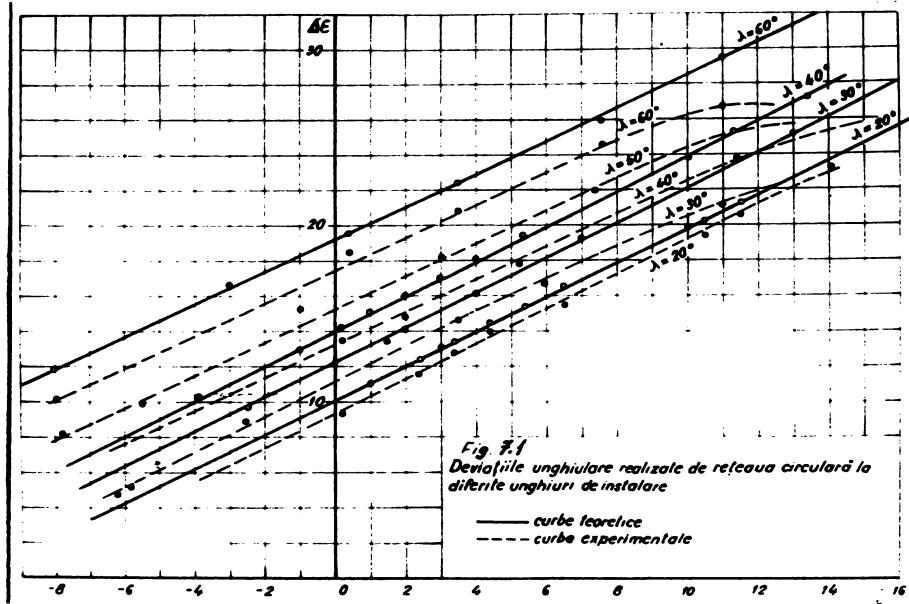


Fig. 7.2 Variația coeficientului de deviație a curentului la diferite unghiuri de instalare determinată pe cale teoretică și experimentală.

— curbe teoretice
 - - - curbe experimentale

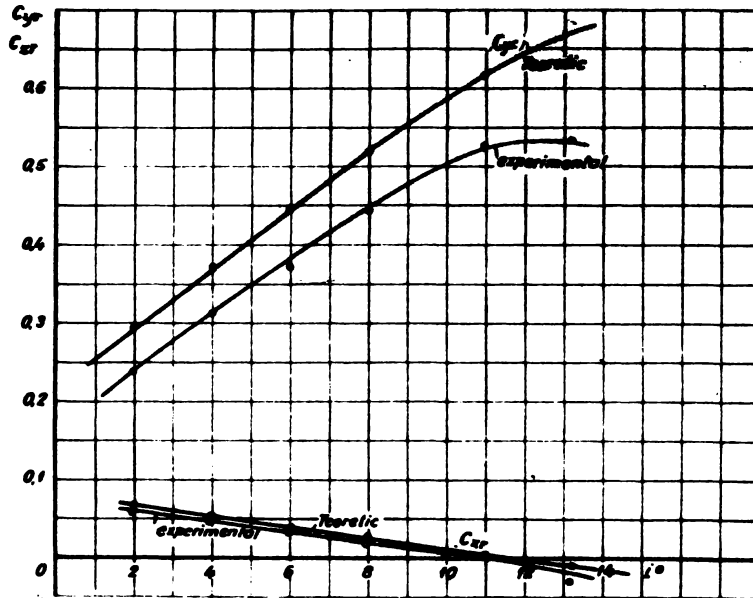
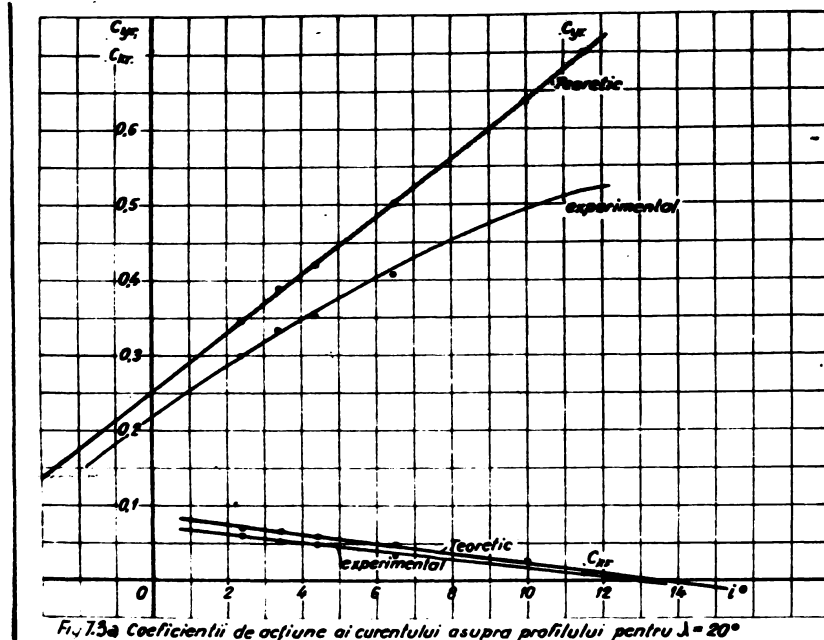


Fig. 7.3b Coeficientii de actiune ai curentului asupra profilului pentru $\lambda = 30^\circ$

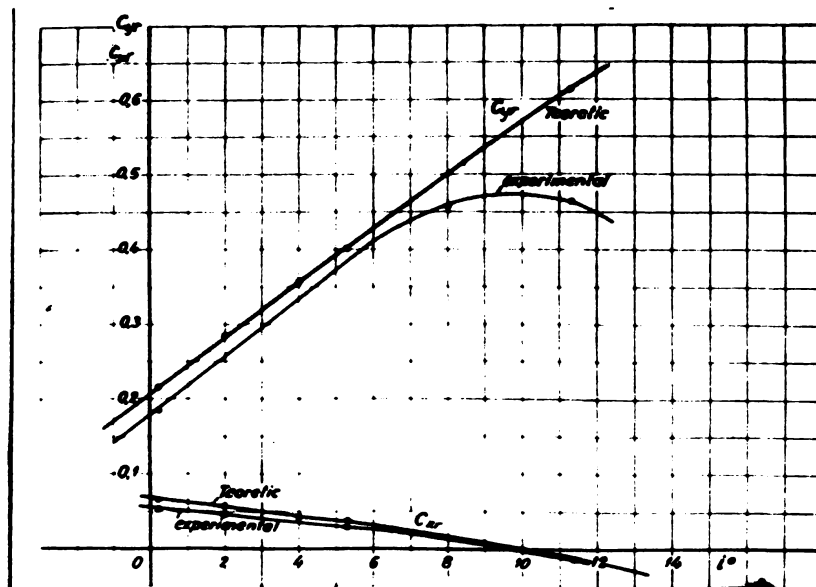


Fig. 7.3c Coeficientii de actiune ai curentului asupra profilului pentru $\lambda = 40^\circ$

TIMISOARA
BIBLIOTECA CENTRALA

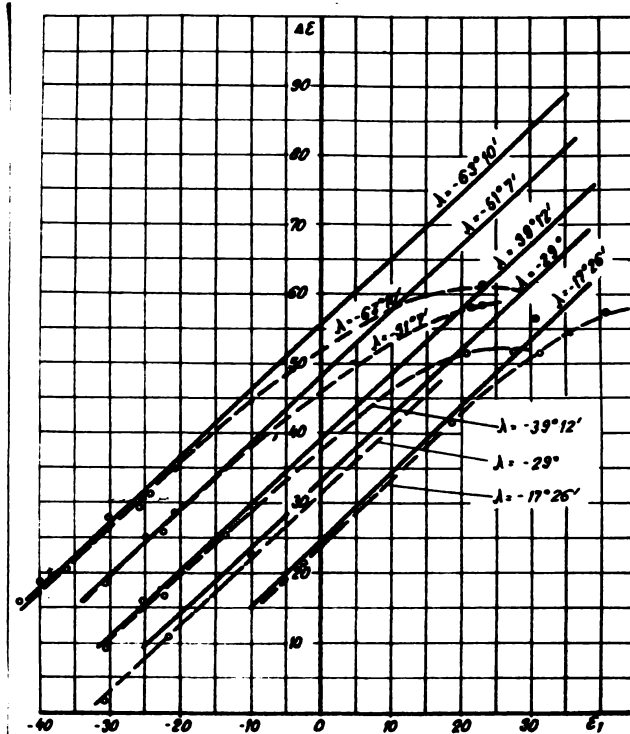


Fig. 4. Variația deviației unghiulare în funcție de direcția curentului de la intrare

— curbe teoretice
 - - - curbe experimentale

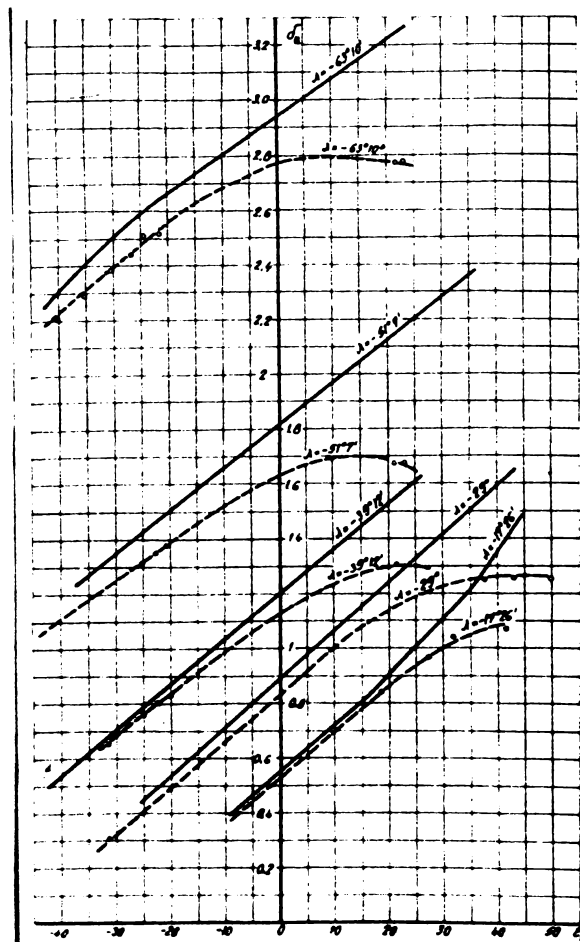


Fig. 5. Variația coeficientului de densitate a curentului în funcție de direcția curentului de la intrare

— curbe teoretice
 - - - curbe experimentale

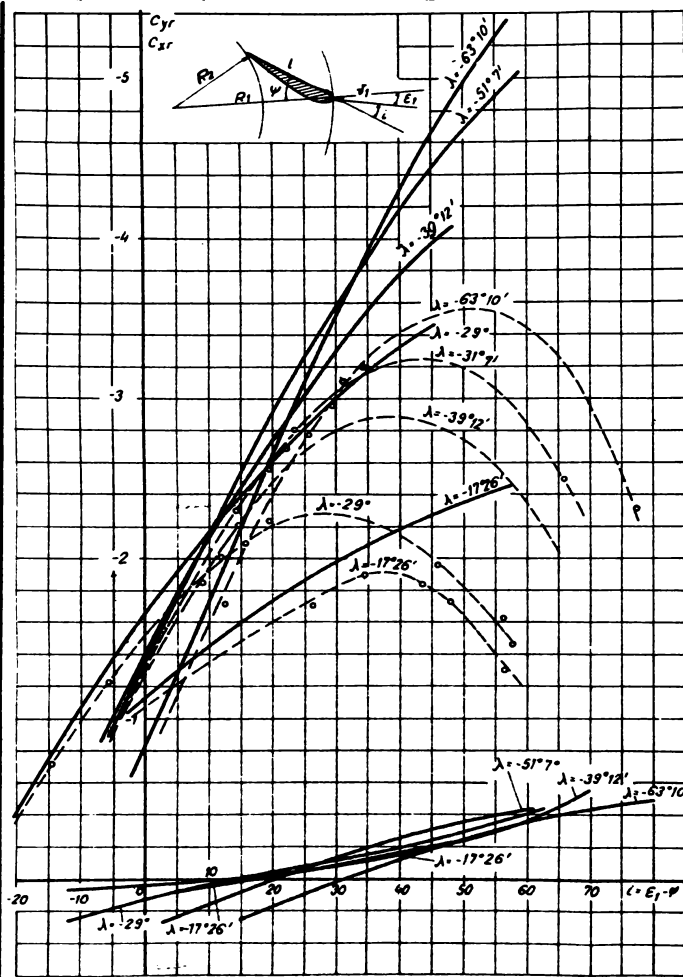


Fig 76 Variația coeficienților de acțiune ai curenților asupra profilului în funcție de incidența curenților
 ———— curbe teoretice
 - - - - - curbe experimentale

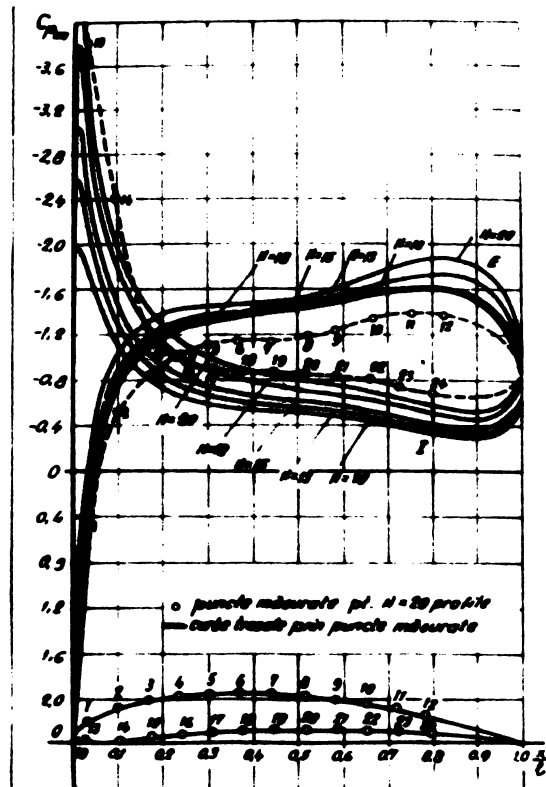


Fig 77. Variația curbelor de distribuție a coeficientului C_{pm} pentru $\lambda = 1000^{\circ}$ la rețeaua formată din $N=20, 18, 15, 13, 10$ profile pentru incidența $i = -3^{\circ}$

Explicația prelungirii domeniului de concordanță a rezultatelor teoretice și experimentale rezidă în efectul diferit pe care rețeaua formată din profile de curbură pozitivă și negativă îl are asupra mișcării accelerate din aparatul director.

Rețeaua formată din profile de curbură pozitivă induce o mișcare decelerată, care se compune cu mișcarea accelerată de bază având ca efect o frînare a particulelor, frînare ce favorizează apariția unei grabnice a desprinderilor de pe profil.

În al doilea caz din suprapunerea mișcării accelerate induse peste mișcarea accelerată de bază, rezultă o mai bună ocrotire a conturului profilului și deci diminuarea pericolului apariției desprinderilor.

O altă cauză generatoare de deosebiri între rezultatele obținute pe cele două căi este prezența fluidului real și a pierderilor prin frecare aferente, de care nu se ține cont în calculul teoretic. Ilustrarea deosebirilor dintre rezultate apare în fig. 7.7 în care s-au suprapus distribuțiile coeficientului de presiune de pe conturul profilului, obținute teoretic și experimental. Se observă că deși punctele se înșirulesc de-a lungul unor curbe foarte asemănătoare, rezultatele nu se suprapun întru totul, valorile experimentale rămânând inferioare celor teoretice atât în domeniul extradadosului cât și al intradosului paletei.

Concluzii la Cap.VII.

Compararea rezultatelor teoretice și experimentale duce la concluzia că atât timp cât se respectă ipoteza de bază a calculului analitic, prin care se admite conturul profilului ca linie de curent, rezultatele prezintă o concordanță multumitoare. Apariția desprinderii curentului de pe extradadosul paletei la valori pozitive mari ale incidenței curentului, sau de pe intrados la incidențe negative mari, conduce la alterarea tabloului mișcării în prezența rețelei și ca urmare la scăderea performanțelor rețelei în condițiile curentului real.

Compararea rezultatelor cu valorile menționate în literatura de specialitate atestă performanțele stațiunii experimentale și justetea metodei de lucru folosite.

CAPITOLUL VIII

SCHEMA SI ETAPELE DETERMINARII CARACTERISTICILOR ENERGETICE ALE REZELMI CIRCULARE DE APARAT DIRECTOR DE TURBINA.

Aşa cum s-a arătat în subcapitolul 1.1., aparatul director este elementul de legătură între camera spirală și rotor, avînd rolul de a conduce apa cu pierderi minime și de a asigura la intrarea în rotor circulația necesară transformării complete a energiei hidraulice a curentului.

La proiectare, se determină pe baza indicațiilor din literatură deschiderea optimă și înălțimea paletelor aparatului director, ambele depinzînd de turația specifică a rotorului. Se stabilesc în continuare parametrii geometrici: numărul paletelor, diametrul de așezare al axelor de rotație ale paletelor, excentricitatea și lungimea profilelor cit și grosimea lor.

Se pune problema alegerii formei profilului: întrucît la trecerea prin aparatul director curentul nu este supus unor transformări energetice, la deschiderea nominală traiectoria particulelor corespunde spiralei logaritmice, menținînd direcția vitezelor imprimată de elementele de la ieșirea din camera spirală. Ca schelet al profilului se va alege deci, un segment din spirala logaritmică care îmbrăcat cu diverse funcții de grosime - experimentale sau teoretice - va genera diverse forme ale conturului profilului.

Astfel aparatul director este determinat din punct de vedere geometric, urmînd ca în continuare să se determine caracteristicile sale hidrodinamice, atât la deschiderea nominală cit și la deschiderile intermediare, necesare reglării debitului. Cunoașterea acestor caracteristici prezintă importanță atât pentru funcționarea rotorului - coeficientul de deviație și deviația unghiulară a curentului la trecerea prin aparatul director stabilind orientarea curentului la intrarea în rotor - cit și pentru funcționarea sistemului de reglare, care depinde de momentele hidraulice ce apar pe palete în cursul procesului de reglare.

Pentru parametrii geometrici determinați ai aparatului director, adică cunoscând la o deschidere dată:

- coordonatele conturului profilului M_i^{\pm} (r^{\pm} , τ^{\pm}) inclusiv razele de așezare ale bordului de atac și de fugă al profilului (R_1 și R_2);

- diametrul de așezare al fusurilor paletelor D_a ;

- numărul paletelor aparatului director N ;

- înălțimea paletei b ;

și pentru parametrii cinematici de la intrare:

- debitul Q , care raportat la înălțimea paletei b determină debitul unitar $\Delta Q = \frac{Q}{b}$

- unghiul ε_1 al curentului orientat de elementele de la ieșirea din camera spirală și care determină la rândul său circulația de la intrarea în aparatul director Γ_1 , pe baza relației:

$$\operatorname{tg} \varepsilon_1 = \frac{\Gamma_1}{\Delta Q} = \operatorname{ctg} \alpha_{sp}$$

se calculează parametrii curentului de la ieșirea din aparatul director precum și forțele și momentele ce acționează asupra paletei,

- deviația unghiulară a curentului

$$\Delta \varepsilon = \varepsilon_1 + \tau_0 - \varepsilon_2$$

- coeficientul de deviație

$$\delta_u = \frac{R_1 \nu_{u1} - R_2 \nu_{u2}}{R \nu_{m1}}$$

- distribuția presiunilor pe conturul profilului, din care rezultă componenta normală la coarda profilului și paralelă cu coarda a forței de acțiune a curentului asupra paletei,

- momentul hidraulic M_h în raport cu centrul de rotație al paletelor.

Intrucât fazele de calcul au fost tratate în capitolele II și III se roidă în cele ce urmează succesiunea principalele etape ale calculului performanțelor energetice ale aparatului director:

A. Stabilirea datelor inițiale ale problemei.

1. Fixarea, pe baza parametrilor geometrici rezultați din proiectare, a unghiurilor și alți caracteristici de deschidere α_0 , la care se studiază aparatul director: coordonatele extradosului

M_i^+ (r_i^+ , τ_i^+) și intradosului M_i^- (r_i^- , τ_i^-) profilului, razele de așezare ale bordului de atac R_1 și de fugă R_2 , unghiul la centru în care se înscrie profilul τ_0 , înălțimea paletei b , numărul profilelor N și așezarea fusului paletei L_1 .

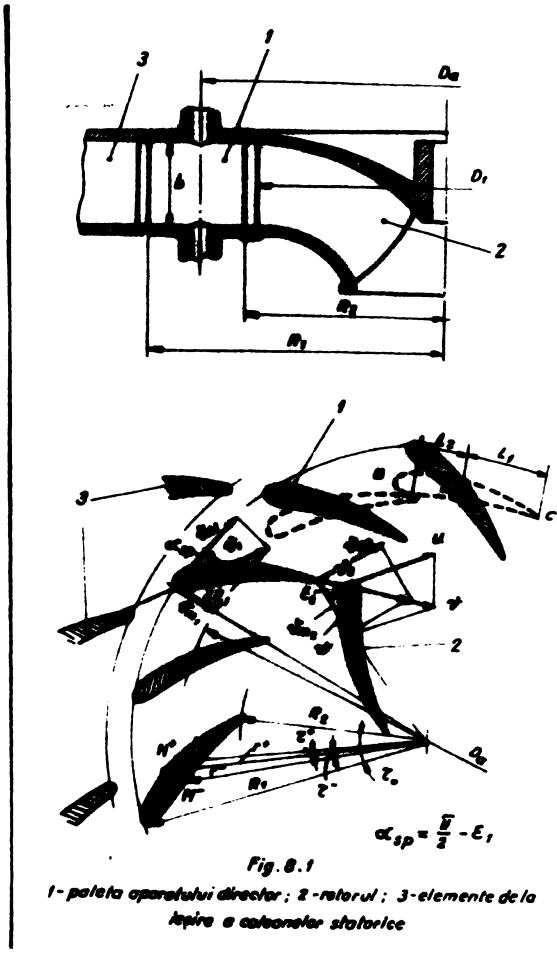


Fig. 8.1

1 - palaia aparatului director; 2 - rotorul; 3 - elemente de la aspira a cabanelor statice

2. Stabilirea unghiului curenului de la intrare $\varepsilon_1 = \frac{\pi}{2} - \alpha_{sp}$ orientat de elementele de la ieșirea din camera spirală și a debitului unitar ΔQ .

B. Determinarea parametrilor geometrici ai rețelei rectilini de calcul corespunzătoare rețelei circulare de aparat director dată în A., precum și a funcțiilor scheletului și grosimii profilului rețelei rectilini.

C. Determinarea parametrilor de la infinit ai mișcării în planul rețelei rectilini, pe baza parametrilor cinematici cunoscuți în planul rețelei circulare.

D. Rezolvarea problemei mișcării în planul rețelei rectilini de calcul, cu următoarele etape:

1. determinarea coeficienților distribuțiilor de singularități pe scheletul profilului,
2. determinarea distribuției vitezelor totale pe conturul profilului și a circulației în use.

E. Transpunerea vitezelor în planul rețelei circulare și calculul distribuției coeficienților de presiune, a coeficientului de deviație și a deviației unghiulare a curenului.

F. Integrarea distribuției coeficienților de presiune și determinarea coeficienților C_{yr} și C_{xr} .

G. Calculul coeficientului momentului hidraulic considerat în raport cu axul de rotație al profilului C_{mh} .

Schema etapelor de calcul este indicată la sfârșitul Cap. VIII.

Repetând calculul pentru diverse valori ale deschiderii aparatului director se obțin mărimile:

$$P_{yr} = C_{pyr} \rho Q_{11}^2 D_1^2 H$$

$$P_{xr} = C_{pxr} \rho Q_{11}^2 D_1^2 H$$

$$M_e = C_{mh} \rho Q_{11}^2 D_1^3 H$$

care alături de coeficientul de deviație $d_u(\bar{\alpha}_0)$ și de deviația unghiulară $\Delta \varepsilon(\bar{\alpha}_0)$, caracterizează performanțele de funcționare ale aparatului director.

Mărimile d_u și $\Delta \varepsilon$ determină orientarea curenului la ieșirea din aparatul director respectiv la intrarea în rotor, întrucât la valori d_u și $\Delta \varepsilon$ cunoscute, atunci când se cunosc și parametrii geometrici ai aparatului director și caracteristicile curenului de la intrare, rezultă:

$$\varepsilon_2 = \varepsilon_1 + \gamma_0 - \Delta \varepsilon$$

Unghiul curenului de la ieșirea din aparatul director, respectiv

adică
$$R_2 v_{u2} = R_1 v_{u1} - d_u R_1 v_{m1}$$

$$\Gamma_e = \Gamma_i - 2 \pi R_1 v_{m1} d_u$$

sau

$$\Gamma_e = \Gamma_i - \frac{d}{b} d_u$$

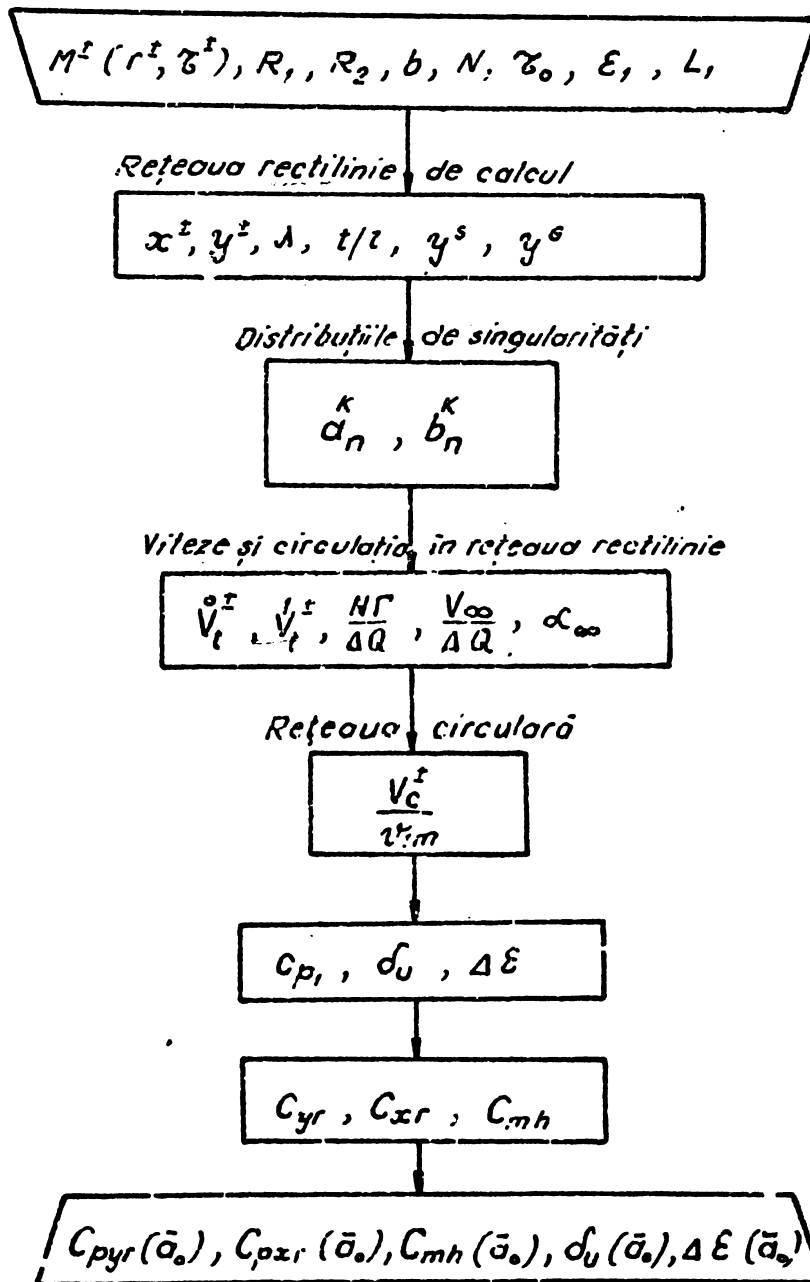
circulația la ieșirea din aparatul director Γ_e în funcție de circulația de la intrare, debitul unitar și coeficientul de deviație.

Repetarea calculului la diverse valori ale lui ε_1 indică modul în care elementele de la ieșirea din camera spirală influențează asupra curbelor de variație a mărimilor Δz , d_u , C_{pyr} , C_{par} și C_{ch} , în funcție de gradul de deschidere al aparatului director.

Modificarea mărimei L_1 care caracterizează așezarea axului de rotație al paletelor respectiv excentricitatea profilului, are un efect imediat asupra momentului hidraulic. Modificarea lui L_1 astfel ca excentricitatea să varieze în limitele prescrise, influențează în mică măsură mărimile Δz , d_u , C_{pyr} , C_{par} în timp ce curba de variație $C_{ch}(\bar{a})$ se va modifica simțitor.

Prin aplicarea schemei de calcul pentru câteva valori ale ε_1 și câteva valori ale excentricității se poate obține varianta optimă de aparat director, atât din punct de vedere al condițiilor de reglare cât și al caracteristicilor curenului la intrarea în rotor.

Metoda de calcul se pretează și la studierea influenței altor parametri geometrici ai aparatului director asupra caracteristicilor sale de funcționare, așa cum s-a văzut în Cap.VI.



CAPITOLUL IX.

CONCLUZII GENERALE

Lucrarea de față și-a propus drept scop studiul teoretic și experimental al caracteristicilor energetice ale rețelei circulare de profile, privită ca element generator al aparatului director de turbini.

1. În urma analizării problematicei aparatelor directoare au fost definiți parametrii caracteristici ai mișcării în prezența rețelei circulare de aparat director: coeficientul de deviație, deviația unghiulară a curenților, coeficientul de portanță și rezistență, coeficientul de pierdere, coeficientul momentului hidraulic, desprinzându-se necesitatea stabilirii influenței unor parametrii geometrici și cinematiici ca: deschiderea relativă, numărul profilelor rețelei, curbură profilului, excentricitatea, respectiv așezarea axului de rotație al paletelor în raport cu coarva, unghiul curenților determinat de elementele de la ieșirea din camera spirală, asupra performanțelor de funcționare ale aparatului director;

2. Preluând rezultatele cercetărilor actuale din domeniul hidrodinamicii rețelelor de profile, a fost elaborată o metodă de calcul în care utilizarea limbajului FORTRAN a făcut posibilă rezolvarea problemei mișcării în prezența rețelei circulare de aparat director, la un calculator de tip IRIS-50. S-a obținut în final soluția problemei sub forma distribuției vitezelor respectiv a coeficienților de presiune pe conturul profilului rețelei circulare și a caracteristicilor curenților de la ieșire, pe baza cărora s-ar putea calcula parametrii caracteristici ai aparatului director enumerați mai sus. Utilizarea metodelor moderne de calcul face posibilă găsirea soluției problemei pentru un număr foarte mare de parametrii inițiali, acoperind practic întreg domeniul de proiectare al aparatelor directoare radiale și ducând

la posibilitatea stăpînirii influenței acestora asupra performențelor realizate. Un asemenea studiu sistematic și complet lipsește pînă în prezent din literatura de specialitate, constituind astfel o contribuție în cuprinderea în relații matematice a fenomenului hidrodinamic ce se desfășoară în aparatul director. Metoda de calcul preconizată pune la dispoziția proiectantului un mod destul de exact și de rapid de recalculare a parametrilor cinematici ai aparatului director proiectat.

3. Definirea parametrilor caracteristici ai mișcării în forma menționată în Cap. III a permis elaborarea unei noi relații de calcul a coeficientului momentului hidraulic, cu ajutorul căreia se pune în evidență influența unghiului curentului determinat de camera spirală și a excentricității paletei asupra valorilor pe care le ia momentul hidraulic în cursul procesului de reglare a debitului cu ajutorul aparatului director.

4. A fost exprimat coeficientul de cavitație al rețelei circulare prin extinderea metodei de tratare a problemei din cazul rețelelor drepte. S-a studiat sensibilitatea la cavitație a rețelei circulare de aparat director și influența unghiului de instalare respectiv a deschiderii relative asupra domeniului de funcționare fără pericolul apariției fenomenului de cavitație.

5. Pentru verificarea rezultatelor calculului analitic, desfășurat în ipoteza fluidului ideal, a fost proiectată și construită o stațiune experimentală de concepție originală, care modelează în aer mișcarea în prezența aparatului director. Stațiunea reprezintă prima instalație de acest tip din țară și permite încercarea experimentală a oricărui tip de aparat director radial, indiferent de forma profilului și de caracteristicile curentului de la intrare.

6. Echipată cu instrumente de măsură de concepție originală, etalonate în Laboratorul de mașini hidraulice Timișoara, stațiunea dă posibilitatea explorării tabloului mișcării în amonte și aval de rețea și măsurarea distribuției de presiuni pe conturul profilului la diverse valori ale deschiderii paletelor și ale unghiului vitezei de la intrare.

7. A fost elaborată o metodologie de efectuare a încercărilor și de prelucrare a rezultatelor, aplicabilă pentru orice tip de rețea circulară.

8. Compararea rezultatelor experimentale cu rezultate similare din literatura de specialitate atestă calitățile stațiu-

ni și a instrumentelor de măsură precum și a metodologiei utilizate.

Din suprapunerea rezultatelor teoretice și experimentale a reșit că există o concordanță satisfăcătoare atât timp cât este respectată condiția ca centrul profilului să coincidă cu o linie de curent. În momentul apariției desprinderii curentului de pe extradosul sau intradosul profilului, curbele experimentale se abat de la cele obținute prin calcul analitic. Întrucât calculul analitic s-a desfășurat pentru un fluid ideal, există și în absența desprinderilor oarecare diferențe între rezultatele teoretice și experimentale, valorile nu fiind însă comparabile.

9. Față de preocupările menționate pînă în prezent în acest domeniu, lucrarea aduce o contribuție în lămurirea efectului pe care elementele promergitoare aparatului director - camera spirală și rețeaua statică - îl au asupra performanțelor de funcționare ale aparatului director. Organizarea materialului experimental sub formă de diagrame universale, furnizează informații complete privind modul în care deschiderea relativă și unghiul curentului de la intrarea în aparatul director influențează valorile deviațiilor unghiulare ale curentului, a coeficienților de pierdere de deviație și de portanță pentru diverse forme de profile.

10. Se desprinde necesitatea proiectării în paralel a camerei spirale și a aparatului director în scopul asigurării condițiilor celor mai avantajoase de angajare a curentului pe paletele aparatului director, astfel ca să se asigure pierderi hidraulice minime și în același timp gabaritul optim pentru camera spirală.

11. Domeniul optim de funcționare al rețelei formate din profile de curbură pozitivă studiate, se situează în zona deschiderilor relative de 75 - 85% unde pierderile rămân inferioare valorii $\zeta < 0,055$, la viteze de intrare orientate sub unghiul $\varepsilon \approx 10^{\circ} 50'$ față de direcția radială. Coeficienții de deviație, variind aproape liniar cu deschiderea, ating în zona optimă valori cuprinse între -0,25 și +0,10 respectiv +0,14 - +0,45, deviația unghiulară a curentului este de 8 - 22°, iar forțele ce acționează pe palete sînt mici, $C_{yp} = 0,013 - -0,020$.

Rețeaua de profile cu curbura pozitivă asigură condiții optime de funcționare la unghiuri ε , mai mari, respectiv α_s , mai mici, ceea ce conduce la camere spirale de dimensiuni mai mici avantajoase din punct de vedere al investițiilor inițiale.

Aparatul director format din profile de curbura negativă, cu un domeniu optim al deschiderilor cuprins între 65 % și 75 % din deschiderea maximă, asigură funcționarea cu pierderi minime ($\zeta < 0,05$) la unghiuri de intrare ale curentului mai apropiate de direcția radială ($\varepsilon_1 < 45^\circ$), zonă în care coeficienții de deviație δ_u se mențin negativi ($\delta_u = -0,7 \div -0,4$) deviațiile unghiulare au valori $\Delta\varepsilon = -6^\circ \div -10^\circ$, însă forțele ce acționează pe palete au valori mai mari decât în cazul profilului de curbura pozitivă ($C_{yr} = 0,04 \div 0,05$) funcționarea optimă la valori mai mici ale unghiului ε_1 permite adoptarea unor camere spirale de dimensiuni mai mari, capabile de a asigura viteze mai mici ale curentului și implicit pierderi hidraulice mai reduse.

12. Explorarea teoretică și experimentală a caracteristicilor de funcționare ale aparatului director format din profile de curbura pozitivă și negativă oferă justificarea științifică a necesității utilizării lor în cazul turbinelor de diverse turații specifice.

13. Rezultatele obținute privind dependența coeficientului momentului hidraulic de valoarea excentricității profilului oferă soluții avantajoase pentru realizarea aparatelor directe cu tendință de autofinchidere de-a lungul întregului lor domeniu de funcționare, obiectiv extrem de actual în construcția turbinelor radial-axiale și axiale.

14. În ansamblul lor studiile întreprinse în cadrul tezei reușesc să elucideze problema influenței parametrilor geometrici și cinematici analizați asupra performanțelor de funcționare ale rețelei de aparat director, oferind în același timp proiectantului și cercetătorului o metodă matematică rapidă de calcul al caracteristicilor. Lucrarea îmbogățește rezultatele destul de rare din literatura de specialitate atât cu rezultate teoretice cât și experimentale.-

B I B L I O G R A F I E

- A.1. ABDURAHMANOV L.F.: C voprosu experimentalnovo opredelenia silovih karakteristik povorotnolopastnih sistem. Gidroturbostroenie, Trudf IMZ, vip.12, 1969.
- A.2. ABDURAHMANOV L.F.: Vlianie formi profilia lopasti radialnih napradliuščih aparata na ih silovih karakteristik Energetica nr.6, 1969.
- A.3. ABDURAHMANOV L.F., BURLIT S.K., RAUD M.A.: Ustanovka dlia opredelenia karakteristik radialnih napriavliauščih aparatah gidroturbin. Energomašinostroenie Nr.2, 1972.
- A.4. ACKERET J.: Zum Entwurf dichtstehender Schaufelgitter. Schweiz. Bauzeitung Bd.60, 1942.
- A.5. ACOSTA A.J.: An experimental and theoretical investigation of two-dimensional centrifugal pump impellers. Trans. ASME, v.75, 1953.
- A.6. AHIEZER N.I.: O ploscom potoke cerez rešciotku s otrivom stru Naucnie zapiski Harkovskogo aviat. Instituta Nr.2, 1954.
- A.7. ANTON I.: Curs de maşini hidraulice - notiţe.
- A.8. ANTON I.: Influenţa parametrilor geometrici şi cinematici asupra caracteristicilor energetice şi cavitaţionale ale turbinelor axiale. Studii şi cercet. Mec. Aplicată, Buc. RSSR, 1971, Tom. 30 nr.3.
- A.9. ANTON I., POPA O., GHEORGHIU M.: Sensibilitatea la cavitaţie a reţelelor de profile. Conferinţa de Mec. Aplicată, Split, Jugoslavia, 1966
- A.10. ANTON I., POPA O.: Ciupul de viteze pe conturul reţelelor de profile subţiri şi determinarea sensibilităţii lor la cavitaţie. Comunic. Conf. de maşini hidraulice, partea III-a Timişoara, sept. 1964.
- A.11. ANTON V.: Cercetări experimental privind influenţa geometriei unor reţele de profile asupra caracteristicilor lor energetice şi cavitaţionale. Teză pentru obţinerea titlului de doctor inginer Institutul politehnic "Traian Vuia" Timişoara, 1972.
- A.12. ANTON I., POPA O.: The determination of sensivity to cavitation of a cascade of hydrofoils of arbitrary shape. Problems of fluid-flow machines, Warszawa, 1968
- A.13. ANTON V.: Influenţa elementelor geometrice asupra caracteristicilor cavitaţionale ale profilului izolat. Bul. IPT, seria Mecanică, 1972.
- A.14. ANTON V.: Caracteristicile energetice ale reţelei de profile MHT-1-12 la $t/1 = 0,75$. Suţotinu IPT, Seria Mecanică, 1972.

- B.1. BARGLAZAN A.: Contribuții la determinarea condițiilor constructive ale profilelor anticavitaționale.
Studii și cercetări, ști. tehn., Tom. 5, Nr. 1-2, 1958
- B.2. BARGLAZAN A., ANTON I., ANTON V., PREDĂ I.: Incercările mașinilor hidraulice și pneumatice. Editura Tehnică, Buc. 1959.
- B.3. BARGLAZAN A., POPA O.: Contribuții la teoria turbionară a profilelor subțiri.
Studii și cercetări St. Tehn. Tom. 5, 1-2, 1958.
- B.4. BARGLAZAN, POPA O.: O nouă metodă de determinare a caracteristicilor hidrodinamice și cavitaționale ale rețelelor de profile.
Studii și cercetări St. Tehn. Tom. 5, 1-2, 1958.
- B.5. BARGLAZAN A., POPA O.: Contribuții la determinarea repartiției de viteze la rețele plane de profile subțiri.
Studii și cercetări St. Tehn. Tom 7, 3-4, 1960.
- B.6. BARGLAZAN A., POPA O.: Scurgerea potențial-teoretică în jurul rețelelor mixte de profile subțiri.
Studii și cercetări St. Tehn. Tom 9, 1-2, 1962.
- B.7. BETZ A.: Näherungsformeln zur konformen Abbildung von Streckenprofilgittern kleiner Teilung.
Ing. Archiv, Bd. 28, 1959.
- B.8. BETZ A.: Diagramme zur Berechnung von Flügelreihen.
Ing. Archiv, Bd. 2, 1951.
- B.9. BIRNBAUM W.: Die tragende Fläche als Hilfsmittel zur Berechnung des ebenen Problems der Tragflügeltheorie.
ZAMM, Bd. 3, 1923.
- B.10. BOWARDS W.: Application de la méthode de fil chaude à la mesure de la turbulence dans l'air.
Houille Blanche Nr. 3, 1967
- B.11. BUSEMANN A.: Das Förderhöhenverhältnis radialer Kreiselpumpen mit logarithmischspiraligen Schaufeln.
ZAMM Bd. 8, Heft 5, 1928.
- B.12. BAHR I.: Untersuchungen über den Einfluss der Profildicke auf die kompressible ebene Strömung durch Verdichtergitter. Forsch. Ing. Wes. 30, 1964, nr. 1
- B.13. BARGLAZAN A.: Fenomenul de cavitație la mașinile hidraulice
Studii și cercetări științifice, An. I, 1963, nr. 1-4
- C.1. CZIBERE T.: Berechnungsverfahren zum Entwurf geraden Flügelgitter mit stark gewölbten Profilschaufeln.
Acta Technica XXVIII, 1960.
- C.2. CARAFOLI E., OROVIANU T.: Mecanica fluidelor.
Ed. Academiei, 1955.
- D.1. DETMERING W.: Untersuchungen der Strömung an Schaufelgittern mit Hilfe der Singularitätenmethode und deren experimentelle Nachprüfung.
Brennstoff-Wärme-Kraft, 14, 1962.

- D.2. DORSMANN L.A.: Rasclot obtekanja vrasclausceisia crugovol reziotki. AN, SSSR, OTN, Nr.12,1956.
- D.3. x x DISA : Gebrauchsanweisung für DISA 55-A-01. Constant temperature anemometer.
- D.4. x x x DISA: Gebrauchsanweisung und Servicehandbuch für Tip 55-D-41/12 Eichgerät.
- D.5. DOGE R, HERMANN R: Zur Auswertung systematischer messungen an ebenen geraden Schaufelgittern. Maschinenbautechnik, 9, 1960, Li.
- D.6. DIHO P: Programarea în FORTRAN. Ed. Didactică și Pedagogică, București, 1971.
- F.1. FEDULOV Iu.I.: C voprosu experimentalnovo isledovania radialnih aparatov gidroturbin. I Isledovanie gidroturbin, AN SSSR, Izd. Naukova Dumka, 1966.
- F.2. FUSTER W: Druckverteilungsmessungen an unlaufender Turbinenschaukeln. VDI Forschungsheft, 21, Nr.448, 1955.
- F.3. FUZY O: Blade design of nearly radial impeller. Budapesti Műszaki Egyetem, 1961, Nr.86.
- F.4. FICHTENHOLZ G: Differential - und Integralrechnung Bd.1,2,3, VEB Deutscher Verlag der Wissenschaften, Berlin, 1964.
- G.1. GARRICK J.E.: On the Plane Potential Flow Past a Lattice of Arbitrary Airfoils. NACA T.R. Nr.788, Washington.
- G.2. GEBERS : Citat în: L.Frandtl - Gesammelte Abhandlungen zur angewandten Mechanik Hydro-u.Aerodynamik, Springer Verlag, 1961, Berlin, Göttingen/Heidelberg
- G.3. GERSTEN K: Der Einfluss der Reynoldszahl auf die Strömungsverluste in ebenen Schaufelgittern. Abb.Braunschweiger Wiss.Gesellschaft, 11, 1959.
- G.4. GERSTEN K: Experimenteller Beitrag zum Reibungseinfluss auf die Strömung durch ebene Schaufelgittern. Abb.Braunschweiger Wiss.Gesellschaft, VII, 1955.
- G.5. GHEORGHIU M, ANTON I: Determinarea experimentală a caracteristicilor energetice ale unei rețele circulare de profile în stațiunea IHT. Bul.Șt.și Techn.al IPT, Seria mecanică, Tom 19 (33) Pasc.1/1974.
- G.6. GHEORGHIU M, ANTON I: Studiul analitic al influenței unor parametri geometrici asupra caracteristicilor energetice ale rețelei circulare de profile Clark Y.8 Studii și Cercetări Mec.Aplicată Tom 33, nr.4,1974.

- G.7. GYTCOVSKI E.B., KOLEON A.Iu.: Teoria i gidrodinamiceskii raschet gidroturbin.
Maschinostroenie, Leningrad, 1974.
- G.8. GRANOVSKI S.A., ORGO, SHOLIAROV: Constructii gidroturbin i raschet ih detalei.
Maghiz Moskva, Leningrad, 1957.
- H.1. HEBBEL H.H.: Einfluss der Machzahl und der Reynoldszahl auf den Turbulenzgrad des Hochgeschwindigkeits Gitterwindkanals.
Nr. 62/22, Inst. Aerodynamik der D.F.L. Braunschweig 1962.
- H.2. HEBBEL H.H.: Über den Einfluss der Machzahl und der Reynoldszahl auf die Aerodynamischen Beiwerte von Turbinenschau-
felgittern bei verschiedener Turbulenz der Strö-
mung.
VDI - Forschung Ing. Wiss. Bd. 3c, nr. 3, 1964.
- H.3. HOFFMISTER M: Entwicklung von radialen Laufschaufeln unter
Benützung des Singularitätenverfahrens.
Maschinenbautechnik 6, 1956, nr. 2.
- H.4. HOLLER H.H.: Essais hydrodynamiques et aérodynamique des
turbines hydrauliques sur un nouveau stand
universal.
Bull. Ecole Wyss nr. 3, 1967, Zürich.
- I.1. I. NSINA I.G.: Gidrodinamiceskie poteri energii v radialnih
aparatah gidroturbin.
Energozinostroenie Nr. 5, 1967.
- I.2. I. NSINA I.G.: Silovye karakteristiki radialnih napriavlia-
iuschih aparatah gidroturbin,
Izd. vuzov, Energetika, nr. 2, 1958.
- I.3. ISAY W: Zur Berechnung der Strömung durch axiale Schaufel-
gitter.
ZAMM, Bd. 37, Heft 9/10, 1957.
- I.4. ISAY W: Beitrag zur Potentialströmung durch radiale Schau-
felgitter.
Ingenieur Archiv, XXII, Bd. 6, 1954.
- I.5. ISAY W: Berechnungsergebnisse der radialen Schaufelgitter-
strömung.
ZAMM, Bd. 33, 5/6, 1953.
- K.1. KATZOFF S., FINN, R.S., LAURENCE J.C.: Interference method for
obtaining potential flow past an arbitrary cascade
of airfoils.
NACA T.R. Nr. 879, Washington.
- K.2. KNUFTANN W: Technische Hydro und Aeromechanik
Springer-Verlag, 1958.
- K.3. K. RPP' G.: Neue Ergebnisse der Widerstandsforschung.
Werft Reed. Hafen, 1929, citat in Gesammelte Abhandlun-
gen L. Prandtl, Springer-Verlag, 1961.

- K.4. KING L.V.: On the convection of the heat from small
Cylinders in a stream of fluid.
Phil.Trans.Roy.Soc.London, Series A, 214, 1914.
- K.5. KLIMOV A.I.: Sbornik naucno-technicheskoj informacii po
ghidromashinostroenie 4, 10, 1959.
- K.6. KNAPP R.T., DAILY J.W., HAMMITT F.G.: Cavitation Mc.Graw-
Hill Book Comp. New-York, 1970.
- K.7. KOCIN N.E.: Ghidrodinamiceskaia teoria raslotok.
Gostehizdat, 1949.
- K.8. KOCIN N.E., FIBEL I.A., ROZE N.V.: Teoreticeskaia ghidrome-
hanika Gostehizdat, 1955.
- K.9. KOLETON A.Iu., ETINBERG I.E.: Osnovi i teorii ghidrodinami-
ceskovo rasciota vodianih turbin.
Masghiz, Moscova, Leningrad, 1950.
- K.10. KOVALEV M.N.: Ghidroturbini
Masghiz, Moscova, Leningrad, 1961.
- ✓ K.11. KONIG E.: Potentialströmung durch Gitter
ZAMM, Bd.8 Heft 2, 1928.
- K.12. KRAMER K: Flügelprofile in kritischen Reynoldszahl Bereich
Forsch.Ing.Wes. 27, 1961, nr.2.
- K.13. GRAMER J.J.: Analysis of Incompressible Nonviscous Blade to
Blade Flow in Rotating Blade Rows.
Trans. ASME vol.80, Nr.2, 1958.
- ✓ K.15. KRÜGER H.: Ein Verfahren zur Druckverteilungsrechnung an
geraden und radialen Schaufelgittern.
Bericht 56/B/10 der Max Plank Instituts für Strö-
mungsforschung, Göttingen,
- K.16. KVIATKOVSKI M.I.: Rabocii protses osevoi ghidroturbini
Trudi VICH, vip.XIV, 1951, vip.XV, 1952.
- K.17. KLIMOV A.I.: Trudi VICH, vip.29, 1961.
- I.1. LEIST K: Prüfstand zur Messung der Druckverteilung an ro-
tierenden Schaufeln.
Forschungsbericht der Wirtschafts und Verkehrs-
ministerium, NRW, 1958, n.422.
- L.2. LESOHIN L.F.: Opređenje skorosti i davlenii v raslotke
profilei konecnoi tolcini.
Naucnie zapiski Naikovskogo meh-mas.Instituta
nr.6, 1950.
- L.3. LIEBLEIN V: Zur Berechnung der Auftriebscharakteristik eines
Profiles im Gitterverband.
Ing.Arch.Bd.13, 1950.
- L.4. LUKASEVICH V.I.: Integralnoe uravnenie dlia rasciota ploskih
crugovih vrasciaiugciusia raslotok sostavlennih iz
proizvolnih relesnih profilei.
Trudi VNIi Chirromag. vip.XXXV, 1967.

- N.1. MAIKIPAR I.J.: Rasclot crugovih resiotok
TGI Promishlennia aerolinarstva Vip.28,1966
- N.2. MELNIKOV P.B.: Metodica rasclota lopastei gidroturbomashin
A.N.SSSR, 1939.
- N.3. MIKHAILOV, I.E: Turbinnye coveri gidroelektrostantsii
Energhetika, Moscva,1970.
- N.4. MORELII D.A., EOMBRMAN: Pressure distribution on the blade
of an axial flow propeller pump.
Trans.ASME v.75,1953.
- N.5. MORELII D.A.:Pressure distributions on the vanes of a radial
flowispeller.
Hydrodynamics Laboratory CIT-Pasadena, publ.nr.99
- N.1. NICOLSKI P.M.:Ghidroturbostroenie.
Maghiz.Moskva,Leningrad, 1955.
- N.2. NUMACHI F.: Cavitation tests on hydrofoils arranged in
accelerating flow cascade.
Report Inst.High.Speed.Mec.Japan vol.13 1961/1962
- P.1. PISTOLESI E: Sul calcolo dei schiere infinite di ali sottili
Aerotecnica Bd.17.
- P.2. POLASEK J.: Berechnung der Strömung um ein Radiales Schau-
felgitter.
Styrijsky Casopis, 13, 1962.
- P.3. POPA O: Asupra micării potențiale în jurul rețelelor de
profile Carafoli.
Comunic.Comit.de masini hidraulice Partea II,Timi-
șoara,sept.1964.
- P.4. POPA O: Rețele de profile Carafoli.
Studii și cerc.șt.tehn.VII, 3-4, 1960.
- P.5. POPA O: An exact and explicit solution for the plane poten-
tial flow past a family of straight cascades of
Carafoli Airfoils.
Rev.Roumaine.Sci.Techn.Méc.appl.Tom,31, 1972.
- P.6. POPA O: The extension of the circle theorem to the Cauchy
integral representation of holomorphic functions.
Bul.IPT,Mat-Fiz.Mec.teor și apl.Tom 15 (29)
Fasc.1,1970.
- P.7. POZH I.L.: Aerodinamiceskii experiment v mashinostroenii
Izvl.Mashinostroenie, 1965, Leningrad.
- P.8. POZH I.L.: Modelirovanie gidravlicheskih turbin v vozdukhnykh
potokakh.
Gosizdat,1955
- P.9. PRANDTL L.: Gesammelte Abhandlungen zur angewandten Mechanik,
Hydro u. Aerodynamik.
Springer Verlag-Berlin/Göttingen/Heidelberg, 1961.



- P.10. FROTHUR : Ghidra de profilă turbomagin.
Magazin, 1954.
- P.11. POPE O: Determinarea unei relații generale între proprietățile aerodinamice ale unui profil izolat și cele ale aceluiași profil dispus într-o rețea circulară.
Conferința de magini hidraulice, Budapesta, 1972.
- P.12. PAVEL D, ZLBAR): Opređenje skorosti na vjehodnoj kromke i tački zasteta dlia nehotornih izolirovanih profilie dli v lincinoi masiotke.
Buletin IPS, tom.30, Nr.3-4, 1953.
- P.13. POPE O: Formula de invasiune a integralei de tip Cauchy prin care se definește câmpul de viteze în exteriorul rețelelor de profile sustinute.
Comunicările Conferinței de magini hidraulice, P.II, Timișoara, sept.1954.
- R.1. RAUCHMANN B.S., ROSTOVAIA G.N: Ghidrodinamiceskie karakteristiki radialnovo napriavlienișevce aparata.
Energoinžiniering Nr.5/1970.
- R.2. RIEGLS F, WITTICH H: Zur Berechnung der Druckverteilung von Profilen.
Jahrbuch DFL, I.120/I.1952.
- R.3. RIEGLS F: Aerodynamische Profile
R.Oldenburg, München, 1958.
- R.4. RIEGLS F: Das Umströmungsproblem bei inkompressiblen Potentialströmung.
Ing.Archive, Bd.16, 1948.
- R.5. RIEGLS F: Das Umströmungsproblem bei inkompressiblen Potentialströmung.
Ing.Archive Bd.17, 1949.
- R.6. RIEGLS F: Das Umströmungsproblem bei inkompressiblen Potentialströmung.
Ing.Archive, Bd.18, 1950.
- S.1. SAMOILOVICI G.S: Rasčet ghidrodinamiceskikh resiotok
P.M.N. 14, Nr.2, 1950.
- S.2. SAMOILOVICI G.S.: Rasčet potencialnovo potoka gaza v tri-volineinom kanale.
Teplotenergetika Nr.7, 1954.
- S.3. SCHLITZEL H: Näherungsweise Berechnung von Auftrieb und Druckverteilung in Flügelgittern.
Wissenschaftliche Gesellschaft für Luftfahrt H.1927.
- S.4. SCHLICHTING H: Grenzschicht-Theorie, 3 Auflage, Karlsruhe, G. Braun, 1958.
- S.5. SCHLICHTING H: Neueste Untersuchungen über die Schaufelgitterströmung.
Sizena-Mitschrift, 37, (1963) nr.12.
- S.6. SCHLICHTING H: Berechnung der reibungslosen inkompressiblen Strömung durch ein rechteckiges Gitter.
Zeitschrift für angewandte Mathematik, 1958.

- S.7. SCHOLZ N: Über die Durchführung systematischer Messungen an ebenen Schaufelgittern
Zeitschrift für Flugwissenschaft 4, 1956, Nr.10
- S.8. SCHOLZ N: Aerodynamik der Schaufelgitter
Bd.1, Verlag G.Braun, Karlsruhe, 1967.
- S.9. SCHOLZ N: Strömungsuntersuchungen an Schaufelgittern
VDI Forschungsheft 442, 1954.
- S.10. SCHOLZ N: Das Förderhöhenverhältnis radialer Kreiselpumpen mit logarithmischspiraligen Schaufeln.
ZAMM 1928, Bd.8, Heft 1.
- S.11. SIMOV L.I.: Ploskie zadaci gidrodinamiki i aerodinamiki
Gostehizdat, 1952.
- S.12. SIMONOV L.A: Vzaimodeistvie potokov v spirali, nepriavliash-
scom apparate i rubcom kolese gidroturbini
"Inzhenerii sbornik" T II, vip.1 1955.
- S.13. SISAK B: Gidrodinamiceskoe issledovanie kavitacii na lo-
pasti turbinoi reziotki profilei.
Autoreferat, Moskva, 1953.
- S.14. SOLOMANOVA A.I.: Raschet aerodinamiceskikh harakteristic
vraschlagshisia crugovih reziotok profilei acer-
cionii po logaritichescom spiraliu
TAGI Promislenia aerodinamika vipusc 28, 1966
- S.15. SORLSEN E: Potentialströmungen durch rotierenden Kreis-
räder.
ZAMM, Bd.8-7, 1928.
- S.16. SPANHOFKE W: Anwendung der konformen Abbildung auf die Be-
rechnung von Strömungen in Kreisrädern.
ZAMM 1925-15.
- S.17. SERR R.A, ALLEN H.S: A theory of unstaggered airfoil
cascades in compressible flow.
NACA T.R. Nr.838, Washington.
- S.18. STEPANOV G.Iu.: Gidrodinamica reziotok turbomazin
Gosudarstvennoe Izd.Fiz.Mat.Literaturi, Moskva, 1962
- T.1. TANMANOV C.P.: Raschet crugovoi reziotki sostavlenoi iz
profilei proizvolnoi formi.
Trud L.P.I., 1956.
- T.2. TRAUPEL W: Die Berechnung der Potentialströmung durch
Schaufelgitter.
Sulzer Technische Rundschau Nr.1, 1945.
- T.3. TROSKOLANSKI A.T.: Théorie et pratique des mesures hydrauliques
Ed.Dunod., Paris, 1952.
- V.1. VANEA A: Method of singularities for computing the velocity
distribution in a radial impeller.
Acta Technica XXIV. 1-2, 1965.

- V.2. VOITASEVSKI D.: Rascol i isledovaniia gidrodinamiceskih
reziotok.
Trudf VIGI, v'p'usk 16, 1953.
- V.3. VOITASEVSKI D.A: Krugovaja reziotka iz plastin i napriavlia-
iushcii aparat gidroturbinf,
Trudf VIGI v'p'usc 19, 1956.
- W.1. WEINIG F: Die Strömung um die Schaufeln von Turbomaschinen.
Leipzig, 1935.
- W.2. WESSELBERGER: Citat in L.Prandtl : - Gesammelte Abhandlungen
zur angewandtel Mechanik, Hydro u.Aerodynamik,1961,
Springer-Verlag.

C U P R I N S

Pag.

Cuvînt înainte

CAPITOLUL I : PROBLEMATICA REȚELOR CIRCULARE DE APARAT

<u>DIRECTOR DE TURBINA</u>	5
1.1 Problemele de bază ale aparatelor directoare de turbină.....	5
1.2 Problemele rețelilor de profile.....	12
1.3 Metode de rezolvare a problemelor mișcării în prezența rețelei circulare de profile.....	16
1.4 Parametrii geometrici și cinematici ai mișcării în prezența rețelilor circulare de profile.....	20

CAPITOLUL II : METODA ANALITICĂ APLICATĂ PENTRU CALCULUL

CARACTERISTICILOR HIDRODINAMICE ALE REȚELEI CIRCULARE 24

2.1 Funcția de transformare și parametrii geo- metrici și cinematici ai rețelei de calcul.....	24
2.2 Prezentarea metodei analitice utilizate la calculul caracteristicilor hidrodinamice ale rețelei.....	29
2.3 Metoda numerică pentru soluționarea sistemului de ecuații integrale.....	42
2.4 Programarea metodei de calcul în limbaj FORTRAN..	47
2.4.1 Determinarea parametrilor geometrici ai rețelei rectilinii rezultate din trans- formarea conformă a rețelei circulare.....	47
2.4.2 Calculul caracteristicilor energetice ale rețelei rectilinii și transpunerea rezultatelor în planul rețelei circulare...	50
2.5 Aplicarea metodei de calcul la cazuri concrete...	55
2.6 Curbale caracteristice energetice ale rețelei circulare stabilite pe cale analitică.....	59

CAPITOLUL III : VERIFICAREA EXPERIMENTALĂ A REZULTATELOR

<u>ANALITICE</u>	70
3.1.1 Cîteva probleme ale încercării experi- mentale a rețelilor circulare de aparat director de turbină.....	70

3.1.2	Prezentarea stațiunii de rețele circulare din Laboratorul de mașini hidraulice a I.P.T.....	72
3.2	Parametrii de funcționare ai stațiunii.....	76
3.2.1	Modelarea cinematică a rețelei circulare.....	76
3.2.2	Verificarea zonei de lucru a stațiunii.....	80
3.3	Aparatura și tehnica măsurătorilor.....	86
3.4	Programul măsurătorilor.....	96
3.5	Metodica de calcul al rezultatelor.....	97
3.5.1	Evaluarea măsurătorilor.....	97
3.5.2	Determinarea coeficienților caracte- ristici ai rețelei.....	98
3.5.3	Determinarea coeficienților de acțiune al curentului asupra profilului.....	98
3.5.4	Determinarea coeficientului momentului hidraulic.....	102
<u>CAPITOLUL IV : CARACTERISTICILE ENERGETICE SI DE</u>		
<u>FUNCTIONARE.....</u>		
4.1	Caracteristicile energetice ale rețelelor încercate.....	106
4.2	Caracteristicile de funcționare ale rețelelor de aparat director de tip radial.....	113
4.3	Diagrama universală a rețelei circulare.....	121
<u>CAPITOLUL V : CARACTERISTICILE CAVITATIONALE ALE RETELEI</u>		
<u>CIRCULARE.....</u>		
<u>CAPITOLUL VI : INFLUENȚA PARAMETRILOR GEOMETRICI AI RETELEI</u>		
<u>CIRCULARE ASUPRA CARACTERISTICILOR ENERGETICE.....</u>		
6.1	Influența unghiului de instalare al rețelei.....	134
6.2	Influența pasului unghiular.....	135
6.3	Influența unghiului ϵ , al vitezei de la intrare	136
6.4	Influența mării criteriului Reynolds asupra performanțelor rețelei circulare.....	137
<u>CAPITOLUL VII : COMPARAREA REZULTATELOR TEORETICE SI</u>		
<u>EXPERIMENTALE.....</u>		
<u>CAPITOLUL VIII : SCHEMA SI ETAPELE DETERMINĂRII CARACTE-</u>		
<u>RISTICILOR AERODINAMICE ALE UNEI RETELE CIRCULARE</u>		
<u>DE PROFILS UTILIZATE ÎN CONSTRUCȚIA APARATELOR</u>		
<u>DIRECTOARE.....</u>		

	Pag.
<u>CAPITOLUL IX : CONCLUZII GENERALE</u>	157
BIBLIOGRAFIE.....	161
CUPRINS.....	170